



---

**TESIS - PM 147501**

**Metode Hibrida ARIMA dan Multilayer  
Perceptron untuk Peramalan Jangka Pendek  
Konsumsi Listrik di Jawa Timur**

**YUNITA ARDILLA**  
NRP 9114205301

**DOSEN PEMBIMBING**  
Dr. Suhartono, S.Si., M.Sc

**PROGRAM MAGISTER MANAJEMEN TEKNOLOGI  
BIDANG KEAHLIAN MANAJEMEN TEKNOLOGI INFORMASI  
PROGRAM PASCA SARJANA  
INSTITUT TEKNOLOGI SEPULUH NOPEMBER  
SURABAYA  
2016**



---

TESIS - PM 147501

# HYBRID ARIMA AND MULTILAYER PERCEPTRON FOR SHORT TERM FORECASTING OF ELECTRICITY CONSUMPTION IN EAST JAVA

YUNITA ARDILLA  
NRP 9114205301

SUPERVISOR  
Dr. Suhartono, S.Si., M.Sc

TECHNOLOGY MANAGEMENT DEPARTMENT  
INFORMATION TECHNOLOGY MANAGEMENT COURSE  
POSTGRADUATE PROGRAM  
SEPULUH NOPEMBER INSTITUTE OF TECHNOLOGY  
SURABAYA  
2016

# LEMBAR PENGESAHAN

Tesis disusun untuk memenuhi salah satu syarat memperoleh gelar  
Magister Manajemen Teknologi (M.MT)

di  
Institut Teknologi Sepuluh Nopember

oleh :

**Yunita Ardilla**

**NRP. 9114205301**

**Tanggal Ujian: 21 Juni 2016**

**Periode Wisuda : September 2016**

**Disetujui oleh:**

1. Dr. Suhartono, S.Si., M. Sc.  
NIP: 197109291995121001

**(Pembimbing)**

2. Dr. Ir. R.V. Hari Ginardi, M.Sc.  
NIP: 196505181992031003

**(Penguji)**

3. Erma Suryani, S.T, M.T, Ph.D  
NIP: 197004272005012001

**(Penguji)**

**Direktur Program Pascasarjana,**

**Prof. Ir. Diauhar Manfaat, M.Sc., Ph.D**

**NIP. 196012021987011001**

PROGRAM  
PASCASARJANA

# **Metode Hibrida ARIMA dan Multilayer Perceptron untuk Peramalan Jangka Pendek Konsumsi Listrik di Jawa Timur**

Nama : Yunita Ardilla  
NRP : 9114 205 301  
Pembimbing : Dr. Suhartono, S.Si., M.Sc

## **ABSTRAK**

Peningkatan akan kebutuhan listrik Indonesia diperkirakan akan terus mengalami pertumbuhan rata-rata 6,5% per tahun hingga tahun 2020. Oleh karena itu PT. PLN (Persero) harus menyediakan energi listrik yang tepat sasaran sesuai dengan kebutuhan konsumen untuk setiap subsistemnya. Energi listrik sendiri adalah hasil dari perubahan energi mekanik yang tidak bisa disimpan, sehingga jika terjadi kehilangan energi listrik yang tidak tersalurkan secara tepat maka PT. PLN (Persero) akan mengalami kerugian. Maka perlu adanya perencanaan sistem distribusi yang tepat untuk menyalurkan energi listrik, agar energi yang tersalurkan tidak terbuang begitu saja. Tujuan dari penelitian yaitu meramalkan konsumsi listrik jangka pendek untuk setiap subsistem di wilayah Jawa Timur dengan metode Hibrida ARIMA dan *Multilayer Perceptron* (MLP).

Pemodelan dilakukan di subsistem Kediri pada jam 13:30, 18:30, dan 05:30. Subsistem Paiton dimodelkan pada jam 13:30, 18:30, dan 22:30. Subsistem Ngimbang dimodelkan pada jam 13:30, 19:30, dan 22:30. Untuk subsistem Krian pemodelan dilakukan pada jam 11:00, 15:00, dan 22:30. Subsistem Krian-Gresik dimodelkan pada jam 14:00, 15:00, dan 22:30. Kriteria pemilihan model terbaik berdasarkan pada nilai MAPE data *out sample*. Dengan adanya peramalan ini diharapkan juga akan mengoptimalkan kinerja pembangkit-pembangkit yang mensuplai per subsistem distribusi listrik dalam proses *load balancing* yang sesuai dengan konsumsi pelanggan agar tidak ada energi listrik yang terbuang sia-sia atau bahkan terjadinya kelebihan kapasitas pemakaian.

**Kata Kunci:** ARIMA, MAPE, Listrik, Ramalan Jangka Pendek, MLP, PT. PLN (Persero)

*(Halaman ini sengaja dikosongkan)*

# **Hybrid ARIMA and Multilayer Perceptron Method for Short Term Forecasting of Electricity Consumption in East Java**

Name : Yunita Ardilla  
NRP : 9114 205 301  
Supervisor : Dr. Suhartono, S.Si., M.Sc

## **ABSTRACT**

An increase in demand for electricity in Indonesia is expected to continue to grow by average of 6,5% per year until 2020. Therefore, PT. PLN (Persero) had to provide electrical energy that are effective in accordance with the needs of consumers for each its subsystems. The electrical energy itself is the result of a changed in the mechanical energy that can not be stored, so that if loss of electrical energy is not channeled properly then PT. PLN (Persero) will suffer losses. It is necessary to plan a proper distribution system to distribute electrical energy, so that channeled energy won't be wasted. The aim of this research is to predict the short-term electricity consumption for each subsystem in East Java by using Hybrid ARIMA and Multilayer Perceptron (MLP).

Kediri subsystem is modeled at 13:30, 18:30, and 05:30. Paiton subsystem is modeled at 13:30, 18:30, and 22:30. Ngimbang subsystem is modeled at 13:30, 19:30, and 22:30. Krian is modeled at 11:00, 15:00, dan 22:30. Krian-Gresik subsystem is modeled at 14:00, 15:00, and 22:30. Criteria for selection of the best model is based on the MAPE value of out sample data. Given this forecast is also expected to optimize the load balancing performance of power plants that supply electricity distribution for each subsystem in accordance with customer consumption so that no electrical energy is wasted or even the over capacity usage. Result of the analysis showed that MLP method provides better accuracy rate for electricity consumption forecasting in East Java based on peak load for each subsystem compared with ARIMA and Hybrid ARIMA & MLP.

**Keyword:** *ARIMA, MAPE, Electricity, Short Term Forecasting, MLP, PT. PLN (Persero)*

*halaman ini sengaja di kosongkan*

## DAFTAR ISI

ABSTRAK .....	i
ABSTRACT .....	iii
KATA PENGANTAR .....	v
DAFTAR ISI.....	vii
DAFTAR GAMBAR .....	xi
DAFTAR TABEL.....	xv
BAB I PENDAHULUAN.....	1
1.1 Latar Belakang .....	1
1.2 Rumusan Masalah .....	7
1.3 Tujuan Penelitian .....	7
1.4 Manfaat Penelitian .....	8
1.5 Batasan Masalah.....	8
1.6 Kontribusi Penelitian.....	8
1.7 Sistematika Penulisan.....	8
BAB II DASAR TEORI DAN KAJIAN PUSTAKA.....	11
2.1 Karakteristik Beban Di Setiap Subsistem .....	11
2.2 Peramalan.....	11
2.3 Analisis <i>Time Series</i> .....	12
2.3.1 Stasioneritas .....	12
2.3.2 <i>Autocorrelation Function</i> (ACF) .....	14
2.3.3 <i>Partial Autocorrelation Function</i> (PACF).....	15
2.4 Model <i>Autoregressive Integrated Moving Average</i> (ARIMA) .....	15
2.4.1 Identifikasi Model .....	15
2.4.2 Estimasi Parameter.....	17
2.4.3 Pemeriksaan Diagnostik.....	19
2.4.4 Pemilihan Model Terbaik.....	20
2.5 Jaringan Saraf Tiruan .....	20
2.5.1 Arsitektur <i>Multilayer Perceptron</i> .....	21
2.5.2 Fungsi aktivasi .....	22
2.5.3 Fungsi Biaya .....	22

2.5.4 Algoritma <i>backpropagation</i> .....	23
2.5.5 Algoritma <i>Autoregressive Neural Network</i> .....	24
2.5.6 Metode Hibrida ARIMA dan <i>Multilayer Perceptron</i> .....	25
2.6 Proses Penyampaian Tenaga Listrik Ke Pelanggan.....	26
2.7 Sistem Tenaga Listrik Interkoneksi Jawa Timur .....	27
2.8 <i>Framework</i> .NET .....	27
<b>BAB III METODOLOGI PENELITIAN .....</b>	<b>31</b>
3.1 Sumber Data dan Variabel Penelitian.....	31
3.2 Pengolahan Data .....	32
3.3 Studi Literatur Metode ARIMA .....	35
3.4 Studi Literatur Metode <i>Multilayer Perceptron</i> .....	36
3.5 Studi Literatur Metode Hibrida ARIMA dan <i>Multilayer Perceptron</i> .....	37
3.6 Perancangan Metode Peramalan <i>Time Series</i> Menggunakan ARIMA, <i>Multilayer Perceptron</i> , dan Hibrida ARIMA & <i>Multilayer Perceptron</i> ...	38
3.6.1 Peramalan dan Pemodelan menggunakan ARIMA .....	39
3.6.2 Penentuan Variabel <i>Input</i> MLP Berdasarkan Lag AR .....	39
3.6.3 Peramalan Data Menggunakan MLP .....	39
3.6.4 Peramalan Data Menggunakan Hibrida ARIMA dan MLP .....	40
3.7 Implementasi Rancangan Sistem Peramalan <i>Time series</i> Menggunakan ARIMA, <i>Multilayer Perceptro</i> , dan Hibrida ARIMA dan MLP .....	40
3.8 Uji Coba dan Analisis Hasil Percobaan Sistem .....	41
3.9 Lingkungan Perancangan Perangkat Lunak .....	41
<b>BAB IV HASIL PENELITIAN DAN PEMAHASAN .....</b>	<b>43</b>
4.1 Karakteristik Konsumsi Beban Listrik di Jawa Timur Untuk Setiap Subsistem .....	43
4.2 Peramalan Konsumsi Beban Listrik Setiap Subsistem di Jawa Timur Menggunakan Metode ARIMA .....	46
4.3 Peramalan Konsumsi Beban Listrik Setiap Subsistem di Jawa Timur Menggunakan Metode Autoregressive Neural Network .....	71
4.4 Peramalan Konsumsi Beban Listrik Setiap Subsistem di Jawa Timur Menggunakan Metode Hibrida ARIMA dan MLP .....	86

4.5 Perbandingan Hasil Ramalan Metode ARIMA, MLP, dan Hibrida ARIMA dan MLP .....	100
4.6 Hasil Kombinasi Lag AR untuk Metode MLP dan Hibrida ARIMA & MLP.....	102
4.7 Bagian Antarmuka Sistem.....	103
BAB V KESIMPULAN DAN SARAN .....	107
5.1 Kesimpulan .....	107
5.2 Saran.....	110
DAFTAR PUSTAKA .....	111
LAMPIRAN.....	115
BIOGRAFI PENULIS .....	229

*(Halaman ini sengaja dikosongkan)*

## DAFTAR GAMBAR

<b>Gambar 1.1</b> Grafik penjualan energi listrik tahun 2014 .....	1
<b>Gambar 2.1.</b> Arsitektur <i>multilayer perceptron</i> .....	21
<b>Gambar 2.2.</b> Fungsi aktivasi sigmoid biner.....	22
<b>Gambar 2.3.</b> Fungsi aktivasi linier .....	22
<b>Gambar 2.4.</b> Arsitektur AR-NN. ....	25
<b>Gambar 2.5.</b> Skema diagram penyampaian tenaga listrik ke pelanggan.....	27
<b>Gambar 3.1.</b> Alur metodologi penelitian.....	31
<b>Gambar 3.2.</b> Diagram alir model peramalan ARIMA.....	36
<b>Gambar 3.3.</b> Diagram alir <i>backpropagation</i> .....	37
<b>Gambar 3.4.</b> Diagram alir hibrida ARIMA dan MLP .....	38
<b>Gambar 3.5.</b> Rancangan sistem .....	38
<b>Gambar 4.1.</b> Rata-rata konsumsi listrik di subsistem Paiton.....	45
<b>Gambar 4.2.</b> Rata-rata konsumsi listrik di subsistem Kediri dan Ngimbang. ....	45
<b>Gambar 4.3.</b> Rata-rata konsumsi listrik di subsistem Krian.....	46
<b>Gambar 4.4.</b> Rata-rata konsumsi listrik di subsistem Krian-Gresik.....	46
<b>Gambar 4.5.</b> <i>Time series plot</i> subsistem Kediri pukul 13.30 .....	48
<b>Gambar 4.6.</b> <i>Time series plot</i> subsistem Krian pukul 15.00.....	48
<b>Gambar 4.7.</b> <i>Time series plot</i> subsistem Krian-Gresik pukul 14.00.....	49
<b>Gambar 4.8.</b> <i>Time series plot</i> subsistem Ngimbang pukul 13.30 .....	49
<b>Gambar 4.9.</b> <i>Time series plot</i> subsistem Paiton pukul 13.30 .....	49
<b>Gambar 4.10.</b> <i>Box-Cox Transformation</i> subsistem Kediri pukul 13.30 .....	50
<b>Gambar 4.11.</b> <i>Box-Cox Transformation</i> subsistem Krian pukul 15.00 .....	50
<b>Gambar 4.12.</b> <i>Box-Cox Transformation</i> subsistem Krian-Gresik pukul 14.00 ...	50
<b>Gambar 4.13.</b> <i>Box-Cox Transformation</i> subsistem Ngimbang pukul 13.30 .....	51
<b>Gambar 4.14.</b> <i>Box-Cox Transformation</i> subsistem Paiton pukul 13.30.....	51
<b>Gambar 4.15.</b> Plot ACF subsistem Krian pukul 15.00 (a), plot ACF <i>differencing</i> 7 pukul 15.00 (b), plot ACF <i>differencing</i> 7 dan 1 pukul 15.00 (c), dan plot PACF <i>differencing</i> 7 dan 1 pukul 15.00 (d). .....	53

<b>Gambar 4.16.</b> Plot ACF subsistem Krian-Gresik pukul 14.00 (a), plot ACF <i>differencing 7</i> pukul 14.00 (b), plot ACF <i>differencing 7</i> dan 1 pukul 14.00 (c), dan plot PACF <i>differencing 7</i> dan 1 pukul 14.00 (d) .....	53
<b>Gambar 4.17.</b> Plot ACF subsistem Kediri pukul 13.30 (a), plot ACF <i>differencing 7</i> pukul 13.30 (b), plot ACF <i>differencing 7</i> dan 1 pukul 13.30 (c), dan plot PACF <i>differencing 7</i> dan 1 pukul 13.30 (d) .....	54
<b>Gambar 4.18.</b> Plot ACF subsistem Paiton pukul 13.30 (a), plot ACF <i>differencing 7</i> pukul 13.30 (b), plot ACF <i>differencing 7</i> dan 1 pukul 13.30 (c), dan plot PACF <i>differencing 7</i> dan 1 pukul 13.30 (d) .....	54
<b>Gambar 4.19.</b> Plot ACF subsistem Ngimbang pukul 13.30 (a), plot ACF <i>differencing 7</i> pukul 13.30 (b), plot ACF <i>differencing 7</i> dan 1 pukul 13.30 (c), dan plot PACF <i>differencing 7</i> dan 1 pukul 13.30 (d) .....	55
<b>Gambar 4.20.</b> Kurva model subsistem Krian-Gresik 14.00 (a), Krian-Gresik 15.00 (b), Krian-Gresik 23.00 (c), Kediri 13.30 (d), Kediri 18.30 (e), Kediri 05.30 (f), Paiton 13.30 (g), Paiton 18.30 (h), dan Paiton 22.30 (i).....	62
<b>Gambar 4.21.</b> Hasil perbandingan ramalan dengan data aktual berdasarkan <i>in sample</i> (a) dan <i>out sample</i> di subsistem Paiton pukul 13.30 (b).....	65
<b>Gambar 4.22.</b> Hasil perbandingan ramalan dengan data aktual berdasarkan <i>in sample</i> (a) dan <i>out sample</i> di subsistem Kediri pukul 13.30 (b).....	65
<b>Gambar 4.23.</b> Hasil perbandingan ramalan dengan data aktual berdasarkan <i>in sample</i> (a) dan <i>out sample</i> di subsistem Krian pukul 15.00 (b).....	66
<b>Gambar 4.24.</b> Hasil perbandingan ramalan dengan data aktual berdasarkan <i>in sample</i> (a) dan <i>out sample</i> di subsistem Krian-Gresik pukul 14.00 (b) .....	66
<b>Gambar 4.25.</b> Perbandingan ramalan dan aktual berdasarkan <i>in sample</i> (a) dan <i>out sample</i> di subsistem Ngimbang pukul 13.30 (b).....	66

<b>Gambar 4.26.</b> Grafik MAPE, SMAPE, dan RMSE untuk mengukur keakuratan model di subsistem Ngimbang Pukul 13.30 .....	67
<b>Gambar 4.27.</b> Grafik MAPE, SMAPE, dan subsistem Paiton pukul 13.30 .....	68
<b>Gambar 4.28.</b> Grafik MAPE, SMAPE, dan RMSE Kediri pukul 13.30 .....	68
<b>Gambar 4.29.</b> Grafik MAPE, SMAPE, dan RMSE untuk mengukur keakuratan model di subsistem Krian pukul 15.00 .....	69
<b>Gambar 4.30.</b> Grafik MAPE, SMAPE, dan RMSE untuk mengukur keakuratan model di subsistem Krian-Gresik pukul 14.00 .....	70
<b>Gambar 4.31.</b> Hasil perbandingan ramalan berdasarkan data <i>out sample</i> untuk metode MLP pada model Krian pukul 15.00 (a), Ngimbang pukul 13.30 (b), Kediri pukul 13.30 (c), Krian-Gresik pukul 14.00 (d), dan Paiton pukul 13.30 (e).....	81
<b>Gambar 4.32.</b> Hasil perbandingan ramalan berdasarkan data <i>in sample</i> untuk metode MLP pada model Krian pukul 15.00 (a), Ngimbang pukul 13.30 (b), Kediri pukul 13.30 (c), Krian-Gresik pukul 14.00 (d), dan Paiton pukul 13.30 (e).....	82
<b>Gambar 4.33.</b> Grafik hasil MAPE, SMAPE, dan RMSE dengan metode MLP untuk subsistem Kediri pukul 13.30.....	83
<b>Gambar 4.34.</b> Grafik hasil MAPE, SMAPE, dan RMSE dengan metode MLP untuk subsistem Paiton pukul 13.30.....	83
<b>Gambar 4.35.</b> Grafik hasil MAPE, SMAPE, dan RMSE dengan metode MLP untuk subsistem Ngimbang pukul 13.30 .....	84
<b>Gambar 4.36.</b> Grafik hasil MAPE, SMAPE, dan RMSE dengan metode MLP untuk subsistem Krian pukul 15.00 .....	84
<b>Gambar 4.37.</b> Grafik hasil MAPE, SMAPE, dan RMSE dengan metode MLP untuk subsistem Krian-Gresik pukul 14.00 .....	85
<b>Gambar 4.38.</b> Hasil perbandingan ramalan dari metode hibrida ARIMA & MLP berdasarkan data <i>out sample</i> untuk model Krian-Gresik pukul 14.00 (a), Paiton pukul 13.30 (b), Kediri pukul 13.30 (c) Krian pukul 15.00 (d), dan Ngimbang 13.30 (e) .....	95
<b>Gambar 4.39.</b> Hasil perbandingan ramalan dari metode hibrida ARIMA &	

MLP berdasarkan data <i>in sample</i> untuk model Krian-Gresik pukul 14.00 (a), Paiton pukul 13.30 (b), Kediri pukul 13.30 (c) Krian pukul 15.00 (d), dan Ngimbang 13.30 (e).....	96
<b>Gambar 4.40.</b> Grafik MAPE, SMAPE, RMSE metode hibrida ARIMA & MLP berdasarkan <i>out sample</i> di subsistem Krian Pukul 15.00 .....	97
<b>Gambar 4.41.</b> Grafik MAPE, SMAPE, RMSE metode hibrida ARIMA & MLP berdasarkan <i>out sample</i> Krian-Gresik Pukul 14.00 .....	97
<b>Gambar 4.42.</b> Grafik MAPE, SMAPE, RMSE metode hibrida ARIMA & MLP berdasarkan <i>out sample</i> di subsistem Ngimbang Pukul 13.30.....	98
<b>Gambar 4.43.</b> Grafik MAPE, SMAPE, RMSE metode hibrida ARIMA & MLP berdasarkan <i>out sample</i> di subsistem Kediri Pukul 13.30 .....	99
<b>Gambar 4.44.</b> Grafik MAPE, SMAPE, RMSE metode hibrida ARIMA & MLP berdasarkan <i>out sample</i> di subsistem Paiton Pukul 13.30 .....	99
<b>Gambar 4.45.</b> Antarmuka pemilihan metode .....	104
<b>Gambar 4.46.</b> Antarmuka pemilihan subsistem yang dianalisis .....	104
<b>Gambar 4.47.</b> Antarmuka metode ARIMA.....	105
<b>Gambar 4.48.</b> Antarmuka metode MLP .....	105
<b>Gambar 4.49.</b> Antarmuka metode hibrida ARIMA & MLP .....	106

## DAFTAR TABEL

<b>Tabel 1.1</b> Persebaran wilayah setiap subsistem .....	2
<b>Tabel 1.2</b> Kapasitas di setiap pembangkit.....	2
<b>Tabel 1.3</b> Jumlah penjualan listrik setiap kelompok pelanggan.....	3
<b>Tabel 1.4</b> Pembagian pemodelan di setiap subsistem .....	7
<b>Tabel 2.1.</b> Nilai $\lambda$ dan <i>power transformation</i> .....	14
<b>Tabel 2.2.</b> Struktur ACF dan PACF yang stasioner .....	16
<b>Tabel 2.3.</b> Struktur ACF dan PACF identifikasi model ARIMA non-musiman..	16
<b>Tabel 3.1.</b> <i>Load peak</i> di setiap subsistem.....	32
<b>Tabel 3.2.</b> Jumlah <i>load peak</i> di subsistem Krian setiap setengah jam dari 1/12/2014 hingga 28/2/2015.....	33
<b>Tabel 3.3.</b> Jumlah <i>load peak</i> di subsistem Krian-Gresik setiap setengah jam dari 1/12/2014 hingga 28/2/2015.....	33
<b>Tabel 3.4.</b> Jumlah <i>load peak</i> di subsistem Ngimbang setiap setengah jam dari 1/12/2014 hingga 28/2/2015.....	34
<b>Tabel 3.5.</b> Jumlah <i>load peak</i> di subsistem kediri setiap setengah jam dari 1/12/2014 hingga 28/2/2015.....	34
<b>Tabel 3.6.</b> Jumlah <i>load peak</i> di subsistem paiton setiap setengah jam dari 1/12/2014 hingga 28/2/2015.....	35
<b>Tabel 3.7.</b> Lingkungan perancangan perangkat lunak.....	41
<b>Tabel 4.1.</b> Hasil analisis deskriptif konsumsi beban listrik di Jawa Timur wilayah subsistem Paiton. ....	43
<b>Tabel 4.2.</b> Hasil analisis skewness dan kurtosis disetiap subsistem.....	47
<b>Tabel 4.3.</b> Pendugaan model ARIMA di setiap subsistem Jawa Timur.....	55
<b>Tabel 4.4.</b> Hasil uji signifikansi parameter pendugaan model ARIMA .....	56
<b>Tabel 4.5.</b> Hasil pengujian asumsi residual pendugaan model ARIMA .....	56
<b>Tabel 4.6.</b> Jumlah <i>outlier</i> di setiap subsistem .....	58
<b>Tabel 4.7.</b> Model ARIMA setelah dilakukan penambahan <i>outlier</i> .....	58
<b>Tabel 4.8.</b> Hasil uji signifikansi parameter model ARIMA $(0,1,[1,2])(0,1,1)^7$ untuk subsistem Ngimbang 13.30 .....	59

<b>Tabel 4.9.</b> Hasil uji signifikansi parameter model ARIMA $(0,1,1)(0,1,1)^7$ untuk subsistem Paiton 13.30.....	59
<b>Tabel 4.10.</b> Hasil uji signifikansi parameter model ARIMA $(0,1,[1,18])(0,1,1)^7$ untuk subsistem Kediri 13.30.....	59
<b>Tabel 4.11.</b> Hasil uji signifikansi parameter model ARIMA $(0,1,1)(0,1,1)^7$ untuk subsistem Krian 15.00.....	60
<b>Tabel 4.12.</b> Hasil uji signifikansi parameter ARIMA $(0,1,[1,6,12])(0,1,1)^7$ untuk subsistem Krian-Gresik 14.00.....	60
<b>Tabel 4.13.</b> Hasil pengujian asumsi residual model ARIMA dengan <i>outlier</i> disetiap subsistem .....	60
<b>Tabel 4.14.</b> Nilai skewness dan kurtosis setelah dideteksi <i>outlier</i> .....	63
<b>Tabel 4.15.</b> Hasil Model ARIMA dengan deteksi <i>outlier</i> untuk setiap subsistem berdasarkan <i>in sample</i> .....	70
<b>Tabel 4.16.</b> Hasil Model ARIMA dengan deteksi <i>outlier</i> untuk setiap subsistem berdasarkan <i>out sample</i> .....	71
<b>Tabel 4.17.</b> Variabel <i>input</i> untuk metode MLP di setiap subsistem .....	72
<b>Tabel 4.18.</b> Hasil percobaan MLP untuk subsistem Krian-Gresik pukul 14.00 ...	72
<b>Tabel 4.19.</b> Hasil percobaan MLP untuk subsistem Ngimbang pukul 13.30 .....	73
<b>Tabel 4.20.</b> Hasil percobaan MLP untuk subsistem Krian pukul 15.00 .....	74
<b>Tabel 4.21.</b> Hasil percobaan MLP untuk subsistem Kediri pukul 13.30 .....	74
<b>Tabel 4.22.</b> Hasil percobaan MLP untuk subsistem Paiton pukul 13.30 .....	75
<b>Tabel 4.23.</b> Daftar model terbaik berdasarkan <i>out sample</i> untuk setiap subsistem.....	76
<b>Tabel 4.24.</b> Daftar model terbaik berdasarkan <i>out sample</i> untuk setiap subsistem.....	76
<b>Tabel 4.25.</b> Nilai bobot dan bias metode MLP untuk model di subsistem Krian-Gresik 14.00 .....	77
<b>Tabel 4.26.</b> Nilai bobot dan bias metode MLP untuk model di subsistem Krian pukul 15.00.....	78
<b>Tabel 4.27.</b> Nilai bobot dan bias metode MLP untuk model di subsistem Kediri pukul 13.30.....	78

<b>Tabel 4.28.</b> Nilai bobot dan bias metode MLP untuk model di subsistem Ngimbang pukul 13.30 .....	79
<b>Tabel 4.29.</b> Nilai bobot dan bias metode MLP untuk model di subsistem Paiton pukul 13.30.....	80
<b>Tabel 4.30.</b> Hasil percobaan Hibrida ARIMA dan MLP untuk subsistem Krian-Gresik pukul 14.00 .....	87
<b>Tabel 4.31.</b> Hasil percobaan Hibrida ARIMA dan MLP untuk subsistem Ngimbang pukul 13.30 .....	87
<b>Tabel 4.32.</b> Hasil percobaan Hibrida ARIMA dan MLP untuk subsistem Krian pukul 15.00 .....	88
<b>Tabel 4.33.</b> Hasil percobaan Hibrida ARIMA dan MLP untuk subsistem Kediri pukul 13.30 .....	89
<b>Tabel 4.34.</b> Hasil percobaan Hibrida ARIMA dan MLP untuk subsistem Paiton pukul 13.30.....	89
<b>Tabel 4.35.</b> Hasil model terbaik untuk metode hibrida ARIMA dan MLP disetiap subsistem.....	90
<b>Tabel 4.36.</b> Arsitektur model hibrida ARIMA dan MLP .....	91
<b>Tabel 4.37.</b> Nilai bobot dan bias metode hibrida ARIMA & MLP subsistem Krian-Gresik pukul 14.00 .....	91
<b>Tabel 4.38.</b> Nilai bobot dan bias metode hibrida ARIMA & MLP subsistem Krian pukul 15.00 .....	92
<b>Tabel 4.39.</b> Nilai bobot dan bias metode hibrida ARIMA & MLP subsistem Ngimbang pukul 13.30 .....	92
<b>Tabel 4.40.</b> Nilai bobot dan bias metode hibrida ARIMA & MLP subsistem Kediri pukul 13.30 .....	93
<b>Tabel 4.41.</b> Nilai bobot dan bias metode hibrida ARIMA & MLP subsistem Paiton pukul 13.30 .....	94
<b>Tabel 4.42.</b> Hasil model kebaikan ramalan <i>out sample</i> metode ARIMA. ....	100
<b>Tabel 4.43.</b> Hasil model kebaikan ramalan <i>out sample</i> metode MLP.....	101
<b>Tabel 4.44.</b> Hasil model kebaikan ramalan <i>out sample</i> metode hibrida ARIMA dan MLP .....	101

<b>Tabel 4.45.</b> Hasil <i>error</i> MAPE, SMAPE, RMSE, berdasarkan peramalan beberapa hari kedepannya berdasarkan <i>out sample</i> .....	102
<b>Tabel 4.46.</b> Hasil kombinasi lag AR untuk metode MLP berdasarkan <i>out sample</i> .....	102
<b>Tabel 4.47.</b> Hasil kombinasi lag AR untuk metode hibrida ARIMA dan MLP berdasarkan <i>out sample</i> .....	103

## DAFTAR LAMPIRAN

<b>Lampiran 1:</b> Data konsumsi beban listrik di subsistem Krian dari 1/1/2014 – 8/2/2015 .....	115
<b>Lampiran 2:</b> Data konsumsi beban listrik di subsistem Ngimbang dari 1/1/2014 - 28/2/2015.....	117
<b>Lampiran 3:</b> Data konsumsi beban listrik di subsistem Krian-Gresik dari 1/1/2014 – 28/2/2015 .....	119
<b>Lampiran 4:</b> Data konsumsi beban listrik di subsistem Kediri dari 1/1/2014 – 28/2/2015 .....	121
<b>Lampiran 5:</b> Data konsumsi beban listrik di subsistem Paiton dari 1/1/2014 – 28/2/2015 .....	123
<b>Lampiran 6:</b> Peta persebaran distribusi listrik di Jawa Timur .....	125
<b>Lampiran 7:</b> Hasil analisis deskriptif konsumsi beban listrik di Jawa Timur wilayah subsistem Krian .....	126
<b>Lampiran 8:</b> Hasil analisis deskriptif konsumsi beban listrik di Jawa Timur wilayah subsistem Kediri .....	128
<b>Lampiran 9:</b> Hasil analisis deskriptif konsumsi beban listrik di Jawa Timur wilayah subsistem Krian-Gresik .....	130
<b>Lampiran 10:</b> Hasil analisis deskriptif konsumsi beban listrik di Jawa Timur wilayah subsistem Ngimbang .....	132
<b>Lampiran 11:</b> <i>Time series plot</i> konsumsi listrik di subsistem Kediri (a), Ngimbang (b), Krian (c), dan Krian-Gresik (d).....	134
<b>Lampiran 12:</b> <i>Time series plot</i> konsumsi listrik di subsistem Kediri 18.30 (a), Kediri 05.30 (b), Krian 11.00 (c), Krian 23.00 (d), Krian-Gresik 15.00 (e), Krian-Gresik 22.30 (f), Ngimbang 19.30 (g), Ngimbang 22.30 (h), Paiton 18.30 (i), dan Paiton 22.30 (j). .....	135
<b>Lampiran 13:</b> <i>Box-Cox Transformation</i> konsumsi listrik di di subsistem Kediri 05.30 (a), Kediri 18.30 (b), Krian 11.00 (c), Krian 23.00 (d), Krian-Gresik 15.00 (e), Krian-Gresik 22.30 (f), Ngimbang	

19.30 (g), Ngimbang 22.30 (h), Paiton 18.30 (i), dan Paiton  
22.30 (j) ..... 137

**Lampiran 14:** Plot ACF Krian 11.00 (a), ACF Krian 23.00 (b), PACF Krian  
11.00 *differencing 7* (c), ACF Krian 11.00 *differencing 7* (d),  
PACF Krian 23.00 *differencing 7* (e), ACF Krian 23.00  
*differencing 7* (f), PACF Krian 11.00 *differencing 7* dan 1 (g),  
ACF Krian 11.00 *differencing 7* dan 1 (h), PACF Krian 23.00  
*differencing 7* dan 1 (i), ACF Krian 23.00 *differencing 7* dan  
1 (j) ..... 139

**Lampiran 15:** Plot ACF Krian-Gresik 22.30 (a), ACF Krian-Gresik 15.00 (b),  
PACF Krian-Gresik 15.00 *differencing 7* (c), ACF Krian-Gresik  
15.00 *differencing 7* (d), PACF Krian-Gresik 22.30 *differencing*  
7 (e), ACF Krian - Gresik 22.30 *differencing 7* (f), PACF  
Krian-Gresik 15.00 *differencing 7* dan 1 (g), ACF Krian-Gresik  
15.00 *differencing 7* dan 1 (h), PACF Krian - Gresik 22.30  
*differencing 7* dan 1 (i), ACF Krian - Gresik 22.30 *differencing*  
7 dan 1 (j)..... 141

**Lampiran 16:** Plot ACF dan PACF Subsistem Kediri 05.30 (a), ACF Kediri  
18.30 (b), PACF Kediri 18.30 *differencing 7* (c), ACF Kediri  
18.30 *differencing 7* (d), PACF Kediri 05.30 *differencing 7*  
(e), Kediri 05.30 *differencing 7* (f), PACF Kediri 18.30  
*differencing 7* dan 1 (g), ACF Kediri 18.30 *differencing 7* dan  
1 (h), PACF Kediri 05.30 *differencing 7* dan 1 (i), ACF Kediri  
05.30 *differencing 7* dan 1 (j) ..... 143

**Lampiran 17:** Plot ACF dan PACF Subsistem Paiton 22.30 (a), ACF Kediri  
18.30 (b), PACF Paiton 18.30 *differencing 7* (c), ACF Paiton  
18.30 *differencing 7* (d), PACF Paiton 22.30 *differencing 7* (e),  
ACF Paiton 22.30 *differencing 7* (f), PACF Paiton 18.30  
*differencing 7* dan 1 (g), ACF Paiton 18.30 *differencing 7* dan 1  
(h), PACF Paiton 22.30 *differencing 7* dan 1 (i), ACF Paiton  
22.30 *differencing 7* dan 1 (j) ..... 145

<b>Lampiran 18:</b> Plot ACF dan PACF Subsistem Ngimbang 22.30 (a), ACF Ngimbang 19.30 (b), PACF Ngimbang 19.30 <i>differencing</i> 7 (c), ACF Ngimbang 19.30 <i>differencing</i> 7 (d), PACF Ngimbang 22.30 <i>differencing</i> 7 (e), ACF Ngimbang 22.30 <i>differencing</i> 7 (f), PACF Ngimbang 19.30 <i>differencing</i> 7 dan 1 (g), ACF Ngimbang 19.30 <i>differencing</i> 7 dan 1 (h), PACF Ngimbang 22.30 <i>differencing</i> 7 dan 1 (i), ACF Ngimbang 22.30 <i>differencing</i> 7 dan 1 (j).....	147
<b>Lampiran 19:</b> Hasil uji signifikansi parameter pendugaan model ARIMA .....	149
<b>Lampiran 20:</b> Hasil pengujian asumsi residual pendugaan model ARIMA di setiap subsistem .....	150
<b>Lampiran 21:</b> Hasil uji signifikansi model ARIMA di setiap subsistem dengan penambahan <i>outlier</i> .....	152
<b>Lampiran 22:</b> Hasil pengujian asumsi residual model ARIMA dengan <i>outlier</i> disetiap subsistem .....	155
<b>Lampiran 23:</b> Hasil ramalan data <i>out sample</i> dengan model ARIMA untuk subsistem Ngimbang .....	157
<b>Lampiran 24:</b> Hasil ramalan data <i>out sample</i> dengan model ARIMA untuk subsistem Paiton.....	158
<b>Lampiran 25:</b> Hasil ramalan data <i>out sample</i> dengan model ARIMA untuk subsistem Kediri.....	159
<b>Lampiran 26:</b> Hasil ramalan data <i>out sample</i> dengan model ARIMA untuk subsistem Krian.....	160
<b>Lampiran 27:</b> Hasil ramalan data <i>out sample</i> dengan model ARIMA untuk subsistem Krian-Gresik.....	161
<b>Lampiran 28:</b> Hasil metode ARIMA berdasarkan perbandingan ramalan data aktual subsistem Ngimbang pukul 19.30 berdasarkan <i>in sample</i> (a), <i>out sample</i> (b), Ngimbang pukul 22.30 berdasarkan <i>in sample</i> (c), dan berdasarkan <i>out sample</i> (d).....	162
<b>Lampiran 29:</b> Hasil metode ARIMA berdasarkan perbandingan ramalan data aktual subsistem Paiton pukul 18.30 berdasarkan <i>in sample</i> (a),	

<i>out sample</i> (b), Paiton pukul 22.30 berdasarkan <i>in sample</i> (c), dan berdasarkan <i>out sample</i> (d) .....	163
<b>Lampiran 30:</b> Hasil metode ARIMA berdasarkan perbandingan ramalan data aktual subsistem Kediri pukul 18.30 berdasarkan <i>in sample</i> (a), <i>out sample</i> (b), Kediri pukul 05.30 berdasarkan <i>in sample</i> (c), dan berdasarkan <i>out sample</i> (d) .....	164
<b>Lampiran 31:</b> Hasil metode ARIMA berdasarkan perbandingan ramalan data aktual subsistem Krian pukul 11.00 berdasarkan <i>in sample</i> (a), <i>out sample</i> (b), Krian pukul 23.00 berdasarkan <i>in sample</i> (c), dan berdasarkan <i>out sample</i> (d) .....	165
<b>Lampiran 32:</b> Hasil metode ARIMA berdasarkan perbandingan ramalan data aktual subsistem Krian-Gresik pukul 15.00 berdasarkan <i>in sample</i> (a), <i>out sample</i> (b), Krian-Gresik pukul 22.30 berdasarkan <i>in sample</i> (c), dan berdasarkan <i>out sample</i> (d).....	166
<b>Lampiran 33:</b> Grafik MAPE, SMAPE, dan RMSE model ARIMA di subsistem Ngimbang.....	167
<b>Lampiran 34:</b> Grafik MAPE, SMAPE, dan RMSE model ARIMA di subsistem Paiton .....	168
<b>Lampiran 35:</b> Grafik MAPE, SMAPE, dan RMSE model ARIMA di subsistem Kediri .....	169
<b>Lampiran 36:</b> Grafik MAPE, SMAPE, dan RMSE model ARIMA di subsistem Krian .....	170
<b>Lampiran 37 :</b> Grafik MAPE, SMAPE, dan RMSE model ARIMA di subsistem Krian-Gresik .....	171
<b>Lampiran 38 :</b> Hasil percobaan MLP untuk subsistem Krian pukul 11.00 .....	172
<b>Lampiran 39 :</b> Hasil percobaan MLP untuk subsistem Krian pukul 23.00 .....	174
<b>Lampiran 40 :</b> Hasil percobaan MLP untuk subsistem Krian-Gresik pukul 15.00 .....	175
<b>Lampiran 41 :</b> Hasil percobaan MLP untuk subsistem Krian-Gresik pukul 22.30 .....	176
<b>Lampiran 42 :</b> Hasil percobaan MLP untuk subsistem Kediri pukul 18.30 ....	177
<b>Lampiran 43 :</b> Hasil percobaan MLP untuk subsistem Kediri pukul 05.30 ....	178

<b>Lampiran 44 :</b> Hasil percobaan MLP untuk subsistem Paiton pukul 18.30.....	179
<b>Lampiran 45 :</b> Hasil percobaan MLP untuk subsistem Paiton pukul 22.30.....	180
<b>Lampiran 46 :</b> Hasil percobaan MLP untuk subsistem Ngimbang pukul 19.30.....	181
<b>Lampiran 47 :</b> Hasil percobaan MLP untuk subsistem Ngimbang pukul 22.30.....	182
<b>Lampiran 48 :</b> Nilai bobot dan bias metode MLP untuk model di setiap subsistem.....	183
<b>Lampiran 49 :</b> Persamaan model MLP untuk setiap subsistem .....	186
<b>Lampiran 50 :</b> Persamaan model ARIMA untuk setiap subsistem .....	190
<b>Lampiran 51:</b> Hasil Percobaan hibrida ARIMA dan MLP untuk subsistem Krian pukul 11.00 .....	192
<b>Lampiran 52:</b> Hasil percobaan Hibrida ARIMA dan MLP untuk subsistem Krian pukul 23.00 .....	194
<b>Lampiran 53:</b> Hasil percobaan Hibrida ARIMA dan MLP untuk subsistem Krian-Gresik pukul 15.00 .....	195
<b>Lampiran 54:</b> Hasil percobaan Hibrida ARIMA dan MLP untuk subsistem Krian-Gresik pukul 22.30 .....	196
<b>Lampiran 55:</b> Hasil percobaan Hibrida ARIMA dan MLP untuk subsistem Kediri pukul 18.30 .....	197
<b>Lampiran 56:</b> Hasil percobaan Hibrida ARIMA dan MLP untuk subsistem Kediri pukul 05.30 .....	198
<b>Lampiran 57:</b> Hasil percobaan Hibrida ARIMA dan MLP untuk subsistem Paiton pukul 18.30 .....	199
<b>Lampiran 58:</b> Hasil percobaan Hibrida ARIMA dan MLP untuk subsistem Paiton pukul 22.30 .....	200
<b>Lampiran 59:</b> Hasil percobaan Hibrida ARIMA dan MLP untuk subsistem Ngimbang pukul 19.30.....	201
<b>Lampiran 60:</b> Hasil percobaan Hibrida ARIMA dan MLP untuk subsistem Ngimbang pukul 22.30.....	202
<b>Lampiran 61:</b> Hasil ramalan konsumsi beban listrik di setiap subsistem. ....	203

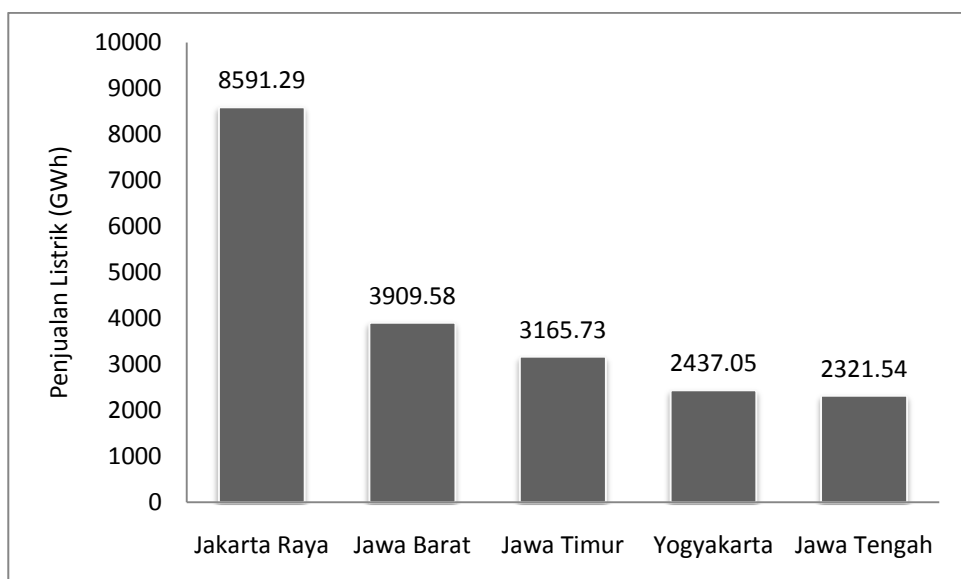
<b>Lampiran 62:</b> <i>Time series plot</i> hasil ramalan disetiap subsistem dengan metode MLP berdasarkan data <i>out sample</i> Ngimbang 19.30 (a), Ngimbang 22.30 (b), Kediri 18.30 (c), Kediri 05.30 (d), Krian 11.00 (e), Krian 23.00 (f), Krian-Gresik 15.00 (g), Krian-Gresik 22.30 (h), Paiton 18.30 (i), Paiton 22.30 (j).....	207
<b>Lampiran 63:</b> Grafik hasil MAPE, SMAPE, dan RMSE metode MLP untuk setiap subsistem Ngimbang .....	209
<b>Lampiran 64:</b> Grafik hasil MAPE, SMAPE, dan RMSE metode MLP untuk setiap subsistem Paiton .....	210
<b>Lampiran 65:</b> Grafik hasil MAPE, SMAPE, dan RMSE metode MLP untuk setiap subsistem Kediri .....	211
<b>Lampiran 66:</b> Grafik hasil MAPE, SMAPE, dan RMSE metode MLP untuk setiap subsistem Krian .....	212
<b>Lampiran 67:</b> Grafik hasil MAPE, SMAPE, dan RMSE metode MLP untuk setiap subsistem Krian-gresik .....	213
<b>Lampiran 68:</b> <i>Times series plot</i> hasil ramalan berdasarkan <i>out sample</i> pada metode hibrida ARIMA & MLP disetiap susistem .....	214
<b>Lampiran 69:</b> Nilai Bobot dan Bias dengan metode hibrida ARIMA & MLP di setiap subistem.....	216
<b>Lampiran 70:</b> Persamaan pada metode hibrida ARIMA & MLP untuk setiap subsistem .....	220
<b>Lampiran 71:</b> Grafik nilai MAPE, SMAPE, dan RMSE disetiap subsistem dengan metode Hibrida ARIMA & MLP .....	224

# BAB I

## PENDAHULUAN

### 1.1 Latar Belakang

Konsumsi listrik Indonesia setiap tahunnya terus meningkat sejalan dengan peningkatan pertumbuhan ekonomi nasional. Di Indonesia, wilayah pemasaran listrik terbagi menjadi tiga wilayah besar yaitu wilayah Sumatera, Jawa-Bali dan Indonesia Timur. Pemasaran listrik di ketiga wilayah tersebut terdiri dari beberapa sektor, yaitu sektor industri, rumah tangga, usaha, dan umum. Peningkatan akan kebutuhan listrik diperkirakan akan terus mengalami pertumbuhan rata-rata 6,5% per tahun hingga tahun 2020. Berdasarkan data statistik PLN 2014 yang ditunjukkan pada Gambar 1.1 penjualan energi listrik ke pelanggan di wilayah Jawa-Bali menunjukkan bahwa wilayah Jakarta Raya menduduki peringkat pertama, peringkat kedua diduduki oleh wilayah Jawa barat, dan Jawa Timur menduduki peringkat ketiga (BPPT, 2006).



**Gambar 1.1** Grafik penjualan energi listrik tahun 2014

Distribusi Jawa Timur diatur oleh PT. PLN (Persero) P3B Jawa Timur & Bali. Region Jawa Timur terbagi menjadi lima wilayah subsistem distribusi, yaitu subsistem Krian, Paiton, Ngimbang, Kediri dan Krian-Gresik. Masing-masing subsistem mensuplai energi listrik dibeberapa wilayah kabupaten dan kota. Setiap subsistem disuplai dari beberapa pembangkit yang berbeda-beda yang tersebar di

beberapa daerah. Pembagian suplai listrik di setiap subsistem dijelaskan di Tabel 1.1. Setiap pembangkit mempunyai kapasitas yang berbeda seperti pada Tabel 1.2.

**Tabel 1.1** Persebaran wilayah setiap subsistem

No .	Subsistem	Persebaran Wilayah	Pembangkit
1	Krian	Kota Surabaya Barat, Sidoarjo	<ul style="list-style-type: none"> <li>• PLTA Siman</li> <li>• PLTA Mendalan</li> <li>• PLTGU Gresik B-1</li> </ul>
2	Ngimbang	Bojonegoro, Lamongan, Tuban	<ul style="list-style-type: none"> <li>• PLTU Tanjung Awar-Awar 1</li> <li>• PLTU Tanjung Awar-Awar 2</li> </ul>
3	Krian-Gresik	Bangkalan, Pamekasan, Sumenep, Sampang, Surabaya Utara, Surabaya Timur, Surabaya Selatan, Surabaya Pusat	<ul style="list-style-type: none"> <li>• PLTGU Gresik B-2</li> <li>• PLTGU Gresik B-3</li> <li>• PLTGU Gilitimus</li> </ul>
4	Paiton	Banyuwangi, Jember, Lumajang, Situbondo, Bondowoso, Pasuruan, Probolinggo, Kabupaten Malang, Kota Malang, Kota Batu, Kota Probolinggo, Kota Pasuruan	<ul style="list-style-type: none"> <li>• PLTGU Grati Blok 2</li> <li>• PLTA Sutami</li> <li>• PLTA Sengguruh</li> <li>• PLTA Selorejo</li> <li>• PLTA Wlingi</li> <li>• PLTA Ledoyo</li> <li>• PLTU Paiton</li> </ul>
5	Kediri	Kediri, Kabupaten Blitar, Kota Blitar, Kota Kediri, Tulungagung, Kabupaten Mojokerto, Kota Mojokerto, Jombang, Nganjuk, Ponorogo, Pacitan, Trenggalek, Kabupaten Madiun, Kota Madiun, Magetan, Ngawi	<ul style="list-style-type: none"> <li>• PLTA Tulungagung</li> <li>• PLTA Wonorejo</li> <li>• PLTA SPM</li> <li>• PLTU Pacitan 1</li> <li>• PLTU Pacitan 2</li> </ul>

**Tabel 1.2** Kapasitas di setiap pembangkit

No	Nama Pembangkit	Kapasitas (MW)
1	PLTA Siman	10,8
2	PLTA Mendalan	17,4
3	PLTU Tanjung Awar-Awar 1	350
4	PLTU Tanjung Awar-Awar 2	350
5	PLTGU Gresik B-2	566,26
6	PLTGU Gresik B-3	566,26
7	PLTGU Gresik B-1	300
8	PLTGU Gilitimus	40

**Tabel 1.2:** Lanjutan

No	Nama Pembangkit	Kapasitas (MW)
9	PLTGU Grati Blok 2	526
10	PLTA Sutami	105
11	PLTA Sengguruh	29
12	PLTA Selorejo	45
13	PLTA Wlingi	54
14	PLTA Ledoyo	205
15	PLTU Paiton	800
16	PLTA Tulungagung	36
17	PLTA SPM	187
18	PLTU Pacitan 1	315
19	PLTU Pacitan 2	315
20	PLTA Wonorejo	6,5

Setiap daerah kabupaten dan kota memiliki jumlah penjualan listrik yang berbeda-beda. Pelanggan PT. PLN (Persero) terbagi menjadi beberapa kelompok pelanggan yaitu kelompok pelanggan industri terdiri dari pabrik-pabrik, kelompok bisnis terdiri dari tempat pembelanjaan umum (mall dan pasar), kelompok publik terdiri dari penerangan jalan umum, dan instansi pemerintah, kelompok sosial terdiri dari sekolah, tempat ibadah, dan rumah sakit yang dibiayai oleh pihak swasta, dan yang terakhir adalah kelompok rumah tangga. Penjualan listrik di masing-masing kelompok pelanggan dalam setiap subsistem dijelaskan pada Tabel 1.3.

**Tabel 1.3** Jumlah penjualan listrik setiap kelompok pelanggan

Pelanggan(Kwh)	Krian	Paiton	Kediri	Krian-Gresik	Ngimbang
Sosial	4.581.513	19.070.778	14.322.731	30.888.633	4.214.449
Rumah Tangga	59.770.532	287.271.042	283.324.107	278.938.028	68.843.335
Bisnis	23.672.822	61.305.143	46.282.381	169.527.090	17.011.477
Industri	270.017.094	257.859.249	210.652.524	259.915.481	125.506.950
Publik	4.694.447	21.912.946	17.598.644	24.468.773	4.051.234

Wilayah Jawa Timur memiliki nilai SAIDI dan SAIFI yang cukup besar setelah wilayah Jawa Barat. Presentase SAIDI Jawa Timur 2.97% sedangkan SAIFI 2.75%. SAIDI merupakan salah suatu indeks yang digunakan untuk mengetahui rata-rata lama pemadaman pada setiap pelanggan yang dilayani sedangkan SAIFI merupakan suatu indeks yang digunakan untuk mengetahui rata-rata frekuensi pemadaman pada setiap pelanggan. Salah satu penyebab pemadaman yang terjadi karena adanya *overload* (kelebihan kapasitas) dimana jumlah pasokan energi listrik kurang dari permintaan konsumen sehingga akan terjadi pemadaman listrik (Saodah, 2008). Setiap 1% kesalahan yang terjadi dalam

penyediaan listrik akan mengabatkan kerugian hingga Rp. 200 Miliar lebih (Bunn & Farmer, 1985).

Oleh karena itu PT. PLN (Persero) harus menyediakan energi listrik yang tepat sasaran sesuai dengan kebutuhan konsumen untuk setiap subsistem wilayahnya karena hal ini berpengaruh kepada kepuasan pelanggan dan citra perusahaan dimata pelanggan. Sedangkan energi listrik sendiri adalah hasil dari perubahan energi mekanik yang tidak bisa disimpan, jika terjadi kehilangan energi listrik yang tidak tersalurkan secara tepat maka PT. PLN (Persero) akan mengalami kerugian. Maka perlu adanya perencanaan sistem distribusi yang tepat sasaran untuk menyalurkan energi listrik, agar energi yang tersalurkan tidak terbuang begitu saja. Perencanaan sistem distribusi ini dapat dilakukan dengan melakukan peramalan beban listrik jangka pendek yang bertujuan untuk memprediksi besarnya konsumsi listrik dalam jangka waktu menit, jam, maupun hari. Hal ini berguna untuk membantu perusahaan dalam membuat perencanaan produksi harian.

Prediksi beban listrik jangka pendek ini mempunyai peranan penting dalam *real-time control* dan fungsi kemanan dari suatu sistem manajemen energi. Jika hasil dari peramalan beban listrik jangka pendek ini menghasilkan akurasi yang tepat, maka akan didapatkan optimalisasi penyediaan energi listrik ke konsumen (Bunn & Farmer, 1985). Selain itu, dapat membantu bidang perencanaan dalam melakukan perencanaan produksi energi listrik harian di per subsistem distribusi sehingga bisa menurunkan nilai SAIDI dan SAIFI yang akan berpengaruh pada peningkatan pendapatan PT. PLN (Persero), dalam perencanaan produksi energi listrik ini juga akan memperhatikan faktor-faktor yang mempengaruhi produksi, misalnya faktor waktu yang dibutuhkan untuk produksi. Dimana setiap pembangkit mempunyai waktu produksi yang berbeda-beda tergantung jenis pembangkitnya.

Dengan adanya peramalan ini diharapkan juga akan mengoptimalkan kinerja pembangkit-pembangkit yang mensuplai per subsistem distribusi listrik yang sesuai dengan konsumsi pelanggan agar tidak ada energi listrik yang terbuang sia-sia ketika melakukan *load balancing* atau bahkan terjadinya kelebihan kapasitas pemakaian, dan hal ini juga membantu dalam proses penyeimbangan beban, dalam proses penyeimbangan beban ini (*load balancing*) sering kali terjadi *losses* energi jika jarak antara pembangkit dengan suatu wilayah sangat jauh (semakin

jauh lokasi pembangkit dengan wilayah terdistribusi, maka *losses* energi juga akan semakin banyak). Untuk meminimalisasi *losses* energi, perlu dilakukan pendistribusian yang efisien dari titik terdekat dengan pembangkit. Untuk itu perlu adanya peramalan beban puncak disetiap shift kerja PT. PLN (Persero) untuk setiap subsistemnya, agar tercipta rancangan distribusi antar pembangkit yang efisien. Selain itu setiap subsistem wilayah harus diketahui jumlah peramalan beban puncak listriknya karena disetiap pembangkit diperlukan adanya perencanaan pembangkit harian dalam memproduksi listrik, dimana PT. PLN (Persero) mempunyai pembangkit yang berasal dari jenis bahan bakar yang berbeda, misalnya PLTU jenis bahan bakar adalah batubara, PLTGU jenis bahan bakar adalah gas dan lain sebagainya. Hal ini mempengaruhi mekanisme dalam produksi listrik, jika bahan bakar yang dibutuhkan kurang dari kebutuhan, maka bahan bakar tidak dapat segera disediakan karena PT. PLN (Persero) harus membeli dari pihak ketiga terlebih dahulu, maka butuh waktu untuk mendapatkannya. namun jika PT. PLN (Persero) terlalu banyak dalam menyimpan bahan bakar, hal ini akan berpengaruh pada kapasitas *inventory* yang akan mengalami kenaikan, *inventory* ini membutuhkan biaya yang cukup besar. Di setiap pembangkit juga mempunyai waktu persiapan produksi yang berbeda-beda. dimana waktu persiapan produksi bergantung pada jenis pembangkit yang akan dibangkitkan. PLTA membutuhkan waktu persiapan produksi sebesar 6 jam. PLTU membutuhkan waktu persiapan 8 jam. sedangkan PLTGU membutuhkan waktu persiapan 3 jam hingga 4 jam. Untuk itu, perlu adanya peramalan untuk mengetahui kebutuhan listrik di masa yang akan datang.

Terdapat banyak teknik yang dapat digunakan dalam peramalan beban listrik jangka pendek, diantaranya yaitu *Autoregressive Integrated Moving Average* (ARIMA), *regresi liniar*, *exponential smoothing*, dan lain sebagainya. Penelitian sebelumnya juga pernah dilakukan oleh Soares dan Medeiros (2008), yang meneliti menggunakan data konsumsi listrik negara Brazil dengan menggunakan metode TLSAR, ARIMA, dan NN, dalam penelitian dihasilkan kesimpulan bahwa metode NN memberikan hasil yang tidak cukup signifikan. Penelitian lain yang juga berhubungan dengan beban listrik telah dilakukan oleh Azadeh (2010), pada penelitian tersebut menggunakan metode ANFIS untuk peramalan konsumsi listrik jangka panjang di Eropa. Peramalan konsumsi listrik jangka pendek di PT. PLN Gresik juga pernah dilakukan oleh Ristiana, Winahyu, dan Suhartono

(2008), dalam penelitian tersebut menggunakan model *autoregressive neural network* (MLP). Penelitian yang terkait juga telah dilakukan oleh Zhang (2003), dari studi literatur yang dilakukan pada penelitian tersebut, beberapa poin penting yang menjadi kesimpulan penelitian adalah ANN mampu memberikan performa yang memuaskan dalam melakukan peramalan dan terdapat beberapa faktor yang dapat memperngaruhi performa dari ANN. Kemudian penelitian lain mengenai peramalan konsumsi listrik jangka pendek dengan ARIMA musiman ganda dan *Elman-Recurrent Neural Network* pada data konsumsi listrik di Mengare Gresik menunjukkan adanya keterbatasan paket SAS dalam mengestimasi parameter model ARIMA musiman ganda dengan memasukkan efek *outlier*, yang merupakan hasil dari proses deteksi *outlier* (Endharta & Suhartono, 2009). Para peneliti sering kali melakukan pendekatan *trial-and-error* dalam menentukan konfigurasi optimal dari ANN. Namun salah satu kesulitan dari penggunaan ANN adalah penentuan variabel *input* yang sesuai agar menghasilkan model yang optimal. Untuk mengatasi hal ini dalam penelitian ini akan dicoba dengan menggunakan metode ARIMA sebagai penentu variabel lag AR yang nantinya akan digunakan dalam pemodelan MLP dan hibrida ARIMA & MLP.

Berdasarkan uraian diatas maka dalam penelitian ini akan dilakukan peramalan beban listrik jangka pendek yang dibutuhkan di pendistribusian listrik pada masing-masing wilayah Jawa Timur yang terdiri dari lima subsistem distribusi listrik, dimana peramalan akan dilakukan dengan metode hibrida ARIMA dan *Multilayer Perceptron*. Pemodelan dilakukan pada jam-jam tertentu di setiap subsistem yang mengalami *load peak* di pagi, siang, dan malam. Disistem kerja PT. PLN P3B Jawa Timur dan Bali, shift pagi dimulai dari jam 07.30 WIB hingga 14.30 WIB, shift siang dimulai dari jam 15.00 WIB hingga 22.00 WIB, dan shift malam dimulai dari 22.30 WIB hingga 07.00 WIB. Setiap shift kerja dan disetiap subsistem memiliki *load peak* yang berbeda-beda dikarenakan adanya perbedaan jumlah penjualan listrik disetiap daerah yang telah dijelaskan pada Tabel 1.3, untuk itu disetiap shift kerja, selalu dibuat perencanaan pembangkit disetiap harinya untuk proses *load balancing*. Dalam penelitian ini diharapkan mampu memberikan informasi tambahan kepada PT. PLN (Persero) maupun pihak terkait untuk mengoptimalkan pendistribusian energi listrik berdasarkan hasil model terbaik dari metode yang digunakan. Pemilihan *load*

*peak* untuk setiap subsistem akan dijelaskan pada subab (3.1) yaitu model shift pagi, shift siang, dan shift malam sesuai pada Tabel 1.4.

**Tabel 1.4** Pembagian pemodelan di setiap subsistem

Subsistem	Shift Pagi	Shift Siang	Shift Malam
Ngimbang	13.30	19.30	22.30
Krian	11.00	15.00	22.30
Krian-Gresik	14.00	15.00	22.30
Paiton	13.30	18.30	22.30
Kediri	13.30	18.30	05.30

## 1.2 Rumusan Masalah

Rumusan masalah yang diangkat dalam penelitian ini adalah sebagai berikut:

1. Bagaimana karakteristik pemakaian beban listrik di masing-masing subsistem Jawa Timur pada tahun 2014 dan 2015 dimana di Jawa Timur terbagi menjadi lima subsistem distribusi listrik yaitu subsistem Krian, Paiton, Ngimbang, Kediri, dan Krian-Gresik?
2. Bagaimana hasil terbaik dari masing-masing model yang terbentuk dari metode ARIMA, *Multilayer Perceptron*, dan hibrida ARIMA & *Multilayer Perceptron* untuk peramalan beban listrik di Jawa Timur dimasing-masing subsistem?
3. Berdasarkan ketiga metode yang digunakan, metode apa yang paling sesuai dalam meramalkan beban listrik di Jawa Timur dimasing-masing subsistem?

## 1.3 Tujuan Penelitian

Tujuan dari penelitian ini adalah sebagai berikut:

1. Mengetahui karakteristik dari pemakaian beban listrik per setengah jam di masing-masing subsistem Jawa Timur pada tahun 2014 dan 2015 dimana di Jawa Timur terbagi menjadi lima subsistem distribusi listrik yaitu subsistem Krian, Paiton, Ngimbang, Kediri, dan Krian-Gresik.
2. Mendapatkan model ARIMA, *Multilayer Perceptron*, dan hibrida ARIMA dan *Multilayer Perceptron* yang sesuai untuk peramalan jangka pendek beban listrik di Jawa Timur di masing-masing subsistem.
3. Mendapatkan metode yang sesuai untuk meramalkan konsumsi beban listrik jangka pendek di Jawa Timur di masing-masing subsistem.

## **1.4 Manfaat Penelitian**

Manfaat dari penelitian ini diharapkan mampu memberikan informasi kepada PT. PLN P3B Jawa Timur & Bali untuk dapat mengoptimalkan pendistribusian listrik di Jawa Timur pada periode kedepan yang membantu dalam perencanaan penyediaan produksi listrik yang optimal. Manfaat bagi peneliti dapat mengetahui hasil dan proses kajian sistematis yang dilakukan dapat menjadi referensi bagi peneliti dalam menemukan konfigurasi terbaik dari metode ARIMA, *Multilayer Perceptron*, dan hibrida ARIMA dan *Multilayer Perceptron* untuk peramalan jangka pendek data *time series nonlinier*.

## **1.5 Batasan Masalah**

Permasalahan yang dibahas dalam penelitian ini memiliki beberapa batasan sebagai berikut:

1. Data yang digunakan dalam penelitian ini adalah data konsumsi beban listrik per setengah jam di subsistem Jawa Timur pada tanggal 1 Januari 2014 Hingga 31 Maret 2015, dimana di Jawa Timur terbagi menjadi lima subsistem distribusi listrik yaitu subsistem Krian, Paiton, Ngimbang, Kediri, dan Krian-Gresik.
2. Peramalan yang dilakukan dalam penelitian ini adalah peramalan jangka pendek selama 14 hari kedepan.

## **1.6 Kontribusi Penelitian**

Kontribusi yang diberikan dari penelitian ini adalah melaksanakan kajian sistematis terhadap kinerja metode ARIMA, *Multilayer Perceptron*, dan hibrida ARIMA dan *Multilayer Perceptron* untuk mengetahui konfigurasi terbaik dalam memberikan hasil yang optimal bagi sistem peramalan data *time series nonlinier*.

## **1.7 Sistematika Penulisan**

Penelitian ini akan disajikan dengan sistematika penulisan sebagai berikut:

### **Bab I Pendahuluan**

Bab ini menyajikan mengenai latar belakang, rumusan masalah, tujuan, manfaat, bataslah masalah, metodologi, dan sistematika penulisan

### **Bab II Kajian Pustaka dan Dasar Teori**

Bab ini menyajikan tentang kajian literatur mengenai teori dan penelitian sebelumnya yang telah dilakukan yang mendasari penelitian.

### **Bab III Metode Penelitian**

Bab ini menyajikan metode dan langkah-langkah yang dilakukan oleh penulis dalam melakukan penelitian ini.

### **Bab I V Hasil penelitian dan pembahasan**

Bab ini menyajikan mengenai pembahasan hasil penelitian yang telah dilakukan dan analisis hasil penelitian yang diperoleh.

### **Bab V Kesimpulan dan saran**

Bab ini menyajikan kesimpulan dan saran yang didapatkan dari pembahasan hasil penelitian.

*Halaman ini sengaja dikosongkan*

## **BAB II**

### **DASAR TEORI DAN KAJIAN PUSTAKA**

Pada bab ini akan dibahas mengenai dasar teori yang mendukung penelitian ini. Dasar teori yang akan dijelaskan terbagi menjadi beberapa sub bab yaitu analisis *time series*, model ARIMA, *Multilayer Perceptron*, dan hibrida ARIMA & *Multilayer Perceptron*. Diharapkan penjelasan pada bab ini dapat memberikan gambaran secara umum mengenai perangkat lunak.

#### **2.1 Karakteristik Beban Di Setiap Subsistem**

Wilayah distribusi Jawa Timur terdiri dari lima subsistem, yaitu subsistem Ngimbang, Krian, Krian-Gresik, Kediri, dan Paiton. Setiap subsistem mensuplai listrik untuk beberapa wilayah kota dan kabupaten yang berbeda. Subsistem Krian mensuplai wilayah Kota Surabaya Barat, Sidoarjo disuplai dari pembangkit PLTA Siman, PLTA Mendalan, dan PLTGU Gresik B-1. Subsistem Ngimbang mensuplai wilayah Bojonegoro, Lamongan, dan Tuban, disuplai dari pembangkit PLTU Tanjung Awar-Awar 1, dan PLTU Tanjung Awar-Awar 2. Subsistem Krian-Gresik mensuplai wilayah Bangkalan, Pamekasan, Sumenep, Sampang, Surabaya Utara, Surabaya Timur, Surabaya Selatan, dan Surabaya Barat dari pembangkit PLTGU Gresik B-2, PLTGU Gresik B-3, dan PLTGU Gilitimur. Subsistem Paiton mensuplai wilayah Banyuwangi, Jember, Lumajang, Situbondo, Bondowoso, Pasuruan, Probolinggo, Kabupaten Malang, Kota Malang, Kota Batu, Kota Probolinggo, dan Kota Pasuruan disuplai dari pembangkit PLTGU Grati Blok-2, PLTA Sutami, PLTA Sengguruh, PLTA Selorejo, PLTA Wlingi, PLTA Ledoyo, dan PLTU Paiton. Subsistem Kediri mensuplai wilayah Kediri, Kabupaten Blitar, Kota Blitar, Kota Kediri, Tulungagung, Kabupaten Mojokerto, Kota Mojokerto, Jombang, Nganjuk, Ponorogo, Pacitan, Trenggalek, Kabupaten Madiun, Kota Madiun, Magetan, dan Ngawi disuplai dari pembangkit PLTA Tulungagung, PLTA Wonorejo, PLTA SPM, PLTU Pacitan 1, dan PLTU Pacitan 2.

#### **2.2 Peramalan**

Peramalan adalah kegiatan memprediksi nilai-nilai sebuah variabel berdasarkan nilai-nilai yang diketahui dari variabel tersebut atau variabel yang berhubungan

(Jumingan, 2009). Berdasarkan sifatnya, peramalan dibedakan atas dua macam, yaitu peramalan kualitatif dan peramalan kuantitatif. Peramalan kualitatif adalah peramalan yang didasarkan atas data kualitatif pada masa lalu. Hasil peramalan yang dibuat sangat tergantung pada orang yang menyusunnya.

Hal ini penting karena hasil peramalan tersebut ditentukan berdasarkan pemikiran yang instuisi, pendapat, dan pengetahuan serta pengalaman penyusunnya. Sedangkan peramalan kuantitatif adalah peramalan yang didasarkan atas data kuantitatif masa lalu. Hasil peramalan yang dibuat sangat bergantung pada metode yang digunakan dalam peramalan tersebut. Baik tidaknya metode yang digunakan ditentukan oleh perbedaan atau penyimpangan antara hasil ramalan dengan kenyataan yang akan terjadi maka semakin baik pula metode yang digunakan (Bowerman & O'Connell, 1993).

### 2.3 Analisis *Time Series*

*Time series* adalah serangkaian pengamatan terhadap suatu variabel yang diambil dari waktu ke waktu dan dicatat secara berurutan menurut urutan waktu kejadianya dengan interval waktu yang konstan (Wei, 2006). Setiap pengamatan yang dilakukan dapat dinyatakan sebagai variabel random  $Z_t$  yang didapatkan berdasarkan indeks waktu tertentu  $t_i$  dimana  $i = 1,2,3,\dots,n$ , sehingga penulisan data *time series* adalah  $Z_{t_1}, Z_{t_2}, Z_{t_3}, \dots, Z_{t_n}$ . Ada beberapa hal penting yang harus dilakukan ketika melakukan analisis *time series* yaitu kestasioneran data, fungsi autokorelasi, dan fungsi autokorelasi parsial.

Ada 4 faktor yang mempengaruhi data *time series*. Dalam data ekonomi biasanya didapatkan adanya fluktuasi dari waktu ke waktu, atau disebut dengan variase *time series*. Variasi ini biasanya disebabkan oleh adanya *trend factor*, fluktuasi siklis (*cyclical fluctuation*), variasi musiman (*seasonal variation*), dan pengaruh random (*irregular/random influences*).

#### 2.3.1 Stasioneritas

Stasioneritas berarti bahwa tidak terdapat perubahan yang drastis pada data. Fluktuasi data berada disekitar suatu nilai rata-rata yang konstan, tidak tergantung pada waktu dan variansi dari fluktuasi tersebut (Cryer & Chan, 2008). Data *time series* dikatakan stasioner jika rata-rata dan variansinya konstan, tidak ada unsur *trend* dalam data, dan tidak ada unsur musiman.

Apabila data tidak stasioner, maka perlu dilakukan modifikasi untuk menghasilkan data yang stasioner. Salah satu cara yang umum dipakai adalah metode pembedaan (*differencing*). Untuk menentukan apakah *series* stasioner, *nonstasioner* dapat dibantu dengan melihat plot dari *series* atau bentuk *difference*-nya. Proses *differencing* dapat dilakukan untuk beberapa periode sampai data stasioner, yaitu dengan cara mengurangkan suatu data dengan data sebelumnya.

Selanjutnya stasioneritas dibagi menjadi dua (Wei, 2006) yaitu stasioner dalam *mean*, dan stasioner dalam variansi. Stasioner dalam *mean* adalah fluktuasi data berada di sekitar suatu nilai rata-rata yang konstan, tidak tergantung pada waktu dan variansi dari fluktuasi tersebut. Dari bentuk plot data seringkali dapat diketahui bahwa data tersebut stasioner atau tidak stasioner.

Apabila dilihat dari plot ACF, maka nilai-nilai autokorelasi dari data stasioner akan turun menuju nol sesudah *time lag* (selisih waktu) kedua atau ketiga. Sedangkan stasioner dalam variansi adalah Suatu data *time series* dikatakan stasioner dalam variansi apabila struktur data dari waktu ke waktu mempunyai fluktuasi data yang tetap atau konstan dan tidak berubah-ubah. Secara visual untuk melihat hal tersebut dapat dibantu dengan menggunakan plot *time series*, yaitu dengan melihat fluktuasi data dari waktu ke waktu.

Apabila suatu series dalam pengujian stasioneritas variansi diketahui tidak stasioner, maka dapat diatasi dengan melakukan transformasi. Salah satu transformasi yang digunakan dalam menstasionerkan variansi adalah menggunakan *Power Transformation*. Rumus umum dari *Power Transformation* adalah sebagai berikut (Wei, 2006).

$$T(Z_t) = \frac{Z_t^\lambda - 1}{\lambda} \quad (2.1)$$

Dengan  $\lambda$  menunjukkan parameter *Power Transformation*. Jika  $\lambda = 0$ , maka dapat dilakukan pendekatan sebagai berikut:

$$\lim_{\lambda \rightarrow 0} T(Z_t) = \lim_{\lambda \rightarrow 0} \left( \frac{Z_t^\lambda - 1}{\lambda} \right) = \ln(Z_t) \quad (2.2)$$

Pada Tabel 2.1 merupakan beberapa nilai  $\lambda$  yang biasanya digunakan dan transformasi yang sesuai.

**Tabel 2.1.** Nilai  $\lambda$  dan *power transformation*

Nilai Estimasi $\lambda$	Transformasi
-1	$1/Z_t$
-0.5	$1/\sqrt{Z_t}$
0	$\ln Z_t$
0.5	$\sqrt{Z_t}$
1	$Z_t$ (tidak ada transformasi)

Data *time series* bersifat stasioner dalam *mean* jika plot *time series* berfluktuasi disekitar nilai rata-rata yang konsisten. Apabila data *time series* dinyatakan tidak stasioner dalam *mean*, maka langkah selanjutnya adalah melakukan *differencing*, secara umum proses *differencing* pada orde ke- $d$  dapat dinyatakan sebagai berikut (Wei, 2006).

$$\Delta^d Z_t = (1 - B)^d Z_t \quad (2.3)$$

### 2.3.2 Autocorrelation Function (ACF)

Fungsi autokorelasi (ACF) digunakan untuk identifikasi pemodelan data *time series* dalam melihat kestasioneran dan memperlihatkan hubungan liniar antara  $Z_t$  dengan  $Z_{t+k}$  yang dipisahkan dengan waktu lag  $k$ . Menurut (Wei, 2006) secara umum fungsi autokorelasi dirumuskan sebagai berikut.

$$\rho_k = \frac{\text{cov}(Z_t, Z_{t+k})}{\sqrt{\text{Var}(Z_t)} \sqrt{\text{Var}(Z_{t+k})}} = \frac{\gamma_k}{\gamma_0} \quad (2.4)$$

Dan kovarians antara  $Z_t$  dan  $Z_{t+k}$  adalah sebagai berikut:

$$\gamma_k = \text{cov}(Z, Z_{t+k}) = E(Z_t - \mu)(Z_{t+k} - \mu) \quad (2.5)$$

Dimana  $\gamma_k$  adalah fungsi autokovarians dan  $\rho_k$  disebut sebagai fungsi autokorelasi (ACF) dalam proses analisis *time series*, yang menjelaskan kovarians dan korelasi antara  $Z_t$  dan  $Z_{t+k}$  dari proses yang sama dan hanya dipisah oleh lag waktu ke- $k$  dalam populasi. Menurut (Wei, 2006) fungsi autokorelasi yang dihitung berdasarkan sample data dituliskan sebagai berikut.

$$\hat{\rho}_k = \frac{\sum_{t=1}^{n-k} (Z_t - \bar{Z})(Z_{t+k} - \bar{Z})}{\sum_{t=1}^n (Z_t - \bar{Z})^2} = \frac{\hat{\gamma}_k}{\hat{\gamma}_0} \quad k = 0, 1, 2, \dots \quad (2.6)$$

### 2.3.3 Partial Autocorrelation Function (PACF)

PACF digunakan untuk mengukur korelasi antar pengamatan dengan jeda  $k$  dan mengontrol korelasi antar dua pengamatan dengan jeda kurang dari  $k$  (Wei, 2006).

$$P_k = \frac{\text{cov} [(Z_t - \hat{Z}_t)(Z_{t+k} - \hat{Z}_{t+k})]}{\sqrt{\text{var}(Z_t - \hat{Z}_t)} \sqrt{\text{var}(Z_{t+k} - \hat{Z}_{t+k})}} \quad (2.7)$$

Berikut adalah keterangan dari persamaan (2.7):

$P_k$  : PACF teoritis

$Z_t$  : nilai variabel *time series* pada waktu ke- $t$

$Z_{t+k}$  : data yang dipisahkan oleh waktu ke- $k$  dengan  $k = 0, 1, 2, \dots, n$

$\hat{Z}_t$  : dugaan dengan model liniar

PACF pada suatu analisis *time series* digunakan untuk menentukan orde  $p$  model AR dengan syarat data sudah stasioner (Tsay, 2010). Sample PACF dinotasikan dengan dengan  $\hat{\phi}_{kk}$  dengan perhitungan sebagai berikut (Wei, 2006).

$$\hat{\phi}_{k+1,k+1} = \frac{\hat{\rho}_{k+1} - \sum_{j=1}^k \hat{\phi}_{kj} \hat{\rho}_{k+1-j}}{1 - \sum_{j=1}^k \hat{\phi}_{kj} \hat{\rho}_j} \quad (2.8)$$

Dimana  $\hat{\phi}_{k+1,j} = \hat{\phi}_{kj} - \hat{\phi}_{k+1,k+1} \hat{\phi}_{k,k+1-j}$  untuk  $j = 1, 2, \dots, k$ .

## 2.4 Model Autoregressive Integrated Moving Average (ARIMA)

ARIMA merupakan suatu metode yang menghasilkan ramalan-ramalan berdasarkan sintesis dari pola data secara historis. ARIMA ini sama sekali mengabaikan variabel independen karena model ini menggunakan nilai sekarang dan nilai-nilai variabel dependen untuk menghasilkan peramalan jangka pendek yang akurat. Untuk peramalan jangka panjang ketepatan peramalannya biasanya akan cenderung konstan untuk periode yang cukup panjang. Metode ini sering disebut sebagai metode runtun waktu Box-Jenkins. Model ARIMA bisa digunakan dalam peramalan *time series* yang bersifat non stasioner. Metodologi Box-Jenkis dalam menentukan model ARIMA adalah sebagai berikut (Wei, 2006).

### 2.4.1 Identifikasi Model

Ketika melakukan pemodelan ARIMA hal pertama yang harus dilakukan adalah identifikasi model ARIMA dengan cara melihat plot *time series* (plot ACF dan PACF) sebagai acuan untuk menentukan orde  $p$  dan  $q$  pada model ARIMA

non-musiman lalu  $P$  dan  $Q$  dari model ARIMA musiman. Petunjuk pemilihan model ARIMA ditunjukkan dalam Tabel 2.2 (Wei, 2006).

**Tabel 2.2.** Struktur ACF dan PACF yang stasioner

Model	ACF	PACF
AR ( $p$ )	<i>Dies down</i>	<i>Cuts off</i> setelah lag ke- $p$
MA ( $q$ )	<i>Cuts off</i> setelah lag ke- $q$	<i>Dies down</i>
ARMA ( $p,q$ )	<i>Dies down</i>	<i>Dies down</i>

### a. Model ARIMA non-musiman

ARIMA adalah gabungan antara model *Autoregressive* AR( $p$ ) dengan *Moving Average* MA( $q$ ) yang *didifferencing* oleh orde  $d$ . Menurut Wei (2006) bentuk persamaan untuk model ARIMA adalah sebagai berikut.

$$\phi_p(B)(1 - B)^d Z_t = \theta_q(B)a_t \quad (2.9)$$

Berikut adalah keterangan dari persamaan 2.9:

- $p$  = orde *Autoregressive* (AR) non musiman
- $q$  = orde *Moving Average* (MA) non musiman
- $\phi_p(B) = 1 - \phi_1B - \phi_2B^2 - \dots - \phi_pB^p$
- $\theta_q(B) = 1 - \theta_1B - \theta_2B^2 - \dots - \theta_qB^q$
- $(1 - B)^d$  = *differencing* non musiman dengan orde  $d$
- $a_t$  = residual yang sudah memenuhi asumsi *white noise*.

Menurut Wei (2006) bentuk-bentuk ACF dan PACF model ARIMA non-musiman ditunjukkan seperti pada Tabel 2.3.

**Tabel 2.3.** Struktur ACF dan PACF identifikasi model ARIMA non-musiman

Model	ACF	PACF
AR( $p$ )	Turun cepat secara eksponensial	Terputus ( <i>cut off</i> ) setelah lag ke- $p$
MA( $q$ )	Terputus ( <i>cut off</i> ) setelah lag ke- $q$	Turun cepat secara eksponensial
ARMA( $p,q$ )	Turun cepat secara eksponensial menuju nol setelah lag $(q-p)$	Turun cepat secara eksponensial menuju nol setelah lag $(p-q)$

### b. Model ARIMA Musiman

Musiman merupakan kejadian yang berulang pada periode ke- $s$  artinya data-data yang dipisahkan dalam suatu musim penuh dapat memperlihatkan sifat yang sama pada musim berikutnya. Model ARIMA yang mempunyai efek musiman

dalam pengamatan waktu ke- $t$  dinotasikan dengan ARIMA  $(P, D, Q)^s$ . Menurut Wei (2006) persamaan umum model ARIMA musiman adalah sebagai berikut.

$$\Phi_P(B^s)(1 - B^s)^D Z = \theta_Q(B^s)a_t, \quad (2.10)$$

Berikut adalah keterangan dari persamaan (2.10):

$P$  = orde Autoregressive (AR) musiman

$Q$  = orde Moving Average (MA) musiman

$\Phi_P(B^s) = 1 - \Phi_1 B^s - \Phi_2 B^{2s} - \dots - \Phi_p B^{ps}$

$\theta_Q(B^s) = 1 - \theta_1 B^s - \theta_2 B^{2s} - \dots - \theta_q B^{qs}$

$(1 - B^s)^D$  = differencing musiman dengan orde  $D$  periode  $s$

$a_t$  = residual yang sudah memenuhi asumsi white noise.

Namun jika terdapat efek musiman dan efek non-musiman dalam suatu model ARIMA, maka model yang terbentuk adalah model multiplikatif ARIMA  $(p, d, q)(P, D, Q)^s$ . Bentuk umum persamaannya sebagai berikut:

$$\phi_p(B)\Phi_P(B^s)(1 - B)^d(1 - B^s)^D Z_t = \theta_q(B)\theta_Q(B^s)a_t. \quad (2.11)$$

### c. Model ARIMA Subset

Jika model ARIMA tidak bisa dinyatakan dalam bentuk umum, maka model subset ARIMA merupakan solusinya. Berikut ini adalah contoh model subset untuk ARIMA  $((0, 0, [1, 12, 13]))$  dapat ditulis sebagai berikut (Suhartono & Subanar, 2005)

$$Z_t = a_t - \theta a_{t-1} - \theta_{12} a_{t-12} - \theta_{13} a_{t-13} \quad (2.12)$$

dimana  $\theta_1$ ,  $\theta_{12}$  dan  $\theta_{13}$  menyatakan parameter dari model MA.

#### 2.4.2 Estimasi Parameter

Secara umum estimasi parameter model ARIMA Box-Jenkins dapat dilakukan dengan menggunakan beberapa metode yaitu metode *Ordinary Least Square* (OLS). Metode *Maximum Likelihood. Conditional Least Square* (CLS). *Non Liniar estimation* Namun metode penaksiran yang sering digunakan adalah *Conditional Least Square*. Metode ini bekerja dengan membuat *error* yang tidak diketahui sama dengan nol dan meminimumkan jumlah kuadrat *error* (SSE). Misalkan diterapkan pada model AR(1) dan dinyatakan sebagai berikut (Cryer & Chan, 2008)

$$Z_t - \mu = \phi(Z_{t-1} - \mu) + a_t, \quad (2.13)$$

dan nilai SSE adalah sebagai berikut:

$$S(\phi, \mu) = \sum_{t=2}^n a_t^2 = \sum_{t=2}^n [(Z_t - \mu) - \phi(Z_{t-1} - \mu)]^2. \quad (2.14)$$

Lalu diturunkan terhadap  $\mu$  dan  $\phi$  lalu disamakan dengan nol. Berikut ini adalah langkah-langkah untuk menaksir nilai  $\mu$ .

$$\frac{\partial S}{\partial \phi} = \sum_{t=2}^n 2[(Z_t - \hat{\mu}) - \hat{\phi}(Z_{t-1} - \hat{\mu})](-(Z_{t-1} - \hat{\mu})) = 0 \quad (2.15)$$

$$-2 \sum_{t=2}^n [(Z_t - \hat{\mu}) - \hat{\phi}(Z_{t-1} - \hat{\mu})](Z_{t-1} - \hat{\mu}) = 0 \quad (2.16)$$

$$-2 \sum_{t=2}^n (Z_t - \hat{\mu})(Z_{t-1} - \hat{\mu}) - \hat{\phi}(Z_{t-1} - \hat{\mu})^2 = 0 \quad (2.17)$$

$$-2 \sum_{t=2}^n (Z_t - \bar{Z})(Z_{t-1} - \bar{Z}) + 2\hat{\phi} \sum_{t=2}^n (Z_{t-1} - \bar{Z})^2 = 0 \quad (2.18)$$

$$-2 \sum_{t=2}^n (Z_t - \bar{Z})(Z_{t-1} - \bar{Z}) + 2\hat{\phi} \sum_{t=2}^n (Z_{t-1} - \bar{Z})^2 = 0 \quad (2.19)$$

$$2\hat{\phi} \sum_{t=2}^n (Z_{t-1} - \bar{Z})^2 = 2 \sum_{t=2}^n (Z_t - \bar{Z})(Z_{t-1} - \bar{Z}). \quad (2.20)$$

Kemudian didapatkan nilai taksiran sebagai berikut.

$$\hat{\phi} = \frac{\sum_{t=2}^n (Z_t - \bar{Z})(Z_{t-1} - \bar{Z})}{\sum_{t=2}^n (Z_{t-1} - \bar{Z})^2}. \quad (2.21)$$

Misalnya untuk model MA(1) adalah sebagai berikut

$$z_t = a_t - \theta a_{t-1}. \quad (2.22)$$

Untuk mempermudah mengestimasi  $\phi$  maka model MA(1) dibawa ke model AR dengan orde tak hingga

$$Z_t = -\theta Z_{t-1} - \theta^2 Y_{t-1} - \dots - a_t. \quad (2.23)$$

Sehingga,  $\phi$  dapat diestimasi menggunakan metode *conditional least squares* dengan meminimumkan persamaan sebagai berikut.

$$S(\theta) = \sum_{t=2}^n (Z_t + \theta Z_{t-1} + \theta^2 Z_{t-2} + \dots)^2. \quad (2.24)$$

Setelah parameter didapatkan, langkah selanjutnya adalah melakukan pengujian signifikansi parameter dengan hipotesis sebagai berikut.

$H_0 : \beta_m = 0$  (parameter tidak signifikan)

$H_1 : \beta_m \neq 0$  (parameter signifikan)

Dimana  $\beta_m$  adalah notasi dari parameter  $\phi_m$  dan  $\theta_m$  dengan statistik uji yang digunakan adalah .

$$t_{hitung} = \frac{\hat{\beta}_m}{se(\hat{\beta}_m)} \quad (2.25)$$

Daerah Kritis: Tolak  $H_0$  jika  $|t_{hitung}| > t_{\alpha/2,n-c}$  artinya adalah parameter telah signifikan dan model dapat digunakan untuk peramalan, nilai  $n$  menunjukkan banyaknya pengamatan dan  $c$  adalah banyaknya parameter yang diestimasi.

### 2.4.3 Pemeriksaan Diagnostik

Pemeriksaan diagnostik ini bertujuan untuk menguji asumsi *white noise* pada residual. Residual bersifat *white noise* jika residual yang didapatkan saling independen dalam deret residual, identik, atau residual bersifat homogen dan berdistribusi normal. Dalam pengujian *white noise* ini adalah uji *Ljung Box-Pierce* (LBQ) dengan hipotesis sebagai berikut (Cryer & Chan, 2008).

$$H_0 : \rho_1 = \rho_2 = \dots = \rho_K = 0$$

$$H_1 : \text{minimal ada satu nilai } \rho_k \neq 0 \text{ untuk } k = 1, 2, \dots, K$$

Dengan statistik uji yang digunakan adalah:

$$Q^* = n(n+2) \sum_{k=1}^K \frac{\hat{\rho}_k^2}{n-k} \quad (2.26)$$

Berikut adalah keterangan dari persamaan (2.26):

$Q^*$  = statistik uji Ljung-Box

$\hat{\rho}_k$  = autokorelasi residual pada lag ke- $k$

$n$  = banyaknya pengamatan

daerah kritis : Tolak  $H_0$  jika  $Q^* > X_{\alpha}^2 \cdot df = K - p - q$  dimana  $p$  dan  $q$  masing-masing menyatakan orde AR dan MA dalam model.

Pengujian selanjutnya yaitu uji asumsi residual berdistribusi normal. Pengujian ini biasanya menggunakan uji Kolmogrov-Smirnov dengan menggunakan hipotesis sebagai berikut.

$$H_0 : F(a_t) = F_0(a_t) \text{ (residual berdistribusi Normal)}$$

$$H_1 : F(a_t) \neq F_0(a_t) \text{ (residual tidak berdistribusi Normal)}$$

dengan statistik uji yang digunakan adalah :

$$D = \sup_{a_t} |S(a_t) - F_0(a_t)| \quad (2.27)$$

Keterangan:

$S(a_t)$  = fungsi peluang kumulatif yang dihitung dari data sampel

$F_0(a_t)$  = fungsi peluang kumulatif distribusi normal

$F(a_t)$  = fungsi distribusi yang belum diketahui

$\sup_{a_t}$  = nilai supremum semua  $a_t$  dari  $|S(a_t) - F_0(a_t)|$

Daerah Kritis : Tolak  $H_0$  jika  $D > D_{(1-\alpha, n)}$ , di mana  $\alpha$  adalah taraf signifikansi dan  $n$  adalah ukuran sampel.

#### 2.4.4 Pemilihan Model Terbaik

Untuk mendapatkan model terbaik bisa dilakukan berdasarkan kriteria *Root Mean Square Error* (RMSE). RMSE adalah rata-rata kuadrat dari perbedaan nilai estimasi dengan nilai observasi suatu variabel, Jika nilai RMSE semakin kecil maka model semakin valid dan hasil ramalan mendekati nilai aktual atau sesungguhnya. Berikut rumus umum dari RMSE sebagai berikut.

$$\text{RMSE} = \sqrt{\frac{1}{L} \sum_{l=1}^L (Y_{n+l} - \hat{Y}_n(l))^2} \quad (2.28)$$

Berikut adalah keterangan dari persamaan 2.28:

$L$  = banyaknya data *out-sample*

$Y_{n+l}$  = nilai *out of sample* ke- $l$

$\hat{Y}_n(l)$  = hasil nilai ramalan *out of sample*.

Selain menggunakan RMSE sebagai pemilihan model terbaik, terdapat juga *Symmetric Mean Absolute Percentage Error* (SMAPE) dan *Mean Absolute Percentage Error* (MAPE). Rumus umum dari SMAPE dan MAPE adalah sebagai berikut.

$$\text{MAPE} = \left[ \frac{1}{L} \sum_{l=1}^L \left| \frac{Y_{n+l} - \hat{Y}_n(l)}{Y_{n+l}} \right| \right] \times 100 \quad (2.29)$$

$$\text{SMAPE} = \left[ \frac{1}{L} \sum_{l=1}^L \frac{|Y_{n+l} - \hat{Y}_n(l)|}{\frac{|Y_{n+l}| + |\hat{Y}_n(l)|}{2}} \right] \times 100 \quad (2.30)$$

Berikut adalah penjelasan dari persamaan (2.30):

$Y_{n+l}$  : data aktual *out sample* ke- $l$ ,  $l = 1, 2, 3, \dots, L$

$\hat{Y}_n(l)$  : data hasil ramalan *out sample* ke- $l$

#### 2.5 Jaringan Saraf Tiruan

Jaringan saraf tiruan adalah sistem pemrosesan informasi yang memiliki karakteristik mirip dengan jaringan saraf biologi. Jaringan saraf tiruan dibentuk

sebagai generalisasi model matematika dari jaringan saraf biologi, dengan asumsi bahwa:

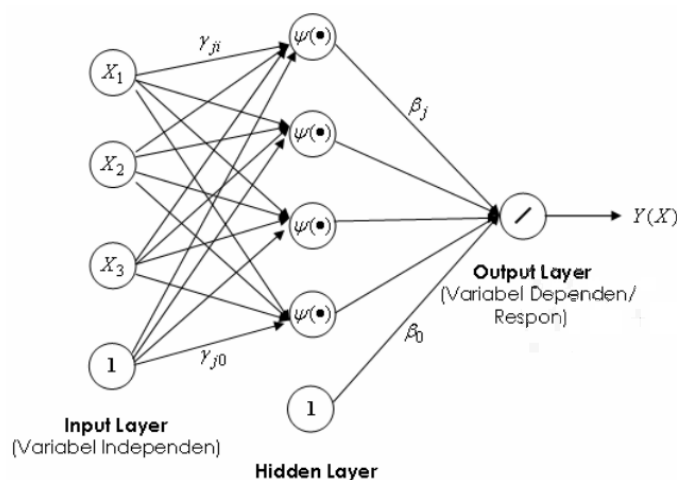
- Pemrosesan infomasi terjadi pada banyak elemen sederhana (neuron).
- Sinyal dikirimkan diantara neuron-neuron melalui penghubung-penghubung.
- Penghubung antara neuron memiliki bobot yang akan memperkuat atau memperlemah sinyal.
- Untuk menentukan *output*, setiap neuron menggunakan fungsi aktivasi yang dikenakan pada jumlahan *input* yang diterima.

Jaringan saraf tiruan memiliki tiga macam komponen utama yang dibutuhkan untuk membangun model, yaitu:

- Pola hubungan antar neuron (arsitektur jaringan ).
- Metode untuk menentukan bobot penghubung (metode *training* / algoritma *learning*).
- Fungsi aktivasi.

### 2.5.1 Arsitektur *Multilayer Perceptron*

Jaringan dengan banyak lapisan memiliki satu atau lebih lapisan yang terletak diantara lapisan *input* dan lapisan *output*. Umumnya terdapat lapisan-lapisan bobot yang terletak antara dua lapisan yang bersebelahan. Jaringan dengan banyak lapisan ini dapat menyelesaikan permasalahan yang lebih sulit daripada lapisan dengan lapisan tunggal, dengan pembelajaran yang lebih rumit seperti pada **Gambar 2.1**.



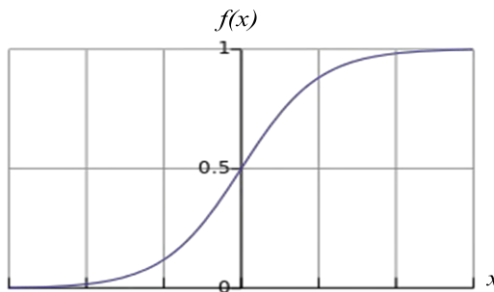
**Gambar 2.1.** Arsitektur *multilayer perceptron*.

### 2.5.2 Fungsi aktivasi

Fungsi aktivasi merupakan fungsi yang menggambarkan hubungan antara tingkat aktivasi internal (*summation function*) yang mungkin berbentuk linier atau *nonlinier*. Fungsi aktivasi digunakan untuk menentukan *output* suatu neuron. Dalam penelitian ini, digunakan fungsi aktivasi sigmoid biner karena Fungsi sigmoid biner memiliki nilai pada range 0 sampai 1, mudah diturunkan, kontinue, dan merupakan fungsi yang tidak turun. Oleh karena itu, fungsi ini sering digunakan untuk jaringan syaraf yang membutuhkan nilai *output* yang terletak pada interval 0 sampai 1 seperti pada Gambar 2.2. Namun fungsi ini juga dapat digunakan oleh jaringan syaraf yang nilai outputnya 0 atau 1. Fungsi sigmoid biner dirumuskan sebagai berikut.

$$f(x) = \frac{1}{1 + \exp(-x)} \quad (2.31)$$

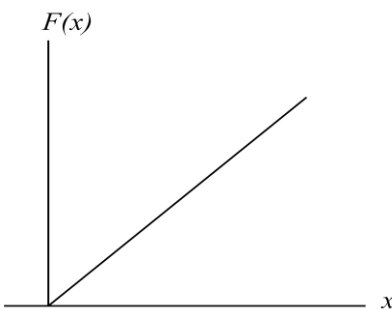
$$f'(x) = f(x)[1 - f(x)] \quad (2.32)$$



**Gambar 2.2.** Fungsi aktivasi sigmoid biner

Pada lapisan *output* digunakan fungsi aktivasi linier seperti pada Gambar 2.3, dirumuskan sebagai berikut:

$$f(x) = x \quad (2.33)$$



**Gambar 2.3.** Fungsi aktivasi linier

### 2.5.3 Fungsi Biaya

Setelah struktur jaringan ditentukan, maka jaringan tersebut siap untuk dilatih. Hal ini dilakukan agar fungsi biaya dari JST dapat diminimalkan. Fungsi

biaya adalah ukuran akurasi secara keseluruhan seperti rata-rata *error* kuadrat sesuai dengan Persamaan (2.34).

$$E = \frac{1}{N} \sum_{i=1}^N e_i^2 \quad (2.34)$$

#### 2.5.4 Algoritma *backpropagation*

Pada dasarnya algoritma *backpropagation* ada dua tahap, yaitu *feedforward* dan *backpropagation*. Pada tahap *feedforward*, sinyal *input* diberikan ke dalam jaringan. Komputasi dilakukan oleh neuron pada setiap lapisan sehingga menghasilkan *output*. Pada tahap ini, bobot pada jaringan tidak mengalami pengubahan.

Sebaliknya, pada tahap *backpropagation*, semua bobot diperbaiki berdasarkan *error* jaringan. Bobot diperbaiki untuk membuat *output* yang dihasilkan semakin mendekati *output* yang diinginkan. Minimalisasi fungsi biaya dilakukan dengan mengubah  $w_{ij}$  dengan sejumlah  $\Delta w_{ij}$  menurut Persamaan (2.35) (Ulinnuha, Arieshanti, & Purwanto, 2012).

$$\Delta w_{i,j} = -\eta \frac{\partial E}{\partial w_{i,j}} \quad (2.35)$$

Parameter  $\eta$  adalah *learning rate*, yaitu kecepatan *learning* yang berkisar antara 0 sampai 1 dan  $\frac{\partial E}{\partial w_{i,j}}$  adalah turunan parsial dari fungsi  $E$  dari Persamaan (2.34) terhadap bobot  $w_{i,j}$ . Turunan ini dihitung dalam tahap *feedforward* dan *backpropagation*. Di *feedforward*, vektor *input* dari *training set* diterapkan untuk unit *input* jaringan dan dilewatkan dari lapisan ke lapisan sehingga menghasilkan *output* akhir. Selama *backpropagation*, *output* dari jaringan dibandingkan dengan *output* yang diinginkan untuk mendapatkan nilai *error*. *Error* yang dihasilkan digunakan untuk mengubah bobot.

Algoritma *backpropagation* merupakan algoritma yang proses operasinya relatif cepat dan tidak membutuhkan data *training* yang besar (Kocyigit, 2008). Algoritma *backpropagation* memiliki komputasi dengan kerangka kerja yang fleksibel. *Backpropagation* dapat diterapkan secara luas pada berbagai masalah prediksi dengan tingkat akurasi yang tinggi. Dalam literatur, beberapa makalah dikhususkan untuk membandingkan *backpropagation* dengan metode tradisional. Banyak penelitian yang telah menunjukkan bahwa *backpropagation* secara signifikan lebih baik daripada model linier konvensional (Kocyigit, 2008).

Berikut adalah penjelasan *pseudocode* algoritma *backpropagation*.

- Buat sebuah *network* dengan  $n_{in}$  unit *input*,  $n_{hidden}$  unit tersembunyi, dan  $n_{out}$  unit *output*.
- Inisialisasi semua bobot dan bias ke angka random yang kecil (antara 0 dan 1).
- Sampai kondisi terminasi tercapai, kemudian untuk tiap data *training*, lakukan:
  1. Masukkan data *training* sebagai *input* dan hitung *output* jaringan  $O_u$
  2. Untuk tiap unit *output* k. hitung term *error*  $\delta_k$   

$$\delta_k \leftarrow O_k (1 - O_k)(t_k - O_k)$$
  3. Untuk tiap unit tersembunyi hitung term *error*  $\delta_h$   

$$\delta_h \leftarrow O_h (1 - O_h) \sum_{k \in output} w_{h,k} \delta_k$$
  4. Ubah tiap bobot dan bias  $w_{ij}$

$$w_{ij} \leftarrow w_{ij} + \Delta w_{ij}$$

dimana

$$\Delta w_{ij} \leftarrow \eta \delta_j x_{ij}$$

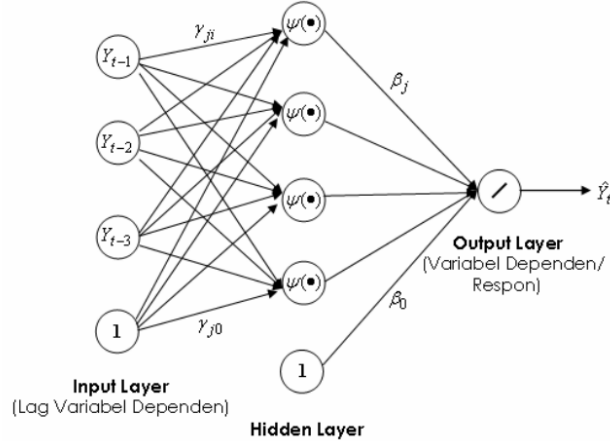
Keterangan:

- $\delta_k$  adalah *error output*
- $O_k$  adalah keluaran dari lapisan *output*
- $t_k$  adalah *output* yang diharapkan
- $\delta_h$  adalah *error* pada lapisan tersembunyi
- $O_h$  adalah keluaran dari lapisan tersembunyi
- $w_{h,k}$  adalah bobot antara lapisan *output* dan lapisan tersembunyi
- $w_{ij}$  adalah semua bobot dan bias pada jaringan saraf
- $\eta$  adalah *learning rate*
- $x_{ij}$  adalah keluaran dari lapisan
- $\Delta w_{ij}$  adalah selisih bobot saat ini dengan bobot sebelumnya

### 2.5.5 Algoritma Autoregressive Neural Network

Aplikasi model neural network untuk peramalan deret waktu memerlukan perlakuan dari suatu proses dinamis. Neural network dapat mengakomodasi perilaku dinamis dengan memasukkan lag (kejadian sebelumnya) variabel respon

atau  $y_{t-1}$  dalam himpunan *input*. Bentuk ini selanjutnya dikenal dengan *Autoregressive Neural Network*, dan secara grafik untuk 3 lag sebagai *input* dapat dilihat seperti Gambar 2.4 (Faraway & Chatfield, 1998).



**Gambar 2.4.** Arsitektur AR-NN.

Secara umum bentuk arsitektur model ini adalah sama dengan model ARIMA (p, 0, 0), dimana bentuk perbedaanya adalah bentuk fungsi yang mentrasfer kejadian-kejadian masa lalu ( $y_{t-1}, \dots, y_{t-p}$ ) kejadian masa sekarang  $y_t$  adalah nonlinier. Sedangkan pada model ARIMA (p, 0, 0) bentuk fungsinya adalah fungsi linier. Sehingga seringkali model MLP disebut sebagai model *Autoregressive nonlinear* (Faraway & Chatfield, 1998).

### 2.5.6 Metode Hibrida ARIMA dan Multilayer Perceptron

Metode ARIMA dan Multilayer Perceptron telah sukses dalam memodelkan domain linier dan nonlinier. Namun tidak satupun dari mereka yang menjadi model universal yang cocok untuk segala keadaan. Karena data asli susah diketahui karakteristiknya, maka dalam prakteknya metode hibrida merupakan strategi yang cocok untuk mengetahui karakteristik data karena memiliki kemampuan dalam memodelkan domain linier dan nonlinier. Sangatlah masuk akal jika time series dianggap terdiri dari dua komponen yaitu komponen struktur *linear autocorelation* dan komponen *nonlinear*, yang dinotasikan sebagai berikut:

$$y_t = L_t + N_t \quad (2.36)$$

dimana  $L_t$  merupakan komponen linier dan  $N_t$  merupakan komponen *nonlinear*. Kedua komponen ini diestimasi dari data. Mula-mula ARIMA digunakan untuk membuat model dari komponen linier, kemudian sisa dari model linier tersebut

hanya akan berisi hubungan *nonlinear*,  $e_t$  dinotasikan sebagai residual pada waktu ke- $t$  dari model linier. Berikut adalah persamaan  $e_t$ .

$$e_t = y_t - \hat{L}_t, \quad (2.37)$$

dimana  $\hat{L}_t$  merupakan nilai dari peramalan pada waktu ke- $t$  dan  $y_t$  merupakan nilai asli pada waktu ke- $t$ , kemudian langkah selanjutnya adalah melakukan pemodelan dengan menggunakan metode *multilayer perceptron* dengan  $n$  unit *input*. Pada proses uji coba dilakukan penyesuaian jumlah  $n$  hingga ditemukan model yang paling optimal. Unit *input* berasal dari residual yang dihitung dari persamaan (2.37)

$$e_t = f(e_{t-1}, e_{t-2}, \dots, e_{t-n}) + \varepsilon_t, \quad (2.38)$$

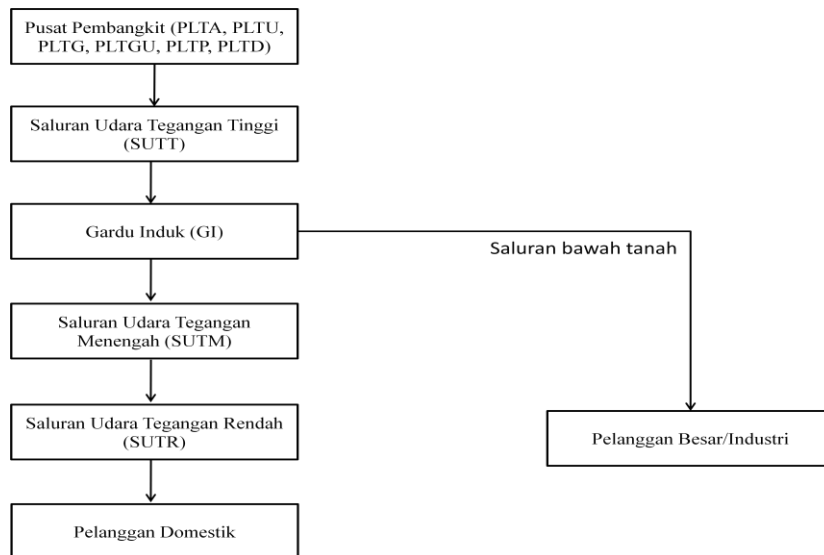
dimana  $f$  merupakan fungsi *nonlinear* yang dihasilkan dari *multilayer perceptron* dan  $\varepsilon_t$  merupakan *random error*. Hasil dari peramalan pada persamaan (2.38) disebut  $\hat{N}_t$ , maka hasil peramalan hibrida ARIMA dan *multilayer perceptron* menjadi (Zhang, 2003):

$$\hat{y}_t = \hat{L}_t + \hat{N}_t \quad (2.39)$$

## 2.6 Proses Penyampaian Tenaga Listrik Ke Pelanggan

Tenaga listrik dibangkitkan di pusat-pusat pembangkit listrik (*power plant*) seperti PLTA, PLTU, PLTG, dan PLTD sesuai pada Gambar 2.5. Kemudian disalurkan melalui saluran transmisi yang terlebih dahulu dinaikkan tegangannya oleh transformator *step-up* yang ada di pusat listrik. Saluran transmisi tegangan tinggi mempunyai tegangan 70 kV, 150 kV, atau 500 kV. Khusus untuk tegangan 500 kV saat ini disebut sebagai tegangan ekstra tinggi. Setelah tenaga listrik disalurkan, maka sampailah tegangan listrik ke gardu induk (GI), lalu tegangannya diturunkan menggunakan transformator *step-down* menjadi tegangan menengah yang juga disebut sebagai tegangan distribusi primer. Kecenderungan saat ini menunjukkan bahwa tegangan distribusi primer PLN yang berkembang adalah tegangan 20kV. Setelah tenaga listrik disalurkan melalui jaringan distribusi primer atau jaringan Tegangan Menengah (JTM), maka tenaga listrik kemudian diturunkan lagi tegangannya dalam gardu-gardu distribusi menjadi tegangan

rendah, yaitu tegangan 380/220 volt. lalu disalurkan melalui jaringan Tegangan Rendah (JTR) ke rumah-rumah pelanggan (konsumen) PLN (Marsudi, 2005).



**Gambar 2.5.** Skema diagram penyampaian tenaga listrik ke pelanggan

## 2.7 Sistem Tenaga Listrik Interkoneksi Jawa Timur

Sistem tenaga listrik Jawa Timur dihubungkan oleh Saluran Udara Tegangan Ekstra Tinggi (SUTET) 500 kV dan Saluran Udara Tegangan Tinggi (SUTT) 150 kV dan 70 kV. Region-region pada sistem dihubungkan oleh sistem transmisi 500 kV yang merupakan tulang punggung pensuplai daya sistem tenaga listrik Jawa Timur. Berdasarkan Lampiran 6, daya berkapasitas besar dialirkan oleh pembangkit-pembangkit utama melalui saluran transmisi 500 kV, yang kemudian di Gardu Induk Tegangan Ekstra Tinggi (GITET) 500 kV diturunkan tegangannya menjadi 150 kV melalui *Inter Bus Transformer* (IBT) 500/150 kV. Aliran daya pada sistem 150 kV ini kemudian akan dialirkan pada pusat beban (GI 150 kB) atau diturunkan lagi level tegangannya menjadi 70 kV melalui IBT 150/70 kV dan dialirkan ke gardu-gardu induk 70 kV melalui saluran transmisi 70 kV.

## 2.8 Framework .NET

*Framework .NET* adalah suatu komponen windows yang terintegrasi yang dibuat dengan tujuan untuk mendukung pengembangan berbagai macam jenis aplikasi serta untuk dapat mejalankan berbagai macam aplikasi generasi mendatang termasuk pengembangan aplikasi *Web Services XML*. Ada dua komponen utama dalam *Framework .NET* yaitu *Common Language Runtime* (CLR) dan *.NET Framework Class Library*, *Common Language Runtime* (CLR) adalah pondasi utama dari *Framework .NET*. CLR merupakan komponen yang

bertanggung jawab terhadap berbagai macam hal, seperti bertanggung jawab untuk melakukan managemen *memory*, melakukan eksekusi kode, melakukan verifikasi terhadap keamanan kode, menentukan hak akses dari kode, melakukan kompilasi kode, dan berbagai layanan system lainnya. Dengan adanya fungsi CLR ini, maka aplikasi berbasis .NET biasa juga disebut dengan *managed code*, sedangkan aplikasi di luar itu biasa disebut dengan *un-managed code*. CLR akan melakukan kompilasi kode-kode aplikasi kita menjadi bahasa assembly MSIL (*Microsoft Intermediate Language*). Proses kompilasi ini sendiri dilakukan oleh komponen yang bernama *Just In Time* (JIT). JIT hanya akan mengkompilasi metode-metode yang memang digunakan dalam aplikasi, dan hasil kompilasi ini sendiri di *cache* di dalam mesin dan akan dikompilasi kembali jika memang ada perubahan pada kode aplikasi.

.NET *Framework Class Library* atau sering juga disebut *Base Class Library* (BCL) adalah koleksi dari *reusable types* yang sangat terintegrasi secara melekat dengan CLR. *Class library* bersifat berorientasi terhadap objek yang akan menyediakan *types* dari fungsi-fungsi *managed code*. Hal ini tidak hanya berpengaruh kepada kemudahan dalam hal penggunaan, tetapi juga dapat mengurangi waktu yang diperlukan pada saat eksekusi. Dengan sifat tersebut, maka komponen pihak ketiga akan dengan mudah diaplikasikan ke dalam aplikasi yang dibuat.

Jika membuat sekumpulan *Class* untuk membuat aplikasi berbasis *windows*, maka *Class-Class* itu bisa digunakan untuk jenis aplikasi lain, seperti aplikasi berbasis web (ASP.NET).

Framework .NET di design untuk dapat memenuhi beberapa tujuan berikut ini:

- Untuk menyediakan *environment* kerja yang konsisten bagi bahasa pemrograman yang berorientasi objek (*object-oriented programming* – OOP) baik kode objek itu di simpan dan di eksekusi secara lokal, atau dieksekusi secara lokal tapi didistribusikan melalui internet atau dieksekusi secara *remote*.
- Untuk menyediakan *environment* kerja di dalam mengeksekusi kode yang dapat meminimalisasi proses *software deployment* dan menghindari konflik penggunaan versi *software* yang dibuat.

- Untuk menyediakan *environment* kerja yang aman dalam hal pengeksekusian kode, termasuk kode yang dibuat oleh pihak ketiga (*third party*).
- Untuk menyediakan *environment* kerja yang dapat mengurangi masalah pada persoalan performa dari kode atau dari lingkungan *interpreter*-nya.
- Membuat para pengembang lebih mudah mengembangkan berbagai macam jenis aplikasi yang lebih bervariasi, seperti aplikasi berbasis windows dan aplikasi berbasis web.

Membangun semua komunikasi yang ada di dalam standar industri (Balagurusamy, 2008).

### **BAB III**

### **METODOLOGI PENELITIAN**

Pada bab ini akan diuraikan mengenai metodologi penelitian yang akan dilaksanakan terdiri dari sumber data, studi literatur, perancangan metode, implementasi metode, pengujian metode, analisis hasil uji coba, dan penulisan laporan.. Metodologi yang dilakukan sebagai berikut Gambar 3.1.



**Gambar 3.1.** Alur metodologi penelitian

#### **3.1 Sumber Data dan Variabel Penelitian**

Data yang digunakan dalam penelitian ini adalah data sekunder yang diperoleh dari PT. PLN (Persero) P3B Jawa Timur & Bali, berupa data konsumsi listrik pada bulan 1 Januari 2014 hingga 31 Maret 2015. Sajian data beban disetiap subsistem dijelaskan pada variabel yang digunakan dalam penelitian ini yaitu beban listrik per setengah jam untuk wilayah Jawa Timur. Pemodelan dilakukan disetiap subsistem ketika terjadi *load peak* sesuai justifikasi PT. PLN (Persero). Penentuan *load peak* berdasarkan beban puncak disetiap shift kerja PT.PLN (Persero) P3B Jawa Timur dan Bali. Dimana terbagi menjadi tiga shift kerja yaitu:

- Shift pagi = 07.30 WIB – 14.30 WIB
- Shift siang = 15.00 WIB – 22.00 WIB
- Shift malam = 22.30 WIB – 07.00 WIB

Peramalan *load peak* disetiap shift kerja, berguna untuk menyusun perencanaan produksi harian pembangkit yang dilakukan setiap harinya oleh operator sistem scada. Dimana penentuan *load peak* berdasarkan dari seringnya terjadi beban puncak pada jam-jam tertentu sesuai pada Tabel 3.2 hingga Tabel 3.6. Hasil dari *load peak* disetiap subsistem dijelaskan pada Tabel 3.1. Tujuan dilakukannya peramalan pada jam terjadinya *load peak* karena untuk membantu *load balancing* pendistribusian listrik diseluruh area sistem Jawa Timur, hal ini perlu dilakukan karena setiap harinya pegawai yang bertugas disetiap shift kerja, harus melakukan pengendalian dan perencanaan produksi untuk setiap pembangkit, agar energi listrik yang dibangkitkan tidak melebihi kapasitas atau bahkan kekurangan kapasitas. Mengingat adanya keterbatasan pembangkit yang saat ini dimiliki oleh PT. PLN (Persero) P3B Jawa Timur & Bali yang hanya berjumlah 20 pembangkit dengan kapasitas maksimal sebesar 4824,22 MW, sedangkan beban puncak Jawa Timur bisa mencapai 5700 MW pada tahun 2016, jika pendistribusian tidak tepat sasaran akan berakibat *losses energy* (energi listrik yang hilang dalam inti trafo dan konduktor penghantar/kabel di Jaringan), sehingga peramalan pada saat jam-jam terjadinya *load peak* disetiap shift kerja perlu dilakukan, untuk melakukan optimasi energi yang dihasilkan.

**Tabel 3.1.** *Load peak* di setiap subsistem.

Subsistem	Shift Pagi	Shift Siang	Shift Malam
Ngimbang	13.30	19.30	22.30
Krian	11.00	15.00	22.30
Krian-Gresik	14.00	15.00	22.30
Paiton	13.30	18.30	22.30
Kediri	13.30	18.30	05.30

### 3.2 Pengolahan Data

Pengolahan dilakukan berguna untuk memeriksa apakah terdapat *missing value*. Hal ini dilakukan untuk mendapatkan dataset awal yang lengkap. Kemudian sebelum melakukan pemodelan ARIMA, data di pisah menjadi dua bagian, yaitu bagian *in sample* dan *out sample*. Data *in sample* merupakan data dari tanggal 1 Januari 2014 hingga 28 Februari 2015. Sedangkan data *out sample* merupakan data dari tanggal 1 Maret 2015 hingga 31 Maret 2015. Pre proses data dilakukan sebelum melakukan pemodelan *Multilayer Perceptron*.

**Tabel 3.2.** Jumlah *load peak* di subsistem Krian setiap setengah jam dari 1/12/2014 hingga 28/2/2015.

Shift Pagi		Shift Siang		Shift Malam	
Jam	Jumlah	Jam	Jumlah	Jam	Jumlah
07.30	23	15.00	126	22.30	118
08.00	19	15.30	122	23.00	144
08.30	47	16.00	95	00.00	71
09.00	56	16.30	75	00.30	67
09.30	62	17.00	72	01.00	51
10.00	82	17.30	51	01.30	36
10.30	83	18.00	80	02.00	25
11.00	98	18.30	52	02.30	21
11.30	68	19.00	41	03.00	12
12.00	21	19.30	51	03.30	8
12.30	17	20.00	54	04.00	13
13.00	20	20.30	53	04.30	34
13.30	74	21.00	42	05.00	85
14.00	70	21.30	29	05.30	67
14.30	99	22.00	25	06.00	15
				06.30	12
				07.00	2

**Tabel 3.3.** Jumlah *load peak* di subsistem Krian-Gresik setiap setengah jam dari 1/12/2014 hingga 28/2/2015.

Shift Pagi		Shift Siang		Shift Malam	
Jam	Jumlah	Jam	Jumlah	Jam	Jumlah
07.30	3	15.00	99	22.30	252
08.00	5	15.30	36	23.00	40
08.30	0	16.00	9	23.30	41
09.00	0	16.30	3	00.00	13
09.30	5	17.00	2	00.30	33
10.00	13	17.30	16	01.00	11
10.30	45	18.00	27	01.30	7
11.00	59	18.30	20	02.00	2
11.30	24	19.00	25	02.30	2
12.00	8	19.30	35	03.00	1
12.30	2	20.00	32	03.30	0
13.00	9	20.30	43	04.00	0
13.30	82	21.00	30	04.30	1
14.00	95	21.30	30	05.00	10
14.30	75	22.00	33	05.30	6
				06.00	2
				06.30	0
				07.00	3

**Tabel 3.4.** Jumlah *load peak* di subsistem Ngimbang setiap setengah jam dari 1/12/2014 hingga 28/2/2015.

Shift Pagi		Shift Siang		Shift Malam	
Jam	Jumlah	Jam	Jumlah	Jam	Jumlah
				22.30	269
07.30	12	15.00	3	23.00	20
08.00	8	15.30	2	23.30	3
08.30	7	16.00	3	00.00	4
09.00	10	16.30	1	00.30	10
09.30	18	17.00	3	01.00	0
10.00	22	17.30	5	01.30	1
10.30	43	18.00	38	02.00	0
11.00	47	18.30	85	02.30	0
11.30	35	19.00	101	03.00	0
12.00	19	19.30	145	03.30	3
12.30	14	20.00	121	04.00	7
13.00	30	20.30	64	04.30	12
13.30	153	21.00	12	05.00	62
14.00	122	21.30	2	05.30	65
14.30	61	22.00	2	06.00	2
				06.30	1
				07.00	2

**Tabel 3.5.** Jumlah *load peak* di subsistem kediri setiap setengah jam dari 1/12/2014 hingga 28/2/2015.

Shift Pagi		Shift Siang		Shift Malam	
Jam	Jumlah	Jam	Jumlah	Jam	Jumlah
				22.30	142
07.30	52	15.00	22	23.00	6
08.00	12	15.30	16	23.30	6
08.30	6	16.00	11	00.00	17
09.00	9	16.30	5	00.30	4
09.30	10	17.00	3	01.00	3
10.00	11	17.30	9	01.30	4
10.30	28	18.00	108	02.00	5
11.00	50	18.30	154	02.30	10
11.30	50	19.00	89	03.00	8
12.00	16	19.30	51	03.30	10
12.30	14	20.00	27	04.00	1
13.00	18	20.30	9	04.30	1
13.30	100	21.00	3	05.00	58
14.00	74	21.30	3	05.30	155
14.30	66	22.00	7	06.00	16
				06.30	4
				07.00	5

**Tabel 3.6.** Jumlah *load peak* di subsistem paiton setiap setengah jam dari 1/12/2014 hingga 28/2/2015.

Shift Pagi		Shift Siang		Shift Malam	
Jam	Jumlah	Jam	Jumlah	Jam	Jumlah
				22.30	364
07.30	13	15.00	2	23.00	9
08.00	8	15.30	1	23.30	3
08.30	6	16.00	2	00.00	0
09.00	11	16.30	1	00.30	4
09.30	22	17.00	1	01.00	0
10.00	16	17.30	3	01.30	0
10.30	52	18.00	89	02.00	0
11.00	38	18.30	124	02.30	0
11.30	8	19.00	97	03.00	0
12.00	3	19.30	80	03.30	0
12.30	5	20.00	34	04.00	1
13.00	5	20.30	13	04.30	3
13.30	162	21.00	3	05.00	25
14.00	58	21.30	1	05.30	17
14.30	47	22.00	3	06.00	0
				06.30	2
				07.00	0

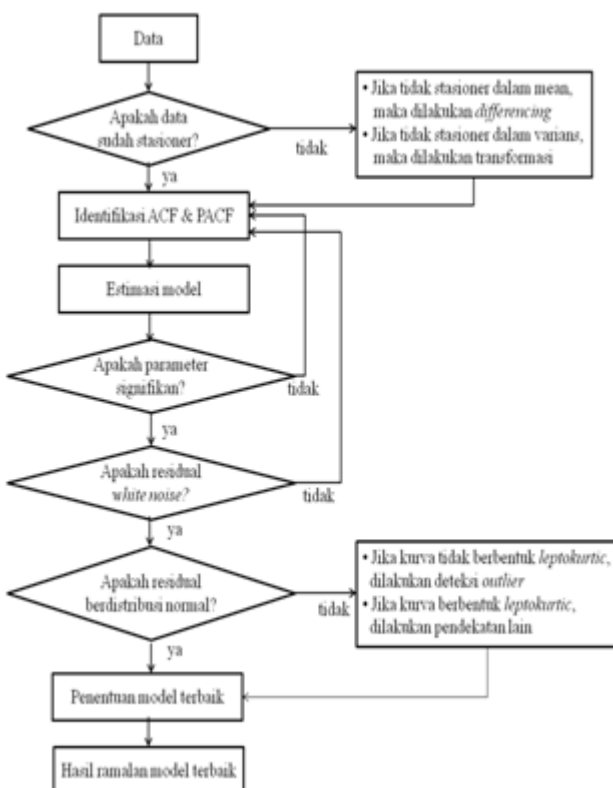
### 3.3 Studi Literatur Metode ARIMA

Untuk dapat memahami metode ARIMA dalam peramalan *time series*, dilakukan proses pengumpulan informasi yang berhubungan dengan metode tersebut. Proses ini diawali dengan pencarian literatur dari berbagai jurnal yang sudah tersedia. Dilanjutkan dengan menyeleksi literatur berdasarkan kesesuaian isi dengan kebutuhan. Dari literatur yang telah diseleksi, dilakukan kajian mendalam mengenai metode yang akan digunakan. Proses ini dilakukan agar dapat mengetahui implementasi ARIMA dalam peramalan *time series*.

Berikut langkah analisis pemodelan ARIMA yang digunakan dalam melakukan penelitian ini berdasarkan Gambar 3.2.

1. Melakukan identifikasi model ARIMA terhadap karakteristik data beban listrik di Jawa Timur. Dalam proses ini dilakukan pemeriksaan kestasioneran data dalam *mean* dan varians pada data *in sample*. Ketika data tidak stasioner dalam varians, maka dilakukan proses transformasi Box-Cox. Sedangkan jika data tidak stasioner dalam *mean*, dilakukan proses *differencing*. Kemudian dilakukan identifikasi model dengan melihat plot ACF dan PACF.

2. Melakukan estimasi model ARIMA dengan paket program SAS berdasarkan metode CLS. Selanjutnya hasil dari estimasi tersebut, dilakukan pengujian menggunakan statistik uji  $t$ .
3. Uji kesesuaian model dengan uji *white noise*.
4. Jika pada saat pengujian residual tidak memenuhi asumsi distribusi normal, maka langkah selanjutnya yang harus dilakukan adalah deteksi *outlier*. Cara melakukan deteksi *outlier* yaitu menyertakan *outlier* didalam model ARIMA.
5. Meramalkan data *out sample* berdasarkan model yang terbentuk.
6. Menentukan nilai MAPE, SMAPE, dan RMSE pada masing-masing model.
7. Memilih model terbaik berdasarkan nilai MAPE, SMAPE, dan RMSE terkecil.



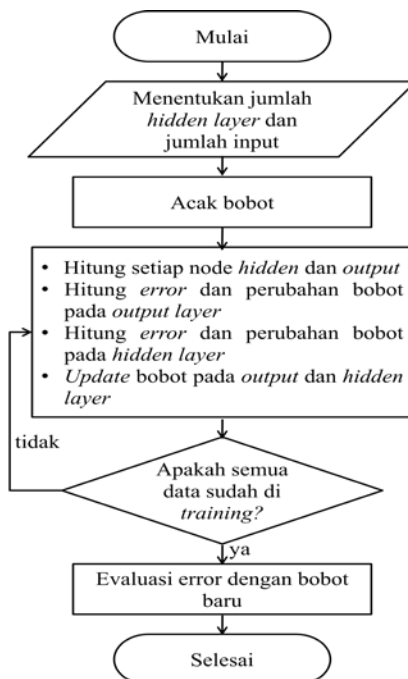
**Gambar 3.2.** Diagram alir model peramalan ARIMA

### 3.4 Studi Literatur Metode *Multilayer Perceptron*

Untuk dapat memahami metode *multilayer perceptron* (MLP) pada peramalan *time series nonlinear*, dilakukan proses pengumpulan informasi yang berhubungan dengan metode tersebut. Proses ini diawali dengan pencarian literatur yang sesuai dengan kebutuhan. Dari literatur yang telah diseleksi, dilakukan kajian mendalam mengenai metode yang digunakan. Gambar 3.2

menjelaskan uraian proses yang digunakan dalam metode MLP dalam penelitian ini.

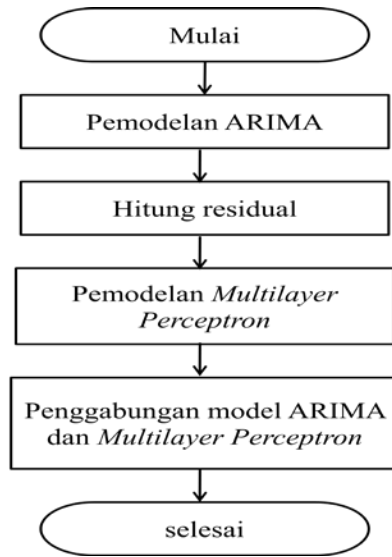
1. Melakukan penentuan variabel masukan berdasarkan lag AR dari model ARIMA yang sudah ditentukan.
2. Menentukan jumlah neuron dilapisan tersembunyi, dengan mula-mula bobot pada setiap neuron *input* diacak antara -1 hingga 1.
3. Kemudian dilakukan proses *feedforward* sampai didapatkan nilai pada *output* neuron. Untuk setiap neuron digunakan fungsi aktivasi *bipolar sigmoid*.
4. Melakukan proses *backpropagation* yang berguna untuk memperbarui nilai bobot pada setiap neuron.
5. Langkah tersebut dilakukan hingga didapatkan model dengan performa maksimal.



**Gambar 3.3.** Diagram alir *backprogation*

### 3.5 Studi Literatur Metode Hibrida ARIMA dan Multilayer Perceptron

Dalam proses memahami metode hibrida ARIMA dan MLP dilakukan proses pengumpulan informasi berdasarkan metode tersebut. Dari literatur yang sudah didapatkan, dilakukan kajian mendalam pada metode tersebut. Gambar 3.4 menunjukkan diagram alir dari metode hibrida ARIMA dan MLP yang digunakan dalam penelitian ini.



**Gambar 3.4.** Diagram alir hibrida ARIMA dan MLP

### 3.6 Perancangan Metode Peramalan *Time Series* Menggunakan ARIMA, *Multilayer Perceptron*, dan Hibrida ARIMA & *Multilayer Perceptron*

Dalam proses ini dirancang sebuah desain metode peramalan menggunakan metode ARIMA, *Multilayer Perceptron*, dan hibrida ARIMA & *Multilayer Perceptron*. Pada proses ini juga dilakukan analisis lebih lanjut agar kedua metode yang digunakan dapat menghasilkan peramalan yang memiliki akurasi yang baik. Pada tahap ini dirancang sistem yang akan dibangun sesuai dengan tujuan dan permasalahan yang akan diselesaikan. Sistem peramalan *time series nonliniar* yang ditawarkan pada penelitian ini memiliki rancangan sistem sebagaimana yang ditunjukkan pada Gambar 3.5.



**Gambar 3.5.** Rancangan sistem

### **3.6.1 Peramalan dan Pemodelan menggunakan ARIMA**

Pada penelitian ini, ARIMA digunakan sebagai metode peramalan data *time series*. Akan dilakukan pemodelan di setiap *load peak* pada setiap shift kerja di PT. PLN (Persero) P3B Jawa Timur & Bali. Pemilihan model terbaik berdasarkan nilai MAPE, RMSE, dan SMAPE terkecil.

Di dalam proses ini akan dilakukan dua prosedur perancangan, yaitu prosedur pelatihan dan pengujian. Prosedur pelatihan digunakan untuk melakukan pembelajaran terhadap pola-pola dari data. Proses ini dilakukan dengan menggunakan data *in sample*. Proses ini berhenti jika didapatkan nilai MAPE, RMSE, dan SMAPE terkecil dari setiap model yang ditemukan.

Proses kedua adalah proses pengujian dari model yang sudah dihasilkan dan dilakukan proses peramalan data. Setelah dilakukan peramalan, maka model akan dihitung nilai MAPE, RMSE, dan SMAPE untuk mengetahui sampai hari keberapa model bisa digunakan dalam peramalan.

### **3.6.2 Penentuan Variabel *Input* MLP Berdasarkan Lag AR**

Dalam proses ini sangat terpengaruh dari proses sebelumnya yaitu ARIMA. Penentuan dari variabel *input* MLP didapatkan dari lag AR yang dihasilkan oleh setiap model ARIMA pada jam-jam terjadinya *load peak* disetiap shift kerja yang ada di PT. PLN (Persero) P3B Jawa Timur & Bali untuk setiap subsistem. Sehingga setiap wilayah subsistem di distribusi Jawa Timur akan memiliki kombinasi 15 variabel *input* MLP.

### **3.6.3 Peramalan Data Menggunakan MLP**

Pada penelitian ini digunakan metode MLP sebagai peramalan data *time series*, metode MLP yang digunakan adalah *backpropagation neural network* yang merupakan salah satu model ANN yang sering digunakan diberbagai bidang. Arsitektur dari model MLP terdiri dari satu *layer input* yang terdiri dari beberapa unit neuron, satu *hidden layer* yang terdiri dari satu atau lebih unit neuron, dan satu *layer output* yang terdiri dari satu neuron. Estimasi terhadap parameter model dilakukan dengan metode *backpropagation*.

Terdapat 2 macam prosedur perancangan, yaitu prosedur pelatihan dan pengujian. Prosedur pelatihan adalah prosedur untuk melakukan pembelajaran terhadap pola-pola yang akan dikenali. Proses ini dilakukan dengan menggunakan

data latih / *in sample* yang telah disiapkan. Proses ini berhenti jika nilai *error* minimal yang ditetapkan atau *epoch* yang telah ditentukan *user* telah tercapai sehingga didapatkan bobot-bobot neuron yang diharapkan.

*Epoch* (iterasi) adalah satu set putaran vektor-vektor pembelajaran. Beberapa iterasi diperlukan untuk pembelajaran sebuah *backpropagation* sehingga kesalahan mendekati 0. Prosedur selanjutnya adalah proses pengujian, proses pengujian dilakukan untuk mengetahui kehandalan dari model yang terbentuk, dalam menentukan kebaikan model berdasarkan nilai MAPE, RMSE, dan SMAPE terkecil.

#### **3.6.4 Peramalan Data Menggunakan Hibrida ARIMA dan MLP**

Pada penelitian ini digunakan metode hibrida ARIMA dan MLP untuk proses peramalan data *time series*. Terdapat dua prosedur peramalan yaitu prosedur peramalan ARIMA dan prosedur peramalan MLP. Setelah dilakukan proses peramalan ARIMA kemudian dilakukan perhitungan nilai residual dari hasil peramalan ARIMA yang didapat. Nilai residual tersebut yang nantinya akan digunakan sebagai nilai *input* dari proses peramalan MLP. Kemudian hasil dari kedua peramalan tersebut digabungkan menjadi satu. Sehingga hasil akhir dari peramalan merupakan gabungan hasil peramalan dari proses ARIMA dan peramalan dari proses MLP. Pemilihan model terbaik pada proses hibrida ARIMA dan MLP berdasarkan nilai MAPE, RMSE, dan SMAPE terkecil. Penentuan jumlah *input* untuk proses MLP sesuai dengan lag AR yang dihasilkan dari proses ARIMA. Pada proses ini, akan dilakukan peramalan pada jam-jam terjadinya *load peak* disetiap shift kerja yang ada di PT. PLN (Persero) P3B APB Jawa Timur untuk setiap subsistem.

### **3.7 Implementasi Rancangan Sistem Peramalan *Time series* Menggunakan ARIMA, Multilayer Perceptron, dan Hibrida ARIMA dan MLP**

Tahapan ini digunakan untuk mengimplementasikan metode yang diusulkan ke dalam perangkat lunak. Proses implementasi meliputi penulisan kode program, *compiling*, *debugging* sampai dihasilkan kode program yang siap dieksekusi. Sebelum implementasi perlu dilakukan perencanaan sistem, hal ini bertujuan untuk mencari bentuk yang optimal dari aplikasi yang akan dibangun dengan mempertimbangkan berbagai faktor permasalahan dan kebutuhan yang ada pada sistem. Upaya yang dilakukan adalah dengan berusaha mencari kombinasi

penggunaan teknologi dan perangkat lunak yang tepat sehingga diperoleh hasil yang optimal dan mudah untuk diimplementasikan. Pada penelitian ini akan dibangun pemrograman C#. Kemudian pada perhitungan komputasi dalam proses pengkombinasian *input* lag AR untuk metode MLP dan hibrida ARIMA & MLP, akan dibantu dengan *cloud computing*.

### 3.8 Uji Coba dan Analisis Hasil Percobaan Sistem

Pada tahap ini dilakukan uji coba pada metode MLP dan hibrida ARIMA & MLP. Dalam proses ini, akan dilakukan uji coba dengan melakukan kombinasi *input* sesuai dengan lag AR yang dihasilkan oleh metode ARIMA. Hal ini dilakukan untuk mencari kombinasi input yang maksimal pada proses MLP dan hibrida ARIMA & MLP.

### 3.9 Lingkungan Perancangan Perangkat Lunak

Spesifikasi perangkat keras dan perangkat lunak yang digunakan dalam proses perancangan dan implementasi perangkat lunak ini ditampilkan pada Tabel 3.7.

**Tabel 3.7.** Lingkungan perancangan perangkat lunak.

Perangkat	Spesifikasi
Perangkat keras	Prosesor: Intel® Core™ i3 CPU M 430 @ 2.27GHz 2.27GHz Memori: 2.00 GB
Perangkat lunak	<b>Sistem Operasi:</b> Microsoft Windows 7 64-bit Professional Ubuntu Server 14.04 <b>Perangkat Pengembang:</b> Microsoft Visual Studio 2015. Minitab 16 Statistical Software. SAS Information 9.4 <b>Perangkat Pembantu:</b> Notepad++. Microsoft Excel 2007

*(Halaman Ini Sengaja Dikosongkan)*

## **BAB IV**

### **HASIL PENELITIAN DAN PEMAHASAN**

Pada bab ini akan dibahas mengenai hasil penelitian terhadap konsumsi beban listrik di Jawa Timur untuk setiap subsistemnya. Sebelum melakukan peramalan, terlebih dahulu menyajikan statistika deskriptif dari data untuk mengetahui karakteristiknya. Analisis yang digunakan untuk meramalkan konsumsi beban listrik beberapa kedepan diantaranya ARIMA, MLP, dan Hibrida ARIMA & MLP.

#### **4.1 Karakteristik Konsumsi Beban Listrik di Jawa Timur Untuk Setiap Subsistem**

Pada analisis statistik deskriptif ini digunakan untuk mengetahui karakteristik konsumsi beban listrik di Jawa Timur tiap setengah jam yang ditunjukkan dalam Tabel 4.1 untuk subsistem Paiton. Analisis yang sama juga dilakukan pada subsistem yang lain dan dapat dilihat pada Lampiran 7 hingga Lampiran 10.

**Tabel 4.1.** Hasil analisis deskriptif konsumsi beban listrik di Jawa Timur wilayah subsistem Paiton.

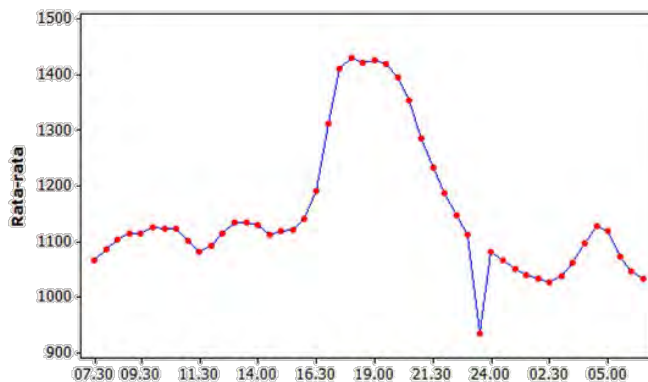
Jam	Rata-rata	Standar Deviasi	Selang Kepercayaan 95% untuk Rata-Rata	
			Batas Bawah	Batas Atas
07_30	1.065,885	158,961	1.051,605	1.081,845
08_00	1.085,675	179,038	1.069,552	1.103,624
08_30	1.103,364	190,671	1.086,195	1.122,481
09_00	1.113,664	188,594	1.096,744	1.132,613
09_30	1.115,114	200,167	1.097,091	1.135,184
10_00	1.124,471	195,508	1.106,937	1.144,119
10_30	1.124,134	211,595	1.105,059	1.145,334
11_00	1.123,390	209,413	1.104,526	1.144,381
11_30	1.100,700	214,774	1.081,279	1.122,179
12_00	1.080,768	205,229	1.062,230	1.101,306
12_30	1.092,570	200,565	1.074,530	1.112,692
13_00	1.114,092	207,718	1.095,399	1.134,925
13_30	1.135,030	213,294	1.115,844	1.156,428
14_00	1.133,540	203,615	1.115,308	1.154,021
14_30	1.130,372	192,475	1.113,197	1.149,769
15_00	1.113,176	215,473	1.093,704	1.134,733
15_30	1.119,397	215,940	1.101,505	1.141,843
16_00	1.120,221	219,410	1.100,333	1.142,132
16_30	1.140,119	213,381	1.120,773	1.161,425
17_00	1.191,876	192,378	1.174,623	1.211,209

**Tabel 4.1:** Lanjutan

Jam	Rata-rata	Standar Deviasi	Selang Kepercayaan 95% untuk Rata-Rata	
			Batas Bawah	Batas Atas
17_30	1.312,543	206,430	1.294,046	1.333,298
18_00	1.411,800	207,234	1.393,230	1.432,636
18_30	1.430,581	199,568	1.412,690	1.450,641
19_00	1.422,894	215,970	1.403,405	1.444,520
19_30	1.427,188	197,418	1.409,531	1.447,058
20_00	1.419,909	200,299	1.401,992	1.440,067
20_30	1.396,645	203,424	1.380,974	1.418,161
21_00	1.354,546	187,834	1.337,856	1.373,519
21_30	1.284,751	197,803	1.267,033	1.304,643
22_00	1.232,944	202,088	1.214,774	1.253,223
22_30	1.187,281	213,884	1.167,903	1.208,646
23_00	1.147,407	220,110	1.127,399	1.169,349
23_30	1.111,545	215,033	1.091,974	1.132,963
00_00	934,654	421,160	896,352	976,624
00_30	1.080,613	202,516	1.061,585	1.100,317
01_00	1.066,173	179,523	1.049,370	1.083,696
01_30	1.050,648	187,512	1.033,108	1.068,959
02_00	1.040,105	181,869	1.023,145	1.057,909
02_30	1.032,731	178,738	1.016,015	1.050,188
03_00	1.025,877	189,878	1.008,095	1.044,402
03_30	1.036,855	181,509	1.019,915	1.054,613
04_00	1.061,756	181,804	1.044,812	1.079,562
04_30	1.095,944	195,886	1.077,704	1.115,143
05_00	1.128,138	191,934	1.110,293	1.146,971
05_30	1.118,731	190,017	1.101,102	1.137,407
06_00	1.073,391	189,075	1.055,801	1.091,935
06_30	1.045,358	154,173	1.031,083	1.060,534
07_00	1.033,089	147,305	1.019,863	1.047,883

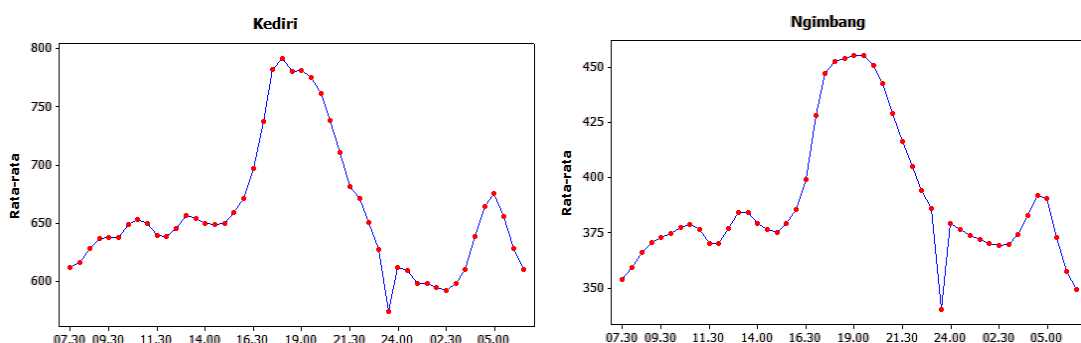
Berdasarkan Tabel 4.1 menunjukkan bahwa rata-rata konsumsi beban listrik tertinggi pada subsitem Paiton adalah pukul 18.30 WIB sebesar 1.430,582 MW dan beban terendah pukul 24.00 WIB sebesar 934,653 MW, secara visual rata-rata konsumsi listrik di subsistem Paiton dapat dilihat di Gambar 4.1. Pada Gambar 4.1 menunjukkan bahwa rata-rata konsumsi beban listrik per setengah jam bersifat fluktuatif, dimana rata-rata terendah terjadi sekitar dini hari pada saat orang beristirahat (tidur) yaitu pada pukul 24.00 WIB hingga 03.00 WIB. Kemudian rata-rata konsumsi beban listrik mulai sedikit mengalami kenaikan lagi pada saat orang-orang memulai aktifitasnya kembali, sekitar pukul 04.00 WIB hingga 05.30 WIB. Sedangkan pemakaian listrik yang konstan terjadi pada siang hari yaitu

sekitar pukul 13.00 WIB hingga 17.00 WIB, karena pada saat itu banyak orang berada diluar rumah, sehingga tidak banyak memanfaatkan listrik.



**Gambar 4.1.** Rata-rata konsumsi listrik di subsistem Paiton.

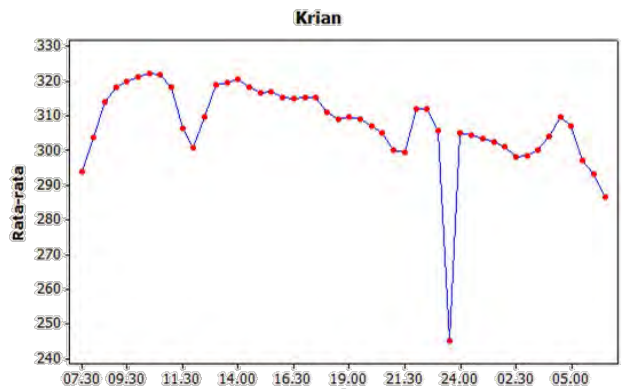
Analisis serupa juga dilakukan di subsistem Kediri dan Ngimbang, pada subsistem Kediri adalah pukul 18.30 WIB sebesar 791,1394 MW dan terendah pukul 24.00 WIB sebesar 574,2826 MW. Untuk subsistem Ngimbang, beban tertinggi pada pukul 19.30 WIB sebesar 455,2796 MW, dan beban terendah pukul 24.00 WIB sebesar 340,2351 MW. Fluktuasi dari rata-rata konsumsi listrik di subsistem Kediri dan Ngimbang, hampir sama dengan fluktuasi di subsistem Paiton. Secara visual grafik dari rata-rata konsumsi listrik di subsistem Kediri dan Ngimbang dapat dilihat di Gambar 4.2. Hal ini sangat wajar karena subsistem Kediri, Ngimbang, dan Paiton mempunyai mayoritas pelanggannya adalah dari sektor rumah tangga sehingga cenderung memiliki fluktuasi yang sama, sesuai pada Tabel 1.3. Sehingga para konsumen mulai banyak memanfaatkan peralatan elektroniknya pada malam hari. Sedangkan untuk rata-rata terendahnya ada pada dini hari. Karena biasanya para konsumen rumah tangga sudah banyak yang tidak melakukan aktivitas dan mulai istirahat.



**Gambar 4.2.** Rata-rata konsumsi listrik di subsistem Kediri dan Ngimbang.

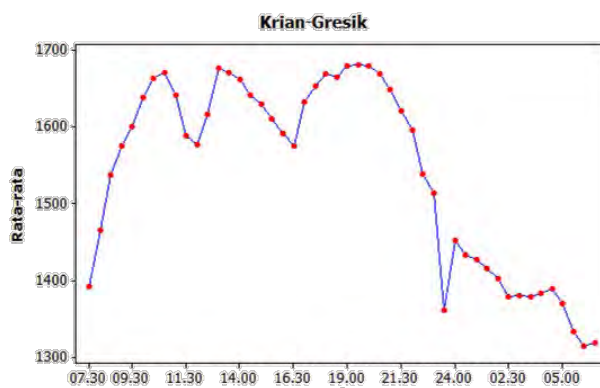
Sedangkan untuk subsistem Krian, beban tertinggi pada pukul 11.00 WIB sebesar 322,011 MW dan terendah pukul 24.00 WIB sebesar 244,977 MW. Hal ini terjadi karena mayoritas pelanggan dari subsistem Krian adalah pelanggan dari

sektor industri, dimana puncak dari penggunaan alat industri terjadi pada jam-jam kerja disiang hari, sedangkan beban terendah jam 24.00 WIB karena pada jam tersebut aktifitas industri sudah mulai menurun. Karena pekerja sudah tidak lagi bekerja. Secara visual, grafik dari rata-rata konsumsi listrik di subsistem Krian dapat dilihat di Gambar 4.3.



**Gambar 4.3.** Rata-rata konsumsi listrik di subsistem Krian.

Pada subsistem Krian-Gresik, beban tertinggi terjadi pada jam 19.30 WIB sebesar 1.679,993 MW karena mayoritas pelanggan didominasi oleh sektor rumah tangga dan beban terendah pada pukul 06.30 WIB sebesar 1.313,619 MW. Karena biasanya konsumen khususnya rumah tangga sudah mulai melakukan aktivitas diluar rumah. Secara visual, grafik dari rata-rata konsumsi listrik di subsistem Krian-Gresik dapat dilihat di Gambar 4.4.



**Gambar 4.4.** Rata-rata konsumsi listrik di subsistem Krian-Gresik.

## 4.2 Peramalan Konsumsi Beban Listrik Setiap Subsistem di Jawa Timur

### Menggunakan Metode ARIMA

Sebelum melakukan peramalan terhadap konsumsi beban listrik di Jawa Timur, terlebih dahulu melihat pola data berdasarkan *time series plot* seperti pada Gambar 4.1 untuk subsistem Paiton. Dengan proses yang sama, langkah-langkah tersebut dilakukan kepada subsistem Krian, Kediri, Ngimbang, dan Krian-Gresik

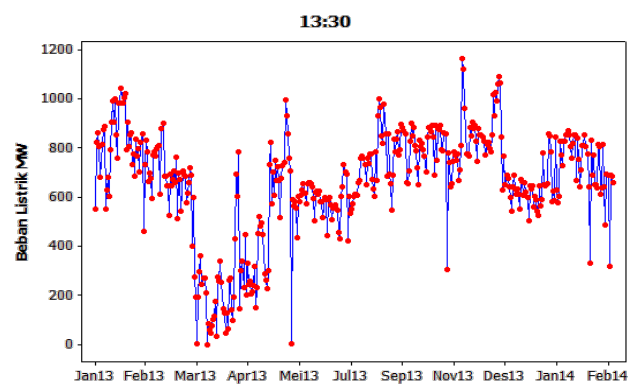
yang bisa dilihat secara visual di Lampiran 11. Penerapan metode ARIMA dilakukan untuk meramalkan konsumsi beban listrik di setiap subsistem.

Dari data setiap subsistem dicari *load peak* per shift kerja di PT. PLN (Persero) P3B Jawa Timur & Bali, sesuai dengan penjelasan di bagian Tabel 3.1 hingga Tabel 3.6, kemudian data tersebut dibagi menjadi dua, yaitu *in sample* sebanyak 16.038 (data mulai dari 1 Januari 2014 hingga 28 Maret 2015), dan data *out sample* data mulai tanggal 1 Maret 2015 hingga 31 Maret 2015 sebanyak 1.484 data. Setelah data dibagi menjadi *in sample* dan *out sample*, selanjutnya masing-masing data dibagi lagi dengan 48 berdasarkan waktunya yaitu tiap setengah. Setelah itu dilakukan pengelompokan data sesuai dengan shift kerja di PT. PLN (Persero) P3B Jawa Timur & Bali. Data *in sample* digunakan untuk mendapatkan model yang dapat digunakan untuk meramalkan beban konsumsi listrik di setiap subsistemnya sesuai dengan shift kerja di PT. PLN (Persero) P3B Jawa Timur & Bali, sedangkan data *out sample* digunakan untuk menentukan model terbaiknya. Prosedur tersebut dilakukan juga pada subsistem Krian, Ngimbang, Krian-Gresik, dan Kediri. Kemudian dilakukan identifikasi distribusi persebaran data di setiap subistem, dilakukan perhitungan kurtosis dan skewness disetiap data yang akan dianalisis. Hasil dari perhitungan tersebut bisa dilihat pada Tabel 4.2. Dari hasil analisis tersebut, didapatkan bahwa nilai kurtosis disetiap subsistem nilainya jauh dari 0. Sehingga bisa dikatakan bahwa data tersebut leptokurtik. Data cenderung memiliki kecenderungan condong ke kanan.

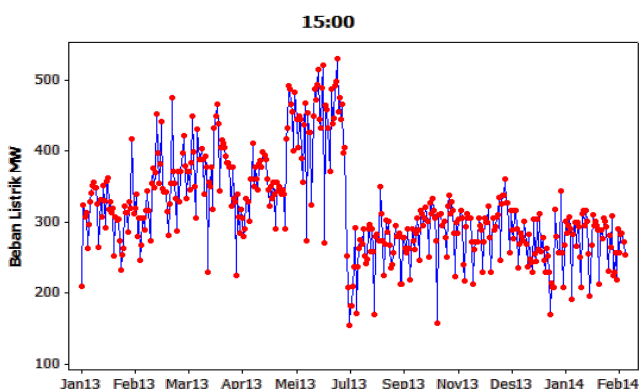
**Tabel 4.2.** Hasil analisis skewness dan kurtosis disetiap subsistem.

Subsistem	Model	Skewness	Kurtosis
Ngimbang	13.30	-0,56	5,54
	19.30	-0,46	3,45
	22.30	0,14	2,81
K-G	14.00	-1,09	4,54
	15.00	-1,00	5,48
	22.30	-1,55	9,61
Krian	11.00	-1,50	9,22
	15.00	-0,80	3,81
	23.00	-2,01	13,24
Kediri	13.30	-0,97	5,44
Kediri	18.30	-0,55	11,73
	05.30	-1,34	8,83
Paiton	13.30	-2,19	14,39
	18.30	-4,26	35,43
	22.30	-1,76	24,99

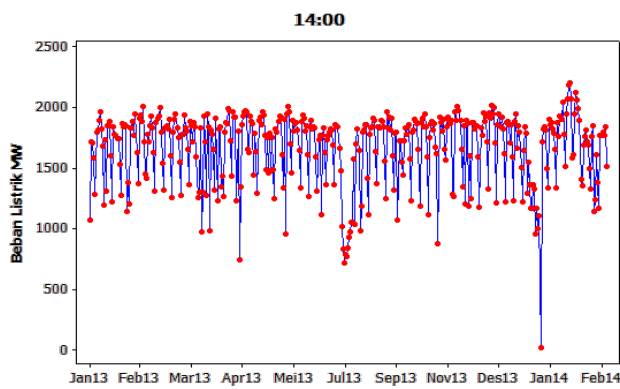
Penjelasan tahapan model ARIMA secara lengkap dalam penelitian ini akan dilakukan pada subsistem Kediri pukul 13.30, Ngimbang pukul 13.30, Paiton pukul 13.30, Krian pukul 15.00, dan Krian-Gresik pukul 14.00 yang disesuaikan dengan pembagian shift kerja yang ada di PT. PLN (Persero) P3B Jawa Timur & Bali, dimana pemodelan akan dilakukan sesuai dengan Tabel 3.1 yang sudah dijelaskan pemilihannya sesuai dengan Tabel 3.2 hingga Tabel 3.6. Langkah pertama dalam melakukan peramalan menggunakan metode ARIMA adalah identifikasi data untuk melihat kestasioneran dalam varians dan *mean*. Kestasioneran tersebut dapat dilihat secara visual berdasarkan *time series plot* dan plot ACF untuk setiap subsistemnya sesuai dengan Gambar 4.5 hingga Gambar 4.9. Dari Gambar 4.5 hingga Gambar 4.9 menunjukkan bahwa data-data di setiap subsistem tersebut tidak stasioner dalam *mean*. Dengan tahapan yang sama, untuk pemodelan di waktu yang berbeda pada setiap subsistem dapat dilihat di Lampiran 12.



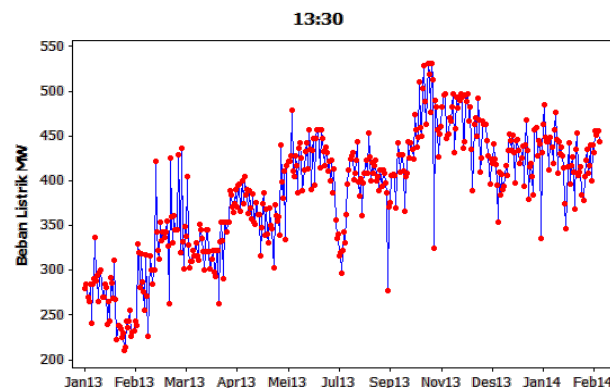
**Gambar 4.5.** *Time series plot* subsistem Kediri pukul 13.30



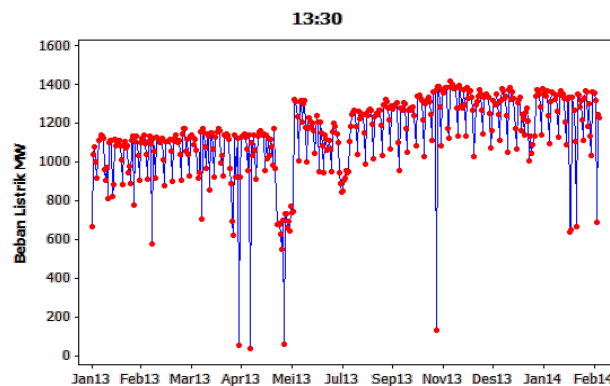
**Gambar 4.6.** *Time series plot* subsistem Krian pukul 15.00



**Gambar 4.7.** *Time series plot* subsistem Krian-Gresik pukul 14.00

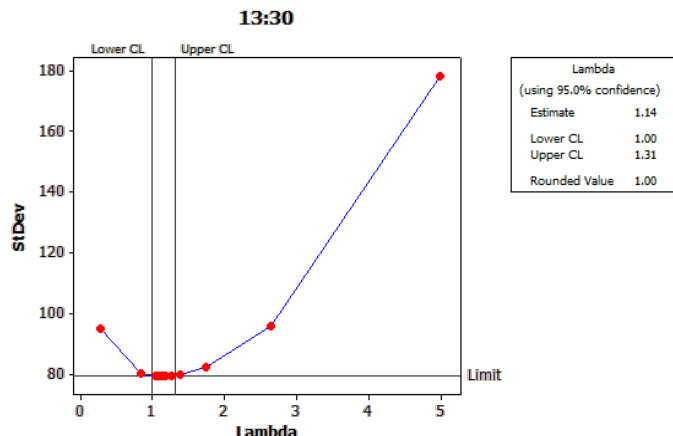


**Gambar 4.8.** *Time series plot* subsistem Ngimbang pukul 13.30

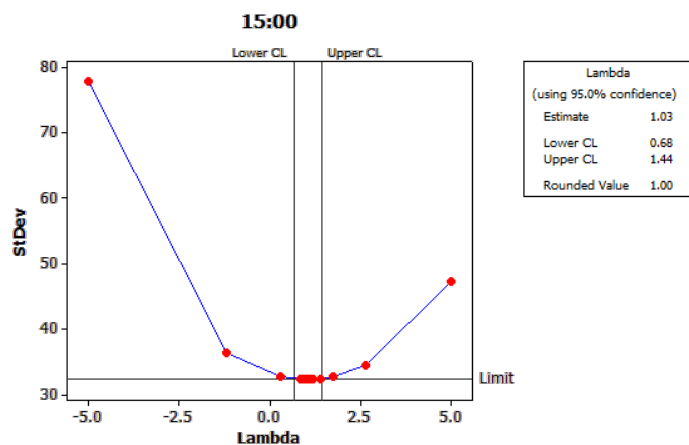


**Gambar 4.9.** *Time series plot* subsistem Paiton pukul 13.30

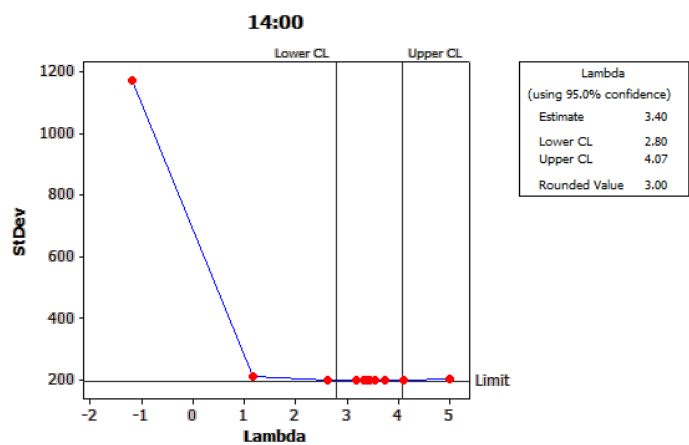
Setelah melakukan identifikasi kestasioneran dalam *mean*, langkah selanjutnya adalah melakukan identifikasi kestasioneran dalam varians. Setiap subsistem dilakukan uji Box-Cox untuk pembuktian kestasioneran dalam varians, secara visual hasil dari uji Box-Cox disetiap subsistem dapat dilihat di Gambar 4.10 hingga Gambar 4.14.



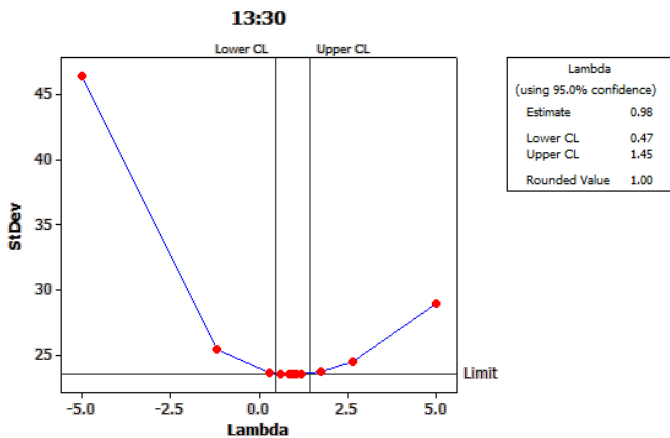
**Gambar 4.10.** Box-Cox Transformation subsistem Kediri pukul 13.30



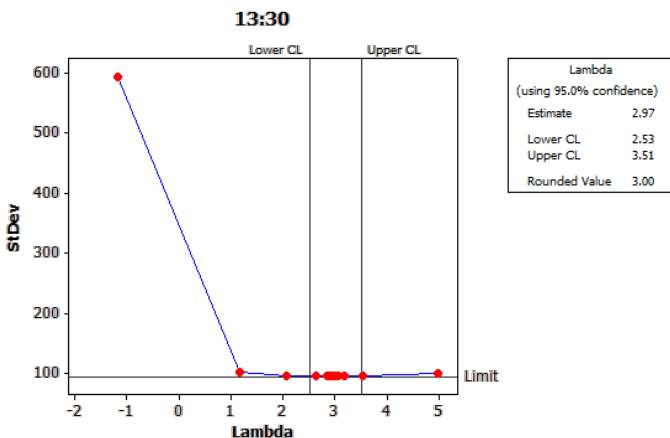
**Gambar 4.11.** Box-Cox Transformation subsistem Krian pukul 15.00



**Gambar 4.12.** Box-Cox Transformation subsistem Krian-Gresik pukul 14.00



**Gambar 4.13.** Box-Cox Transformation subsistem Ngimbang pukul 13.30



**Gambar 4.14.** Box-Cox Transformation subsistem Paiton pukul 13.30

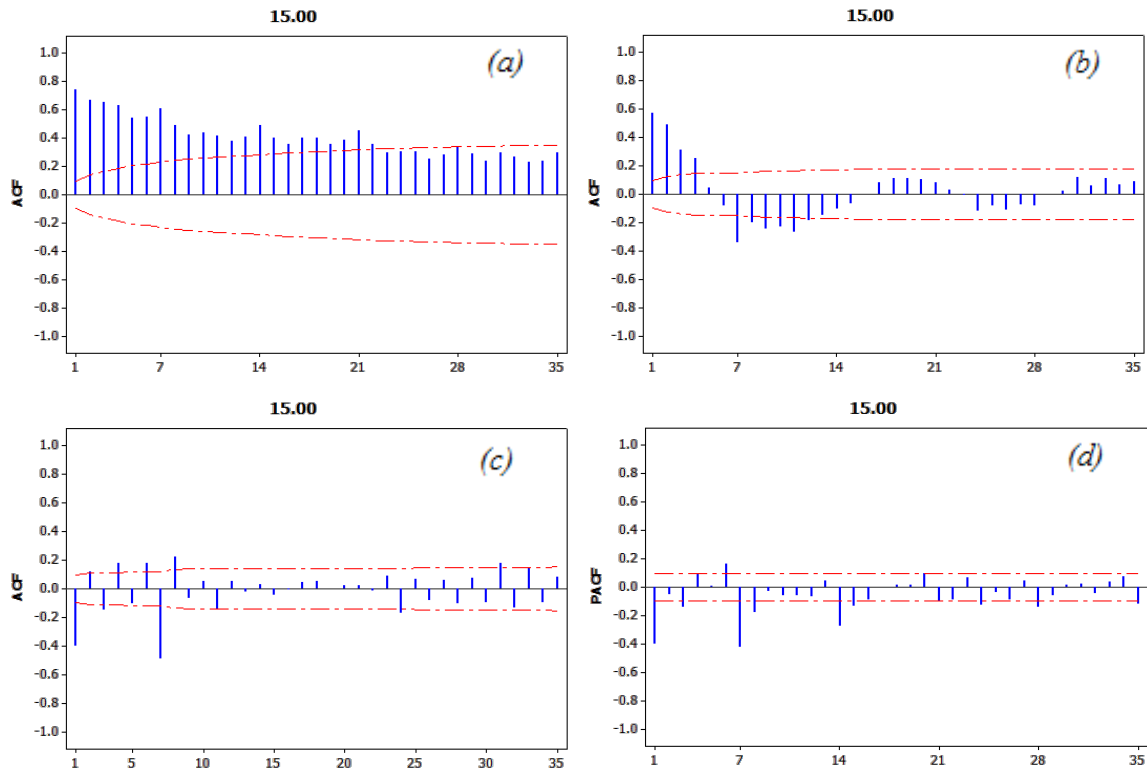
Berdasarkan Gambar 4.10 menunjukkan bahwa data di subsistem Kediri pada pukul 13.30 mempunyai *rounded value* sebesar 1,00 dengan LCL = 1 dan UCL = 1,31. Sedangkan pada Gambar 4.11 data di subsistem Krian pada pukul 15.00 didapatkan *rounded value* sebesar 1,00 dengan LCL = 0,68 dan UCL = 1,44. Kemudian hasil dari Gambar 4.12 menunjukkan bahwa *rounded value* di subsistem Krian-Gresik pada pukul 14.00 sebesar 3,00 dengan LCL = 2 dan UCL = 4,07. Gambar 4.13 menghasilkan nilai *rounded value* sebesar 1,00 dengan LCL = 0,47 dan UCL = 1,45 untuk subsistem Ngimbang pada pukul 13.30. Dan yang terakhir adalah Gambar 4.14 yang didapatkan nilai *rounded value* sebesar 3,00 dengan LCL= 2,53 dan UCL = 3,51 untuk subsistem Paiton pada pukul 13.30. Melalui tahapan yang sama, untuk pemodelan diwaktu yang berbeda pada setiap subsistem dapat dilihat di Lampiran 13. Berdasarkan Lampiran 13 diketahui bahwa semua subsistem tidak perlu ditransformasi, karena semua *rounded value* masuk dalam selan interval. Setelah melakukan uji transformasi Box-Cox dan didapatkan hasil bahwa data sudah stasioner dalam varians, langkah selanjutnya adalah mengidentifikasi kestasioneran dalam *mean*. Berdasarkan plot ACF sesuai

pada Gambar 4.15 (a), 4.17 (a), 4.18 (a), 4.19 (a), dan 4.20 (a), menunjukkan bahwa data belum stasioner dalam *mean*, hal ini disebakan dari lag-lag yang turun lambat ditiap lag 7. Hal ini mengindikasikan bahwa terdapat pola musiman mingguan. Oleh karena itu diperlukan *differencing* 7 yang hasilnya ditunjukkan sesuai dengan Gambar 4.15 (b), 4.17 (b), 4.18 (b), 4.19 (b), dan 4.20 (b).

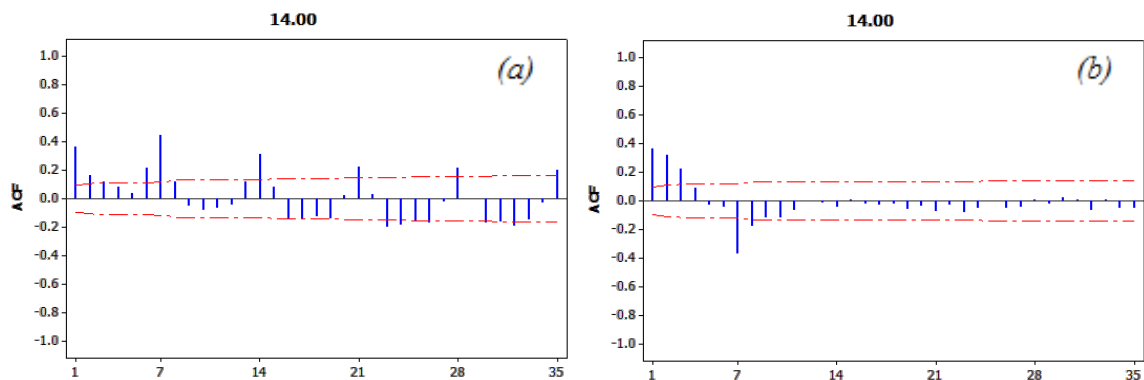
Setelah dilakukan *differencing* 7. langkah selanjutnya adalah identifikasi kembali plot ACF untuk melihat apakah data sudah stasioner atau belum. Berdasarkan Gambar 4.15 (b), 4.17 (b), 4.18 (b), 4.19 (b), dan 4.20 (b) menunjukkan bahwa data belum stasioner dalam *mean*. Karena lag-lag yang turun lambat. Oleh karena itu, dilakukan kembali *differencing* 1 dan hasilnya seperti pada Gambar 4.15 (c), 4.17 (c), 4.18 (c), 4.19 (c), dan 4.20 (c). Hasil dari *differencing* 7 dan 1 dalam Gambar 4.15 (c), 4.17 (c), 4.18 (c), 4.19 (c), dan 4.20 (c), untuk data disubsistem Krian pukul 15.00 hasil dari ACF untuk pola nonmusiman *cuts off* pada lag ke 1, 2, 3, 4, 5, 6, dan 8. Sedangkan untuk subsistem Krian-Gresik pukul 14.00 dari hasil dari *differencing* 7 dan 1 menunjukkan hasil plot ACF untuk pola nonmusiman *cuts off* pada lag ke 1 dan 6. Untuk subsistem Kediri, hasil dari *differencing* 7 dan 1 dalam Gambar 4.17 (c) untuk data pukul 13.30, hasil dari plot ACF untuk pola nonmusiman *cuts off* pada lag ke 1 dan 8. Hasil *differencing* 7 dan 1 untuk subsistem Paiton sesuai dengan Gambar 4.18 (c) untuk data pukul 13.30 hasil plot ACF untuk pola nonmusiman *cuts off* pada lag ke 1, 3, 4, 6, dan 8. Selanjutnya adalah hasil *differencing* 7 dan 1 dari subsistem Ngimbang sesuai dengan Gambar 4.19 (c) untuk data pukul 13.30 hasil plot ACF untuk pola nonmusiman *cuts off* pada lag ke 1, 2, 3, dan 6.

Dengan langkah yang sama dengan Gambar 4.15, 4.17, 4.18, 4.19, dan 4.20, semua subsistem yang waktunya akan dilakukan peramalan didapatkan hasil jika subsistem Krian pukul 11.00 hasil dari plot ACF untuk pola nonmusiman *cuts off* pada lag ke 1, 2, 3, 4, 6, dan 8 sedangkan Krian pukul 23.00 *cuts off* pada lag ke 1, 4, dan 5. Untuk subsistem Krian-Gresik pada pukul 15.00 *cuts off* pada lag 1, 5, dan 6, untuk pukul 23.00 *cuts off* di lag ke 1, 3, 4, 5, dan 6. Subsistem Kediri pada pukul 18.30 *cuts off* pada lag 1 dan 6, sedangkan untuk pukul 05.30 *cuts off* di lag ke 1, 2, dan 3. Subsistem Paiton untuk data pukul 18.30 *cuts off* pada lag 1, 6, dan 8, kemudian di data pukul 22.30 *cuts off* pada lag ke 1, 2, 5, 6, dan 8. Dan yang terakhir adalah subsistem Ngimbang di pukul 19.30 *cuts off* pada lag 1, 6,

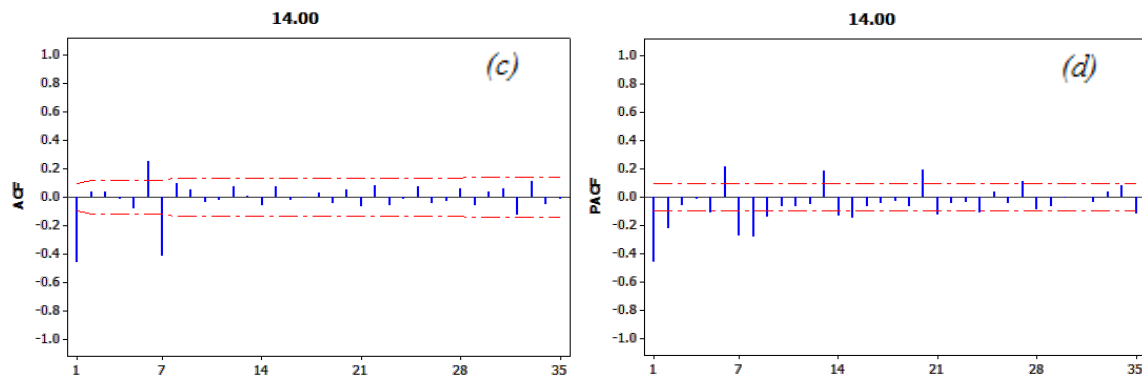
dan 8, untuk pukul 22.30 *cuts off* di lag 1, 6, dan 8. Secara visual hal ini dapat dilihat di Lampiran 14 hingga Lampiran 18.



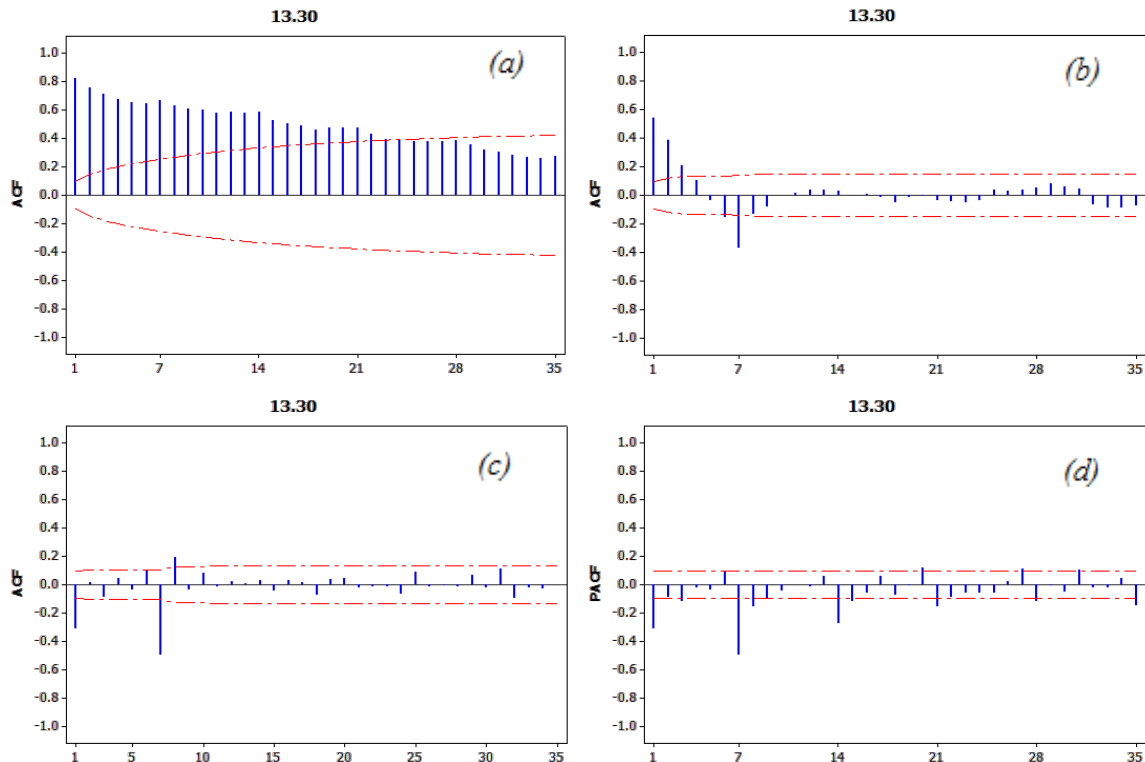
**Gambar 4.15.** Plot ACF subsistem Krian pukul 15.00 (a), plot ACF differencing 7 pukul 15.00 (b), plot ACF differencing 7 dan 1 pukul 15.00 (c), dan plot PACF differencing 7 dan 1 pukul 15.00 (d).



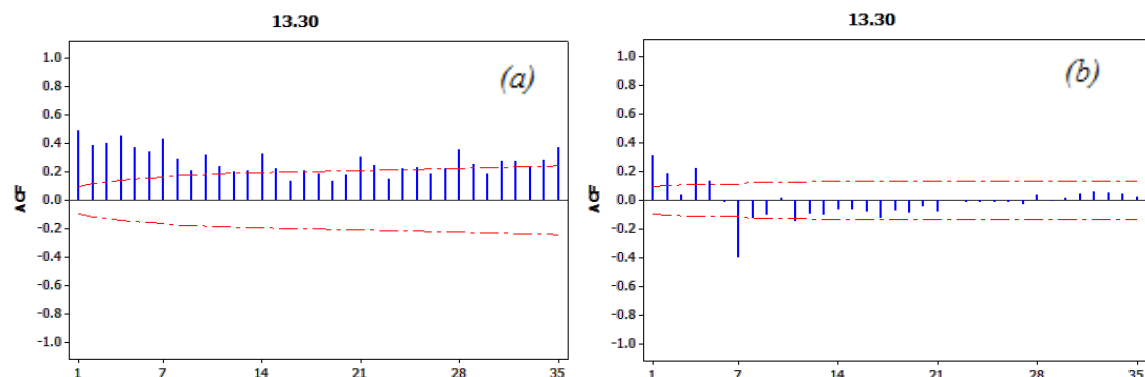
**Gambar 4.16.** Plot ACF subsistem Krian-Gresik pukul 14.00 (a), plot ACF differencing 7 pukul 14.00 (b), plot ACF differencing 7 dan 1 pukul 14.00 (c), dan plot PACF differencing 7 dan 1 pukul 14.00 (d).



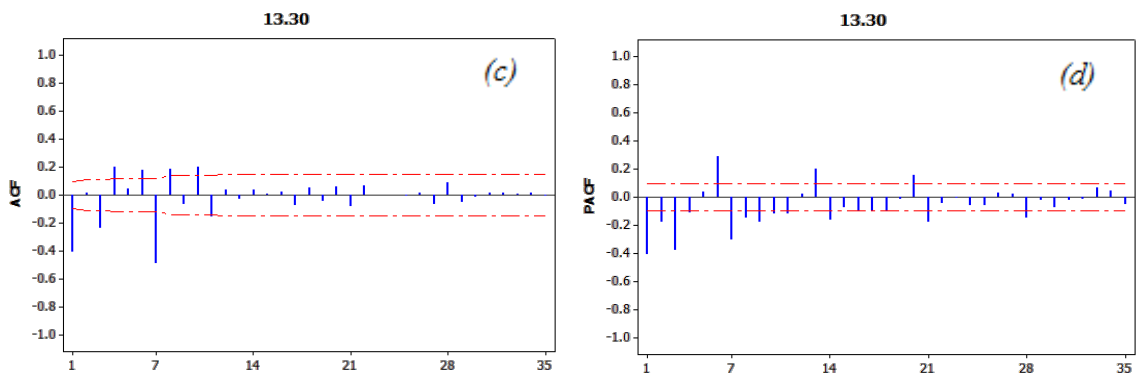
**Gambar 4.16:** Lanjutan



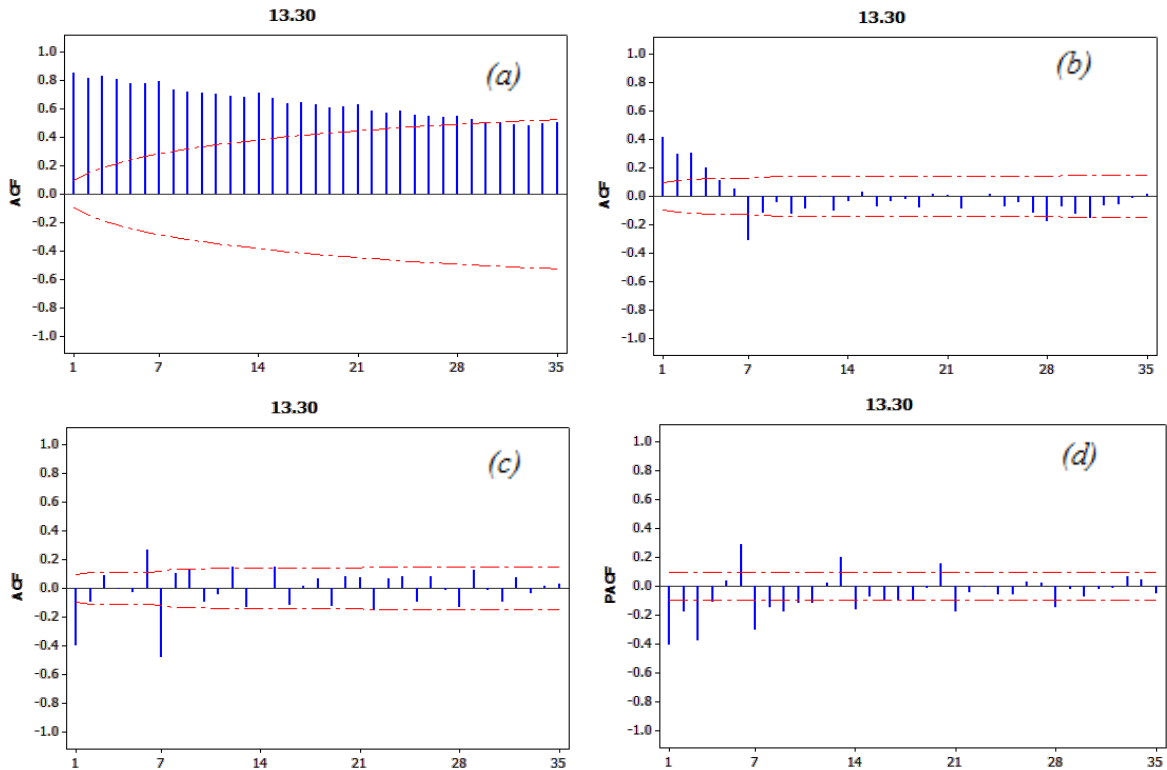
**Gambar 4.17.** Plot ACF subsistem Kediri pukul 13.30 (a), plot ACF differencing 7 pukul 13.30 (b), plot ACF differencing 7 dan 1 pukul 13.30 (c), dan plot PACF differencing 7 dan 1 pukul 13.30 (d).



**Gambar 4.18.** Plot ACF subsistem Paiton pukul 13.30 (a), plot ACF differencing 7 pukul 13.30 (b), plot ACF differencing 7 dan 1 pukul 13.30 (c), dan plot PACF differencing 7 dan 1 pukul 13.30 (d).



Gambar 4.18: Lanjutan



Gambar 4.19. Plot ACF subsistem Ngimbang pukul 13.30 (a), plot ACF differencing 7 pukul 13.30 (b), plot ACF differencing 7 dan 1 pukul 13.30 (c), dan plot PACF differencing 7 dan 1 pukul 13.30 (d).

Berdasarkan Gambar 4.15, 4.17, 4.18, 4.19, dan 4.20, hasil dari plot PACF dimasing-masing data menunjukkan adanya musiman karena *dies down* pada lag ke 7, 14, 21 keluar dari batas signifikansi. Didapatkan dugaan model ARIMA yang dapat digunakan dalam meramalkan konsumsi beban listrik Jawa Timur untuk setiap subsistemnya sesuai dengan Tabel 4.3.

Tabel 4.3. Pendugaan model ARIMA di setiap subsistem Jawa Timur.

Subsistem	Model	Pendugaan Model ARIMA
Krian	11.00	$(0,1,1)(0,1,1)^7$

**Tabel 4.3:** Lanjutan

Subsistem	Model	Pendugaan Model ARIMA
Krian	15.00	(0,1,1)(0,1,1) <sup>7</sup>
	23.00	(0,1,[1,6])(0,1,1) <sup>7</sup>
Krian-Gresik	14.00	(0,1,1)(0,1,1) <sup>7</sup>
	15.00	(0,1,1)(0,1,1) <sup>7</sup>
	22.30	(0,1,1)(0,1,1) <sup>7</sup>
Ngimbang	13.30	(0,1,1)(0,1,1) <sup>7</sup>
	19.30	(0,1,1)(0,1,1) <sup>7</sup>
	22.30	(0,1,1)(0,1,1) <sup>7</sup>
Paiton	13.30	(0,1,[1,4])(0,1,1) <sup>7</sup>
	18.30	(0,1,1)(0,1,1) <sup>7</sup>
	22.30	(0,1,[1,12,16])(0,1,1) <sup>7</sup>
Kediri	13.30	(0,1,1](0,1,1) <sup>7</sup>
	18.30	(0,1,1)(0,1,1) <sup>7</sup>
	05.30	(0,1,[1,3,13])(0,1,1) <sup>7</sup>

Setelah melakukan identifikasi model, langkah selanjutnya adalah estimasi dan pengujian parameter. Sebelum melakukan hal tersebut. Hasil estimasi dan pengujian parameter pada semua model dengan  $\alpha = 0,05$  dalam Tabel 4.4 yang telah signifikan semua. Hal ini ditunjukkan oleh semua  $p\text{-value} < \alpha$ .

**Tabel 4.4.** Hasil uji signifikansi parameter pendugaan model ARIMA

Subsitem	Model	Model ARIMA	Parameter	Estimasi	S.E	p-value
Ngimbang	13.30	(0,1,1)(0,1,1) <sup>7</sup>	$\theta_1$	0,63	0,03	<,0001
			$\Theta_1$	0,88	0,02	<,0001
Paiton	13.30	(0,1,[1,4])(0,1,1) <sup>7</sup>	$\theta_1$	0,61	0,03	<,0001
			$\theta_2$	-0,13	0,03	<,0001
			$\Theta_1$	0,85	0,02	<,0001
Kediri	13.30	(0,1,1](0,1,1) <sup>7</sup>	$\theta_1$	0,38	0,04	<,0001
			$\Theta_1$	0,83	0,02	<,0001
Krian	15.00	(0,1,1)(0,1,1) <sup>7</sup>	$\theta_1$	0,42	0,04	<,0001
			$\Theta_1$	0,82	0,02	<,0001
Krian - Gresik	14.00	(0,1,1)(0,1,1) <sup>7</sup>	$\theta_1$	0,54	0,04	<,0001
			$\Theta_1$	0,82	0,02	<,0001

**Tabel 4.5.** Hasil pengujian asumsi residual pendugaan model ARIMA

Subsistem Krian Pukul 15.00 (0,1,1)(0,1,1) <sup>7</sup>				
Uji White Noise			Uji Normalitas	
Hingga lag ke-	Chi square	df	p-value	
6	4,99	4	0,28	<0,0001
12	11,55	10	0,31	
18	13,62	16	0,62	
24	23,15	22	0,39	

**Tabel 4.5:** Lanjutan

Subsistem Krian Pukul 15.00 (0,1,1)(0,1,1) <sup>7</sup>				
Uji White Noise				Uji Normalitas
Hingga lag ke-	Chi square	df	p-value	p-value
30	30,64	28	0,33	>0,15
36	42,32	34	0,15	
Subsistem Krian-Gresik Pukul 14.00 (0,1,1)(0,1,1) <sup>7</sup>				
Uji White Noise				Uji Normalitas
Hingga lag ke-	Chi square	df	p-value	p-value
6	3,30	4	0,50	<0,0001
12	10,90	10	0,36	
18	18,10	16	0,31	
24	26,09	22	0,24	
30	30,33	28	0,34	
36	41,80	34	0,16	
Subsistem Ngimbang Pukul 13.30 (0,1,1)(0,1,1) <sup>7</sup>				
Uji White Noise				Uji Normalitas
Hingga lag ke-	Chi square	df	p-value	p-value
6	5,68	4	0,22	<0,0001
12	14,07	10	0,16	
18	20,51	16	0,19	
24	30,82	22	0,09	
30	41,86	28	0,05	
36	45,16	34	0,09	
Subsistem Paiton Pukul 13.30 (0,1,[1,4])(0,1,1) <sup>7</sup>				
Uji White Noise				Uji Normalitas
Hingga lag ke-	Chi square	df	p-value	p-value
6	4,19	4	0,24	<0,0100
12	16,15	10	0,06	
18	19,72	16	0,18	
24	25,96	22	0,20	
30	27,30	28	0,44	
36	34,70	34	0,38	
Subsistem Kediri Pukul 13.30 (0,1,1])(0,1,1) <sup>7</sup>				
Uji White Noise				Uji Normalitas
Hingga lag ke-	Chi square	df	p-value	p-value
6	7,99	4	0,09	<0,0001
12	12,68	10	0,24	
18	17,78	16	0,33	
24	26,75	22	0,22	
30	32,23	28	0,26	
36	33,57	34	0,48	

Langkah selanjutnya setelah uji signifikansi parameter adalah melakukan uji residual bersifat *white noise* dan berdistribusi normal. Tabel 4.5 menunjukkan bahwa untuk model disetiap subsistem tidak berdistribusi normal. Namun memenuhi asumsi *white noise*. Hal ini dapat dijelaskan oleh semua *p-value* pada lag pengujian *white noise* lebih dari  $\alpha$ . Sedangkan untuk pengujian normalitas tidak memenuhi asumsi residual berdistribusi normal, karena *p-value* kurang dari  $\alpha$ . Hasil uji normalitas residual berdasarkan uji Kolmogorov Smirnov dapat dilihat pada Tabel 4.5. Ketidaknormalan pada residual ini disebabkan kemungkinan terdapat *outlier*. Oleh karena itu, dalam mengatasi hal tersebut perlu dilakukan

deteksi *outlier*. Setelah data *outlier* didapatkan, langkah selanjutnya adalah memasukkan *outlier* kedalam model peramalan. Dalam penelitian ini dibatasi jumlah *outlier* yang dimasukkan dalam model peramalan sebanyak 20. Masing-masing subsistem dapat dilihat jumlah *outlier*-nya di Tabel 4.6.

**Tabel 4.6.** Jumlah *outlier* di setiap subsistem

Subsistem	Model	Jumlah <i>outlier</i>	
		Additive	Level Shift
Ngimbang	13.30	15	5
	19.30	11	9
	22.30	12	8
K-G	14.00	18	2
	15.00	18	2
	22.30	16	4
Krian	11.00	15	3
	15.00	15	5
	23.00	15	5
Kediri	13.30	10	10
	18.30	12	8
	05.30	9	11
Paiton	13.30	17	3
	18.30	11	6
	22.30	11	3

Hasil dari deteksi *outlier* dan pengujian signifikansi parameter di setiap model ARIMA dapat dilihat dalam Tabel 4.8 hingga Tabel 4.12. setelah *outlier* ditambahkan, didapatkan model ARIMA sesuai dengan Tabel 4.7.

**Tabel 4.7.** Model ARIMA setelah dilakukan penambahan *outlier*

Subsistem	Model	Pendugaan Model ARIMA
Krian	11.00	([1,2,14,28],1,0)(1,1,0) <sup>7</sup>
	15.00	(0,1,1)(0,1,1) <sup>7</sup>
	23.00	(1,1,[2])(0,1,1) <sup>7</sup>
Krian-Gresik	14.00	(0,1,[1,6,12])(0,1,1) <sup>7</sup>
	15.00	([1,14],1,[2])(1,1,0) <sup>7</sup>
	22.30	(0,1,[1,3])(0,1,1) <sup>7</sup>
Ngimbang	13.30	(0,1,[1,2])(0,1,1) <sup>7</sup>
	19.30	(0,1,1)(0,1,1) <sup>7</sup>
	22.30	(0,1,1)(0,1,1) <sup>7</sup>
Paiton	13.30	(0,1,1)(0,1,1) <sup>7</sup>

**Tabel 4.7:** Lanjutan

Subsistem	Model	Pendugaan Model ARIMA
Paiton	18.30	(0,1,[1,2,3])(0,1,1) <sup>7</sup>
	22.30	(0,1,[1,18])(0,1,1) <sup>7</sup>
Kediri	13.30	(0,1,[1,18])(0,1,1) <sup>7</sup>
	18.30	(0,1,1)(0,1,1) <sup>7</sup>
	05.30	(0,1,[1,2])(0,1,1) <sup>7</sup>

**Tabel 4.8.** Hasil uji signifikansi parameter model ARIMA (0,1,[1,2])(0,1,1)<sup>7</sup>  
untuk subsistem Ngimbang 13.30

Data ke-	Parameter	Estimasi	P-value	Outlier
-	$\theta_1$	0,503	<0,0001	-
-	$\theta_2$	0,139	0,0056	-
-	$\Theta_1$	0,878	<0,0001	-
207	$\tilde{\omega}_1$	-49,919	0,0019	LS
217	$\tilde{\omega}_2$	-52,269	0,0025	LS
53	$\tilde{\omega}_3$	-59,170	0,0006	AO
376	$\tilde{\omega}_4$	54,978	0,0014	AO

**Tabel 4.9.** Hasil uji signifikansi parameter model ARIMA (0,1,1)(0,1,1)<sup>7</sup> untuk  
subsistem Paiton 13.30

Data ke-	Parameter	Estimasi	P-value	Outlier
-	$\theta_1$	0,491	<0,0001	-
-	$\Theta_1$	0,929	<0,0001	-
36	$\tilde{\omega}_1$	-347,199	<0,0001	AO
99	$\tilde{\omega}_2$	-303,710	<0,0001	AO
14	$\tilde{\omega}_3$	-257,814	<0,0001	AO
190	$\tilde{\omega}_4$	-260,721	<0,0001	AO
209	$\tilde{\omega}_5$	-226,219	<0,0001	LS

**Tabel 4.10.** Hasil uji signifikansi parameter model ARIMA (0,1,[1,18])(0,1,1)<sup>7</sup>  
untuk subsistem Kediri 13.30

Data ke-	Parameter	Estimasi	P-value	Outlier
-	$\theta_1$	0,376	<0,0001	-
-	$\theta_{18}$	0,163	0,0006	-
-	$\Theta_1$	0,935	<0,0001	-
207	$\tilde{\omega}_2$	-199,936	0,0013	AO
377	$\tilde{\omega}_3$	202,315	0,0012	AO
303	$\tilde{\omega}_4$	-244,376	0,0004	LS

**Tabel 4.11.** Hasil uji signifikansi parameter model ARIMA  $(0,1,1)(0,1,1)^7$  untuk subsistem Krian 15.00

Data ke-	Parameter	Estimasi	P-value	Outlier
-	$\theta_1$	0,433	<0,0001	-
-	$\Theta_1$	0,965	<0,0001	-
180	$\tilde{\omega}_1$	-72,367	0,0004	AO
374	$\tilde{\omega}_2$	69,923	0,0006	AO
64	$\tilde{\omega}_3$	-76,248	0,0005	LS
104	$\tilde{\omega}_4$	67,120	0,0020	LS
31	$\tilde{\omega}_5$	-66,085	0,0013	AO

**Tabel 4.12.** Hasil uji signifikansi parameter ARIMA  $(0,1,[1,6,12])(0,1,1)^7$  untuk subsistem Krian-Gresik 14.00

Data ke-	Parameter	Estimasi	P-value	Outlier
-	$\theta_1$	0,509	<0,0001	-
-	$\theta_6$	0,126	0,0040	-
-	$\theta_{12}$	-0,091	0,0429	-
-	$\Theta_1$	0,959	<0,0001	-
93	$\tilde{\omega}_1$	-583,547	<0,0001	AO
90	$\tilde{\omega}_2$	-540,168	<0,0001	AO
223	$\tilde{\omega}_3$	-499,296	<0,0001	AO

Pada Tabel 4.8 hingga Tabel 4.12 didapatkan hasil bahwa semua parameter untuk semua model disetiap subsistem sudah signifikan. Karena masing-masing model mempunyai *p-value* kurang dari  $\alpha = 0,05$ , data *outlier* kebanyakan disebabkan oleh adanya hari libur. Misalnya untuk data ke 212 merupakan hari raya idul fitri pada tanggal 28 Juli 2014, data 1 yang merupakan hari libur tahun baru 1 Januari 2014. Begitu juga dengan pemodelan di subsistem disetiap waktu yang berbeda, dapat dilihat di Lampiran 19 hingga Lampiran 21.

**Tabel 4.13.** Hasil pengujian asumsi residual model ARIMA dengan *outlier* disetiap subsistem

Subsistem Krian Pukul 15.00 $(0,1,1)(0,1,1)^7$				
Uji White Noise				Uji Normalitas
Hingga lag ke-	Chi square	df	p-value	p-value
6	8,26	4	0,08	D = 0,02 >0,1500
12	1796	10	0,05	
18	20,61	16	0,19	
24	26,77	22	0,22	
30	33,22	28	0,22	
36	39,17	34	0,24	

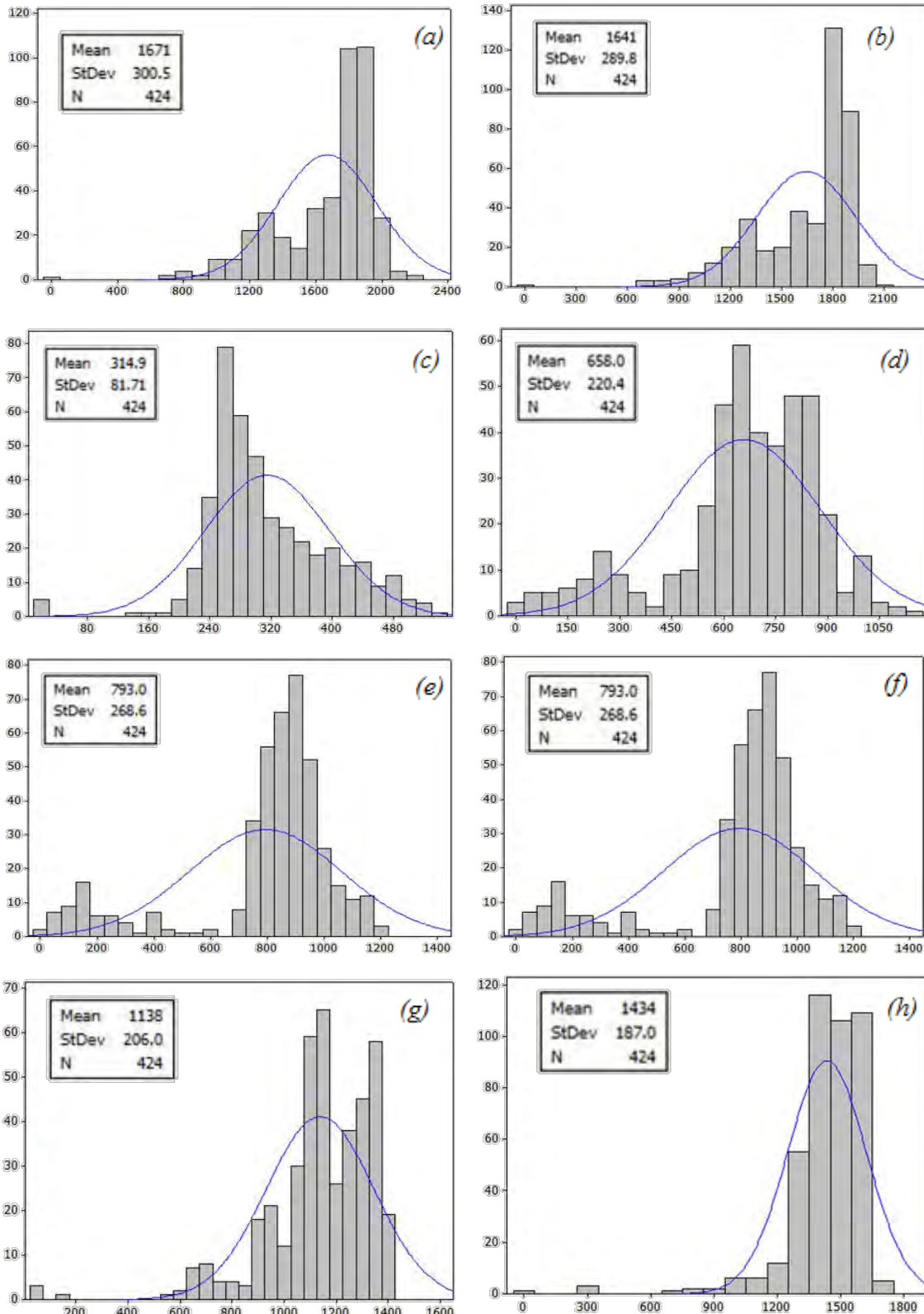
**Tabel 4.13:** Lanjutan

Subsistem Krian-Gresik Pukul 14.00 (0,1,[1,6,12])(0,1,1) <sup>7</sup>				Uji Normalitas  p-value
Hingga lag ke-	Chi square	df	p-value	
6	4,63	2	0,09	D = 0,08 <0,0100
12	10,52	8	0,23	
18	14,13	14	0,43	
24	15,59	20	0,74	
30	19,72	26	0,80	
36	23,45	32	0,86	
Subsistem Ngimbang Pukul 13.30 (0,1,[1,2])(0,1,1) <sup>7</sup>				Uji Normalitas  p-value
Hingga lag ke-	Chi square	df	p-value	
6	6,52	3	0,08	D = 0,02 >0,1500
12	9,78	9	0,36	
18	20,29	15	0,16	
24	29,80	21	0,09	
30	35,82	27	0,11	
36	43,11	33	0,11	
Subsistem Paiton Pukul 13.30 (0,1,1)(0,1,1) <sup>7</sup>				Uji Normalitas  p-value
Hingga lag ke-	Chi square	df	p-value	
6	4,55	4	0,33	D = 0,11 <0,0100
12	13,72	10	0,18	
18	17,65	16	0,34	
24	29,51	22	0,13	
30	33,61	28	0,21	
36	40,01	34	0,22	

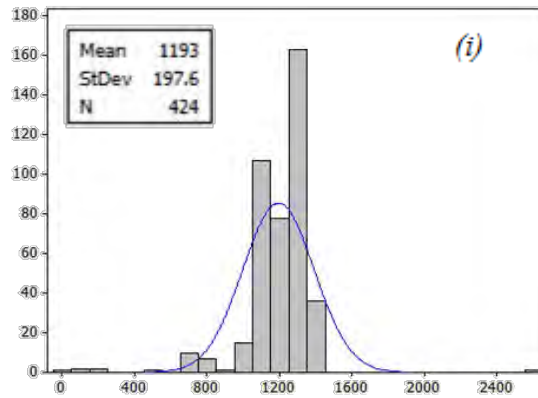
Setelah melakukan pengujian signifikansi parameter dengan deteksi *outlier* pada masing-masing model di setiap subsistem, dengan pengujian yang sama, hasil pengujian tersebut dapat dilihat secara rinci di Lampiran 22 dan didapatkan hasil bahwa semua model disetiap subsistem memenuhi asumsi residual bersifat *white noise*. Hal ini juga dapat dilihat dari Tabel 4.13 dimana semua *p-value* memiliki nilai lebih dari  $\alpha$ . Namun hanya beberapa model yang residualnya memenuhi uji normalitas, yaitu pada model Ngimbang 13.30, Ngimbang 19.30, Ngimbang 22.30, Krian-Gresik 22.30, Krian 11.00, dan Krian 15.00. Model lainnya tidak memenuhi uji normalitas meskipun sudah dilakukan deteksi *outlier*. Namun tetap saja residualnya tidak normal.

Hal ini disebabkan karena kurva pada distribusi residualnya berbentuk *leptokurtik*, kurva jenis *leptokurtik* tersebut ditandai dengan kurva distribusinya lebih runcing dibandingkan dengan kurva normal seperti yang ditunjukkan pada Gambar 4.20. Pada penelitian yang dilakukan oleh Kostangko & Hyndman (2008) menyebutkan bahwa uji signifikansi statistik seperti signifikansi parameter dan uji asumsi residual berdistribusi normal mempunyai peranan yang sedikit untuk peramalan bisnis. Sedangkan menurut Diebold & Marino (1995). dalam

menentukan hasil atau kualitas ramalan terbaik biasanya dilihat dari tingkat akurasinya.



**Gambar 4.20.** Kurva model subsistem Krian-Gresik 14.00 (a), Krian-Gresik 15.00 (b), Krian-Gresik 23.00 (c), Kediri 13.30 (d), Kediri 18.30 (e), Kediri 05.30 (f), Paiton 13.30 (g), Paiton 18.30 (h), dan Paiton 22.30 (i)



**Gambar 4.20:** Lanjutan

Hasil nilai skewness dan kurtosis dari model setelah dilakukan deteksi *outlier* dapat dilihat di Tabel 4.14, dihasilkan bahwa residual pada model Ngimbang 13.30, Ngimbang 19.30, Ngimbang 22.30, Krian-Gresik 22.30, Krian 11.00, dan Krian 15.00 mendekati kurva berdistribusi normal. Hal ini bisa dilihat dari nilai skewness dan kurtosis yang mendekati nilai 0, sedangkan untuk model yang lainnya tetap berbentuk *leptokurtik*.

**Tabel 4.14.** Nilai skewness dan kurtosis setelah dideteksi *outlier*

Subsistem	Model	skewness	kurtosis
Ngimbang	13.30	0,01	-0,17
	19.30	-0,28	-0,01
	22.30	0,07	-0,11
Krian-Gresik	14.00	-0,76	3,28
	15.00	-0,48	2,45
	22.30	-0,25	0,63
Krian	11.00	0,22	1,93
	15.00	0,16	0,35
	23.00	-0,14	1,18
Kediri	13.30	0,06	1,02
	18.30	-0,23	1,68
	05.30	-0,46	3,29
Paiton	13.30	-0,81	3,51
	18.30	-0,69	1,7
	22.30	-0,52	2,55

Secara sistematis, persamaan umum model ARIMA musiman adalah sebagai berikut.

$$\phi_p(B)\Phi_P(B^s)(1 - B)^d(1 - B^s)^D Y_t = \theta_q(B)\theta_Q(B^s)a_t.$$

Sehingga persamaan model ARIMA dengan *outlier* untuk peramalan konsumsi listrik di setiap subsistem sebagai berikut.

1. Model persamaan subsistem Ngimbang pukul 13.30

$$\begin{aligned}
 y_t = & y_{t-1} + y_{t-7} - y_{t-8} + a_t - 0,87a_t - 0,5a_{t-1} + 0,435a_{t-8} - 0,13a_{t-12} \\
 & + 0,113a_{t-9} - 174,13I_t^{(288)} + 107I_t^{(59)} + 110,5I_t^{(80)} - 75,82I_t^{(70)} \\
 & + 68,49S_t^{(44)} - 82,77I_t^{(59)} + 95,03I_t^{(78)} - 67,95S_t^{(207)} + 65,23S_t^{(217)} \\
 & - 74,3I_t^{(53)} - 70,16I_t^{(376)} + 78,6I_t^{(71)} + 74,36I_t^{(85)} + 66,64S_t^{(162)} \\
 & - 69,53I_t^{(111)} - 61,73I_t^{(166)} - 49,91S_t^{(27)} - 52,26I_t^{(115)} \\
 & - 59,17I_t^{(370)} + 54,97I_t^{(171)}
 \end{aligned}$$

2. Model persamaan subsistem Krian pukul 15.00

$$\begin{aligned}
 y_t = & y_{t-1} + y_{t-7} - y_{t-8} + a_t - 0,96a_{t-7} - 0,43a_{t-1} + 0,412a_{t-8} \\
 & - 208,72I_t^{(190)} - 170,25I_t^{(176)} - 143,33S_t^{(207)} - 138,96I_t^{(99)} \\
 & + 149,83I_t^{(40)} + 124,24I_t^{(71)} - 102,78I_t^{(90)} - 107,14I_t^{121} \\
 & - 102,81I_t^{(108)} - 97,01S_t^{(209)} - 106,91I_t^{(1)} + 81,05I_t^{(214)} - 87,26I_t^{(278)} \\
 & - 78,38I_t^{(14)} + 86,37S_t^{(160)} - 72,36I_t^{(180)} + 69,92I_t^{(374)} \\
 & - 76,24S_t^{(64)} + 67,12S_t^{(104)} - 66,08I_t^{(31)}
 \end{aligned}$$

3. Model persamaan subsistem Krian-Gresik pukul 14.00

$$\begin{aligned}
 y_t = & y_{t-1} + y_{t-7} - y_{t-8} + a_t - 0,95a_{t-7} - 0,59a_{t-1} + 0,475a_{t-8} \\
 & - 0,12a_{t-16} + 0,114a_{t-13} + 0,09a_{t-12} - 0,085a_{t-19} - 1570,7I_t^{(370)} \\
 & - 1005,9I_t^{(286)} - 954,78I_t^{(161)} - 845,05I_t^{(123)} - 896,46I_t^{(99)} \\
 & - 929,79I_t^{(92)} - 747,76I_t^{(253)} - 710,34I_t^{(190)} - 604S_t^{(209)} \\
 & - 654,41I_t^{(311)} - 654,26I_t^{(308)} - 634,86I_t^{(31)} - 615,55I_t^{(121)} \\
 & - 579,54I_t^{(105)} - 703,49I_t^{(1)} + 640,58S_t^{(219)} - 522,05I_t^{(414)} - 583,54I_t^{(93)}
 \end{aligned}$$

4. Model persamaan subsistem Kediri pukul 13.30

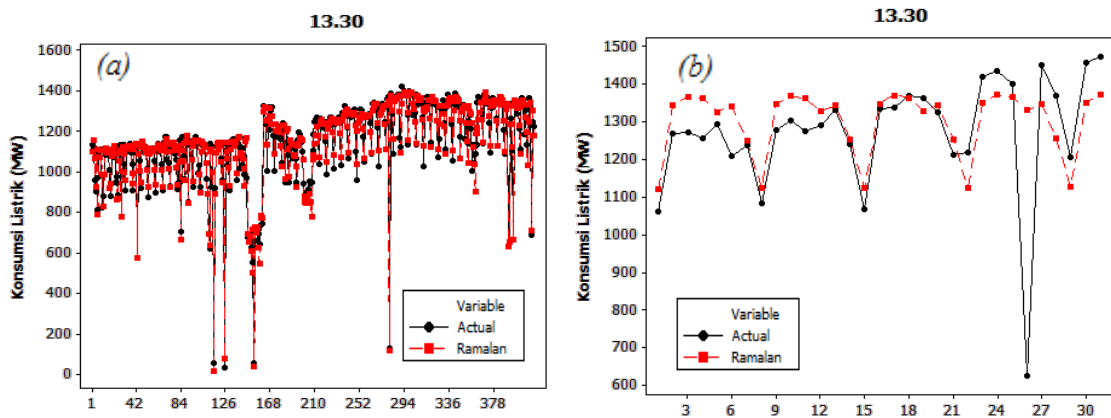
$$\begin{aligned}
 y_t = & y_{t-1} + y_{t-7} - y_{t-8} + a_t - 0,37a_{t-1} - 0,93a_{t-7} + 0,344a_{t-8} \\
 & - 0,16a_{t-18} + 0,148a_{t-25} - 673,31I_t^{(161)} - 492,63I_t^{(288)} \\
 & - 432,93I_t^{(405)} - 505,43S_t^{(119)} + 415,86S_t^{(143)} + 388,27S_t^{(116)} \\
 & - 346,21I_t^{(421)} + 350,51S_t^{(301)} - 304,94I_t^{(1)} - 315,01S_t^{(80)} \\
 & + 256,24I_t^{(81)} - 238,51I_t^{(84)} - 254,01S_t^{(333)} + 279,67S_t^{(232)} \\
 & - 292,46S_t^{(9)} + 270,34S_t^{(134)} - 235,61I_t^{(40)} - 199,93I_t^{(207)} \\
 & + 202,31I_t^{(377)} - 244,37S_t^{(303)}
 \end{aligned}$$

5. Model persamaan subsistem Paiton pukul 13.30

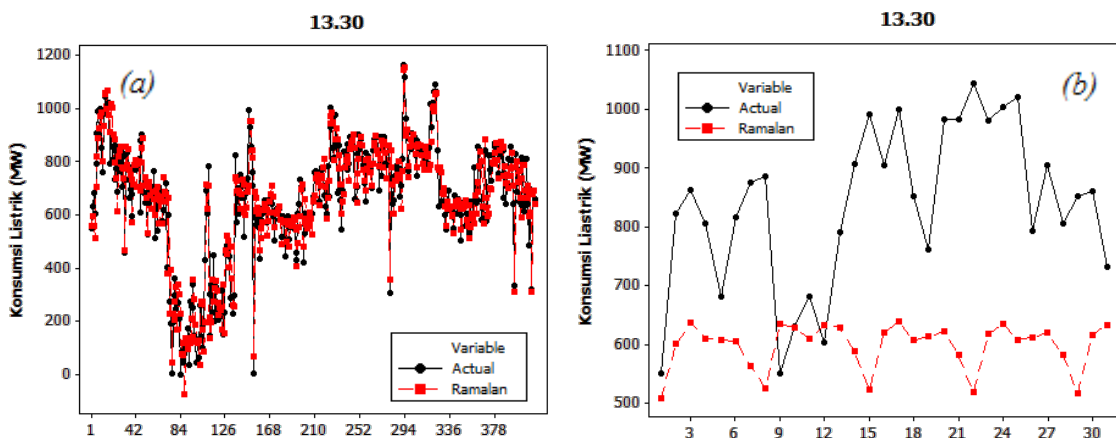
$$\begin{aligned}
 y_t = & y_{t-1} + y_{t-7} - y_{t-8} + a_t - 0,92a_{t-7} - 0,49a_{t-1} + 0,4508a_{t-8} \\
 & - 1248,8I_t^{(288)} - 1085,9I_t^{(133)} - 965,57I_t^{(123)} - 662,44I_t^{(161)} - 664,7I_t^{(405)} \\
 & + 566,77S_t^{(170)} - 702,17I_t^{(400)} - 535,94I_t^{(51)} - 662,14I_t^{(401)} \\
 & - 587,5I_t^{(422)} - 382,51S_t^{(155)} - 437,91I_t^{(92)} - 468,24I_t^{(119)} \\
 & - 388,91I_t^{(118)} - 414,31I_t^{(1)} - 347,19I_t^{(36)} - 303,71I_t^{(99)} \\
 & - 257,81I_t^{(14)} - 260,72I_t^{(190)} - 226,21S_t^{(209)}
 \end{aligned}$$

Dimana  $I_t^{(x)}$  dan  $S_t^{(x)}$  merupakan *outlier* yang bertipe *additive* untuk  $I$  dan bertipe *level shift* untuk variabel  $S$  dengan  $(x)$  adalah indeks ke  $-t$ . Dengan melakukan prosedur yang sama, pemodelan disub sistem lain juga dapat dilihat pada Lampiran 50.

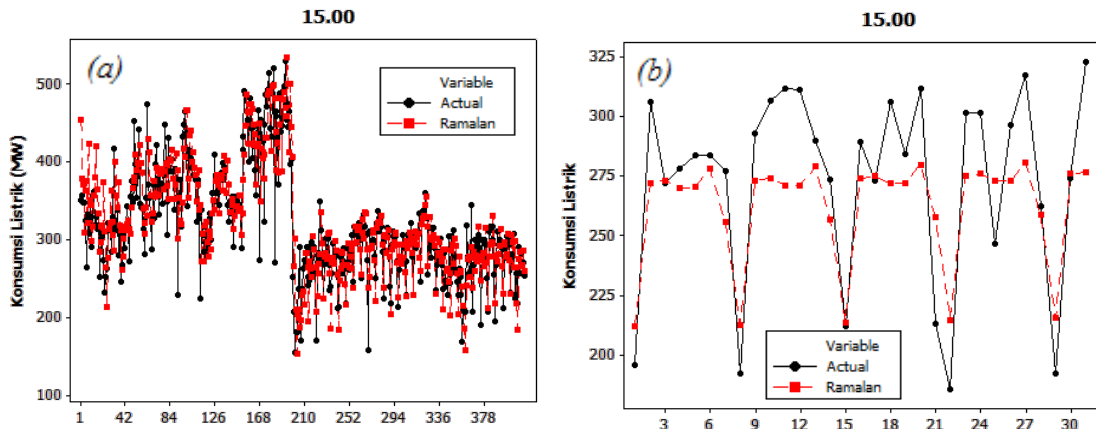
Hasil dari selisih antara data aktual dengan hasil ramalan untuk konsumsi listrik disetiap subsistem berdasarkan data *in sample* tidak terlalu jauh dan mempunyai pola yang sama, terlihat pada Gambar 4.21 (a), 4.31 (a), 4.32 (a), 4.33 (a), dan 4.34 (a). Kemudian untuk hasil ramalan berdasarkan *out sample* terlihat mempunyai pola yang sama. hal ini dapat dilihat pada Gambar 4.21 (b), 4.31 (b), 4.32 (b), 4.33 (b), dan 4.34 (b). Secara rinci hasil dari ramalan konsumsi beban listrik untuk setiap subsistem dalam 31 hari kedepan dapat dilihat pada Lampiran 23 hingga Lampiran 27.



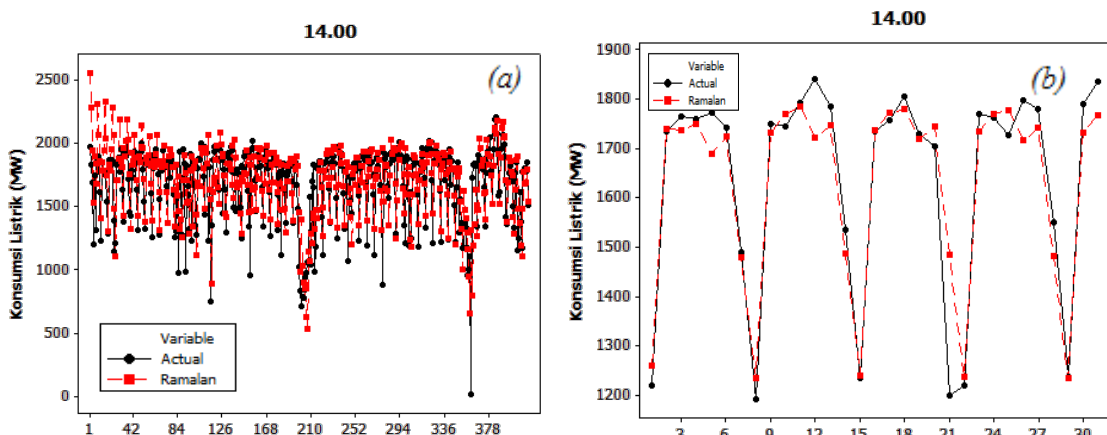
**Gambar 4.21.** Hasil perbandingan ramalan dengan data aktual berdasarkan *in sample* (a) dan *out sample* di subsistem Paiton pukul 13.30 (b)



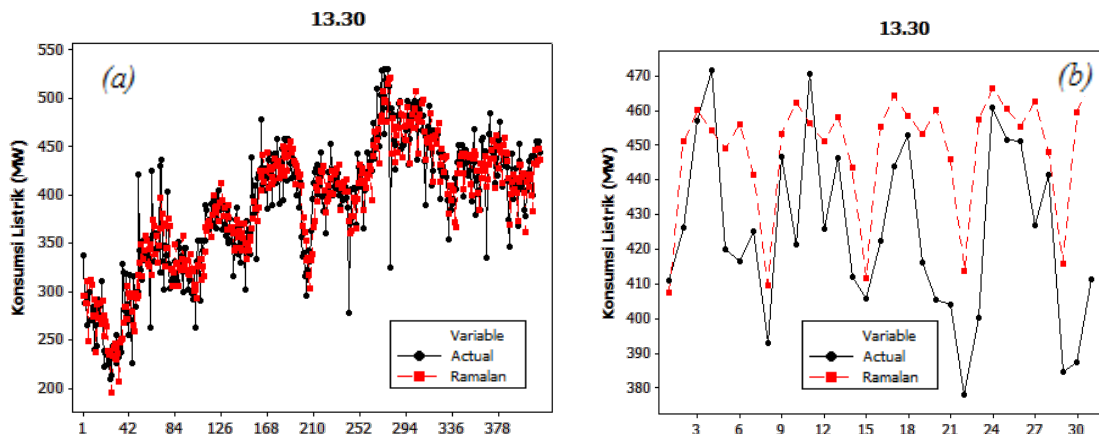
**Gambar 4.22.** Hasil perbandingan ramalan dengan data aktual berdasarkan *in sample* (a) dan *out sample* di subsistem Kediri pukul 13.30 (b)



**Gambar 4.23.** Hasil perbandingan ramalan dengan data aktual berdasarkan *in sample* (a) dan *out sample* di subsistem Krian pukul 15.00 (b)



**Gambar 4.24.** Hasil perbandingan ramalan dengan data aktual berdasarkan *in sample* (a) dan *out sample* di subsistem Krian-Gresik pukul 14.00 (b)

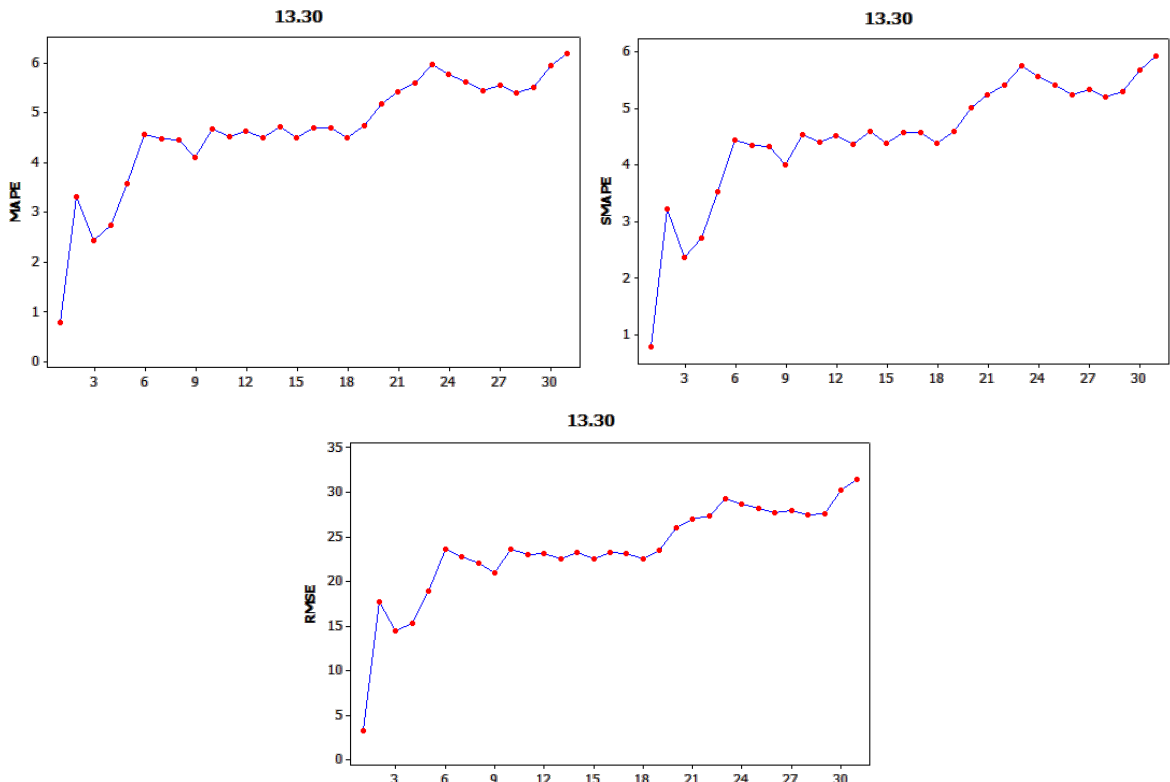


**Gambar 4.25.** Perbandingan ramalan dan aktual berdasarkan *in sample* (a) dan *out sample* di subsistem Ngimbang pukul 13.30 (b)

Hasil dari selisih antara data aktual dengan hasil ramalan untuk konsumsi listrik di subsistem Ngimbang pukul 19.30 dan 22.30 berdasarkan data *in sample* tidak terlalu jauh. Begitu juga dengan data ramalan yang didapatkan dari ramalan *out sample* pada masing-masing model disetiap subsistem menunjukkan hasil yang

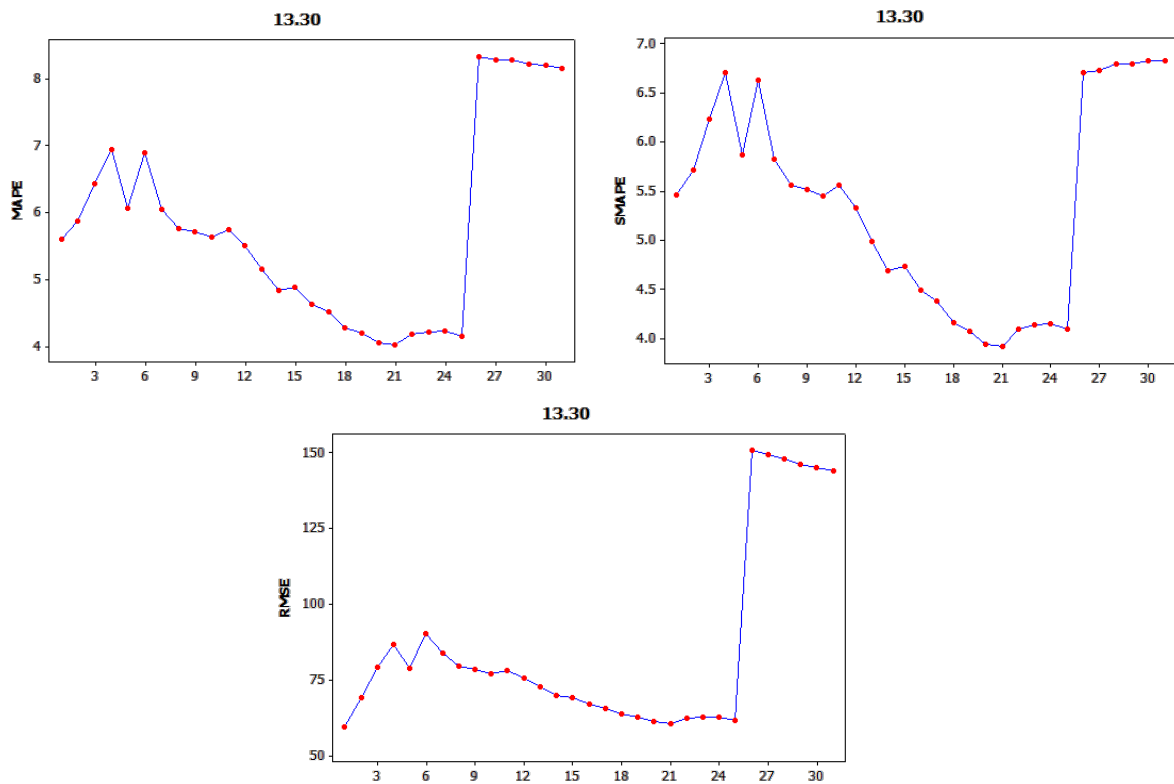
cukup baik berdasarkan Lampiran 28. Hal tersebut terjadi juga di model-model subsistem lainnya.

Berdasarkan hasil ramalan tersebut, dapat diketahui bahwa model yang dihasilkan berdasarkan metode ARIMA untuk subsistem Ngimbang pukul 13.30 dimana batas toleransi yang masih diterima PT. PLN (Persero) P3B Jawa Timur & Bali dari kesalahan MAPE dan SMAPE kurang dari 5%. Berdasarkan Gambar 4.26 menunjukkan hasil yang cukup baik hingga hari ke 19, sedangkan untuk hari ke 20 hingga 31 mempunyai MAPE, SMAPE dan RMSE yang besar.



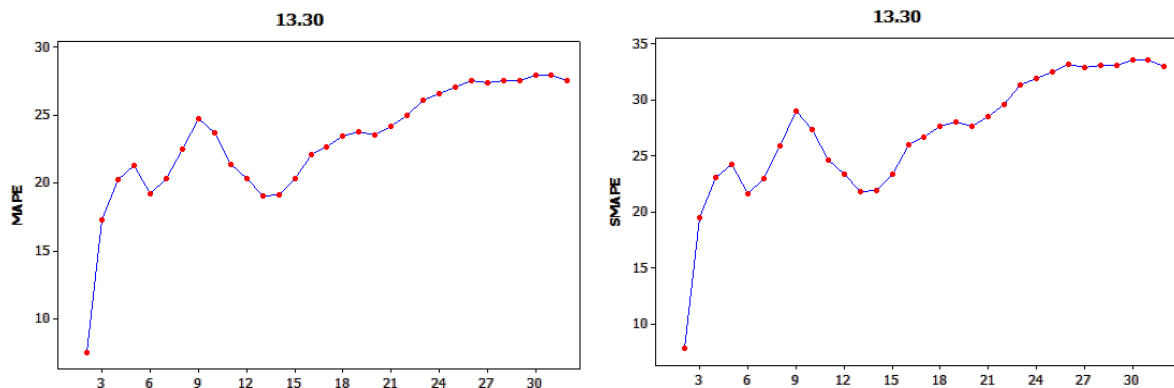
**Gambar 4.26.** Grafik MAPE, SMAPE, dan RMSE untuk mengukur keakuratan model di subsistem Ngimbang Pukul 13.30

Analisis tersebut dilakukan juga kepada subsistem Ngimbang pukul 19.30, dan 22.30. Ngimbang pukul 19.30 menunjukkan hasil yang cukup baik dari hari ke dua hingga ke tiga puluh satu, sedangkan untuk subsistem Ngimbang pukul 22.30 menunjukkan hasil yang baik, hasil peramalan menunjukkan nilai yang cukup bagus dari hari ke 1 hingga hari ke 31, dimana error MAPE dan SMAPE seluruhnya dibawah 5%. Secara visual untuk subsistem Ngimbang dapat dilihat di Lampiran 33 secara lengkap.

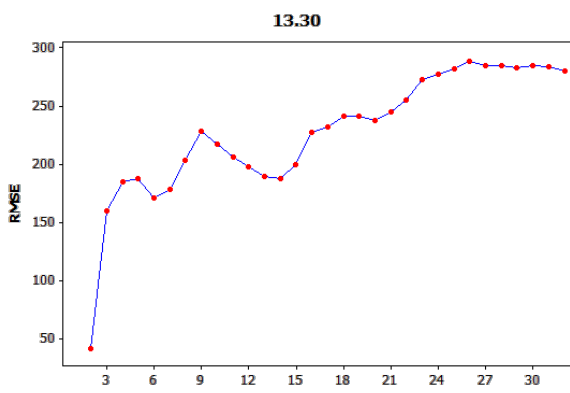


**Gambar 4.27.** Grafik MAPE, SMAPE, dan subsistem Paiton pukul 13.30

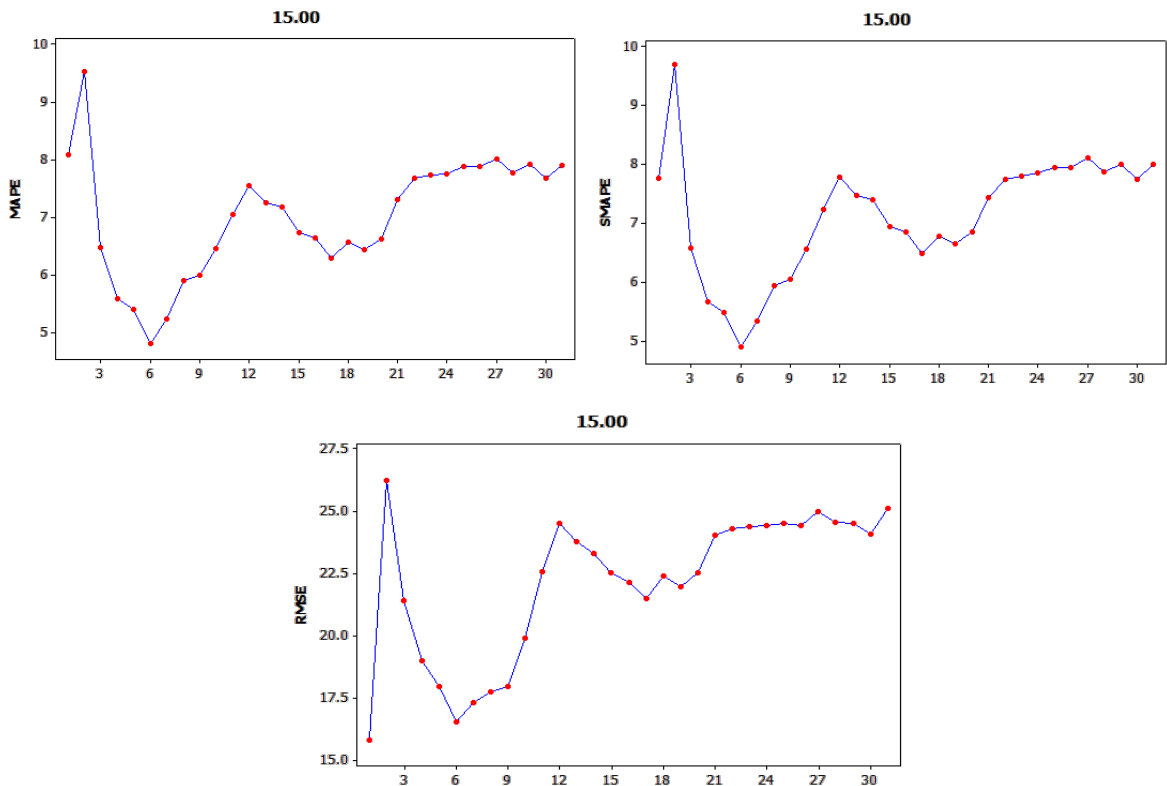
Berdasarkan Gambar 4.27 hasil ramalan di subsistem Paiton pukul 13.30 menunjukkan hasil yang tidak baik, dimana hasil ramalan di hari pertama hingga hari ke empat belas memiliki nilai *error* yang besar. Untuk subsistem Paiton pukul 18.30 menghasilkan nilai ramalan yang cukup baik di hari ke 7 hingga ke 14, dan Paiton pukul 22.30 menghasilkan ramalan yang cukup baik di hari ke 2 hingga ke 31. Hasil dari perhitungan tersebut dapat dilihat secara lengkap di Lampiran 34. Hasil dari Gambar 4.28 menunjukkan bahwa untuk subsistem Kediri pukul 13.30 hasil ramalan tidak cukup baik, karena hasil ramalan mempunyai *error* MAPE yang berkisar antara dua puluh persen, begitu juga untuk Kediri pukul 05.30 dan 18.30 menghasilkan nilai ramalan yang tidak cukup baik. Hasil perhitungan tersebut dapat dilihat secara lengkap di Lampiran 35.



**Gambar 4.28.** Grafik MAPE, SMAPE, dan RMSE Kediri pukul 13.30



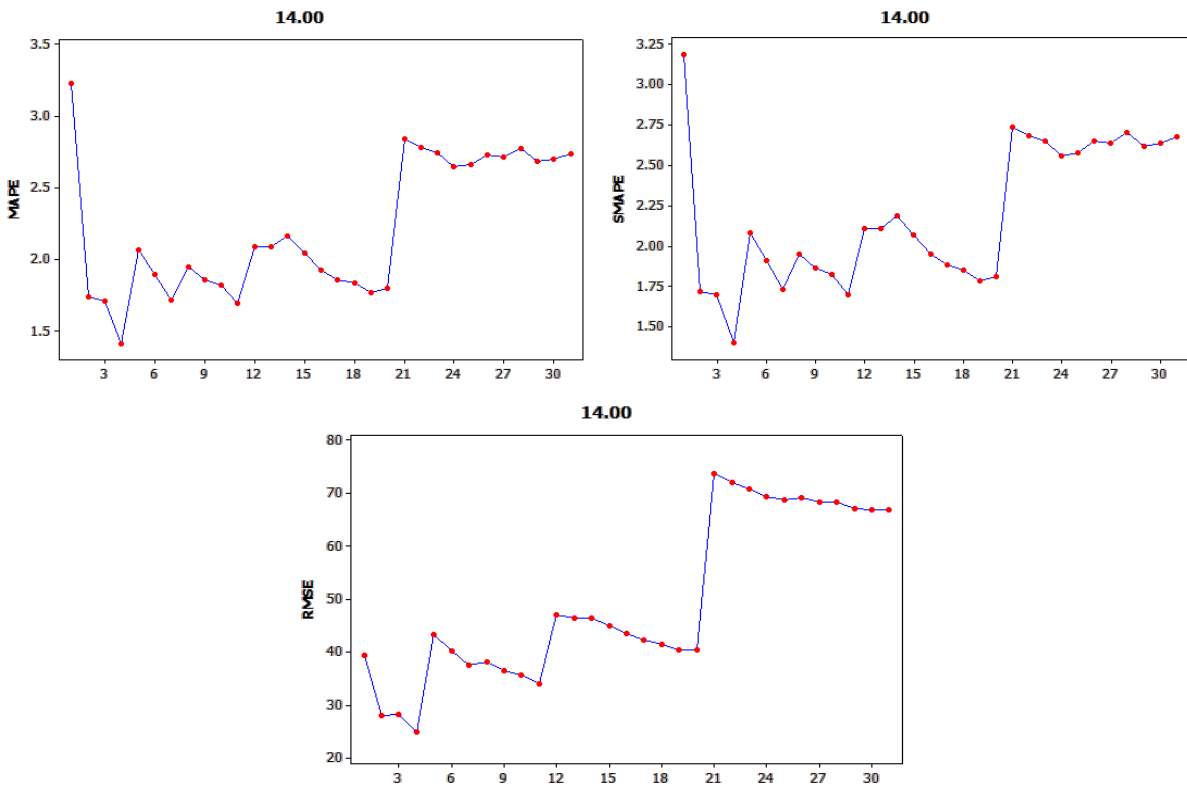
**Gambar 4.28:** Lanjutan



**Gambar 4.29.** Grafik MAPE, SMAPE, dan RMSE untuk mengukur keakuratan model di subsistem Krian pukul 15.00

Menurut grafik yang dihasilkan Gambar 4.29 dari *error* disetiap peramalan di subsistem Krian pukul 15.00, diketahui bahwa hasil ramalan dari model ARIMA tidak cukup baik, dimana *error* yang dihasilkan berkisar sepuluh persen. Namun untuk model Krian pukul 11.00 dan 22.30 hasil peramalan cukup baik dari hari ke 1 hingga ke 4 saja. Secara visual dapat dilihat di Lampiran 36.

Berdasarkan Gambar 4.30 untuk subsistem Krian-Gresik pukul 14.00, dihasilkan model yang cukup baik, mulai dari hari ke 1 hingga hari ke 31. Namun untuk model Krian-Gresik pukul 15.00 dan 22.30 model yang dihasilkan tidak cukup baik. Secara visual dapat dilihat di Lampiran 37.



**Gambar 4.30.** Grafik MAPE, SMAPE, dan RMSE untuk mengukur keakuratan model di subsistem Krian-Gresik pukul 14.00

Hasil perhitungan model ARIMA dengan deteksi *outlier* untuk setiap subsistem dapat dilihat pada Tabel 4.15 dan Tabel 4.16.

**Tabel 4.15.** Hasil Model ARIMA dengan deteksi *outlier* untuk setiap subsistem berdasarkan *in sample*

Subistem	Pukul	Model ARIMA	MAPE	RMSE	SMAPE
Krian	11.00	([1,2,14,28],1,0)(1,1,0) <sup>7</sup>	8,60	32,1	8,8
	15.00	(0,1,1)(0,1,1) <sup>7</sup>	6,33	6,29	24,71
	23.00	(1,1,[2])(0,1,1) <sup>7</sup>	5,87	23,48	5,83
Krian-Gresik	14.00	(0,1,[1,6,12])(0,1,1) <sup>7</sup>	7,45	123,35	6,07
	15.00	([1,14],1,[2])(1,1,0) <sup>7</sup>	8,15	133,51	6,72
	22.30	(0,1,[1,3])(0,1,1) <sup>7</sup>	5,42	101,34	5,24
Ngimbang	13.30	(0,1,[1,2])(0,1,1) <sup>7</sup>	4,33	20,32	4,31
	19.30	(0,1,1)(0,1,1) <sup>7</sup>	3,42	18,97	3,4
	22.30	(0,1,1)(0,1,1) <sup>7</sup>	6,54	24,47	4,94
Paiton	13.30	(0,1,1)(0,1,1) <sup>7</sup>	3,70	51,64	3,6
	18.30	(0,1,[1,2,3])(0,1,1) <sup>7</sup>	2,08	37,95	2,09
	22.30	(0,1,[1,18])(0,1,1) <sup>7</sup>	2,66	37	2,8
Kediri	13.30	(0,1,[1,18])(0,1,1) <sup>7</sup>	105	77,46	13,46
	18.30	(0,1,1)(0,1,1) <sup>7</sup>	22,2	59,96	10,4
	05.30	(0,1,[1,2])(0,1,1) <sup>7</sup>	18	63,58	11,2

**Tabel 4.16.** Hasil Model ARIMA dengan deteksi *outlier* untuk setiap subsistem berdasarkan *out sample*

Subistem	Pukul	Model ARIMA	MAPE	RMSE	SMAPE
Krian	11.00	([1,2,14,28],1,0)(1,1,0) <sup>7</sup>	11,46	37,63	12,27
	15.00	(0,1,1)(0,1,1) <sup>7</sup>	7,89	25,1	7,99
	23.00	(1,1,[2])(0,1,1) <sup>7</sup>	6,14	21,33	6,37
Krian-Gresik	14.00	(0,1,[1,6,12])(0,1,1) <sup>7</sup>	2,73	66,91	2,67
	15.00	([1,14],1,[2])(1,1,0) <sup>7</sup>	4,94	99,11	4,98
	22.30	(0,1,[1,3])(0,1,1) <sup>7</sup>	6,78	141,06	6,19
Ngimbang	13.30	(0,1,[1,2])(0,1,1) <sup>7</sup>	13,95	63,59	15,11
	19.30	(0,1,1)(0,1,1) <sup>7</sup>	8,58	46,35	9,03
	22.30	(0,1,1)(0,1,1) <sup>7</sup>	27,3	120,28	31,7
Paiton	13.30	(0,1,1)(0,1,1) <sup>7</sup>	8,14	143,94	6,83
	18.30	(0,1,[1,2,3])(0,1,1) <sup>7</sup>	22,2	350,71	24,95
	22.30	(0,1,[1,18])(0,1,1) <sup>7</sup>	8,68	149,5	6,93
Kediri	13.30	(0,1,[1,18])(0,1,1) <sup>7</sup>	27,48	279,63	32,9
	18.30	(0,1,1)(0,1,1) <sup>7</sup>	18,4	222,93	20,8
	05.30	(0,1,[1,2])(0,1,1) <sup>7</sup>	10,08	91,64	9,23

#### 4.3 Peramalan Konsumsi Beban Listrik Setiap Subsistem di Jawa Timur

##### Menggunakan Metode Autoregressive Neural Network

Penjelasan tahapan model MLP secara lengkap dalam penelitian ini akan dilakukan pada subsistem Kediri pukul 13.30, Ngimbang pukul 13.30, Paiton pukul 13.30, Krian pukul 15.00, dan Krian-Gresik pukul 14.00. Langkah pertama dalam melakukan peramalan metode MLP adalah menentukan variabel *input*. Variabel *input* adalah merupakan variabel yang dipilih berdasarkan lag AR yang signifikan dari model ARIMA, untuk *input* MLP disetiap subsistem dapat dilihat di Tabel 4.17. Setelah menentukan variabel *input*, langkah selanjutnya adalah menentukan jumlah unit neuron di lapisan tersembunyi. Adapun data yang digunakan dalam metode ini sama dengan data *in sample* dan *out sample* yang digunakan dalam metode ARIMA. Pada peramalan konsumsi beban listrik dengan metode MLP dalam penelitian ini, akan dilakukan percobaan dengan menggunakan jumlah unit neuron di lapisan tersembunyi maksimal 10 neuron, dan satu lapisan tersembunyi, dengan satu lapisan *output* dan satu neuron *output* di lapisan *output*. Kemudian ditambahkan juga masing-masing satu neuron bias di lapisan tersembunyi dan lapisan *output* yang angka konstan 1. Mula-mula bobot pada setiap neuron *input* di random antara -1 sampai 1. Kemudian dilakukan proses *feedforward* sampai didapatkan nilai pada *output* neuron di lapisan *output*. Untuk setiap neuron digunakan fungsi aktivasi *bipolar sigmoid*. Setelah itu

dilakukan proses *backpropagation* yang berguna untuk memperbarui nilai bobot pada setiap neuron. Langkah tersebut dilakukan sampai semua *input* dieksekusi dan dihasilkan model peramalan yang paling maksimal.

**Tabel 4.17.** Variabel *input* untuk metode MLP di setiap subsistem

Subistem	Pukul	Variabel <i>Input</i> MLP Sesuai Lag AR
Krian	11.00	$y_{t-1}, y_{t-2}, y_{t-3}, y_{t-7}, y_{t-8}, y_{t-9}, y_{t-10}, y_{t-14},$ $y_{t-21}, y_{t-22}, y_{t-28}, y_{t-29}, y_{t-35}, y_{t-36}, y_{t-42}, y_{t-43}$
	15.00	$y_{t-1}, y_{t-7}, y_{t-8}$
	23.00	$y_{t-1}, y_{t-2}, y_{t-8}, y_{t-9}$
Krian-Gresik	14.00	$y_{t-1}, y_{t-7}, y_{t-8}$
	15.00	$y_{t-1}, y_{t-2}, y_{t-7}, y_{t-8}, y_{t-9}, y_{t-14}, y_{t-15}, y_{t-16},$ $y_{t-21}, y_{t-22}, y_{t-28}, y_{t-29}$
	22.30	$y_{t-1}, y_{t-7}, y_{t-8}$
Ngimbang	13.30	$y_{t-1}, y_{t-7}, y_{t-8}$
	19.30	$y_{t-1}, y_{t-7}, y_{t-8}$
	22.30	$y_{t-1}, y_{t-7}, y_{t-8}$
Paiton	13.30	$y_{t-1}, y_{t-7}, y_{t-8}$
	18.30	$y_{t-1}, y_{t-7}, y_{t-8}$
	22.30	$y_{t-1}, y_{t-7}, y_{t-8}$
Kediri	13.30	$y_{t-1}, y_{t-7}, y_{t-8}$
	18.30	$y_{t-1}, y_{t-7}, y_{t-8}$
	05.30	$y_{t-1}, y_{t-7}, y_{t-8}$

Berdasarkan hasil percobaan di setiap model yang ada pada setiap subsistem dari metode MLP dengan menggunakan jumlah neuron di lapisan tersembunyi dari yang berjumlah 1 hingga 10, hasilnya sesuai dengan Lampiran 38 hingga Lampiran 47, menunjukkan bahwa, setiap neuron yang berbeda menghasilkan nilai MAPE, RMSE, dan SMAPE yang berbeda juga. Tabel 4.18 merupakan hasil dari percobaan MLP pada subsistem Krian-Gresik pukul 14.00.

**Tabel 4.18.** Hasil percobaan MLP untuk subsistem Krian-Gresik pukul 14.00

	Input Berdasarkan Lag AR	Jumlah Neuron di <i>Hidden Layer</i>	MAPE	RMSE	SMAPE
<i>In sample</i>	1, 7, 8	1	27,417	251,251	12,185
<i>Out sample</i>	1, 7, 8	1	7,177	141,562	6,736
<i>In sample</i>	1, 7, 8	2	27,450	250,984	12,174
<i>Out sample</i>	1, 7, 8	2	7,181	141,551	6,739
<i>In sample</i>	1, 7, 8	3	26,018	242,181	11,557
<i>Out sample</i>	1, 7, 8	3	6,386	125,189	6,061
<i>In sample</i>	1, 7, 8	4	26,105	240,514	11,464
<i>Out sample</i>	1, 7, 8	4	6,143	123,598	5,836
<i>In sample</i>	1, 7, 8	5	27,045	248,557	11,979
<i>Out sample</i>	1, 7, 8	5	7,015	136,436	6,623

**Tabel 4.18:** Lanjutan

	<i>Input</i> Berdasarkan Lag AR	Jumlah Neuron di <i>Hidden Layer</i>	MAPE	RMSE	SMAPE
<i>In sample</i>	1, 7, 8	6	25,844	237,731	11,395
<i>Out sample</i>	1, 7, 8	6	6,200	123,572	5,907
<i>In sample</i>	1, 7, 8	7	27,206	247,903	11,941
<i>Out sample</i>	1, 7, 8	7	7,070	136,966	6,684
<i>In sample</i>	1, 7, 8	8	27,881	251,554	12,259
<i>Out sample</i>	1, 7, 8	8	7,286	144,919	6,807
<i>In sample</i>	1, 7, 8	9	25,820	235,139	11,164
<i>Out sample</i>	1, 7, 8	9	5,987	118,735	5,736
<i>In sample</i>	1, 7, 8	10	25,214	233,347	11,064
<i>Out sample</i>	1, 7, 8	10	5,854	116,455	5,622

Dari Tabel 4.18 hasil percobaan pada subsistem Krian-Gresik pukul 14.00 didapatkan model MLP yang paling optimal menurut data *out sample* terdapat di model NN(3,10,1) dengan *error* MAPE sebesar 5,854%, SMAPE sebesar 5,622%, dan RMSE sebesar 116,455%. Untuk hasil percobaan di subsistem Ngimbang pukul 13.30 terdapat di Tabel 4.19, didapatkan kesimpulan bahwa model MLP yang paling optimal adalah model NN(3,3,1) dengan *error* MAPE 4,35%, SMAPE 4,319%, dan RMSE sebesar 21,582%.

**Tabel 4.19.** Hasil percobaan MLP untuk subsistem Ngimbang pukul 13.30

	<i>Input</i> Berdasarkan Lag AR	Jumlah Neuron di <i>Hidden Layer</i>	MAPE	RMSE	SMAPE
<i>In sample</i>	1, 7, 8	1	6,705	32,283	6,533
<i>Out sample</i>	1, 7, 8	1	4,404	21,693	4,371
<i>In sample</i>	1, 7, 8	2	6,779	32,273	6,593
<i>Out sample</i>	1, 7, 8	2	4,364	21,689	4,330
<i>In sample</i>	1, 7, 8	3	6,781	32,304	6,582
<i>Out sample</i>	1, 7, 8	3	4,350	21,582	4,319
<i>In sample</i>	1, 7, 8	4	6,869	32,610	6,664
<i>Out sample</i>	1, 7, 8	4	4,392	21,699	4,359
<i>In sample</i>	1, 7, 8	5	6,991	32,905	6,752
<i>Out sample</i>	1, 7, 8	5	4,393	21,924	4,362
<i>In sample</i>	1, 7, 8	6	7,281	33,764	6,993
<i>Out sample</i>	1, 7, 8	6	4,400	21,540	4,372
<i>In sample</i>	1, 7, 8	7	7,513	34,492	7,173
<i>Out sample</i>	1, 7, 8	7	4,369	21,693	4,343
<i>In sample</i>	1, 7, 8	8	7,409	34,182	7,111
<i>Out sample</i>	1, 7, 8	8	4,436	21,527	4,403
<i>In sample</i>	1, 7, 8	9	7,760	35,308	7,384
<i>Out sample</i>	1, 7, 8	9	4,390	21,578	4,364
<i>In sample</i>	1, 7, 8	10	8,006	36,162	7,578
<i>Out sample</i>	1, 7, 8	10	4,430	21,742	4,405

Kemudian untuk subsistem Krian pukul 15.00 dihasilkan percobaan sesuai dengan Tabel 4.20, bahwa model yang paling optimal didapatkan dengan arsitektur NN(3,6,1) dengan *error* MAPE 9,757%, SMAPE 9,965%, dan RMSE 43,913%.

**Tabel 4.20.** Hasil percobaan MLP untuk subsistem Krian pukul 15.00

	<i>Input</i> Berdasarkan Lag AR	Jumlah Neuron di <i>Hidden Layer</i>	MAPE	RMSE	SMAPE
<i>In sample</i>	1, 7, 8	1	9,941	43,065	9,882
<i>Out sample</i>	1, 7, 8	1	11,027	34,973	10,740
<i>In sample</i>	1, 7, 8	2	9,604	41,562	9,498
<i>Out sample</i>	1, 7, 8	2	9,711	30,929	9,371
<i>In sample</i>	1, 7, 8	3	9,584	41,745	9,538
<i>Out sample</i>	1, 7, 8	3	9,690	30,734	9,381
<i>In sample</i>	1, 7, 8	4	9,563	41,791	9,527
<i>Out sample</i>	1, 7, 8	4	9,555	30,638	9,249
<i>In sample</i>	1, 7, 8	5	9,584	42,169	9,620
<i>Out sample</i>	1, 7, 8	5	8,826	28,486	8,578
<i>In sample</i>	1, 7, 8	6	9,757	43,913	9,965
<i>Out sample</i>	1, 7, 8	6	8,387	27,479	8,174
<i>In sample</i>	1, 7, 8	7	9,733	43,464	9,853
<i>Out sample</i>	1, 7, 8	7	9,252	29,309	8,974
<i>In sample</i>	1, 7, 8	8	10,056	44,910	10,197
<i>Out sample</i>	1, 7, 8	8	9,865	32,398	9,629
<i>In sample</i>	1, 7, 8	9	9,813	43,611	9,951
<i>Out sample</i>	1, 7, 8	9	9,129	29,204	8,867
<i>In sample</i>	1, 7, 8	10	9,836	44,323	10,084
<i>Out sample</i>	1, 7, 8	10	8,518	27,344	8,291

Hasil percobaan subsistem Kediri pukul 13.30 dapat dilihat di Tabel 4.21, dihasilkan model MLP yang paling optimal dengan *error* MAPE 12,366%, SMAPE 12,468%, dan RMSE sebesar 118,480%. Arsitektur model yang dihasilkan yaitu NN(3,2,1). Kemudian untuk subsistem Paiton pukul 13.30 dihasilkan model yang paling optimal dengan arsitektur NN(3,10,1) yang mempunyai *error* MAPE 10,069%, SMAPE 12,468%, dan RMSE sebesar 163,928%. Hasil dari percobaan subsistem Paiton pukul 13.30 disajikan dalam Tabel 4.22.

**Tabel 4.21.** Hasil percobaan MLP untuk subsistem Kediri pukul 13.30

	<i>Input</i> Berdasarkan Lag AR	Jumlah Neuron di <i>Hidden Layer</i>	MAPE	RMSE	SMAPE
<i>In sample</i>	1, 7, 8	1	190,846	121,866	17,509
<i>Out sample</i>	1, 7, 8	1	12,567	120,933	12,769
<i>In sample</i>	1, 7, 8	2	193,537	121,872	17,583
<i>Out sample</i>	1, 7, 8	2	12,366	118,480	12,467
<i>In sample</i>	1, 7, 8	3	184,575	121,518	17,623
<i>Out sample</i>	1, 7, 8	3	12,526	119,173	12,609
<i>In sample</i>	1, 7, 8	4	189,907	122,247	17,744

**Tabel 4.21:** Lanjutan

	<i>Input</i> Berdasarkan Lag AR	Jumlah Neuron di <i>Hidden Layer</i>	MAPE	RMSE	SMAPE
<i>Out sample</i>	1, 7, 8	4	12,585	119,960	12,738
<i>In sample</i>	1, 7, 8	5	199,652	124,007	18,200
<i>Out sample</i>	1, 7, 8	5	12,613	119,992	12,718
<i>In sample</i>	1, 7, 8	6	204,766	124,967	18,320
<i>Out sample</i>	1, 7, 8	6	12,646	121,696	12,887
<i>In sample</i>	1, 7, 8	7	212,615	127,580	18,932
<i>Out sample</i>	1, 7, 8	7	12,949	123,531	13,127
<i>In sample</i>	1, 7, 8	8	209,318	126,517	18,599
<i>Out sample</i>	1, 7, 8	8	13,158	127,622	13,546
<i>In sample</i>	1, 7, 8	9	222,157	129,526	19,196
<i>Out sample</i>	1, 7, 8	9	12,954	124,403	13,216
<i>In sample</i>	1, 7, 8	10	245,445	132,026	19,507
<i>Out sample</i>	1, 7, 8	10	12,910	125,143	13,199

**Tabel 4.22.** Hasil percobaan MLP untuk subsistem Paiton pukul 13.30

	<i>Input</i> Berdasarkan Lag AR	Jumlah Neuron di <i>Hidden Layer</i>	MAPE	RMSE	SMAPE
<i>In sample</i>	1, 7, 8	1	28,748	180,660	11,640
<i>Out sample</i>	1, 7, 8	1	10,607	169,242	9,786
<i>In sample</i>	1, 7, 8	2	28,860	181,347	11,679
<i>Out sample</i>	1, 7, 8	2	10,592	168,964	9,766
<i>In sample</i>	1, 7, 8	3	26,068	163,178	9,989
<i>Out sample</i>	1, 7, 8	3	10,339	165,051	9,404
<i>In sample</i>	1, 7, 8	4	26,722	167,630	10,425
<i>Out sample</i>	1, 7, 8	4	10,445	170,427	9,503
<i>In sample</i>	1, 7, 8	5	27,809	174,238	11,112
<i>Out sample</i>	1, 7, 8	5	10,743	174,531	9,892
<i>In sample</i>	1, 7, 8	6	27,190	170,556	10,597
<i>Out sample</i>	1, 7, 8	6	10,305	166,034	9,329
<i>In sample</i>	1, 7, 8	7	27,952	175,016	11,016
<i>Out sample</i>	1, 7, 8	7	10,356	171,187	9,438
<i>In sample</i>	1, 7, 8	8	30,553	192,663	12,515
<i>Out sample</i>	1, 7, 8	8	10,404	164,535	9,548
<i>In sample</i>	1, 7, 8	9	26,721	167,418	10,313
<i>Out sample</i>	1, 7, 8	9	10,105	166,705	9,132
<i>In sample</i>	1, 7, 8	10	26,609	166,660	10,229
<i>Out sample</i>	1, 7, 8	10	10,069	163,928	9,094

Dengan analisis yang sama, maka hasil dari pemodelan MLP untuk subsistem lainnya dapat dilihat di Lampiran 38, diketahui bahwa berdasarkan nilai MAPE, RMSE dan SMAPE pada *out sample*, dihasilkan model-model yang paling optimal untuk setiap subsistem, sesuai dengan Tabel 4.23 dibawah ini.

**Tabel 4.23.** Daftar model terbaik berdasarkan *out sample* untuk setiap subsistem

Subsistem	Waktu Yang Dimodelkan	Input Lag AR	Jumlah Neuron Hidden Layer	MAPE	RMSE	SMAPE
Krian	11.00	1, 2, 3, 7, 8, 9, 10, 14, 21, 22, 28, 29, 35, 36, 42, 43	9	7,268	25,586	7,150
	15.00	1, 7, 8	6	9,757	43,913	9,965
	23.00	1, 2, 8, 9	4	7,147	23,380	7,171
Krian-Gresik	14.00	1, 7, 8	10	5,855	116,456	5,623
	15.00	1, 2, 7, 8, 9, 14, 15, 16, 21, 22, 28, 29	9	4,956	93,464	4,879
	22.30	1, 7, 8	4	7,147	23,380	7,171
Ngimbang	13.30	1, 7, 8	3	4,350	21,583	4,319
	19.30	1, 7, 8	8	3,430	19,330	3,405
	22.30	1, 7, 8	8	2,996	15,612	2,978
Paiton	13.30	1, 7, 8	10	10,069	163,928	9,094
	18.30	1, 7, 8	10	7,756	166,656	6,838
	22.30	1, 7, 8	6	7,603	145,576	6,191
Kediri	13.30	1, 7, 8	2	12,366	118,480	12,468
	18.30	1, 7, 8	3	8,072	99,150	8,252
	05.30	1, 7, 8	3	7,407	95,670	7,162

Dari Tabel 4.23 juga dapat diketahui bahwa model yang paling sesuai untuk konsumsi beban listrik di setiap subsistem. Sehingga dari model-model terbaik tersebut dapat dibangun arsitektur MLP sesuai dengan Tabel 4.24.

**Tabel 4.24.** Daftar model terbaik berdasarkan *out sample* untuk setiap subsistem

Subsistem	Waktu yang dimodelkan	Arsitektur MLP
Krian	11.00	NN(16,9,1)
	15.00	NN(3,6,1)
	23.00	NN(4,4,1)
Krian-Gresik	14.00	NN(3,10,1)
	15.00	NN(12,9,10)
	22.30	NN(3,4,1)
Ngimbang	13.30	NN(3,3,1)
	19.30	NN(3,8,1)
	22.30	NN(3,8,1)
Paiton	13.30	NN(3,10,1)
	18.30	NN(3,10,1)
	22.30	NN(3,6,1)
Kediri	13.30	NN(3,2,1)
	18.30	NN(3,2,1)
	05.30	NN(3,3,1)

Dalam arsitektur MLP terdapat juga nilai bobot dan bias untuk setiap modelnya. Nilai bias dan bobot untuk model Krian-Gresik pukul 14.00 seperti pada Tabel 4.25. Begitu juga dengan model-model lain disubsistem lainnya, tetap

dilakukan dengan prosedur yang sama, sehingga didapatkan nilai bobot dan bias untuk setiap subsistem, nilai-nilai tersebut dapat dilihat di bagian Lampiran 48.

**Tabel 4.25.** Nilai bobot dan bias metode MLP untuk model di subsistem Krian-Gresik 14.00

Model	Nilai Bobot		
Krian-Gresik 14.00	$\beta_{11}: 0,418$	$\beta_{12}: 0,624$	$\beta_{13}: 0,513$
	$\beta_{21}: -0,527$	$\beta_{22}: 0,089$	$\beta_{23}: 0,717$
	$\beta_{31}: 2,749$	$\beta_{32}: -2,179$	$\beta_{33}: 0,205$
	$\beta_{41}: 0,971$	$\beta_{42}: 0,184$	$\beta_{43}: 2,036$
	$\beta_{51}: 0,748$	$\beta_{52}: 1,049$	$\beta_{53}: 0,411$
	$\beta_{61}: 0,668$	$\beta_{62}: 0,804$	$\beta_{63}: 1,037$
	$\beta_{71}: 0,456$	$\beta_{72}: 0,055$	$\beta_{73}: 1,054$
	$\beta_{81}: 0,237$	$\beta_{82}: -1,165$	$\beta_{83}: -0,478$
	$\beta_{91}: -1,292$	$\beta_{92}: 2,971$	$\beta_{93}: -1,141$
	$\beta_{101}: -1,811$	$\beta_{102}: -1,702$	$\beta_{103}: 0,376$
	$B_1: 0,152$	$B_2: 0,503$	$B_3: -0,870$
	$B_4: -1,535$	$B_5: 1,097$	$B_6: 0,860$
	$B_7: -0,563$	$B_8: 0,434$	$B_9: -1,345$
	$B_{10}: -1,432$		
	$\alpha_{11}: 1,038$	$\alpha_{12}: 1,179$	$\alpha_{13}: -0,411$
	$\alpha_{14}: -0,457$	$\alpha_{15}: 1,426$	$\alpha_{16}: 1,350$
	$\alpha_{17}: 0,456$	$\alpha_{18}: 0,990$	$\alpha_{19}: 0,526$
	$\alpha_{110}: 2,360$	$\alpha_{21}: 1,521$	

Dengan pembobot dan bias pada Tabel 4.25, secara matematis maka persamaan dari model MLP diatas adalah.

$$\begin{aligned}\widehat{Z}_t = & 1,521 + 1,038f^{(h_{1,t})} + 1,179f^{(h_{2,t})} - 0,411f^{(h_{3,t})} - 0,457f^{(h_{4,t})} \\ & + 1,426f^{(h_{5,t})} 1,350f^{(h_{6,t})} + 0,456f^{(h_{7,t})} + 0,990f^{(h_{8,t})} + 0,526f^{(h_{9,t})} \\ & + 2,360f^{(h_{10,t})}\end{aligned}$$

Dengan,

$$\begin{aligned}f^{(h_{1,t})} &= \frac{2}{1+e^{-(h_{1,t})}} - 1; f^{(h_{2,t})} = \frac{2}{1+e^{-(h_{2,t})}} - 1; \\ f^{(h_{3,t})} &= \frac{2}{1+e^{-(h_{3,t})}} - 1; f^{(h_{4,t})} = \frac{2}{1+e^{-(h_{4,t})}} - 1; \\ f^{(h_{5,t})} &= \frac{2}{1+e^{-(h_{5,t})}} - 1; f^{(h_{6,t})} = \frac{2}{1+e^{-(h_{6,t})}} - 1; \\ f^{(h_{7,t})} &= \frac{2}{1+e^{-(h_{7,t})}} - 1; f^{(h_{8,t})} = \frac{2}{1+e^{-(h_{8,t})}} - 1; \\ f^{(h_{9,t})} &= \frac{2}{1+e^{-(h_{9,t})}} - 1; f^{(h_{10,t})} = \frac{2}{1+e^{-(h_{10,t})}} - 1;\end{aligned}$$

$$h_{1,t} = 0,152 + 0,418Y_{t-1} + 0,624Y_{t-7} + 0,513Y_{t-8}$$

$$h_{2,t} = 0,503 - 0,527Y_{t-1} + 0,089Y_{t-7} + 0,717Y_{t-8}$$

$$h_{3,t} = -0,870 + 2,749Y_{t-1} - 2,179Y_{t-7} + 0,205Y_{t-8}$$

$$h_{4,t} = -1,535 + 0,971Y_{t-1} + 0,184Y_{t-7} + 2,036Y_{t-8}$$

$$h_{5,t} = 1,097 + 0,748Y_{t-1} + 1,049Y_{t-7} + 0,411Y_{t-8}$$

$$h_{6,t} = 0,860 + 0,668Y_{t-1} + 0,804Y_{t-7} + 1,037Y_{t-8}$$

$$h_{7,t} = -0,563 + 0,456Y_{t-1} + 0,055Y_{t-7} + 1,054Y_{t-8}$$

$$h_{8,t} = 0,434 + 0,237Y_{t-1} - 1,165Y_{t-7} - 0,478Y_{t-8}$$

$$h_{9,t} = -1,345 - 1,292Y_{t-1} + 2,971Y_{t-7} - 1,141Y_{t-8}$$

$$h_{10,t} = -1,432 - 1,811Y_{t-1} - 1,702Y_{t-7} + 0,376Y_{t-8}$$

Model di subsistem Krian pukul 15.00 dihasilkan nilai bobot dan bias sesuai dengan Tabel 4.26. Dimana terdapat 3 *input* neuron, 6 neuron di lapisan tersembunyi dan 1 neuron di lapisan *output*.

**Tabel 4.26.** Nilai bobot dan bias metode MLP untuk model di subsistem Krian pukul 15.00

Model	Nilai Bobot		
Krian 15.00	$\beta_{11}: 0,484$	$\beta_{12}: 0,286$	$\beta_{13}: 1,512$
	$\beta_{21}: -1,888$	$\beta_{22}: 0,438$	$\beta_{23}: 0,871$
	$\beta_{31}: 1,959$	$\beta_{32}: -0,990$	$\beta_{33}: -0,881$
	$\beta_{41}: -0,081$	$\beta_{42}: 0,017$	$\beta_{43}: 0,795$
	$\beta_{51}: 0,621$	$\beta_{52}: 0,981$	$\beta_{53}: 0,063$
	$\beta_{61}: 1,097$	$\beta_{62}: -1,210$	$\beta_{63}: 1,276$
	$B_1: 0,810$	$B_2: -1,047$	$B_3: 1,354$
	$B_4: 0,337$	$B_5: -0,519$	$B_6: -0,936$
	$\alpha_{11}: -0,940$	$\alpha_{12}: 1,291$	$\alpha_{13}: 1,635$
	$\alpha_{14}: 0,257$	$\alpha_{15}: 0,524$	$\alpha_{16}: -0,012$
	$\alpha_{21}: 0,635$		

Dengan pembobot dan bias pada Tabel 4.26, secara matematis maka persamaan dari model MLP diatas adalah.

$$\widehat{Z}_t = 0,635 - 0,940f^{(h_1,t)} + 1,291f^{(h_2,t)} + 1,635f^{(h_3,t)} + 0,257f^{(h_4,t)} + 0,524f^{(h_5,t)} \\ + - 0,012f^{(h_6,t)}$$

Dengan,

$$f^{(h_1,t)} = \frac{2}{1+e^{-(h_1,t)}} - 1; f^{(h_2,t)} = \frac{2}{1+e^{-(h_2,t)}} - 1; \\ f^{(h_3,t)} = \frac{2}{1+e^{-(h_3,t)}} - 1; f^{(h_4,t)} = \frac{2}{1+e^{-(h_4,t)}} - 1; \\ f^{(h_5,t)} = \frac{2}{1+e^{-(h_5,t)}} - 1; f^{(h_6,t)} = \frac{2}{1+e^{-(h_6,t)}} - 1; \\ h_{1,t} = 0,810 + 0,484Y_{t-1} + 0,286Y_{t-7} + 1,512Y_{t-8} \\ h_{2,t} = -1,047 - 1,888Y_{t-1} + 0,438Y_{t-7} + 0,871Y_{t-8} \\ h_{3,t} = 1,354 + 1,959Y_{t-1} - 0,990Y_{t-7} - 0,881Y_{t-8} \\ h_{4,t} = 0,337 - 0,081Y_{t-1} + 0,017Y_{t-7} + 0,795Y_{t-8} \\ h_{5,t} = -0,519 + 0,621Y_{t-1} + 0,981Y_{t-7} + 0,063Y_{t-8} \\ h_{6,t} = -0,012 + 1,097Y_{t-1} - 1,210Y_{t-7} + 1,276Y_{t-8}$$

Model disubsistem Kediri pukul 13. 30 terdapat 3 neuron di lapisan *input*, 1 neuron di lapisan tersembunyi, dan 1 neuron di lapisan *output*. Nilai bias dan bobot yang dihasilkan oleh model bisa dilihat di Tabel 4.27.

**Tabel 4.27.** Nilai bobot dan bias metode MLP untuk model di subsistem Kediri pukul 13.30

Model	Nilai Bobot		
Kediri 13.30	$\beta_{11}: 1,071$	$\beta_{12}: 0,151$	$\beta_{13}: 0,489$
	$\beta_{21}: -1,485$	$\beta_{22}: -0,604$	$\beta_{23}: 0,394$

**Tabel 4.27:** lanjutan

Model	Nilai Bobot		
Kediri	B <sub>1</sub> : 0,823	B <sub>2</sub> : -1,130	
13.30	$\alpha_{11}$ : 0,469	$\alpha_{12}$ : 1,906	$\alpha_{21}$ : 0,759

Dengan pembobot dan bias pada Tabel 4.27 secara matematis maka persamaan dari model MLP diatas adalah.

$$\hat{Z}_t = 0,759 + 0,469f^{(h_{1,t})} + 1,906f^{(h_{2,t})}$$

Dengan,

$$f^{(h_{1,t})} = \frac{2}{1+e^{-(h_{1,t})}} - 1; f^{(h_{2,t})} = \frac{2}{1+e^{-(h_{2,t})}} - 1;$$

$$h_{1,t} = 0,823 + 1,071Y_{t-1} + 0,151Y_{t-7} + 0,489Y_{t-8}$$

$$h_{2,t} = -1,130 + -1,485Y_{t-1} - 0,604Y_{t-7} + 0,394Y_{t-8}$$

Selanjutnya adalah model di subsistem Ngimbang pukul 13.30, dimana terdapat 3 neuron *input* di lapisan input, 3 neuron di lapisan tersembunyi, dan 1 neuron *output*. Hasil bias dan bobot dari model tersebut, dapat dilihat di Tabel 4.28.

**Tabel 4.28.** Nilai bobot dan bias metode MLP untuk model di subsistem Ngimbang pukul 13.30

Model	Nilai Bobot		
Ngimbang 13.30	$\beta_{11}$ : 0,450	$\beta_{12}$ : 0,388	$\beta_{13}$ : 0,284
	$\beta_{21}$ : -1,388	$\beta_{22}$ : -1,582	$\beta_{23}$ : 1,052
	$\beta_{31}$ : 0,645	$\beta_{32}$ : 0,061	$\beta_{33}$ : 0,368
	B <sub>11</sub> : 0,462	B <sub>12</sub> : -1,161	B <sub>13</sub> : 0,605
	$\alpha_{11}$ : 0,749	$\alpha_{12}$ : 2,339	$\alpha_{13}$ : -0,168
	$\alpha_{21}$ : 1,008		

Dengan pembobot dan bias pada Tabel 4.28, secara matematis maka persamaan dari model MLP diatas adalah.

$$\hat{Z}_t = 1,008 + 0,749f^{(h_{1,t})} + 2,339f^{(h_{2,t})} - 0,168f^{(h_{3,t})}$$

Dengan,

$$f^{(h_{1,t})} = \frac{2}{1+e^{-(h_{1,t})}} - 1; f^{(h_{2,t})} = \frac{2}{1+e^{-(h_{2,t})}} - 1; f^{(h_{3,t})} = \frac{2}{1+e^{-(h_{3,t})}} - 1;$$

$$h_{1,t} = 0,462 + 0,450Y_{t-1} + 0,388Y_{t-7} + 0,284Y_{t-8}$$

$$h_{2,t} = -1,161 - 1,388Y_{t-1} - 1,582Y_{t-7} + 1,052Y_{t-8}$$

$$h_{3,t} = 0,605 + 0,645Y_{t-1} + 0,061Y_{t-7} + 0,368Y_{t-8}$$

Dan untuk model di subsistem Paiton pukul 13.30, terdapat 3 neuron di lapisan *input*, 10 neuron di lapisan tersembunyi, dan 1 neuron *output*, nilai bias dan bobotnya dapat dilihat di Tabel 4.29. Untuk model disubsistem lain, dilakukan prosedur dan analisis yang sama dengan subsistem Krian-Gresik 14.00, Ngimbang pukul 13.30, Krian pukul 15.00, dan Kediri pukul 13.30 Hasil dari analisis disubsistem lain dapat dilihat di Lampiran 49.

**Tabel 4.29.** Nilai bobot dan bias metode MLP untuk model di subsistem Paiton pukul 13.30

Secara matematis, maka persamaanya adalah

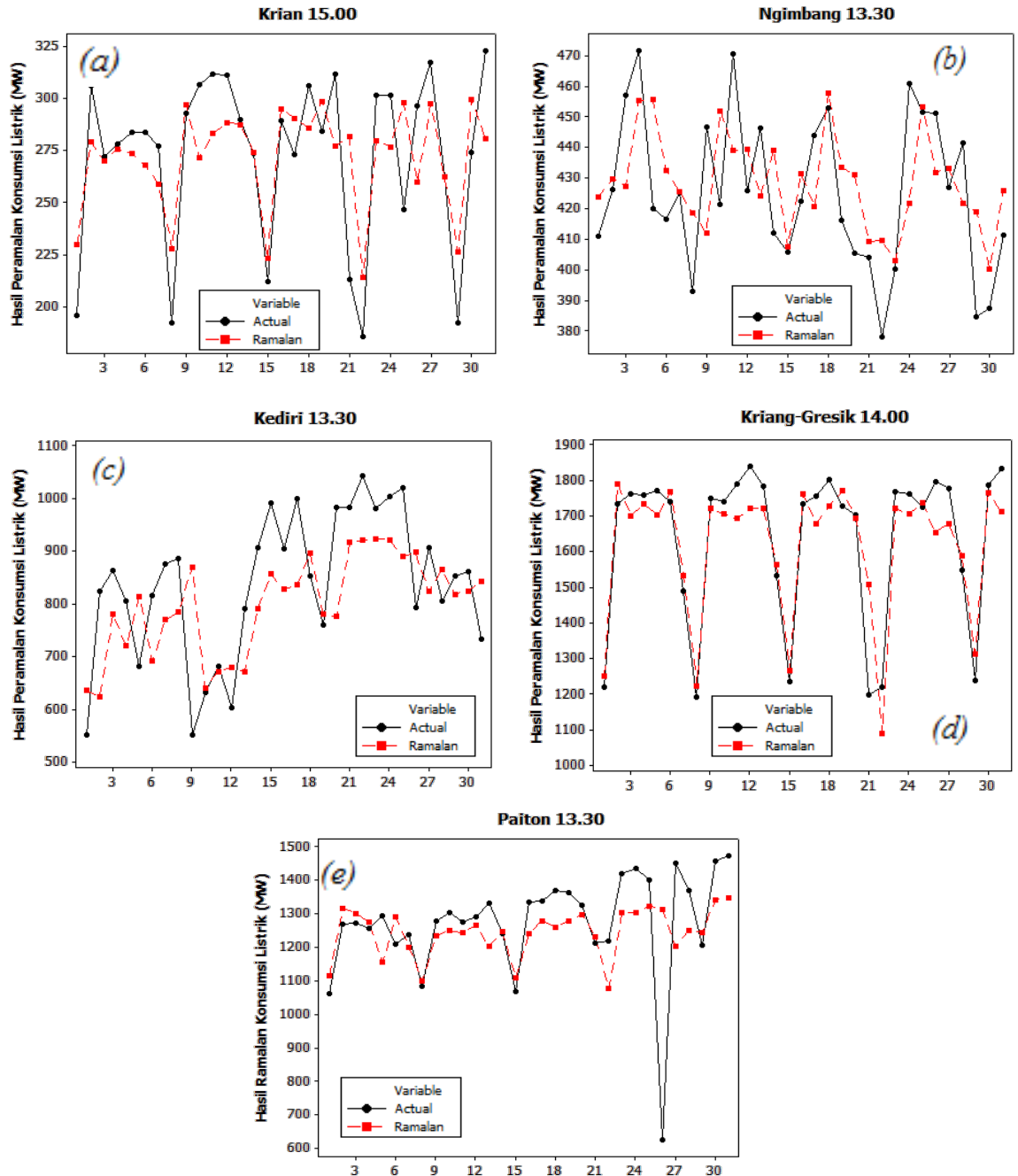
$$\begin{aligned}\widehat{Z}_t = & 0.889 + 0.954f^{(h_{1,t})} + 0.323f^{(h_{2,t})} + 1.130f^{(h_{3,t})} + 0.926f^{(h_{4,t})} \\ & + 0.842f^{(h_{5,t})} + 0.601f^{(h_{6,t})} + 0.969f^{(h_{7,t})} + 1.121f^{(h_{8,t})} \\ & - 2.199f^{(h_{9,t})} + 1.912f^{(h_{10,t})}\end{aligned}$$

Dengan,

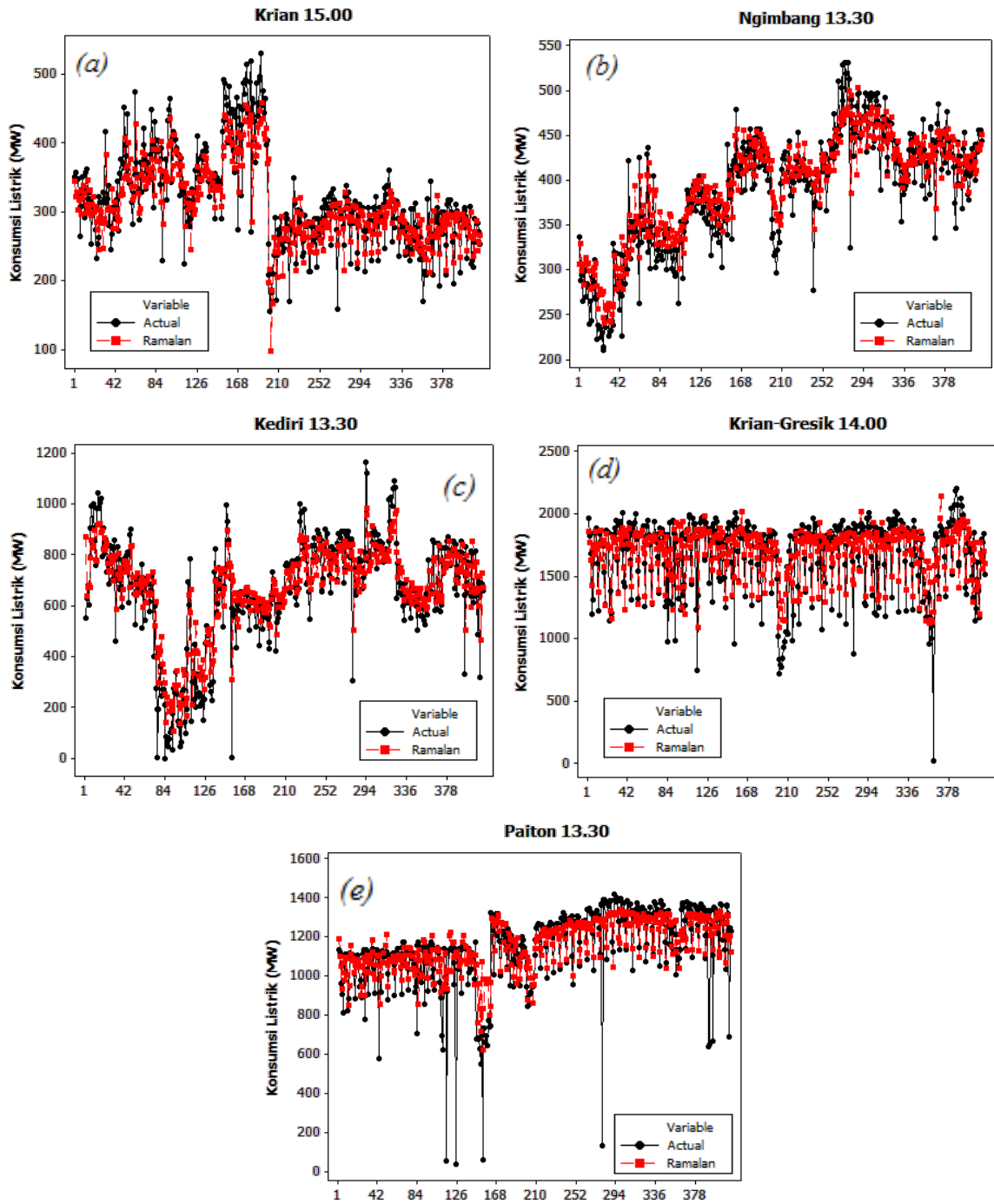
$$\begin{aligned}
f^{(h_{1,t})} &= \frac{2}{1+e^{-(h_{1,t})}} - 1; \quad f^{(h_{2,t})} = \frac{2}{1+e^{-(h_{2,t})}} - 1; \quad f^{(h_{3,t})} = \frac{2}{1+e^{-(h_{3,t})}} - 1; \\
f^{(h_{4,t})} &= \frac{2}{1+e^{-(h_{4,t})}} - 1; \quad f^{(h_{5,t})} = \frac{2}{1+e^{-(h_{5,t})}} - 1; \quad f^{(h_{6,t})} = \frac{2}{1+e^{-(h_{6,t})}} - 1; \\
f^{(h_{7,t})} &= \frac{2}{1+e^{-(h_{7,t})}} - 1; \quad f^{(h_{8,t})} = \frac{2}{1+e^{-(h_{8,t})}} - 1; \quad f^{(h_{9,t})} = \frac{2}{1+e^{-(h_{9,t})}} - 1; \\
f^{(h_{10,t})} &= \frac{2}{1+e^{-(h_{10,t})}} - 1; \\
h_{1,t} &= -0,004 + 0,404Y_{t-1} + 0,630Y_{t-7} + 0,545Y_{t-8} \\
h_{2,t} &= 1,214 - 0,608Y_{t-1} + 0,153Y_{t-7} + 1,905Y_{t-8} \\
h_{3,t} &= 1,130 + 1,295Y_{t-1} + -2,291Y_{t-7} + 0,409Y_{t-8} \\
h_{4,t} &= 0,926 + 0,259Y_{t-1} - 0,184Y_{t-7} + 0,663Y_{t-8} \\
h_{5,t} &= 0,842 + 0,572Y_{t-1} + 1,066Y_{t-7} + 0,425Y_{t-8} \\
h_{6,t} &= 0,601 + 0,376Y_{t-1} + 0,640Y_{t-7} + 1,101Y_{t-8} \\
h_{7,t} &= 0,969 + 0,408Y_{t-1} + -0,002Y_{t-7} + 0,739Y_{t-8} \\
h_{8,t} &= 1,121 + 0,065Y_{t-1} + -0,923Y_{t-7} - 0,298Y_{t-8} \\
h_{9,t} &= -2,199 - 0,437Y_{t-1} + 3,065Y_{t-7} + 1,172Y_{t-8} \\
h_{10,t} &= 1,912 - 1,590Y_{t-1} - 0,867Y_{t-7} - 0,007Y_{t-8}
\end{aligned}$$

Hasil ramalan dari model berdasarkan data *out sample* secara visual disajikan dalam *time series plot* pada Gambar 4.31, untuk hasil ramalan dari model berdasarkan data *in sample* secara visual disajikan dalam Gambar 4.32. Hasil dari

selisih antara data aktual dengan hasil ramalan untuk konsumsi listrik di subsistem Paiton 13.30, Kediri 13.30, Ngimbang 13.30, Krian 15.00, dan Krian-Gresik 14.00 tidak terlalu jauh. Dimana pola data aktual dengan data ramalan yang dihasilkan hampir sama. Begitu juga dengan model di subsistem lainnya berdasarkan Lampiran 62, hasil selisihnya juga tidak terlalu besar.

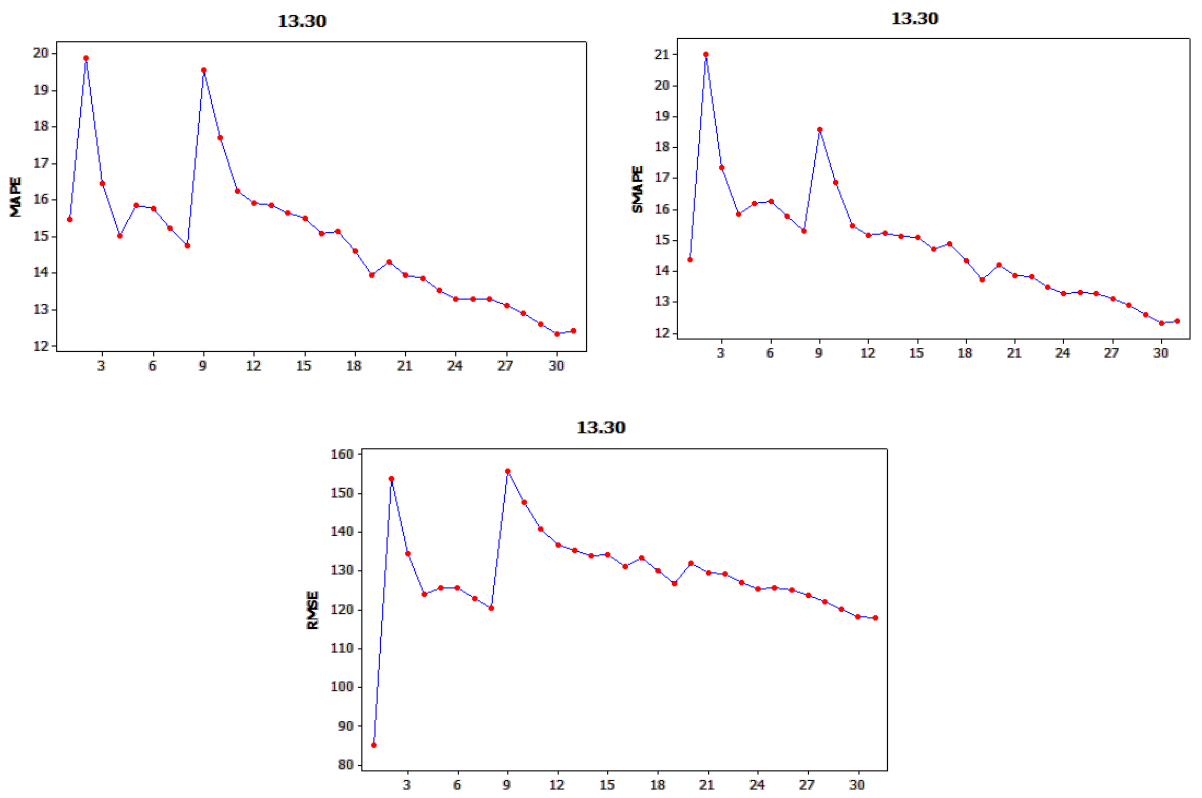


**Gambar 4.31.** Hasil perbandingan ramalan berdasarkan data *out sample* untuk metode MLP pada model Krian pukul 15.00 (a), Ngimbang pukul 13.30 (b), Kediri pukul 13.30 (c), Krian-Gresik pukul 14.00 (d), dan Paiton pukul 13.30 (e)

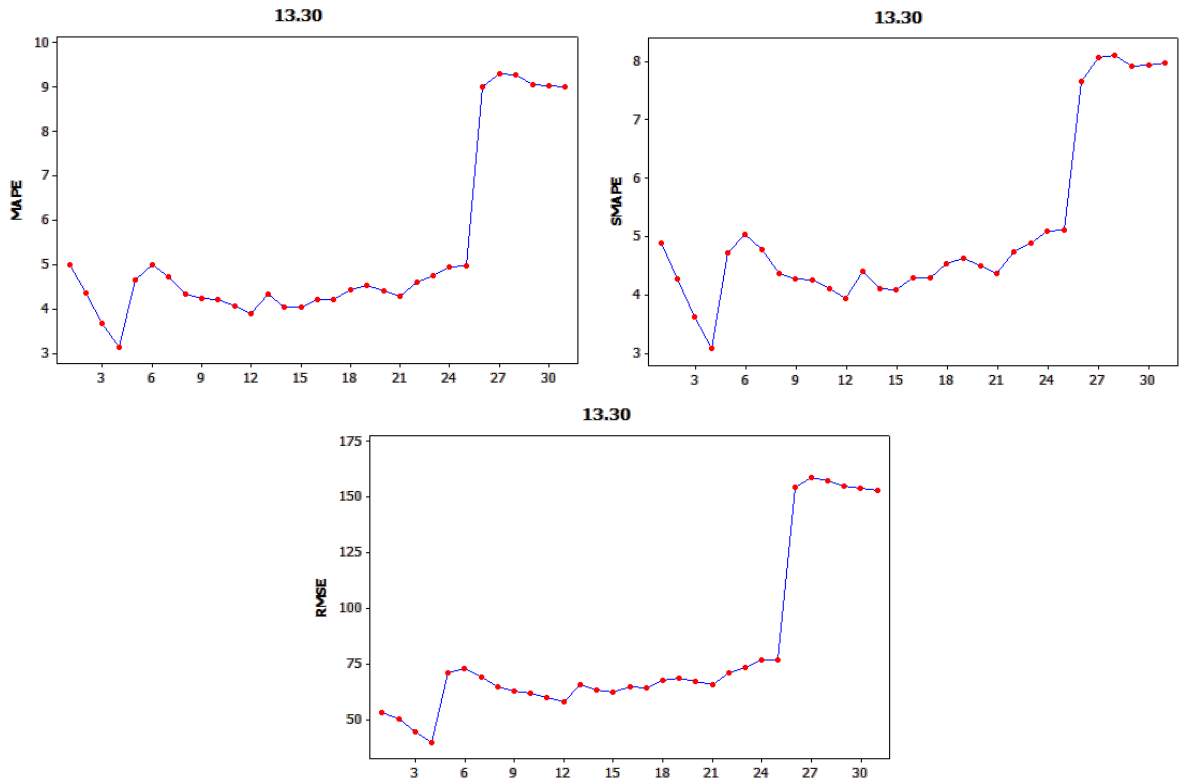


**Gambar 4.32.** Hasil perbandingan ramalan berdasarkan data *in sample* untuk metode MLP pada model Krian pukul 15.00 (a), Ngimbang pukul 13.30 (b), Kediri pukul 13.30 (c), Krian-Gresik pukul 14.00 (d), dan Paiton pukul 13.30 (e)

Berdasarkan Gambar 4.33 yang merupakan grafik dari perhitungan MAPE, SMAPE, dan RMSE untuk subsistem Kediri pukul 13.30, menunjukkan hasil kurang baik, karena *error* dari MAPE dan SMAPE lebih dari 5%, yaitu sekitar 14 %. Sedangkan untuk subsistem Paiton pukul 13.30 bisa dilihat di Gambar 4.34. hasil perhitungan *error* menunjukkan bahwa, hasil ramalan cukup baik dari hari ke 1 hingga hari ke 21.

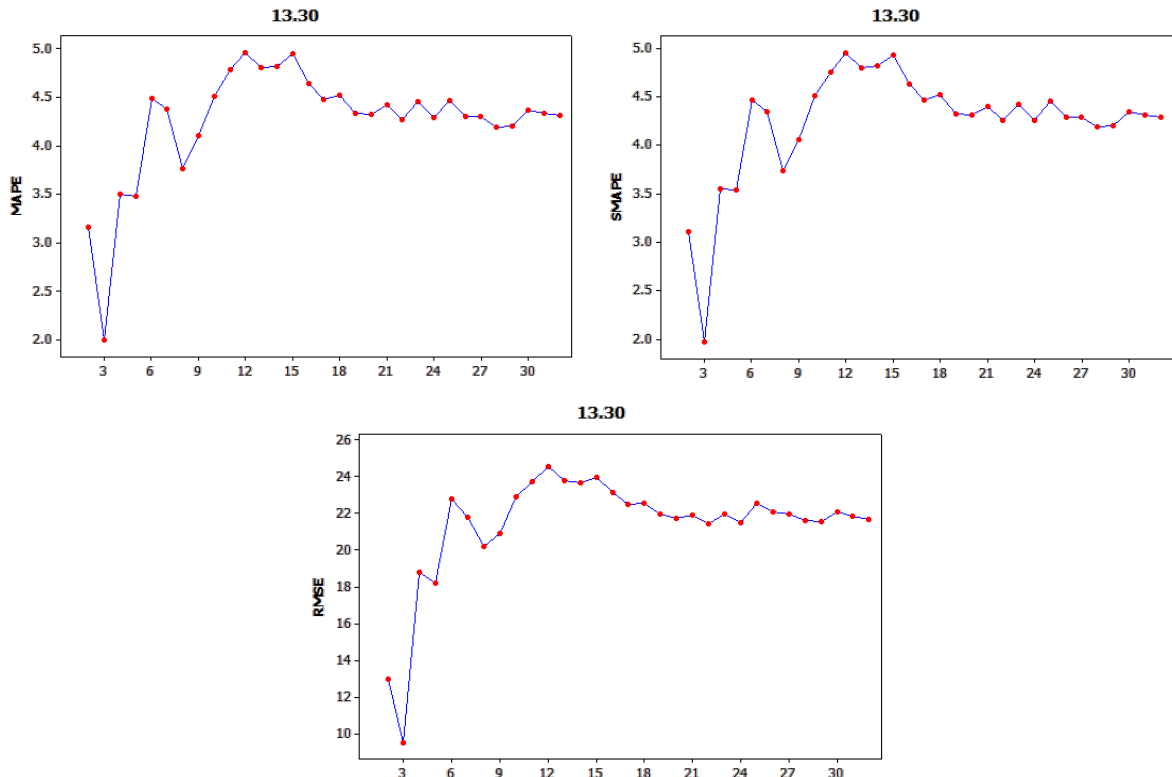


**Gambar 4.33.** Grafik hasil MAPE, SMAPE, dan RMSE dengan metode MLP untuk subsistem Kediri pukul 13.30

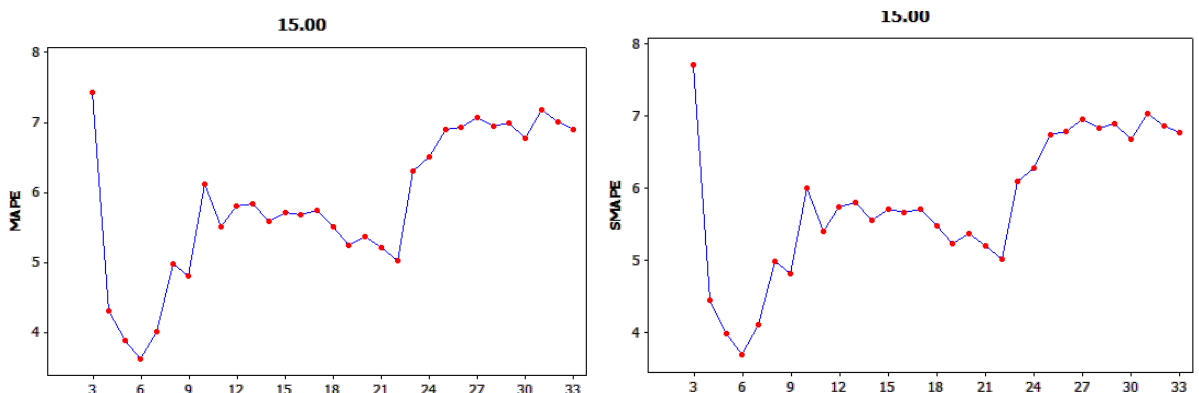


**Gambar 4.34.** Grafik hasil MAPE, SMAPE, dan RMSE dengan metode MLP untuk subsistem Paiton pukul 13.30.

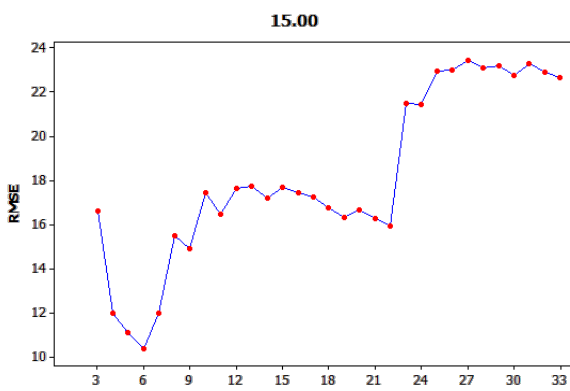
Selanjutnya adalah subsistem Ngimbang pukul 13.30, dimana hasil ramalan pada Gambar 4.35 menunjukkan hasil yang cukup baik, dimana dari tanggal 1 hingga tanggal 31 *error* MAPE dan SMAPE kurang dari 5%. Kemudian untuk subsitsem Krian pukul 15.00 bisa dilihat di Gambar 4.36, menunjukkan hasil yang bagus hasilnya untuk hari ke 2 hingga hari ke 9.



**Gambar 4.35.** Grafik hasil MAPE, SMAPE, dan RMSE dengan metode MLP  
untuk subsistem Ngimbang pukul 13.30



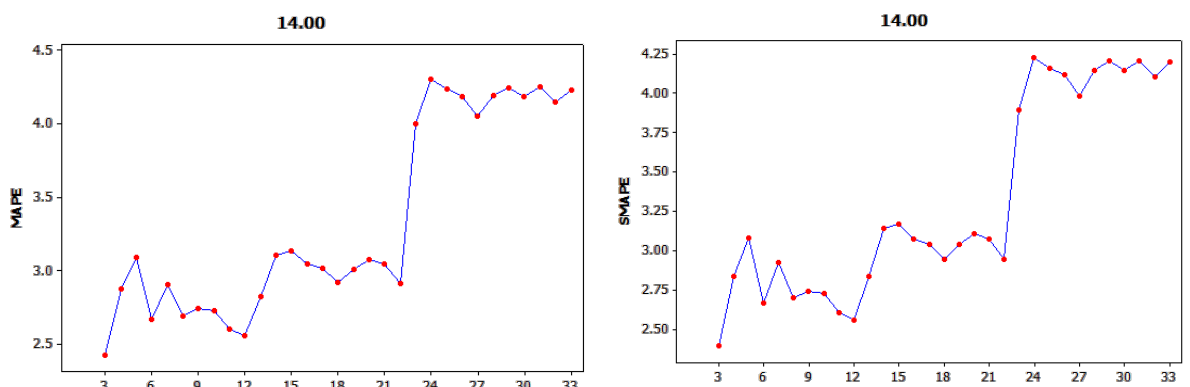
**Gambar 4.36.** Grafik hasil MAPE, SMAPE, dan RMSE dengan metode MLP  
untuk subsistem Krian pukul 15.00



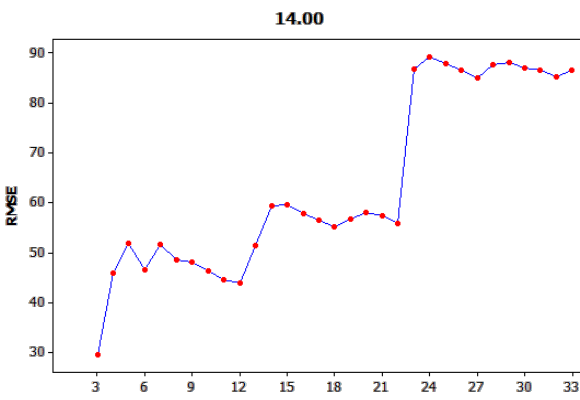
**Gambar 4.36:** Lanjutan

Selanjutnya adalah subsistem Krian-Gresik pukul 14.00 biasa dilihat secara visual pada Gambar 4.37, dimana hasil ramalannya menunjukkan hasil cukup baik dari hari ke 1 hingga hari ke 31. Untuk subsistem lainnya bisa dilihat di Lampiran 63. Dari hasil Lampiran 63 tersebut dapat disimpulkan bahwa model yang dihasilkan dari subsistem Krian-Gresik pukul 15.00 dan 22.30, Kediri pukul 18.30 dan 05.30, Krian 11.00 dan 23.00, dan Paiton pukul 22.30 hasil ramalan tidak terlalu bagus, karena *error* yang dihasilkan lebih dari 5%.

Sedangkan untuk subsistem Ngimbang pukul 19.30 menunjukkan hasil ramalan yang bagus dari hari ke 4 hingga ke 31, begitu juga dengan Ngimbang pukul 22.30 hasil ramalan bagus dari hari ke 1 hingga hari ke 31. Untuk subsistem Paiton pukul 18.30 menunjukkan hasil yang bagus dari hari ke 1 hingga hari ke 24. Untuk



**Gambar 4.37.** Grafik hasil MAPE, SMAPE, dan RMSE dengan metode MLP untuk subsistem Krian-Gresik pukul 14.00



Gambar 4.36: Lanjutan

#### 4.4 Peramalan Konsumsi Beban Listrik Setiap Subsistem di Jawa Timur

##### Menggunakan Metode Hibrida ARIMA dan MLP

Residual yang dihasilkan dari proses peramalan ARIMA, maka nilai tersebut yang nantinya akan digunakan sebagai nilai *input* dari proses peramalan MLP. Kemudian hasil dari peramalan MLP dan ARIMA tersebut digaungkan menjadi satu. Sehingga hasil akhir dari peramalan merupakan gabungan hasil peramalan dari proses ARIMA dan peramalan dari proses MLP. Untuk prosedur peralaman MLP, sesuai dengan prosedur yang dilakukan pada Subbab (4.3). Pada peramalan konsumsi beban listrik dengan metode MLP dalam penelitian ini, akan dilakukan percobaan dengan menggunakan jumlah unit neuron di lapisan tersembunyi maksimal 10 neuron, dan satu lapisan tersembunyi, dengan satu lapisan *output* dan satu neuron *output* di lapisan *output*. Kemudian ditambahkan juga masing-masing satu neuron bias di lapisan tersembunyi dan lapisan *output* yang angka konstan 1. Mula-mula bobot pada setiap neuron *input* di random antara 0 sampai 1. Kemudian dilakukan proses *feedforward* sampai didapatkan nilai pada *output* neuron di lapisan *output*. Untuk setiap neuron digunakan fungsi aktivasi *bipolar sigmoid*. Setelah itu dilakukan proses *backpropagation* yang berguna untuk memperbarui nilai bobot pada setiap neuron. Langkah tersebut dilakukan sampai semua *input* dieksekusi dan dihasilkan model peramalan yang paling maksimal. Berdasarkan hasil percobaan di setiap model yang ada pada setiap subsistem dari metode hibrida ARIMA dan MLP dengan menggunakan jumlah neuron di lapisan tersembunyi dari yang berjumlah 1 hingga 10, hasilnya sesuai dengan Lampiran 51 hingga Lampiran 60 menunjukkan bahwa, setiap neuron yang berbeda menghasilkan nilai MAPE, RMSE, dan SMAPE yang berbeda juga. Tabel 4.30 merupakan hasil percobaan hibrida ARIMA dan MLP untuk subsistem Krian-Gresik pukul 14.00.

**Tabel 4.30.** Hasil percobaan Hibrida ARIMA dan MLP untuk subsistem Krian-Gresik pukul 14.00

	<i>Input</i> Berdasarkan Las AR	Jumlah Neuron di <i>Hidden Layer</i>	MAPE	RMSE	SMAPE
<i>In sample</i>	1, 7, 8	1	7,615	120,671	5,977
<i>Out sample</i>	1, 7, 8	1	2,762	67,083	2,702
<i>In sample</i>	1, 7, 8	2	7,492	120,643	5,978
<i>Out sample</i>	1, 7, 8	2	2,781	67,303	2,724
<i>In sample</i>	1, 7, 8	3	7,355	120,537	5,978
<i>Out sample</i>	1, 7, 8	3	2,806	67,500	2,751
<i>In sample</i>	1, 7, 8	4	7,244	120,479	5,976
<i>Out sample</i>	1, 7, 8	4	2,796	67,394	2,740
<i>In sample</i>	1, 7, 8	5	7,234	120,598	5,987
<i>Out sample</i>	1, 7, 8	5	2,833	67,785	2,781
<i>In sample</i>	1, 7, 8	6	6,992	119,975	5,949
<i>Out sample</i>	1, 7, 8	6	2,891	68,390	2,844
<i>In sample</i>	1, 7, 8	7	7,503	120,605	5,987
<i>Out sample</i>	1, 7, 8	7	2,827	67,706	2,773
<i>In sample</i>	1, 7, 8	8	7,526	120,187	5,972
<i>Out sample</i>	1, 7, 8	8	2,871	68,183	2,822
<i>In sample</i>	1, 7, 8	9	7,089	120,087	5,951
<i>Out sample</i>	1, 7, 8	9	2,875	68,255	2,826
<i>In sample</i>	1, 7, 8	10	6,747	119,698	5,959
<i>Out sample</i>	1, 7, 8	10	2,952	68,969	2,909

Dari Tabel 4.30 hasil percobaan pada subsistem Krian-Gresik pukul 14.00 didapatkan model hibrida ARIMA & MLP yang paling optimal berdasarkan data *out sample* terdapat di model NN(3,1,1) dengan *error* MAPE sebesar 2,762% , SMAPE sebesar 2,702%, dan RMSE sebesar 67,083%. Hasil percobaan di subsistem Ngimbang pukul 13.30 model terbaiknya berarsitektur NN(3,8,1) dengan *error* MAPE sebesar 13,147%, SMAPE sebesar 14,190%, dan RMSE sebesar 60,394%. Hasil percobaan di subsistem Ngimbang pukul 13.30 dapat dilihat di Tabel 4.31.

**Tabel 4.31.** Hasil percobaan Hibrida ARIMA dan MLP untuk subsistem Ngimbang pukul 13.30

	<i>Input</i> Berdasarkan Lag AR	Jumlah Neuron di <i>Hidden Layer</i>	MAPE	RMSE	SMAPE
<i>In sample</i>	1, 7, 8	1	4,167	19,720	4,155
<i>Out sample</i>	1, 7, 8	1	13,831	63,081	14,975
<i>In sample</i>	1, 7, 8	2	4,179	19,744	4,161
<i>Out sample</i>	1, 7, 8	2	13,774	62,858	14,910
<i>In sample</i>	1, 7, 8	3	4,179	19,723	4,157
<i>Out sample</i>	1, 7, 8	3	13,674	62,452	14,793
<i>In sample</i>	1, 7, 8	4	4,170	19,697	4,150

**Tabel 4.31:** Lanjutan

	<i>Input</i> Berdasarkan Lag AR	Jumlah Neuron di <i>Hidden Layer</i>	MAPE	RMSE	SMAPE
<i>Out sample</i>	1, 7, 8	4	13,536	61,938	14,636
<i>In sample</i>	1, 7, 8	5	4,191	19,763	4,163
<i>Out sample</i>	1, 7, 8	5	13,463	61,620	14,551
<i>In sample</i>	1, 7, 8	6	4,193	19,753	4,159
<i>Out sample</i>	1, 7, 8	6	13,287	60,962	14,351
<i>In sample</i>	1, 7, 8	7	4,213	19,819	4,176
<i>Out sample</i>	1, 7, 8	7	13,253	60,805	14,311
<i>In sample</i>	1, 7, 8	8	4,228	19,898	4,188
<i>Out sample</i>	1, 7, 8	8	13,147	60,394	14,190
<i>In sample</i>	1, 7, 8	9	4,218	19,836	4,174
<i>Out sample</i>	1, 7, 8	9	13,188	60,573	14,238
<i>In sample</i>	1, 7, 8	10	4,239	19,941	4,190
<i>Out sample</i>	1, 7, 8	10	13,185	60,516	14,232

Hasil percobaan yang sudah dilakukan di subsistem Krian pukul 15.00 menunjukkan bahwa NN(3,6,1) menghasilkan hasil yang paling optimal dengan nilai *error* MAPE sebesar 7,914%, SMAPE sebesar 7,997%, dan RMSE sebesar 24,692%. Hasil percobaan dapat dilihat di Tabel 4.32. Sedangkan untuk subsistem Kediri pukul 13.30 hasil maksimal diperoleh dari NN(3,4,1) dengan *error* MAPE 27,350%, SMAPE sebesar 32,780%, dan RMSE sebesar 278,603%. Hasil percobaan untuk subsistem Kediri pukul 13.30 dapat dilihat di Tabel 4.33.

**Tabel 4.32.** Hasil percobaan Hibrida ARIMA dan MLP untuk subsistem Krian pukul 15.00

	<i>Input</i> Berdasarkan Lag AR	Jumlah Neuron di <i>Hidden Layer</i>	MAPE	RMSE	SMAPE
<i>In sample</i>	1, 7, 8	1	6,267	24,401	6,241
<i>Out sample</i>	1, 7, 8	1	7,993	25,316	8,102
<i>In sample</i>	1, 7, 8	2	6,256	24,393	6,234
<i>Out sample</i>	1, 7, 8	2	8,014	25,437	8,131
<i>In sample</i>	1, 7, 8	3	6,247	24,384	6,222
<i>Out sample</i>	1, 7, 8	3	7,977	25,247	8,082
<i>In sample</i>	1, 7, 8	4	6,233	24,346	6,209
<i>Out sample</i>	1, 7, 8	4	7,931	25,045	8,020
<i>In sample</i>	1, 7, 8	5	6,250	24,396	6,227
<i>Out sample</i>	1, 7, 8	5	7,960	25,227	8,065
<i>In sample</i>	1, 7, 8	6	6,230	24,342	6,202
<i>Out sample</i>	1, 7, 8	6	7,914	24,962	7,997
<i>In sample</i>	1, 7, 8	7	6,247	24,385	6,219
<i>Out sample</i>	1, 7, 8	7	7,924	25,037	8,015
<i>In sample</i>	1, 7, 8	8	6,250	24,373	6,219

**Tabel 4.32:** Lanjutan

	<i>Input</i> Berdasarkan Lag AR	Jumlah Neuron di <i>Hidden Layer</i>	MAPE	RMSE	SMAPE
<i>Out sample</i>	1, 7, 8	8	7,918	24,968	8,001
<i>In sample</i>	1, 7, 8	9	6,242	24,376	6,211
<i>Out sample</i>	1, 7, 8	9	7,934	25,066	8,026
<i>In sample</i>	1, 7, 8	10	6,239	24,386	6,221
<i>Out sample</i>	1, 7, 8	10	7,999	25,384	8,114

**Tabel 4.33.** Hasil percobaan Hibrida ARIMA dan MLP untuk subsistem Kediri pukul 13.30

	<i>Input</i> Berdasarkan Lag AR	Jumlah Neuron di <i>Hidden Layer</i>	MAPE	RMSE	SMAPE
<i>In sample</i>	1, 7, 8	1	109,332	77,443	13,487
<i>Out sample</i>	1, 7, 8	1	27,388	278,824	32,828
<i>In sample</i>	1, 7, 8	2	109,181	77,502	13,506
<i>Out sample</i>	1, 7, 8	2	27,394	278,855	32,836
<i>In sample</i>	1, 7, 8	3	109,303	77,387	13,476
<i>Out sample</i>	1, 7, 8	3	27,411	279,089	32,864
<i>In sample</i>	1, 7, 8	4	109,998	77,386	13,456
<i>Out sample</i>	1, 7, 8	4	27,350	278,603	32,780
<i>In sample</i>	1, 7, 8	5	109,543	77,410	13,497
<i>Out sample</i>	1, 7, 8	5	27,554	280,353	33,067
<i>In sample</i>	1, 7, 8	6	108,602	77,251	13,450
<i>Out sample</i>	1, 7, 8	6	27,606	280,873	33,144
<i>In sample</i>	1, 7, 8	7	109,788	77,265	13,497
<i>Out sample</i>	1, 7, 8	7	27,673	281,367	33,235
<i>In sample</i>	1, 7, 8	8	110,216	77,382	13,497
<i>Out sample</i>	1, 7, 8	8	27,652	281,272	33,209
<i>In sample</i>	1, 7, 8	9	110,166	77,276	13,455
<i>Out sample</i>	1, 7, 8	9	27,712	281,772	33,293
<i>In sample</i>	1, 7, 8	10	109,121	77,437	13,539
<i>Out sample</i>	1, 7, 8	10	27,934	283,708	33,608

Sedangkan untuk subsistem Paiton pukul 13.30 dihasilkan model terbaik dengan struktur NN(3,9,1) dengan *error* MAPE 8,058%, SMAPE 6,765%, dan RMSE sebesar 143,247%. Hasil dari percobaan tersebut dapat dilihat di Tabel 4.34.

**Tabel 4.34.** Hasil percobaan Hibrida ARIMA dan MLP untuk subsistem Paiton pukul 13.30

	<i>Input</i> Berdasarkan Lag AR	Jumlah Neuron di <i>Hidden Layer</i>	MAPE	RMSE	SMAPE
<i>In sample</i>	1, 7, 8	1	3,720	51,248	3,743
<i>Out sample</i>	1, 7, 8	1	8,126	143,726	6,815
<i>In sample</i>	1, 7, 8	2	3,713	51,270	3,733

**Tabel 4.34:** Lanjutan

	<i>Input Berdasarkan Lag AR</i>	Jumlah Neuron di <i>Hidden Layer</i>	MAPE	RMSE	SMAPE
<i>Out sample</i>	1, 7, 8	2	8,106	143,613	6,799
<i>In sample</i>	1, 7, 8	3	3,698	51,052	3,703
<i>Out sample</i>	1, 7, 8	3	8,101	143,555	6,797
<i>In sample</i>	1, 7, 8	4	3,718	51,085	3,747
<i>Out sample</i>	1, 7, 8	4	8,113	143,598	6,803
<i>In sample</i>	1, 7, 8	5	3,732	51,280	3,766
<i>Out sample</i>	1, 7, 8	5	8,094	143,526	6,790
<i>In sample</i>	1, 7, 8	6	3,675	50,732	3,675
<i>Out sample</i>	1, 7, 8	6	8,086	143,427	6,784
<i>In sample</i>	1, 7, 8	7	3,736	51,175	3,782
<i>Out sample</i>	1, 7, 8	7	8,096	143,507	6,791
<i>In sample</i>	1, 7, 8	8	3,741	51,197	3,792
<i>Out sample</i>	1, 7, 8	8	8,093	143,488	6,789
<i>In sample</i>	1, 7, 8	9	3,571	49,838	3,564
<i>Out sample</i>	1, 7, 8	9	8,058	143,247	6,765
<i>In sample</i>	1, 7, 8	10	3,641	50,385	3,622
<i>Out sample</i>	1, 7, 8	10	8,067	143,311	6,775

Dari hasil percobaan yang sudah dilakukan terhadap model-model lain, didapatkan hasil model maksimal berdasarkan *out sample* dari setiap subsistem, hasil tersebut dapat dilihat di Tabel 4.35. Sehingga dari model-model terbaik tersebut dapat dibangun arsitektur hibrida ARIMA & MLP sesuai dengan Tabel 4.35.

**Tabel 4.35.** Hasil model terbaik untuk metode hibrida ARIMA dan MLP disetiap subsistem.

Subsistem	Pukul	<i>Input Berdasarkan Las AR</i>	Jumlah Neuron <i>Hidden Layer</i>	MAPE	RMSE	SMAPE
Krian	11.00	1, 2, 3, 7, 8, 9, 10, 14, 21, 22, 28, 29, 35, 36, 42, 43	4	11,582	37,992	12,410
	15.00	1, 7, 8	6	7,914	24,962	7,997
	23.00	1, 2, 8, 9	9	6,360	21,793	6,604
Krian-Gresik	14.00	1, 7, 8	1	2,762	67,082	2,702
	15.00	1, 2, 7, 8, 9, 14, 15, 16, 21, 22, 28, 29	9	4,955	93,464	4,879
	22.30	1, 7, 8	9	6,748	139,512	6,198
Ngimbang	13.30	1, 7, 8	8	13,147	60,394	14,190
	19.30	1, 7, 8	10	8,536	46,179	8,991
	22.30	1, 7, 8	10	27,200	119,900	31,570
Paiton	13.30	1, 7, 8	9	8,058	143,247	6,765
	18.30	1, 7, 8	1	23,056	354,113	25,241
	22.30	1, 7, 8	5	8,607	148,724	6,872
Kediri	13.30	1, 7, 8	4	27,350	278,603	32,780
	18.30	1, 7, 8	10	18,152	219,744	20,502
	05.30	1, 7, 8	10	9,909	90,604	9,095

**Tabel 4.36.** Arsitektur model hibrida ARIMA dan MLP

Subsistem	Waktu yang dimodelkan	Arsitektur Hibrida ARIMA & MLP
Krian	11.00	NN(16,4,1)
	15.00	NN(3,6,1)
	23.00	NN(4,9,1)
Krian-Gresik	14.00	NN(3,1,1)
	15.00	NN(12,9,10)
	22.30	NN(3,9,1)
Ngimbang	13.30	NN(3,8,1)
	19.30	NN(3,10,1)
	22.30	NN(3,10,1)
Paiton	13.30	NN(3,9,1)
	18.30	NN(3,1,1)
	22.30	NN(3,5,1)
Kediri	13.30	NN(3,4,1)
	18.30	NN(3,10,1)
	05.30	NN(3,10,1)

Berdasarkan Tabel 4.35, diketahui bahwa arsitektur dari model Krian-Gresik pukul 14.00 mempunyai tiga neuron di lapisan *input*, 1 neuron di lapisan tersembunyi, dan 1 neuron di lapisan *output*. Kemudian nilai bobot dan bias pada metode hibrida ARIMA & MLP untuk subsistem Krian-Gresik pukul 14.00 yang dihasilkan, dapat dilihat secara visual di Tabel 4.37.

**Tabel 4.37.** Nilai bobot dan bias metode hibrida ARIMA & MLP subsistem

## Krian-Gresik pukul 14.00

Model	Nilai Bobot		
Krian-Gresik	$\beta_{11}$ : -0,853	$\beta_{12}$ : 1,361	$\beta_{13}$ : 2,247
	$B_1$ : -0,730		
	$\alpha_{11}$ : 0,879	$\alpha_{21}$ : 1,242	

Secara matematis persamaan model untuk subsistem Krian-Gresik 14.00, dapat ditulis sebagai berikut.

$$\hat{Z}_t = 1,242 + 0,879f^{(h_{1,t})}$$

Dengan,

$$f^{(h_{1,t})} = \frac{2}{1 + e^{-(h_{1,t})}} - 1;$$

$$h_{1,t} = -0,730 - 0,853Y_{t-1} + 1,361Y_{t-7} + 2,247Y_{t-8}$$

Model disubsistem Krian pukul 15.00 dihasilkan nilai bobot dan bias sesuai dengan Tabel 4.38. Terdapat 3 *input* neuron dan 6 neuron di lapisan tersembunyi, dengan 1 neuron di lapisan *output*.

**Tabel 4.38.** Nilai bobot dan bias metode hibrida ARIMA & MLP subsistem Krian pukul 15.00

Model	Nilai Bobot		
	$\beta_{11}: 0,251$	$\beta_{12}: 1,370$	$\beta_{13}: -0,571$
Krian 15.00	$\beta_{21}: -0,819$	$\beta_{22}: -0,417$	$\beta_{23}: 0,912$
	$\beta_{31}: 0,576$	$\beta_{32}: -0,181$	$\beta_{33}: -0,729$
	$\beta_{41}: -0,356$	$\beta_{42}: -0,822$	$\beta_{43}: 1,180$
	$\beta_{51}: 0,574$	$\beta_{52}: 0,739$	$\beta_{53}: 0,075$
	$\beta_{61}: 0,670$	$\beta_{62}: 0,448$	$\beta_{63}: 1,098$
	$B_1: 0,341$	$B_2: 0,112$	$B_3: 0,283$
	$B_4: 0,426$	$B_5: 0,311$	$B_6: -0,937$
	$\alpha_{11}: -0,283$	$\alpha_{12}: 0,146$	$\alpha_{13}: 0,583$
	$\alpha_{14}: 0,291$	$\alpha_{15}: 0,529$	$\alpha_{16}: 0,866$
	$\alpha_{21}: 0,868$		

Berdasarkan nilai bobot dan bias pada Tabel 4.38, secara sistematis maka persamaan dari model tersebut yaitu

$$\widehat{Z}_t = 0,868 - 0,283f^{(h_{1,t})} + 0,146f^{(h_{2,t})} + 0,583f^{(h_{3,t})} + 0,291f^{(h_{4,t})} + \\ 0,529f^{(h_{5,t})} + 0,866f^{(h_{6,t})}$$

Dengan,

$$f^{(h_{1,t})} = \frac{2}{1 + e^{-(h_{1,t})}} - 1; f^{(h_{2,t})} = \frac{2}{1 + e^{-(h_{2,t})}} - 1; \dots;$$

$$f^{(h_{6,t})} = \frac{2}{1 + e^{-(h_{6,t})}} - 1$$

$$h_{1,t} = 0,341 + 0,251Y_{t-1} + 1,370Y_{t-7} - 0,571Y_{t-8}$$

$$h_{2,t} = 0,112 - 0,819Y_{t-1} - 0,417Y_{t-7} + 0,912Y_{t-8}$$

$$h_{3,t} = 0,283 + 0,576Y_{t-1} - 0,181Y_{t-7} - 0,729Y_{t-8}$$

$$h_{4,t} = 0,426 - 0,356Y_{t-1} - 0,822Y_{t-7} + 1,180Y_{t-8}$$

$$h_{5,t} = 0,311 + 0,574Y_{t-1} + 0,739Y_{t-7} + 0,075Y_{t-8}$$

$$h_{6,t} = -0,937 + 0,670Y_{t-1} + 0,448Y_{t-7} + 1,098Y_{t-8}$$

Selanjutnya adalah model disubsistem Ngimbang pukul 13.30, terdapat 3 neuron di *input layer*, 8 neuron di *hidden layer*, dan 1 neuron di lapisan *output layer*. Hasil dari bobot dan bias dari model tersebut dapat dilihat di Tabel 4.39.

**Tabel 4.39.** Nilai bobot dan bias metode hibrida ARIMA & MLP subsistem

Ngimbang pukul 13.30

Model	Nilai Bobot		
	$\beta_{11}: 0,294$	$\beta_{12}: 0,245$	$\beta_{13}: 0,241$
Ngimbang 13.30	$\beta_{21}: -0,133$	$\beta_{22}: 1,198$	$\beta_{23}: 0,637$
	$\beta_{31}: 3,080$	$\beta_{32}: -0,892$	$\beta_{33}: -0,131$
	$\beta_{41}: 1,370$	$\beta_{42}: -0,824$	$\beta_{43}: 0,926$
	$\beta_{51}: 2,582$	$\beta_{52}: 1,155$	$\beta_{53}: 0,494$
	$\beta_{61}: 0,614$	$\beta_{62}: 0,480$	$\beta_{63}: 0,834$
	$\beta_{71}: 0,214$	$\beta_{72}: -0,266$	$\beta_{73}: 0,413$
	$\beta_{81}: 2,123$	$\beta_{82}: 1,123$	$\beta_{83}: -1,327$
	$B_1: -0,273$	$B_2: 1,099$	$B_3: -1,068$
	$B_4: 0,587$	$B_5: -1,321$	$B_6: -0,069$
	$B_7: -0,106$	$B_8: 0,323$	

**Tabel 4.39:** Lanjutan

Model	Nilai Bobot		
Ngimbang	$\alpha_{11}: 0,223$	$\alpha_{12}: 0,919$	$\alpha_{13}: 0,965$
13.30	$\alpha_{14}: 0,259$	$\alpha_{15}: 0,084$	$\alpha_{16}: 0,511$
	$\alpha_{17}: -0,016$	$\alpha_{18}: -0,100$	$\alpha_{21}: 1,416$

Secara sistem maka persamaan untuk model tersebut adalah

$$\hat{Z}_t = 1,416 + 0,223f^{(h_{1,t})} + 0,919f^{(h_{2,t})} + 0,965f^{(h_{3,t})} + 0,259f^{(h_{4,t})} + \\ 0,084f^{(h_{5,t})} + 0,511f^{(h_{6,t})} - 0,016f^{(h_{7,t})} - 0,100f^{(h_{8,t})}$$

Dengan,

$$f^{(h_{1,t})} = \frac{2}{1 + e^{-(h_{1,t})}} - 1; f^{(h_{2,t})} = \frac{2}{1 + e^{-(h_{2,t})}} - 1; \dots; f^{(h_{8,t})} = \frac{2}{1 + e^{-(h_{8,t})}} - 1$$

$$h_{1,t} = -0,273 + 0,294Y_{t-1} + 0,245Y_{t-7} + 0,241Y_{t-8}$$

$$h_{2,t} = 1,099 - 0,133Y_{t-1} + 1,198Y_{t-7} + 0,637Y_{t-8}$$

$$h_{3,t} = -1,068 + 3,080Y_{t-1} - 0,892Y_{t-7} - 0,131Y_{t-8}$$

$$h_{4,t} = 0,587 + 1,370Y_{t-1} - 0,824Y_{t-7} + 0,926Y_{t-8}$$

$$h_{5,t} = -1,321 + 2,582Y_{t-1} + 1,155Y_{t-7} + 0,494Y_{t-8}$$

$$h_{6,t} = -0,069 + 0,614Y_{t-1} + 0,480Y_{t-7} + 0,834Y_{t-8}$$

$$h_{7,t} = -0,106 + 0,214Y_{t-1} - 0,266Y_{t-7} + 0,413Y_{t-8}$$

$$h_{8,t} = 0,323 + 2,123Y_{t-1} + 1,123Y_{t-7} - 1,327Y_{t-8}$$

Model disubsistem Kediri pukul 13.30 memiliki 3 neuron di *input layer*, 4 neuron di *hidden layer*, dan 1 neuron di *output layer*. Hasil dari nilai bobot dan bias dapat dilihat di Tabel 4.40.

**Tabel 4.40:** Nilai bobot dan bias metode hibrida ARIMA & MLP subsistem

Kediri pukul 13.30

Model	Nilai Bobot		
Kediri	$\beta_{11}: 0,388$	$\beta_{12}: 0,172$	$\beta_{13}: 1,110$
13.30	$\beta_{21}: -1,035$	$\beta_{22}: -0,642$	$\beta_{23}: 0,288$
	$\beta_{31}: 0,487$	$\beta_{32}: -0,743$	$\beta_{33}: -0,727$
	$\beta_{41}: -0,629$	$\beta_{42}: -0,664$	$\beta_{43}: 0,860$
	$B_1: 0,532$	$B_2: 0,438$	$B_3: 0,077$
	$B_4: -0,431$		
	$\alpha_{11}: 0,363$	$\alpha_{12}: 0,149$	$\alpha_{13}: 0,395$
	$\alpha_{14}: 0,616$	$\alpha_{21}: 0,412$	

Secara sistematis maka persamaanya adalah

$$\hat{Z}_t = 0,412 + 0,363f^{(h_{1,t})} + 0,149f^{(h_{2,t})} + 0,395f^{(h_{3,t})} + 0,616f^{(h_{4,t})}$$

Dengan,

$$f^{(h_{1,t})} = \frac{2}{1 + e^{-(h_{1,t})}} - 1; f^{(h_{2,t})} = \frac{2}{1 + e^{-(h_{2,t})}} - 1; \dots; f^{(h_{4,t})} = \frac{2}{1 + e^{-(h_{4,t})}} - 1$$

$$h_{1,t} = 0,532 + 0,388Y_{t-1} + 0,172Y_{t-7} + 1,110Y_{t-8}$$

$$h_{2,t} = 0,438 - 1,035Y_{t-1} - 0,642Y_{t-7} + 0,288Y_{t-8}$$

$$h_{3,t} = 0,077 + 0,487Y_{t-1} - 0,743Y_{t-7} - 0,727Y_{t-8}$$

$$h_{4,t} = -0,431 - 0,629Y_{t-1} - 0,664Y_{t-7} + 0,860Y_{t-8}$$

Model Paiton pukul 13.30 memiliki 3 neuron di *input layer*, 9 neuron di *hidden layer*, dan 1 neuron di *output layer*. Hasil dari nilai bobot dan bias dari model tersebut dapat dilihat di Tabel 4.41.

**Tabel 4.41.** Nilai bobot dan bias metode hibrida ARIMA & MLP subsistem

Paiton pukul 13.30

Model	Nilai Bobot		
Paiton 13.30	$\beta_{11}: 0,118$	$\beta_{12}: 0,639$	$\beta_{13}: 0,401$
	$\beta_{21}: -1,735$	$\beta_{22}: 0,175$	$\beta_{23}: 1,579$
	$\beta_{31}: 2,387$	$\beta_{32}: -0,757$	$\beta_{33}: -0,254$
	$\beta_{41}: 0,229$	$\beta_{42}: -0,572$	$\beta_{43}: 1,808$
	$\beta_{51}: 0,702$	$\beta_{52}: 0,928$	$\beta_{53}: 0,300$
	$\beta_{61}: 0,672$	$\beta_{62}: 0,628$	$\beta_{63}: 0,955$
	$\beta_{71}: 0,330$	$\beta_{72}: 0,006$	$\beta_{73}: 0,654$
	$\beta_{81}: 0,102$	$\beta_{82}: -0,884$	$\beta_{83}: -0,785$
	$\beta_{91}: 0,104$	$\beta_{92}: 0,773$	$\beta_{93}: 0,339$
	$B_1: -0,849$	$B_2: -0,591$	$B_3: -1,178$
	$B_4: 1,219$	$B_5: 0,154$	$B_6: 0,567$
	$B_7: -0,585$	$B_8: -0,191$	$B_9: 0,554$
	$\alpha_{11}: 0,908$	$\alpha_{12}: 0,698$	$\alpha_{13}: 0,815$
	$\alpha_{14}: 0,734$	$\alpha_{15}: 0,872$	$\alpha_{16}: 0,815$
	$\alpha_{17}: 0,925$	$\alpha_{18}: 0,858$	$\alpha_{19}: 1,185$
	$\alpha_{21}: 1,018$		

Secara sistematis, maka persamaannya adalah

$$\widehat{Z}_t = 1,018 + 0,908f^{(h_{1,t})} + 0,698f^{(h_{2,t})} + 0,815f^{(h_{3,t})} + 0,734f^{(h_{4,t})} + \\ 0,872f^{(h_{5,t})} + 0,815f^{(h_{6,t})} + 0,925f^{(h_{7,t})} + 0,858f^{(h_{8,t})} + 1,185f^{(h_{9,t})}$$

Dengan,

$$f^{(h_{1,t})} = \frac{2}{1 + e^{-(h_{1,t})}} - 1; f^{(h_{2,t})} = \frac{2}{1 + e^{-(h_{2,t})}} - 1; \dots; f^{(h_{9,t})} = \frac{2}{1 + e^{-(h_{9,t})}} - 1$$

$$h_{1,t} = -0,849 + 0,118Y_{t-1} + 0,639Y_{t-7} + 0,401Y_{t-8}$$

$$h_{2,t} = -0,591 - 1,735Y_{t-1} + 0,175Y_{t-7} + 1,579Y_{t-8}$$

$$h_{3,t} = -1,178 + 2,387Y_{t-1} - 0,757Y_{t-7} - 0,254Y_{t-8}$$

$$h_{4,t} = 1,219 + 0,229Y_{t-1} - 0,572Y_{t-7} + 1,808Y_{t-8}$$

$$h_{5,t} = 0,154 + 0,702Y_{t-1} + 0,928Y_{t-7} + 0,300Y_{t-8}$$

$$h_{6,t} = 0,567 + 0,672Y_{t-1} + 0,628Y_{t-7} + 0,955Y_{t-8}$$

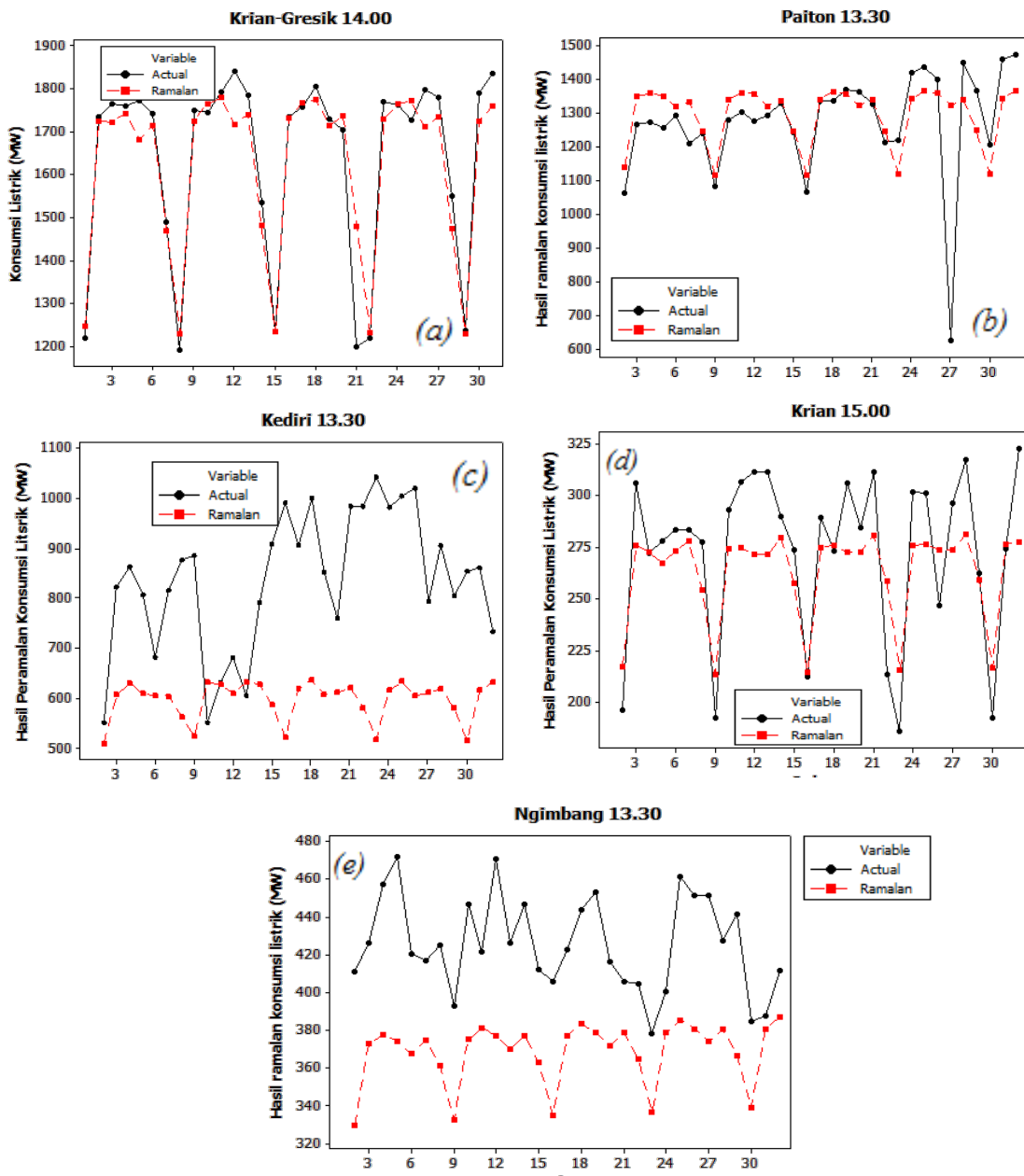
$$h_{7,t} = -0,585 + 0,330Y_{t-1} + 0,006Y_{t-7} + 0,654Y_{t-8}$$

$$h_{8,t} = -0,191 + 0,102Y_{t-1} - 0,884Y_{t-7} - 0,785Y_{t-8}$$

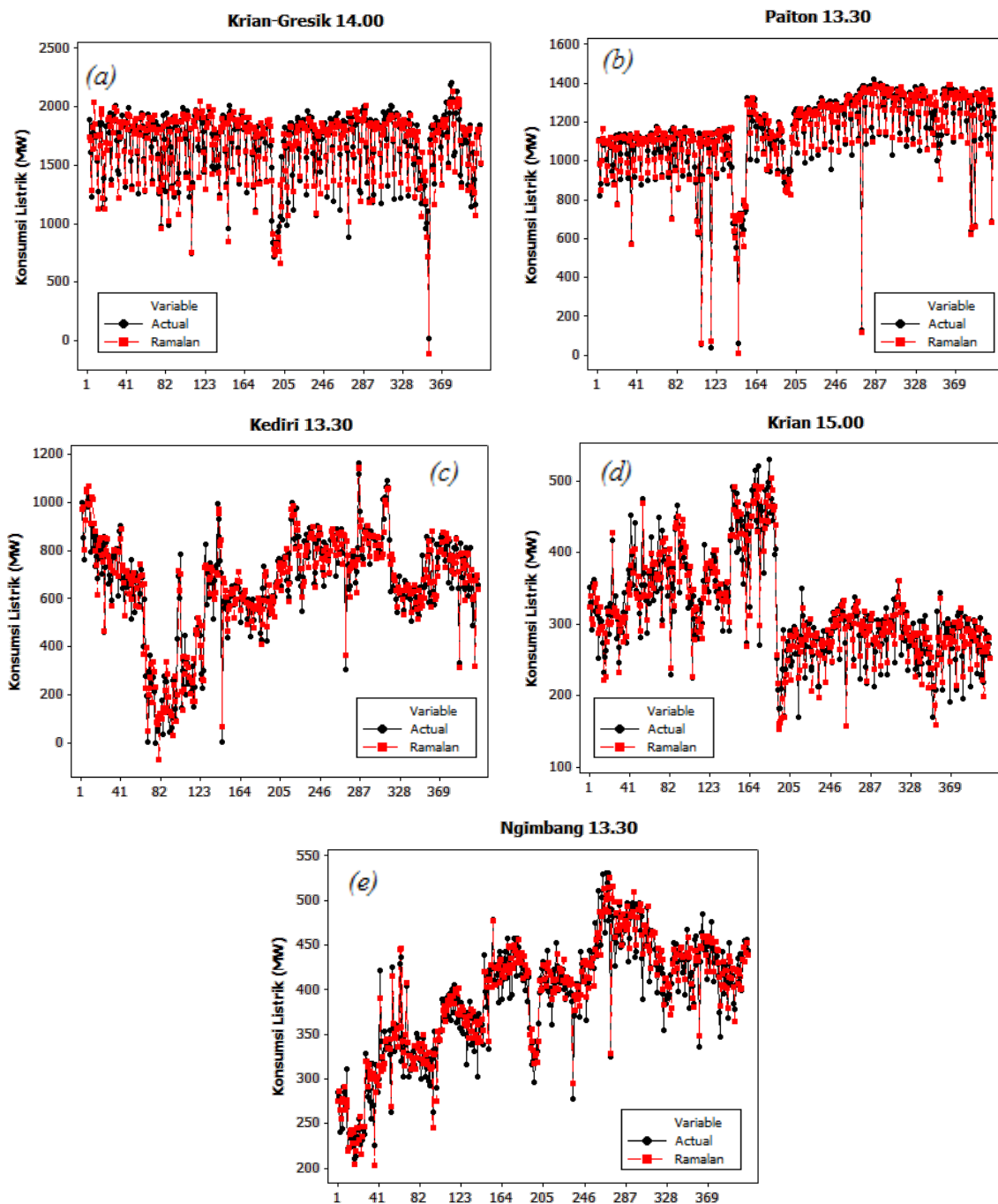
$$h_{9,t} = 0,554 + 0,104Y_{t-1} + 0,773Y_{t-7} + 0,339Y_{t-8}$$

Dengan analisis yang sama, dan langkah-langkah pengerjaan yang sama. Maka hasil dari analisis untuk model disubsistem yang lainnya dapat dilihat di Lampiran 69 dan Lampiran 70. Langkah selanjutnya adalah melakukan analisis mengenai hasil ramalan dari metode hibrida ARIMA & MLP disetiap subsistem. Untuk hasil peramalan berdasarkan *out sample* dapat dilihat di *time series plot*

yang ditunjukkan pada Gambar 4.38. Sedangkan untuk perbandingan hasil ramalan berdasarkan data *in sample* ditunjukkan pada Gambar 4.39.

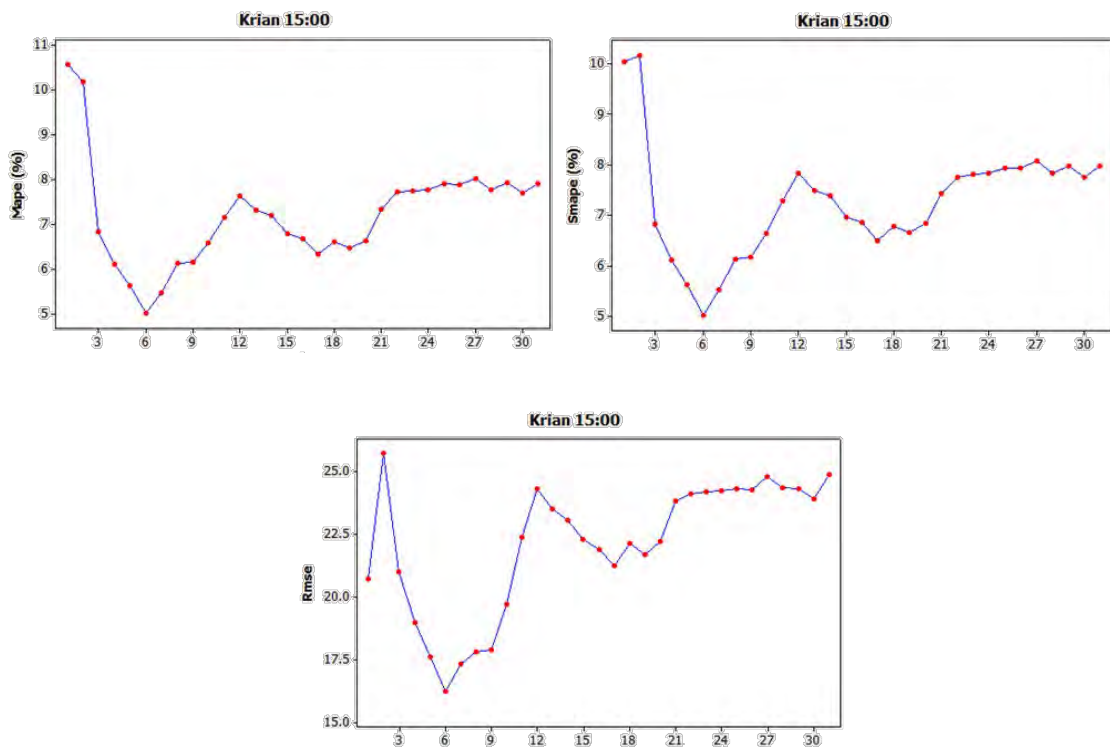


**Gambar 4.38.** Hasil perbandingan ramalan dari metode hibrida ARIMA & MLP berdasarkan data *out sample* untuk model Krian-Gresik pukul 14.00 (a), Paiton pukul 13.30 (b), Kediri pukul 13.30 (c) Krian pukul 15.00 (d), dan Ngimbang 13.30 (e)



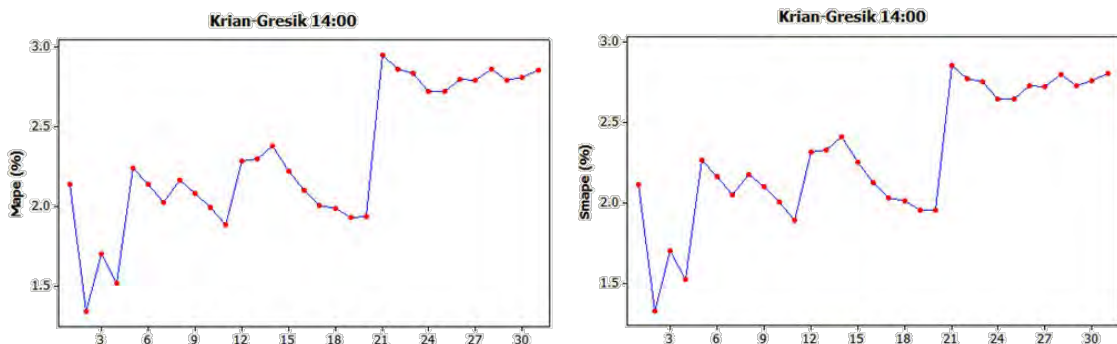
**Gambar 4.39.** Hasil perbandingan ramalan dari metode hibrida ARIMA & MLP berdasarkan data *in sample* untuk model Krian-Gresik pukul 14.00 (a), Paiton pukul 13.30 (b), Kediri pukul 13.30 (c) Krian pukul 15.00 (d), dan Ngimbang 13.30 (e)

Hasil dari perhitungan MAPE, SMAPE, dan RMSE untuk subsistem Krian pukul 15.00 sesuai dengan Gambar 4.40, menunjukkan hasil yang kurang baik dimana *error* MAPE dan SMAPE yang kurang dari 5% hanya di hari ke 6. Sedangkan untuk model di Krian pukul 11.00 menunjukkan hasil ramalan yang bagus ketika meramal hari ke 1 hingga ke 5, untuk Krian pukul 23.00, hasil yang diperoleh tidak bagus karena *error* MAPE dan SMAPE rata-rata diatas 5%, untuk lebih jelasnya, dapat dilihat di bagian Lampiran 71.

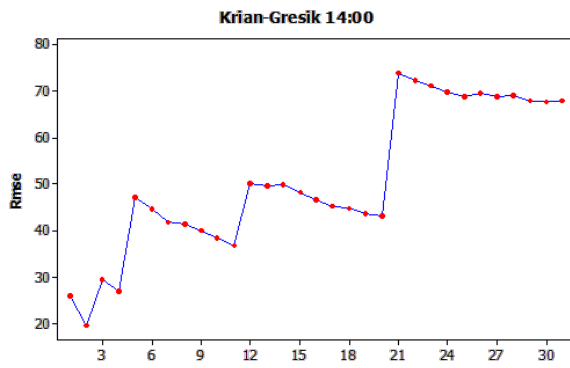


**Gambar 4.40.** Grafik MAPE, SMAPE, RMSE metode hibrida ARIMA & MLP berdasarkan *out sample* di subsistem Krian Pukul 15.00

Selanjutnya adalah model di subsistem Krian-Gresik pukul 14.00 yang bisa dilihat secara visual di Gambar 4.41, yang menunjukkan hasil yang bagus, peramalan dari hari ke 1 hingga hari ke 31 menunjukkan hasil yang baik, karena *error* MAPE, SMAPE kurang dari 5%. Untuk model Krian-Gresik pukul 15.00 menunjukkan hasil yang kurang bagus pada peramalan hari ke 1 hingga hari ke 3, namun di hari ke 4 sampai hari ke 12, hasil ramalan yang dihasilkan model cukup baik. Sedangkan model Krian-Gresik 22.30, hasil peramalannya tidak begitu bagus karena *error* diatas 5%. Untuk lebih jelasnya dapat dilihat dibagian Lampiran 71.

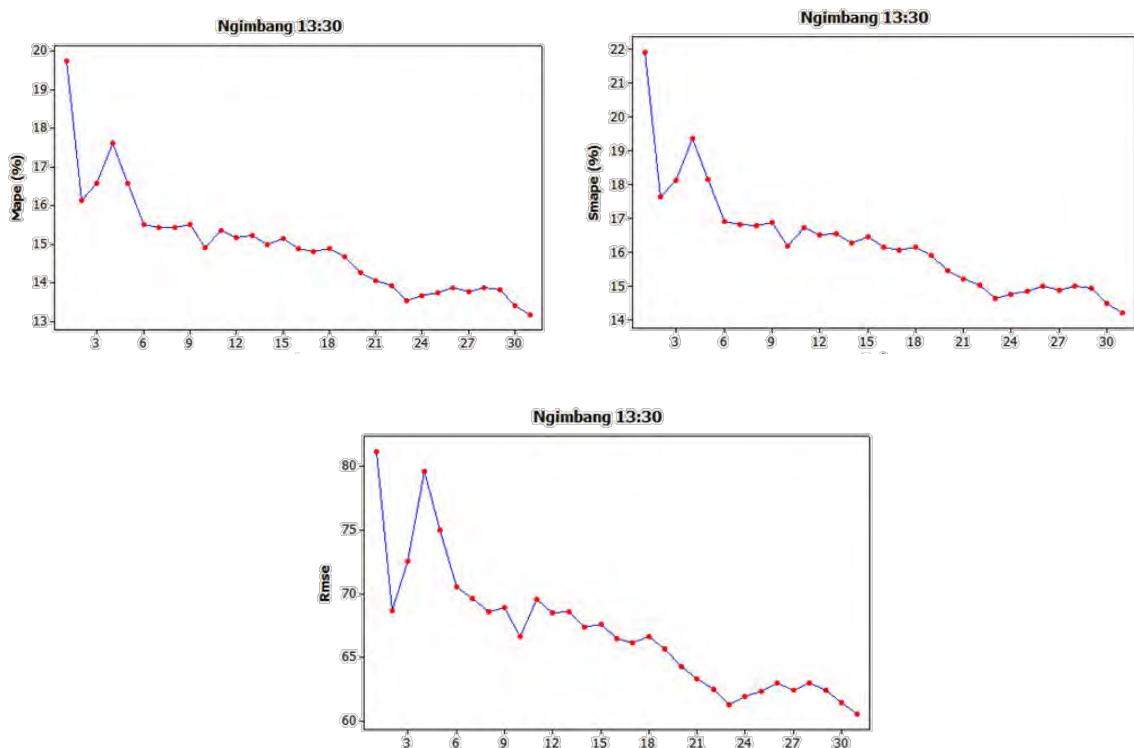


**Gambar 4.41.** Grafik MAPE, SMAPE, RMSE metode hibrida ARIMA & MLP berdasarkan *out sample* Krian-Gresik Pukul 14.00

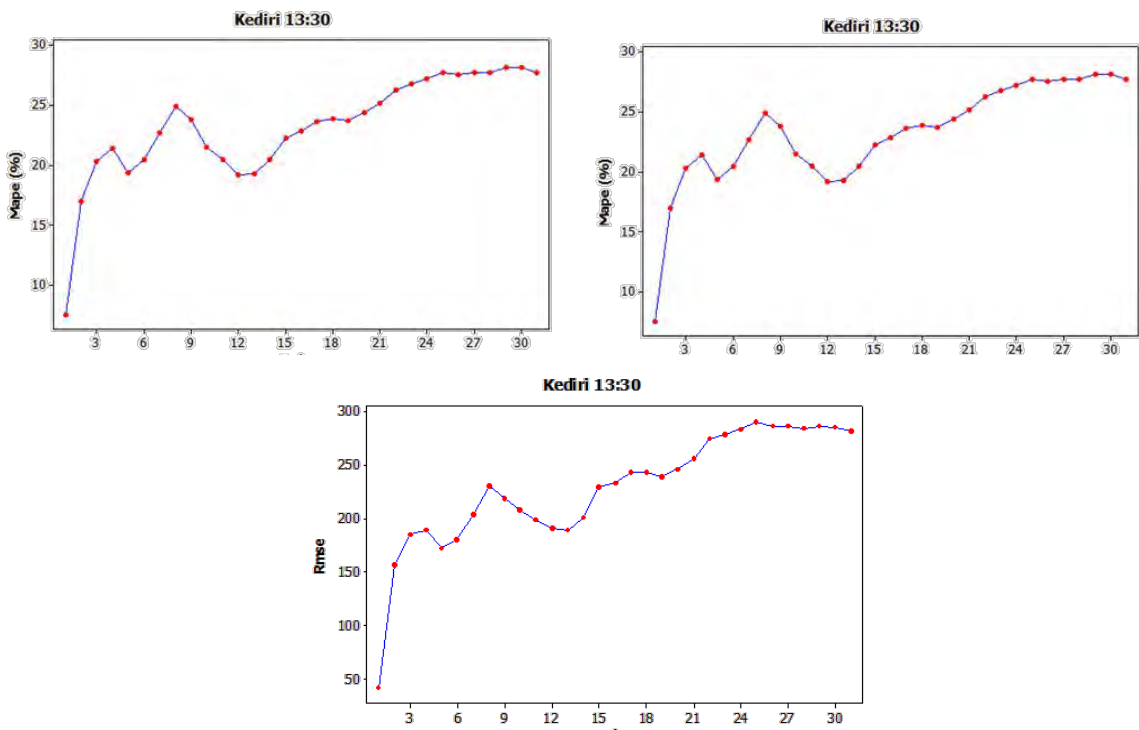


**Gambar 4.41:** Lanjutan

Sedangkan untuk model peramalan pada subsistem Ngimbang pukul 13.30 dapat dilihat di Gambar 4.42 menunjukkan hasil yang tidak bagus, begitu juga dengan model lain di subsistem Ngimbang yaitu pukul 19.30 dan 22.30, peramalan yang dihasilkan mempunyai *error* MAPE, SMAPE diatas 5%. Penjelasan mengenai model lain bisa dilihat di Lampiran 71. Selanjutnya adalah subistem Kediri sesuai dengan Gambar 4.43. Grafik MAPE, SMAPE, RMSE metode *hibrida ARIMA & MLP* berdasarkan out sample di subsistem Kediri Pukul 13.30, menghasilkan peramalan yang tidak bagus, sesuai dengan Lampiran 71, dimana kedua model lainnya yang terbentuk juga menghasilkan peramalan yang kurang bagus, hanya pada model Kediri 18.30 yang dapat meramalkan di hari pertama saja.

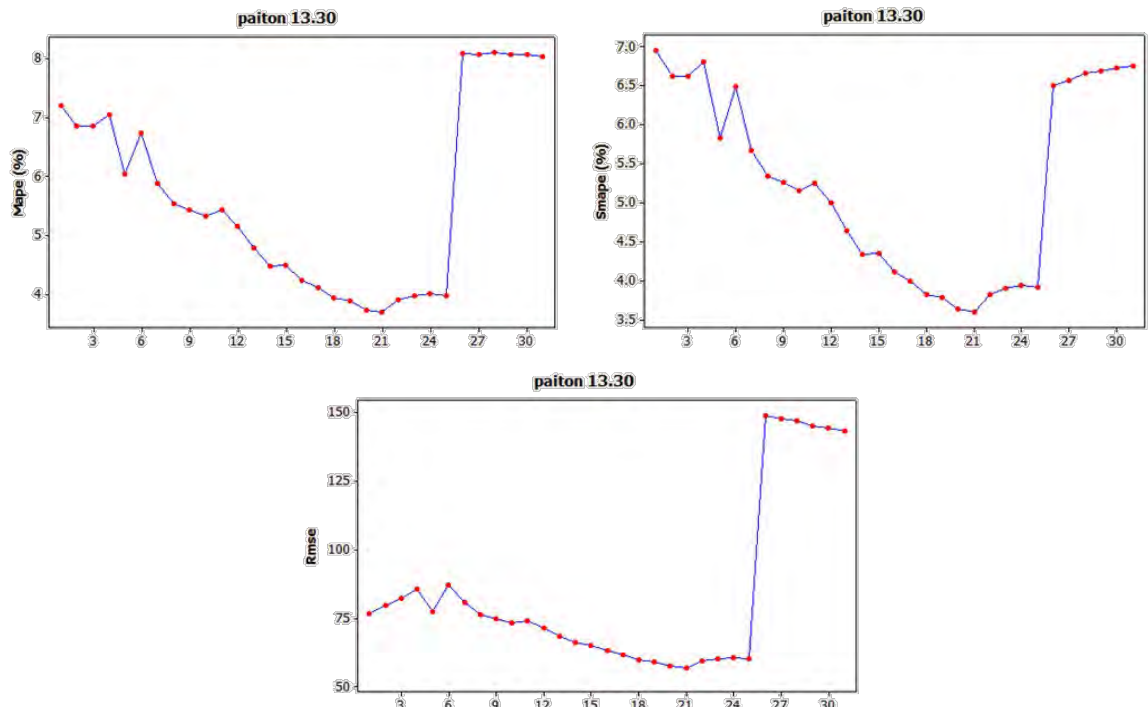


**Gambar 4.42.** Grafik MAPE, SMAPE, RMSE metode hibrida ARIMA & MLP berdasarkan *out sample* di subsistem Ngimbang Pukul 13.30



**Gambar 4.43.** Grafik MAPE, SMAPE, RMSE metode hibrida ARIMA & MLP berdasarkan *out sample* di subsistem Kediri Pukul 13.30

Untuk subsistem Paiton pukul 13.30 sesuai dengan Gambar 4.44, menunjukkan hasil yang bagus pada peramalan hari ke 12 hingga ke 26. Sedangkan untuk model lainnya di subsistem Paiton sesuai dengan Lampiran 71 menunjukkan hasil yang kurang bagus.



**Gambar 4.44.** Grafik MAPE, SMAPE, RMSE metode hibrida ARIMA & MLP berdasarkan *out sample* di subsistem Paiton Pukul 13.30

## 4.5 Perbandingan Hasil Ramalan Metode ARIMA, MLP, dan Hibrida

### ARIMA dan MLP

Ramalan konsumsi beban listrik di Jawa Timur untuk setiap subsistemnya, menggunakan metode ARIMA, MLP, dan hibrida ARIMA dan MLP pada pembahasan sebelumnya menunjukkan hasil yang berbeda-beda. Oleh karena itu, dalam pembahasan ini akan dilakukan perbandingan kebaikan model hasil ramalan dari ketiga metode tersebut, untuk mengetahui metode yang paling sesuai untuk meramalkan konsumsi beban listrik disetiap subsistem di Jawa Timur. Sesuai dengan Tabel 4.42 untuk hasil model ARIMA, dan Tabel 4.43 untuk hasil model MLP, serta yang merupakan hasil dari model hibrida ARIMA dan MLP.

Kebaikan model ditentukan berdasarkan 3 kriteria, MAPE, RMSE, dan SMAPE. Secara umum hasil kebaikan model dengan metode MLP. menghasilkan nilai yang lebih akurat dibandingkan dengan metode ARIMA dan hibrida ARIMA & MLP. Bahwa untuk model Krian 15.00, Krian 23.00, dan Krian-Gresik 14.00 model paling baik dihasilkan oleh metode ARIMA. Sedangkan untuk model Krian-Gresik 15.00, Krian-Gresik 22.30, dan Paiton 13.30 model terbaik dihasilkan oleh metode hibrida ARIMA & MLP. Untuk kesembilan model sisanya, model terbaik dihasilkan oleh metode MLP. Hasil dari peramalan konsumsi listrik di setiap subsistem dengan model terbaik dapat dilihat pada Lampiran 61. Dimana pada Tabel 4.42 hingga Tabel 4.44 yang diblok warna abu-abu merupakan hasil yang paling bagus diandingkan dengan metode lain.

**Tabel 4.42.** Hasil model kebaikan ramalan *out sample* metode ARIMA.

Subistem	Pukul	Model ARIMA	MAPE	RMSE	SMAPE
Krian	11.00	([1,2,14,28],1,0)(1,1,0) <sup>7</sup>	11,46	37,63	12,27
	15.00	(0,1,1)(0,1,1) <sup>7</sup>	7,89	25,1	7,99
	23.00	(1,1,[2])(0,1,1) <sup>7</sup>	6,14	21,33	6,37
Krian-Gresik	14.00	(0,1,[1,6,12])(0,1,1) <sup>7</sup>	2,73	66,91	2,67
	15.00	([1,14],1,[2])(1,1,0) <sup>7</sup>	4,94	99,11	4,98
	22.30	(0,1,[1,3])(0,1,1) <sup>7</sup>	6,78	141,06	6,19
Ngimbang	13.30	(0,1,[1,2])(0,1,1) <sup>7</sup>	13,95	63,59	15,11
	19.30	(0,1,1)(0,1,1) <sup>7</sup>	8,58	46,35	9,03
	22.30	(0,1,1)(0,1,1) <sup>7</sup>	27,3	120,28	31,7
Paiton	13.30	(0,1,1)(0,1,1) <sup>7</sup>	8,14	143,94	6,83
	18.30	(0,1,[1,2,3])(0,1,1) <sup>7</sup>	22,2	350,71	24,95
	22.30	(0,1,[1,18])(0,1,1) <sup>7</sup>	8,68	149,5	6,93
Kediri	13.30	(0,1,[1,18])(0,1,1) <sup>7</sup>	27,48	279,63	32,9
	18.30	(0,1,1)(0,1,1) <sup>7</sup>	18,4	222,93	20,8
	05.30	(0,1,[1,2])(0,1,1) <sup>7</sup>	10,08	91,64	9,23

**Tabel 4.43.** Hasil model kebaikan ramalan *out sample* metode MLP.

Subsistem	Pukul	Input Berdasarkan Lag AR	Jumlah Neuron Hidden Layer	MAPE	RMSE	SMAPE
Krian	11.00	1, 2, 3, 7, 8, 9, 10, 14, 21, 22, 28, 29, 35, 36, 42, 43	9	7,268	25,586	7,149
	15.00	1, 7, 8	6	9,757	43,913	9,965
	23.00	1, 2, 8, 9	4	7,147	23,379	7,171
Krian-Gresik	14.00	1, 7, 8	10	5,855	116,455	5,622
	15.00	1, 2, 7, 8, 9, 14, 15, 16, 21, 22, 28, 29	9	4,955	93,464	4,879
	22.30	1, 7, 8	4	7,146	23,379	7,171
Ngimbang	13.30	1, 7, 8	3	4,349	21,582	4,319
	19.30	1, 7, 8	8	3,430	19,329	3,405
	22.30	1, 7, 8	8	2,996	15,612	2,978
Paiton	13.30	1, 7, 8	10	10,069	163,927	9,093
	18.30	1, 7, 8	10	7,755	166,655	6,838
	22.30	1, 7, 8	6	7,603	145,576	6,190
Kediri	13.30	1, 7, 8	2	12,365	118,479	12,467
	18.30	1, 7, 8	3	8,072	99,149	8,252
	05.30	1, 7, 8	3	7,407	95,670	7,161

**Tabel 4.44.** Hasil model kebaikan ramalan *out sample* metode hibrida ARIMA dan MLP.

Subsistem	Pukul	Input Berdasarkan Lag AR	Jumlah Neuron Hidden Layer	MAPE	RMSE	SMAPE
Krian	11.00	1, 2, 3, 7, 8, 9, 10, 14, 21, 22, 28, 29, 35, 36, 42, 43	4	11,582	37,992	12,410
	15.00	1, 7, 8	6	7,914	24,962	7,997
	23.00	1, 2, 8, 9	9	6,360	21,793	6,604
Krian-Gresik	14.00	1, 7, 8	1	2,762	67,082	2,702
	15.00	1, 2, 7, 8, 9, 14, 15, 16, 21, 22, 28, 29	9	4,955	93,464	4,879
	22.30	1, 7, 8	9	6,748	139,512	6,198
Ngimbang	13.30	1, 7, 8	8	13,147	60,394	14,190
	19.30	1, 7, 8	10	8,536	46,179	8,991
	22.30	1, 7, 8	10	27,200	119,900	31,570
Paiton	13.30	1, 7, 8	9	8,058	143,247	6,765
	18.30	1, 7, 8	1	23,056	354,113	25,241
	22.30	1, 7, 8	5	8,607	148,724	6,872
Kediri	13.30	1, 7, 8	4	27,350	278,603	32,780
	18.30	1, 7, 8	10	18,152	219,744	20,502
	05.30	1, 7, 8	10	9,909	90,604	9,095

Sedangkan hasil dari peramalan selama beberapa hari kedepan, dengan batas toleransi error sebesar 5% untuk MAPE, dan SMAPE, dihasilkan kesimpulan bahwa, metode MLP mampu melakukan peramalan untuk beberapa hari kedepan dengan hasil yang bagus, dan dengan rentang ramalan yang cukup jauh

dibeberapa hari kedepannya, dibandingkan dengan metode ARIMA dan hibrida ARIMA & MLP. Lebih jelasnya dapat dilihat di Tabel 4.45.

**Tabel 4.45.** Hasil *error* MAPE, SMAPE, RMSE, berdasarkan peramalan beberapa hari kedepannya berdasarkan *out sample*

Subsistem	Model	ARIMA	MLP	Hibrida ARIMA & MLP
Ngimbang	13.30	1-19	1-31	-
	19.30	2-31	4-31	-
	22.30	3-31	1-31	-
Krian-Gresik	14.00	1-31	1-31	1-31
	15.00	-	-	1-3
	22.30	-	-	-
Krian	11.00	1-4	-	1-5
	15.00	-	2-9	-
	23.00	1-4	-	-
Kediri	13.30	-	-	-
	18.30	-	-	1
	05.30	-	-	-
Paiton	13.30	-	1-21	12-26
	18.30	7-14	1-24	-
	22.30	2-31	-	-

#### 4.6 Hasil Kombinasi Lag AR untuk Metode MLP dan Hibrida ARIMA & MLP

Dalam penelitian ini juga dilakukan percobaan dengan mengkombinasikan lag AR dari model ARIMA sebagai variabel *input* dari metode MLP dan hirida ARIMA & MLP. Hal ini bertujuan untuk melihat apakah benar lag AR merupakan variabel *input* yang paling maksimal untuk metode-metode tersebut. Dalam proses kombinasi lag AR dicari nilai MAPE, RMSE, dan SMAPE dari *out sample* yang paling kecil. Untuk hasilnya bisa dilihat di Tabel 4.46 hingga Tabel 4.47.

**Tabel 4.46.** Hasil kombinasi lag AR untuk metode MLP berdasarkan *out sample*

Subsistem	Pukul	Input	Jumlah Neuron Hidden Layer	MAPE	RMSE	SMAPE
Krian	11.00	1, 7, 8, 10, 14, 21, 22, 28, 35, 36	9	5,587	19,839	5,462
	15.00	7, 8	1	7,816	24,910	7,531
	23.00	7	1	5,584	18,511	5,521
Krian-Gresik	14.00	1, 7, 8	10	5,854	116,455	5,622
	15.00	7, 9, 14, 28	9	4,531	91,558	4,437
	22.30	1, 7, 8	10	8,435	159,538	7,765

**Tabel 4.46:** Lanjutan

Subsistem	Pukul	Input	Jumlah Neuron Hidden Layer	MAPE	RMSE	SMAPE
Ngimbang	13.30	1, 7, 8	3	4,349	21,582	4,319
	19.30	1, 7	2	3,386	19,190	3,357
	22.30	1, 6, 7	8	2,957	15,461	2,939
Paiton	13.30	7	10	9,560	156,452	8,683
	18.30	1, 3, 7	10	7,501	161,172	6,550
	22.30	3, 7	10	7,404	144,404	5,906
Kediri	13.30	1, 7, 8	2	12,365	118,479	12,467
	18.30	1, 7, 8	3	8,072	99,149	8,252
	05.30	1, 2, 7	4	7,105	89,659	6,773

**Tabel 4.47.** Hasil kombinasi lag AR untuk metode hibrida ARIMA dan MLP berdasarkan *out sample*

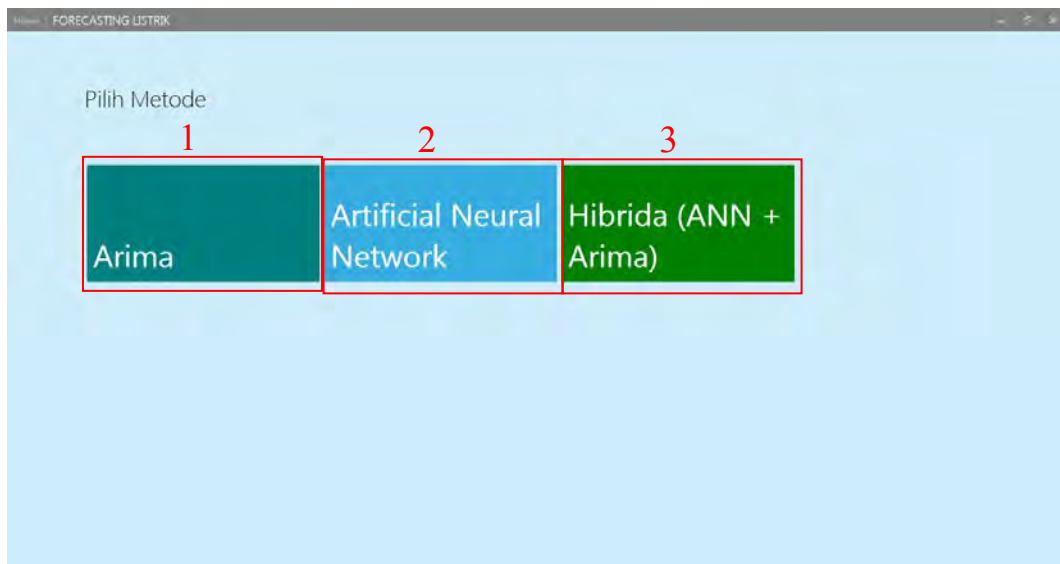
Subsistem	Pukul	Input	Jumlah Neuron Hidden Layer	MAPE	RMSE	SMAPE
Krian	11.00	1, 2, 3, 7, 8, 10, 14, 21, 22, 28, 29, 35, 42, 43	8	10,129	34,090	10,748
	15.00	1, 2, 6	4	7,712	24,550	7,787
	23.00	2, 5, 7	6	6,136	21,295	6,361
Krian-Gresik	14.00	1, 4, 7	4	2,714	66,785	2,647
	15.00	1, 7, 14, 22, 28	6	4,219	90,250	4,250
	22.30	1, 2, 3	10	6,630	138,90	6,049
Ngimbang	13.30	2, 6	9	12,971	59,716	13,989
	19.30	2, 6	9	8,342	45,311	8,779
	22.30	1, 2, 3	6	26,576	117,07	30,727
Paiton	13.30	1, 2, 3	10	7,912	142,55	6,661
	18.30	1, 4, 6	1	23,026	353,76	25,204
	22.30	1, 6, 8	10	8,575	148,91	6,833
Kediri	13.30	1, 2, 3	4	27,087	276,06	32,398
	18.30	1, 4, 7	6	17,978	217,90	20,281
	05.30	1, 5, 6	10	9,694	88,922	8,918

Berdasarkan Tabel 4.46 dan Tabel 4.46 bisa disimpulkan bahwa tidak semua lag AR menghasilkan nilai yang signifikan jika digunakan dalam variabel *input* di metode MLP dan hibrida ARIMA & MLP.

#### 4.7 Bagian Antarmuka Sistem

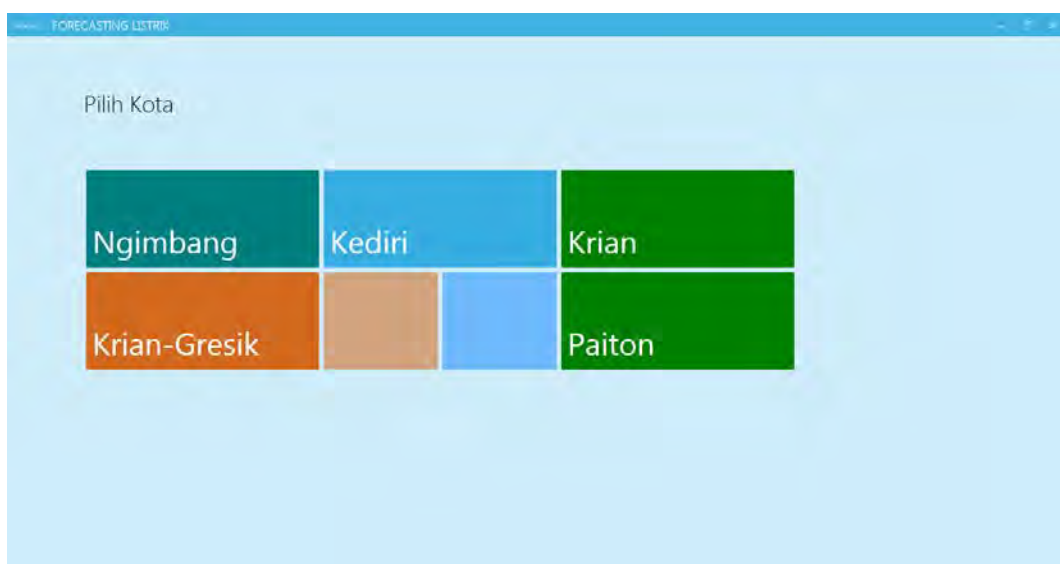
Pada subbab ini akan dijelaskan mengenai antarmuka pada perangkat lunak yang telah selesai dibuat. Antarmuka dalam perangkat lunak dibagi menjadi empat macam, yaitu antarmuka untuk memilih metode yang akan dianalisis, antarmuka untuk metode ARIMA, antarmuka pemilihan subsistem yang akan dianalisis, antarmuka metode MLP, dan antarmuka metode hibrida ARIMA & MLP. Antarmuka dibentuk dengan menggunakan teknologi WPF.

Gambar 4.45 adalah rancangan antarmuka dalam pemilihan metode yang akan digunakan dalam menganalisis data konsumsi beban listrik. Kotak nomor 1 adalah *tab menu* metode ARIMA, kotak nomor 2 adalah metode MLP, dan kotak nomor 3 adalah metode hibrida ARIMA & MLP.



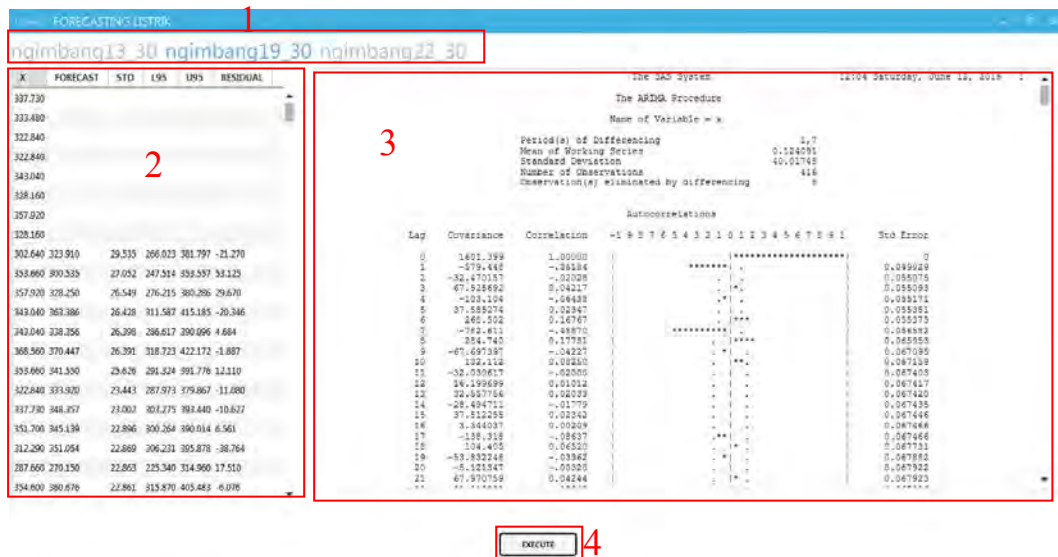
**Gambar 4.45.** Antarmuka pemilihan metode

Gambar 4.46 merupakan rancangan antarmuka yang digunakan untuk melakukan pemilihan subsistem yang akan dianalisis, yaitu terdiri dari subsistem Ngimbang, Kediri, Krian, Krian-Gresik, dan Paiton. Di setiap subsistem tersebut, nantinya pengguna dapat memilih menganalisis untuk shift pagi, siang, atau malam.

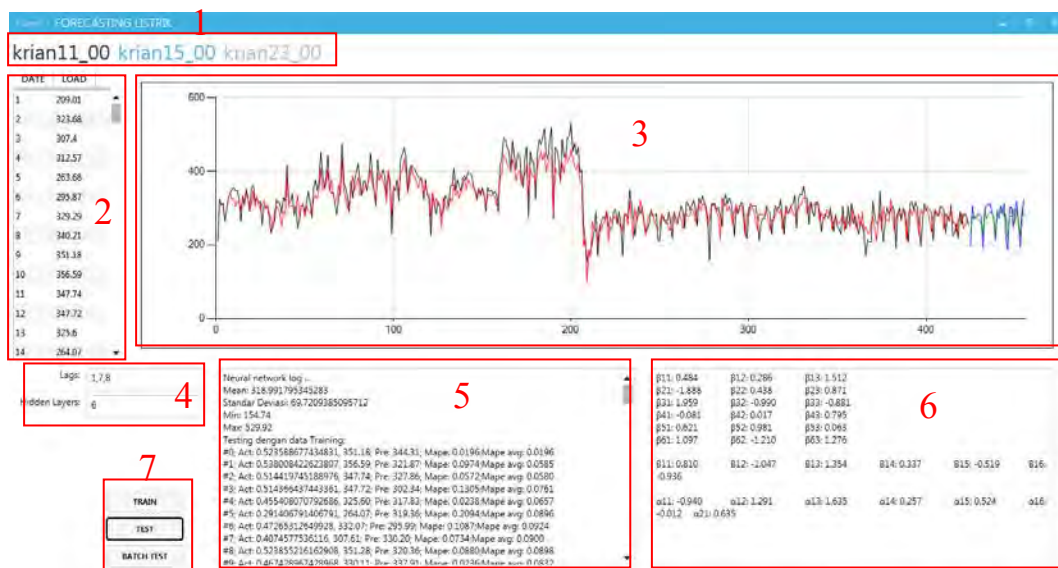


**Gambar 4.46.** Antarmuka pemilihan subsistem yang dianalisis

Merupakan perancangan antarmuka untuk metode ARIMA, terdapat 4 bagian dalam antarmuka tersebut, bagian nomor 1 adalah *tab menu* yang digunakan untuk pemilihan data yang akan dianalisis, nomor 2 merupakan hasil dari peramalan, perhitungan residual, batas atas, batas bawah, dan standar deviasi dari proses ARIMA, nomor 3 merupakan hasil *output* dari proses ARIMA berupa perhitungan parameter signifikansi, dan lain sebagainya. Nomor 4 adalah *button execute* yang digunakan untuk eksekusi model.



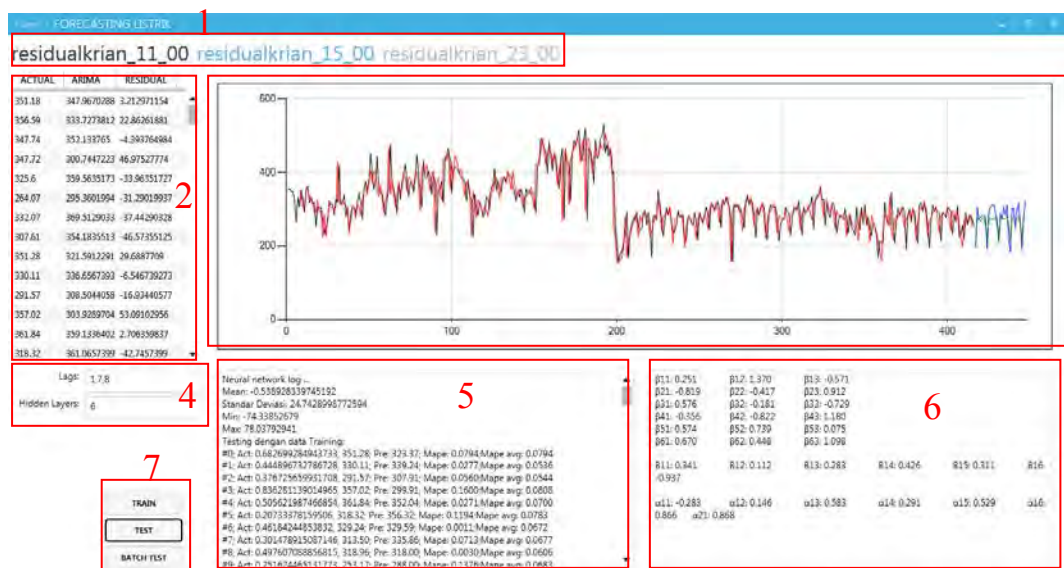
Gambar 4.47. Antarmuka metode ARIMA



Gambar 4.48. Antarmuka metode MLP

Gambar 4.48 adalah perancangan antarmuka untuk metode MLP, terdapat 7 bagian dalam antarmuka ini, nomor 1 adalah *tab menu* untuk pemilihan data yang

akan dianalisis, nomor 2 merupakan tampilan data yang akan dianalisis, nomor 3, adalah hasil visualisasi grafik dari hasil peramalan berdasarkan *in sample*, dan *out sample*, dimana data aktual berwarna hitam, data prediksi *in sample* berwarna merah, data aktual *out sample* berwarna biru, dan data prediksi dari *out sample* berwarna hijau. Untuk nomor 4 adalah tab *input* untuk memasukkan nilai lag berdasarkan AR, dan jumlah neuron di lapisan tersembunyi. Nomor 5 adalah hasil dari peramalan model, beserta perhitungan MAPE, SMAPE, dan RMSE. Nomor 6 adalah hasil dari nilai bobot dan bias dari model yang terbentuk. Sedangkan nomor 7 adalah *button train* yang digunakan untuk proses *training data*, *button test* yang digunakan untuk proses *testing*, dan *button batch test* untuk eksekusi training dengan melakukan *generate* kombinasi nilai *input* hingga lag ke AR. Begitu juga dengan Gambar 4.49 merupakan perancangan untuk metode hibrida ARIMA & MLP. Antarmuka untuk proses hibrida ARIMA & MLP mempunyai antarmuka yang sama dengan metode MLP.



Gambar 4.49. Antarmuka metode hibrida ARIMA & MLP

## LAMPIRAN

**Lampiran 1:** Data konsumsi beban listrik di subsistem Krian dari 1/1/2014 –

8/2/2015

Tanggal	Jam	Konsumsi Listrik (MW)	Tanggal	Jam	Konsumsi Listrik (MW)
1/1/2014	0:30	258,12	1/6/2014	0:30	330,42
	1:00	263,58		1:00	330,42
	:	:		:	:
24/1/2014	0:30	323,78	24/6/2014	0:30	426,46
	1:00	318,32		1:00	426,45
	:	:		:	:
1/2/2014	0:30	229,36	1/7/2014	0:30	503,5
	1:00	229,36		1:00	476,2
	:	:		:	:
24/2/2014	0:30	300,34	24/7/2014	0:30	438,15
	1:00	294,88		1:00	465,45
	:	:		:	:
1/3/2014	0:30	446,85	1/8/2014	0:30	258,66
	1:00	414,09		1:00	258,66
	:	:		:	:
24/3/2014	0:30	301,52	24/8/2014	0:30	257,92
	1:00	328,82		1:00	252,46
	:	:		:	:
1/4/2014	0:30	295,16	1/9/2014	0:30	235,48
	1:00	306,64		1:00	235,48
	:	:		:	:
24/4/2014	0:30	354,94	24/9/2014	0:30	278,73
	1:00	365,86		1:00	289,65
	:	:		:	:
1/5/2014	0:30	301,14	1/10/2014	0:30	290,02
	1:00	301,14		1:00	290,02
	:	:		:	:
24/5/2014	0:30	388,42	24/10/2014	0:30	266,93
	1:00	415,56		1:00	266,93

### Lampiran 1: Lanjutan

Tanggal	Jam	Konsumsi Listrik (MW)	Tanggal	Jam	Konsumsi Listrik (MW)
1/11/2014	0:30	283,66	17/2/201	0:30	265,31
	1:00	283,66		1:00	259,85
	:	:		:	:
24/11/2014	0:30	301,84	18/2/2015	0:30	254,74
	1:00	301,84		1:00	254,74
	:	:		:	:
1/12/2014	0:30	267,22	19/2/2015	0:30	262,86
	1:00	278,14		1:00	251,94
	:	:		:	:
24/12/2014	0:30	261,04	20/2/2015	0:30	213,54
	1:00	261,38		1:00	212,95
	:	:		:	:
1/1/2015	0:30	197,31	21/2/2015	0:30	223,93
	1:00	197,31		1:00	223,93
	:	:		:	:
24/1/2015	0:30	267,12	22/2/2015	0:30	251,67
	1:00	267,12		1:00	251,61
	:	:		:	:
1/2/2015	0:30	246	23/2/2015	0:30	197,69
	1:00	246		1:00	203,15
	:	:		:	:
14/2/2015	0:30	255,02	24/2/2015	0:30	257,38
	1:00	255,02		1:00	257,38
	:	:		:	:
15/2/2015	0:30	235,12	25/2/2015	0:30	239,82
	1:00	235,72		1:00	239,82
	:	:		:	:
16/2/2015	0:30	226,28	26/2/2015	0:30	262,91
	1:00	226,73		1:00	273,4

**Lampiran 2:** Data konsumsi beban listrik di subsistem Ngimbang dari 1/1/2014 - 28/2/2015

Tanggal	Jam	Konsumsi Listrik (MW)	Tanggal	Jam	Konsumsi Listrik (MW)
1/1/2014	0:30	285,13	1/6/2014	0:30	344,87
	1:00	285,13		1:00	334,91
	:	:		:	:
24/1/2014	0:30	266,78	24/6/2014	0:30	411,64
	1:00	261,37		1:00	411,64
	:	:		:	:
1/2/2014	0:30	231,64	1/7/2014	0:30	444,31
	1:00	231,34		1:00	453,87
	:	:		:	:
24/2/2014	0:30	286,91	24/7/2014	0:30	451,06
	1:00	291,92		1:00	444,22
	:	:		:	:
1/3/2014	0:30	331,92	1/8/2014	0:30	301,53
	1:00	326,6		1:00	301,52
	:	:		:	:
24/3/2014	0:30	314,58	24/8/2014	0:30	434,44
	1:00	317,74		1:00	425,16
	:	:		:	:
1/4/2014	0:30	325,46	1/9/2014	0:30	385,09
	1:00	325,46		1:00	384,69
	:	:		:	:
24/4/2014	0:30	352,1	24/9/2014	0:30	407,6
	1:00	357,42		1:00	407,19
	:	:		:	:
1/5/2014	0:30	379,75	1/10/2014	0:30	451,86
	1:00	379,75		1:00	451,17
	:	:		:	:
24/5/2014	0:30	351,23	24/10/2014	0:30	436,58
	1:00	350,83		1:00	426,73

## Lampiran 2: Lanjutan

Tanggal	Jam	Konsumsi Listrik (MW)	Tanggal	Jam	Konsumsi Listrik (MW)
1/11/2014	0:30	465,09	17/2/201	0:30	377,53
	1:00	464,33		1:00	373,58
	:	:		:	:
24/11/2014	0:30	452,05	18/2/2015	0:30	382,74
	1:00	439,26		1:00	389,22
	:	:		:	:
1/12/2014	0:30	390,78	19/2/2015	0:30	389,43
	1:00	391,55		1:00	389,22
	:	:		:	:
24/12/2014	0:30	406,06	20/2/2015	0:30	376,76
	1:00	410,5		1:00	381,02
	:	:		:	:
1/1/2015	0:30	413,86	21/2/2015	0:30	393,59
	1:00	408,56		1:00	388,66
	:	:		:	:
24/1/2015	0:30	428,58	22/2/2015	0:30	403,25
	1:00	428,58		1:00	402,47
	:	:		:	:
1/2/2015	0:30	366,92	23/2/2015	0:30	388,08
	1:00	371,85		1:00	389,09
	:	:		:	:
14/2/2015	0:30	393,19	24/2/2015	0:30	410,09
	1:00	383,36		1:00	399,09
	:	:		:	:
15/2/2015	0:30	362,74	25/2/2015	0:30	419,11
	1:00	362,73		1:00	392,.8
	:	:		:	:
16/2/2015	0:30	347,47	26/2/2015	0:30	389,51
	1:00	338,11		1:00	398,72

**Lampiran 3:** Data konsumsi beban listrik di subsistem Krian-Gresik dari 1/1/2014 – 28/2/2015

Tanggal	Jam	Konsumsi Listrik (MW)	Tanggal	Jam	Konsumsi Listrik (MW)
1/1/2014	0:30	1.183,97	1/6/2014	0:30	1.296,32
	1:00	1.104,72		1:00	1.296,29
	:	:		:	:
24/1/2014	0:30	1.522,44	24/6/2014	0:30	1.631,62
	1:00	1.486,39		1:00	1.593,58
	:	:		:	:
1/2/2014	0:30	1.194,11	1/7/2014	0:30	1.659,69
	1:00	1.222,9		1:00	1.635,22
	:	:		:	:
24/2/2014	0:30	1.246,58	24/7/2014	0:30	1.497,43
	1:00	1.227,36		1:00	1.523,49
	:	:		:	:
1/3/2014	0:30	1.439,22	1/8/2014	0:30	935,2
	1:00	1.415,4		1:00	916,9
	:	:		:	:
24/3/2014	0:30	1.403,22	24/8/2014	0:30	1.456,16
	1:00	845,45		1:00	1.449,34
	:	:		:	:
1/4/2014	0:30	1.326,42	1/9/2014	0:30	1.400,46
	1:00	1.161,76		1:00	1.348,07
	:	:		:	:
24/4/2014	0:30	1.597,94	24/9/2014	0:30	1.544,02
	1:00	1.523,15		1:00	1.515,46
	:	:		:	:
1/5/2014	0:30	1.526,28	1/10/2014	0:30	1.629,93
	1:00	1.491,17		1:00	1.614,21
	:	:		:	:
24/5/2014	0:30	1.583,05	24/10/2014	0:30	1.620,94
	1:00	1.490,22		1:00	1.660,23

### Lampiran 3: Lanjutan

Tanggal	Jam	Konsumsi Listrik (MW)	Tanggal	Jam	Konsumsi Listrik (MW)
1/11/2014	0:30	1.60,17	17/2/201	0:30	1.465,4
	1:00	1.654,24		1:00	1.433,71
	:	:		:	:
24/11/2014	0:30	1.470,88	18/2/2015	0:30	1.360,83
	1:00	1.454,7		1:00	1.344,42
	:	:		:	:
1/12/2014	0:30	1.261,83	19/2/2015	0:30	1.349,18
	1:00	1.261,99		1:00	1.339,13
	:	:		:	:
24/12/2014	0:30	1.525,22	20/2/2015	0:30	1.192,43
	1:00	1.517,34		1:00	1.175,98
	:	:		:	:
1/1/2015	0:30	1.094,62	21/2/2015	0:30	1.277,55
	1:00	1.068,76		1:00	1.272,45
	:	:		:	:
24/1/2015	0:30	1.682,64	22/2/2015	0:30	1.204,37
	1:00	1.666,69		1:00	1.176,55
	:	:		:	:
1/2/2015	0:30	1.686,07	23/2/2015	0:30	1.225,37
	1:00	1.687,44		1:00	1.208,14
	:	:		:	:
14/2/2015	0:30	1.410,23	24/2/2015	0:30	1.438,83
	1:00	1.384,03		1:00	1.422,69
	:	:		:	:
15/2/2015	0:30	1.301,82	25/2/2015	0:30	1.476,15
	1:00	1.327,06		1:00	1.457,06
	:	:		:	:
16/2/2015	0:30	1.239,04	26/2/2015	0:30	1.400,28
	1:00	1.210,2		1:00	1.398,56

**Lampiran 4:** Data konsumsi beban listrik di subsistem Kediri dari 1/1/2014 – 28/2/2015

Tanggal	Jam	Konsumsi Listrik (MW)	Tanggal	Jam	Konsumsi Listrik (MW)
1/1/2014	0:30	617,7	1/6/2014	0:30	553,29
	1:00	603		1:00	560,14
	:	:		:	:
24/1/2014	0:30	908,83	24/6/2014	0:30	599,61
	1:00	912,03		1:00	599,71
	:	:		:	:
1/2/2014	0:30	690,04	1/7/2014	0:30	639,77
	1:00	690,74		1:00	626,37
	:	:		:	:
24/2/2014	0:30	680,03	24/7/2014	0:30	736,07
	1:00	667,03		1:00	715,07
	:	:		:	:
1/3/2014	0:30	597,14	1/8/2014	0:30	623,39
	1:00	583,34		1:00	564,19
	:	:		:	:
24/3/2014	0:30	175,04	24/8/2014	0:30	879,78
	1:00	168,49		1:00	876,08
	:	:		:	:
1/4/2014	0:30	286,53	1/9/2014	0:30	613,96
	1:00	280,09		1:00	600,35
	:	:		:	:
24/4/2014	0:30	80,32	24/9/2014	0:30	727,58
	1:00	113,56		1:00	713,99
	:	:		:	:
1/5/2014	0:30	354,16	1/10/2014	0:30	807,24
	1:00	363,45		1:00	786,13
	:	:		:	:
24/5/2014	0:30	650,73	24/10/2014	0:30	686,28
	1:00	644,49		1:00	684,91

#### **Lampiran 4: Lanjutan**

Tanggal	Jam	Konsumsi Listrik (MW)	Tanggal	Jam	Konsumsi Listrik (MW)
1/11/2014	0:30	820,76	17/2/201	0:30	741,77
	1:00	805,64		1:00	740,82
	:	:		:	:
24/11/2014	0:30	928	18/2/2015	0:30	662,96
	1:00	928,92		1:00	656,89
	:	:		:	:
1/12/2014	0:30	674,44	19/2/2015	0:30	643,38
	1:00	660,98		1:00	643,19
	:	:		:	:
24/12/2014	0:30	545,82	20/2/2015	0:30	609,87
	1:00	545,82		1:00	603,03
	:	:		:	:
1/1/2015	0:30	632,73	21/2/2015	0:30	586,48
	1:00	632,16		1:00	587,62
	:	:		:	:
24/1/2015	0:30	776	22/2/2015	0:30	480,37
	1:00	763,27		1:00	474,29
	:	:		:	:
1/2/2015	0:30	667,85	23/2/2015	0:30	510,17
	1:00	662,17		1:00	496,87
	:	:		:	:
14/2/2015	0:30	725,51	24/2/2015	0:30	587,64
	1:00	744,68		1:00	577,4
	:	:		:	:
15/2/2015	0:30	720,39	25/2/2015	0:30	596,64
	1:00	739,39		1:00	577,5
	:	:		:	:
16/2/2015	0:30	670,46	26/2/2015	0:30	597,03
	1:00	649,58		1:00	597,41

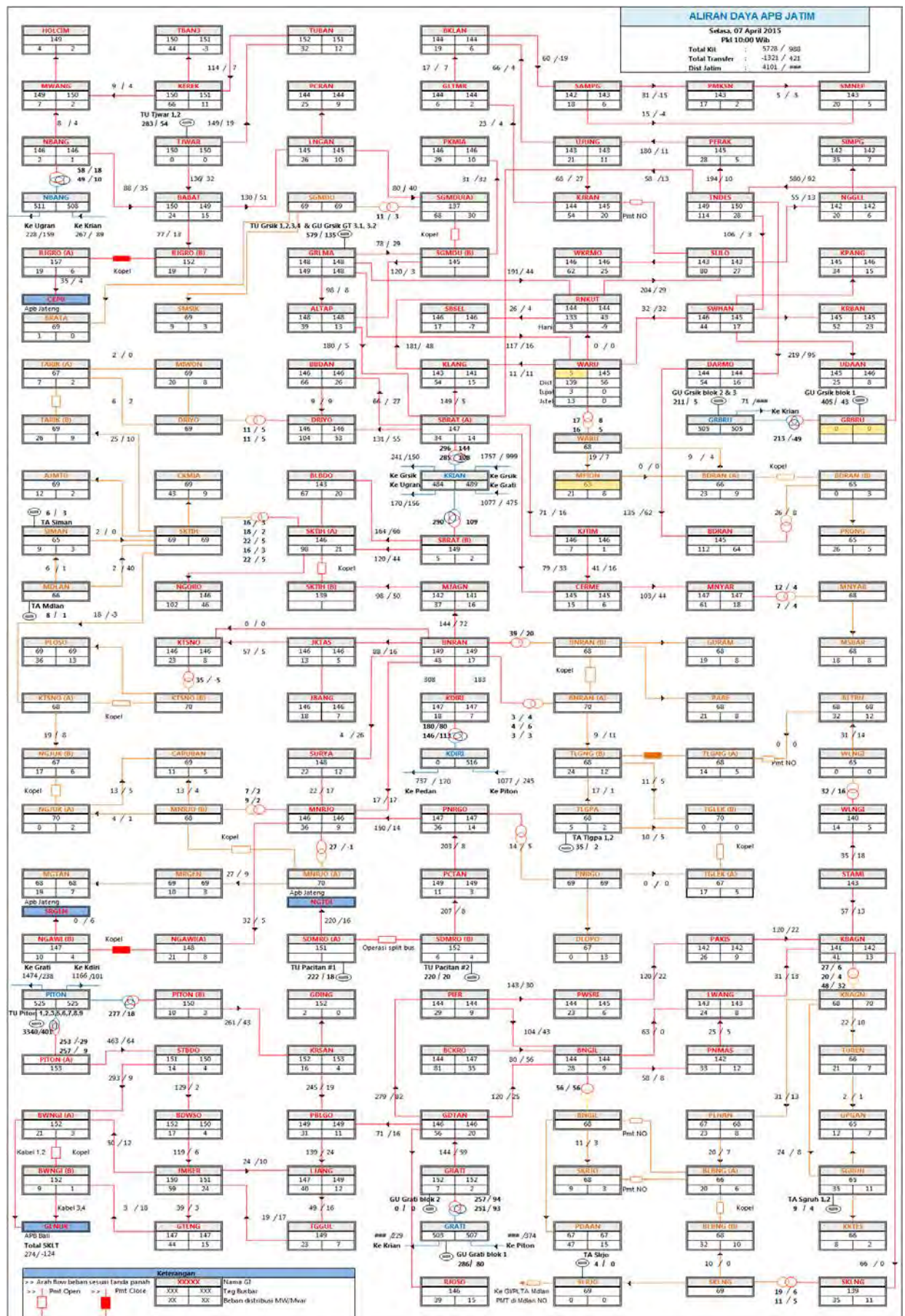
**Lampiran 5:** Data konsumsi beban listrik di subsistem Paiton dari 1/1/2014 – 28/2/2015

Tanggal	Jam	Konsumsi Listrik (MW)	Tanggal	Jam	Konsumsi Listrik (MW)
1/1/2014	0:30	937,5	1/6/2014	0:30	983,95
	1:00	913,68		1:00	972,15
	:	:		:	:
24/1/2014	0:30	963,46	24/6/2014	0:30	1.229,61
	1:00	944,46		1:00	1.205,78
	:	:		:	:
1/2/2014	0:30	918,31	1/7/2014	0:30	1.226,01
	1:00	926,15		1:00	1.188,87
	:	:		:	:
24/2/2014	0:30	948,73	24/7/2014	0:30	1.176,93
	1:00	932,19		1:00	1.162,64
	:	:		:	:
1/3/2014	0:30	997,85	1/8/2014	0:30	981,71
	1:00	977,38		1:00	967,44
	:	:		:	:
24/3/2014	0:30	967,4	24/8/2014	0:30	1.136,8
	1:00	941,3		1:00	1.121,74
	:	:		:	:
1/4/2014	0:30	938,09	1/9/2014	0:30	1.062,63
	1:00	932,1		1:00	1.048,36
	:	:		:	:
24/4/2014	0:30	1.039,97	24/9/2014	0:30	1.227,54
	1:00	1.032,78		1:00	1.206,08
	:	:		:	:
1/5/2014	0:30	1.002,78	1/10/2014	0:30	1.223,8
	1:00	995,46		1:00	1.199,5
	:	:		:	:
24/5/2014	0:30	1.042,85	24/10/2014	0:30	1.257,7
	1:00	1.026,99		1:00	1.245,89

**Lampiran 5:** Lanjutan

Tanggal	Jam	Konsumsi Listrik (MW)	Tanggal	Jam	Konsumsi Listrik (MW)
1/11/2014	0:30	1.242,48	17/2/201	0:30	1.225,46
	1:00	1.224,11		1:00	1.214,08
	:	:		:	:
24/11/2014	0:30	1.200,64	18/2/2015	0:30	1.222,27
	1:00	1.200,64		1:00	1.196,6
	:	:		:	:
1/12/2014	0:30	1.112,98	19/2/2015	0:30	1.203,51
	1:00	1.120,06		1:00	1.200,74
	:	:		:	:
24/12/2014	0:30	1.205,52	20/2/2015	0:30	1.147,88
	1:00	1.193,71		1:00	1.124,59
	:	:		:	:
1/1/2015	0:30	1.137,6	21/2/2015	0:30	1.167,96
	1:00	1.111,46		1:00	1.158,41
	:	:		:	:
24/1/2015	0:30	1.207,59	22/2/2015	0:30	1.150,83
	1:00	1.198,03		1:00	1.129,9
	:	:		:	:
1/2/2015	0:30	1.129,4	23/2/2015	0:30	1.131,87
	1:00	1.112,08		1:00	1.123,1
	:	:		:	:
14/2/2015	0:30	1.205,95	24/2/2015	0:30	1.205,42
	1:00	1.201,12		1:00	1.177,19
	:	:		:	:
15/2/2015	0:30	1.171,79	25/2/2015	0:30	1.229,29
	1:00	1.160,31		1:00	1.177,18
	:	:		:	:
16/2/2015	0:30	1.142,96	26/2/2015	0:30	1.255,4
	1:00	1.126,08		1:00	1.250,57

Lampiran 6: Peta persebaran distribusi listrik di Jawa Timur



**Lampiran 7:** Hasil analisis deskriptif konsumsi beban listrik di Jawa Timur wilayah subsistem Krian

Jam	Rata-rata	Standar Deviasi	Selang Kepercayaan 95% untuk Rata-Rata	
			Batas Bawah	Batas Atas
07_30	293,777	202,392	287,948	299,929
08_00	303,827	230,363	297,648	310,428
08_30	314,044	253,129	307,542	321,017
09_00	318,312	261,438	311,823	325,292
09_30	320,014	266,453	312,961	327,566
10_00	321,165	281,586	314,456	328,379
10_30	322,394	287,494	315,198	330,101
11_00	322,011	288,242	314,778	329,778
11_30	318,388	284,926	310,976	326,317
12_00	306,503	263,960	299,426	314,041
12_30	300,996	254,740	294,436	307,990
13_00	309,828	277,704	303,063	317,069
13_30	319,112	294,268	312,145	326,599
14_00	319,615	300,534	313,001	326,751
14_30	320,548	298,322	313,947	327,677
15_00	318,241	289,800	311,685	325,314
15_30	316,837	283,715	310,389	324,698
16_00	317,096	277,617	310,254	324,450
16_30	315,315	259,223	308,890	322,242
17_00	315,041	245,983	308,525	322,033
17_30	315,327	237,216	309,041	322,040
18_00	315,414	228,072	308,850	322,352
18_30	311,177	216,982	304,696	318,013
19_00	309,159	216,688	302,803	315,860
19_30	309,607	213,449	303,177	316,385
20_00	309,032	211,926	302,567	315,842
20_30	307,190	207,240	301,261	314,488
21_00	305,134	205,632	298,646	311,923
21_30	300,064	206,925	293,357	307,049
22_00	299,537	215,361	292,673	306,675
22_30	311,973	228,569	304,155	320,074
23_00	311,948	238,645	303,776	320,453
23_30	305,654	245,910	297,579	314,032
00_00	244,948	336,312	232,821	258,149
00_30	305,123	186,927	297,549	312,919
01_00	304,363	182,486	296,875	312,044
01_30	303,448	187,281	295,923	311,161
02_00	302,473	188,272	295,011	310,041
02_30	301,041	184,801	293,785	308,525
03_00	298,296	181,671	290,664	305,988

**Lampiran 7:** Lanjutan

Jam	Rata-rata	Standar Deviasi	Selang Kepercayaan 95% untuk Rata-Rata	
			Batas Bawah	Batas Atas
03_30	298,590	178,180	291,181	306,087
04_00	300,117	175,884	292,651	307,782
04_30	304,052	177,456	296,664	311,580
05_00	309,776	169,737	302,445	317,248
05_30	307,148	173,521	299,869	314,659
06_00	297,177	180,317	290,154	304,435
06_30	293,385	175,614	287,142	299,949
07_00	286,519	178,871	280,753	292,574

**Lampiran 8:** Hasil analisis deskriptif konsumsi beban listrik di Jawa Timur wilayah subsistem Kediri

Jam	Rata-rata	Standar Deviasi	Selang Kepercayaan 95% untuk Rata-Rata	
			Batas Bawah	Batas Atas
07_30	611,565	192,740	593,206	630,089
08_00	616,425	198,193	597,555	635,481
08_30	628,246	202,944	608,983	647,815
09_00	636,539	203,925	617,205	656,224
09_30	637,885	207,577	618,236	657,951
10_00	637,754	209,978	617,875	658,049
10_30	648,987	215,899	628,569	669,875
11_00	652,869	218,522	632,209	674,016
11_30	649,545	218,871	628,844	670,718
12_00	639,690	211,238	619,695	660,111
12_30	638,736	212,097	618,656	659,236
13_00	645,051	216,033	624,610	665,942
13_30	656,438	222,665	635,389	677,989
14_00	654,266	220,988	633,406	675,682
14_30	650,107	216,387	629,677	671,073
15_00	649,016	217,214	628,503	670,058
15_30	650,029	216,234	630,477	671,655
16_00	658,890	216,322	638,423	679,810
16_30	671,554	220,509	650,618	692,812
17_00	696,835	226,368	675,336	718,651
17_30	737,726	248,972	714,034	761,677
18_00	782,273	267,223	756,815	807,951
18_30	791,139	271,359	765,242	817,171
19_00	779,997	270,714	754,134	805,940
19_30	780,852	270,624	755,001	806,789
20_00	775,315	268,630	749,704	801,110
20_30	761,121	263,498	737,338	787,503
21_00	738,487	250,999	714,539	762,571
21_30	710,414	235,047	688,020	732,999
22_00	681,806	226,676	660,208	703,585
22_30	671,240	227,061	649,612	693,062
23_00	650,459	222,920	629,242	671,900
23_30	627,765	217,318	607,061	648,648
00_00	574,286	225,391	553,643	596,643
00_30	612,108	200,622	592,898	631,291
01_00	608,947	193,908	590,406	627,514
01_30	598,458	195,692	579,753	617,202
02_00	598,205	190,296	580,016	616,433
02_30	594,384	190,226	576,225	612,628
03_00	592,492	187,536	574,588	610,476

**Lampiran 8:** Lanjutan

Jam	Rata-rata	Standar Deviasi	Selang Kepercayaan 95% untuk Rata-Rata	
			Batas Bawah	Batas Atas
03_30	598,531	187,681	580,626	616,542
04_00	610,518	195,119	591,932	629,270
04_30	638,295	205,556	618,714	658,049
05_00	664,677	220,794	643,669	685,920
05_30	675,197	226,184	653,699	696,980
06_00	656,032	219,046	635,203	677,119
06_30	628,012	198,238	609,139	647,073
07_00	609,935	189,941	591,843	628,191

**Lampiran 9:** Hasil analisis deskriptif konsumsi beban listrik di Jawa Timur wilayah subsistem Krian-Gresik

Jam	Rata-rata	Standar Deviasi	Selang Kepercayaan 95% untuk Rata-Rata	
			Batas Bawah	Batas Atas
07_30	1.390,996	202,392	1.372,801	1.411,307
08_00	1.464,443	230,363	1.443,931	1.487,686
08_30	1.536,956	253,129	1.514,240	1.562,385
09_00	1.575,287	261,438	1.551,905	1.601,601
09_30	1.600,306	266,453	1.576,337	1.627,037
10_00	1.638,378	281,586	1.613,022	1.666,610
10_30	1.662,815	287,494	1.637,168	1.691,793
11_00	1.670,377	288,242	1.644,488	1.699,320
11_30	1.640,621	284,926	1.614,838	1.669,103
12_00	1.588,461	263,960	1.564,545	1.614,827
12_30	1.577,085	254,740	1.554,015	1.602,538
13_00	1.616,703	277,704	1.591,671	1.644,529
13_30	1.676,257	294,268	1.649,659	1.705,694
14_00	1.670,847	300,534	1.643,643	1.700,884
14_30	1.661,445	298,322	1.634,481	1.691,288
15_00	1.641,238	289,800	1.614,935	1.670,154
15_30	1.629,660	283,715	1.605,223	1.658,741
16_00	1.609,980	277,617	1.584,726	1.637,641
16_30	1.591,721	259,223	1.568,176	1.617,574
17_00	1.575,433	245,983	1.553,084	1.599,961
17_30	1.632,990	237,216	1.611,637	1.656,778
18_00	1.653,344	228,072	1.632,758	1.676,178
18_30	1.669,392	216,982	1.649,800	1.691,111
19_00	1.665,186	216,688	1.645,596	1.686,860
19_30	1.679,993	213,449	1.660,803	1.701,413
20_00	1.681,101	211,926	1.662,024	1.702,353
20_30	1.679,914	207,240	1.662,886	1.701,510
21_00	1.669,641	205,632	1.651,190	1.690,300
21_30	1.647,870	206,925	1.629,272	1.668,639
22_00	1.620,763	215,361	1.601,130	1.642,191
22_30	1.595,227	228,569	1.574,415	1.617,987
23_00	1.537,925	238,645	1.515,914	1.561,481
23_30	1.512,720	245,910	1.490,074	1.537,020
00_00	1.360,644	336,312	1.330,096	1.394,185
00_30	1.451,925	186,927	1.434,716	1.470,401
01_00	1.433,337	182,486	1.416,720	1.451,508
01_30	1.426,493	187,281	1.409,266	1.445,015
02_00	1.414,551	188,272	1.397,203	1.433,148
02_30	1.401,734	184,801	1.384,748	1.420,020
03_00	1.378,424	181,671	1.361,853	1.396,493

**Lampiran 9:** Lanjutan

Jam	Rata-rata	Standar Deviasi	Selang Kepercayaan 95% untuk Rata-Rata	
			Batas Bawah	Batas Atas
03_30	1.379,732	178,180	1.363,370	1.397,374
04_00	1.378,954	175,884	1.362,791	1.396,361
04_30	1.382,507	177,456	1.366,192	1.400,063
05_00	1.388,045	169,737	1.372,661	1.404,996
05_30	1.370,019	173,521	1.354,213	1.387,293
06_00	1.333,197	180,317	1.316,715	1.351,107
06_30	1.313,619	175,614	1.297,670	1.331,135
07_00	1.318,295	178,871	1.302,107	1.336,175

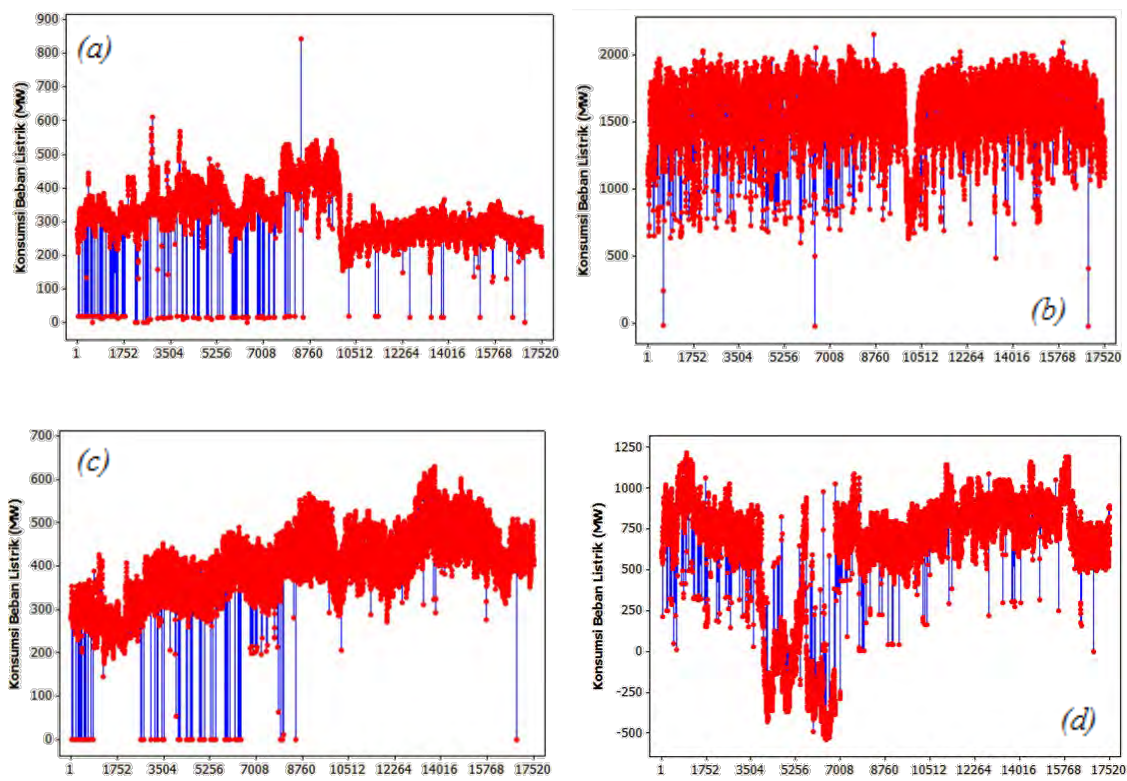
**Lampiran 10:** Hasil analisis deskriptif konsumsi beban listrik di Jawa Timur wilayah subsistem Ngimbang

Jam	Rata-rata	Varians	Selang Kepercayaan 95% untuk Rata-Rata	
			Batas Bawah	Batas Atas
07_30	353,619	3.152,432	348,432	359,154
08_00	359,066	3.487,842	353,615	364,893
08_30	365,943	3.859,961	360,215	372,078
09_00	370,315	4.181,252	364,317	376,671
09_30	372,799	4.237,704	366,766	379,202
10_00	374,745	4.660,506	368,426	381,466
10_30	377,342	5.033,364	370,788	384,337
11_00	378,630	5.064,862	372,058	385,649
11_30	376,472	4.976,366	369,965	383,435
12_00	369,944	4.497,510	363,768	376,571
12_30	370,204	4.499,801	364,027	376,833
13_00	376,764	4.898,744	370,311	383,675
13_30	384,221	5.377,771	377,468	391,468
14_00	383,945	5.132,331	377,354	391,029
14_30	378,937	5.363,219	372,194	386,175
15_00	376,324	5.016,133	369,790	383,314
15_30	375,277	6.079,763	368,911	383,417
16_00	379,106	5.037,834	372,565	386,116
16_30	385,461	4.856,555	379,046	392,350
17_00	398,914	4.952,113	392,414	405,853
17_30	428,375	5.848,367	421,355	435,949
18_00	447,055	5.705,147	440,104	454,522
18_30	452,854	5.600,460	445,943	460,234
19_00	454,081	5.515,092	447,228	461,409
19_30	455,253	5.732,169	448,307	462,754
20_00	455,280	5.819,390	448,264	462,825
20_30	450,911	6.228,149	444,724	459,230
21_00	442,518	5.629,597	435,605	449,930
21_30	429,004	5.317,507	422,286	436,208
22_00	416,457	5.569,981	409,581	423,830
22_30	405,014	5.856,470	397,941	412,557
23_00	393,922	5.949,902	386,776	401,512
23_30	385,865	5.598,240	378,920	393,216
00_00	340,235	19.579,931	327,745	354,334
00_30	379,209	4.503,320	373,025	385,837
01_00	376,407	4.492,603	370,224	383,022
01_30	373,811	4.441,199	367,672	380,395
02_00	372,051	4.376,719	365,953	378,584
02_30	370,129	4.384,099	363,996	376,644
03_00	369,024	4.380,569	362,876	375,523

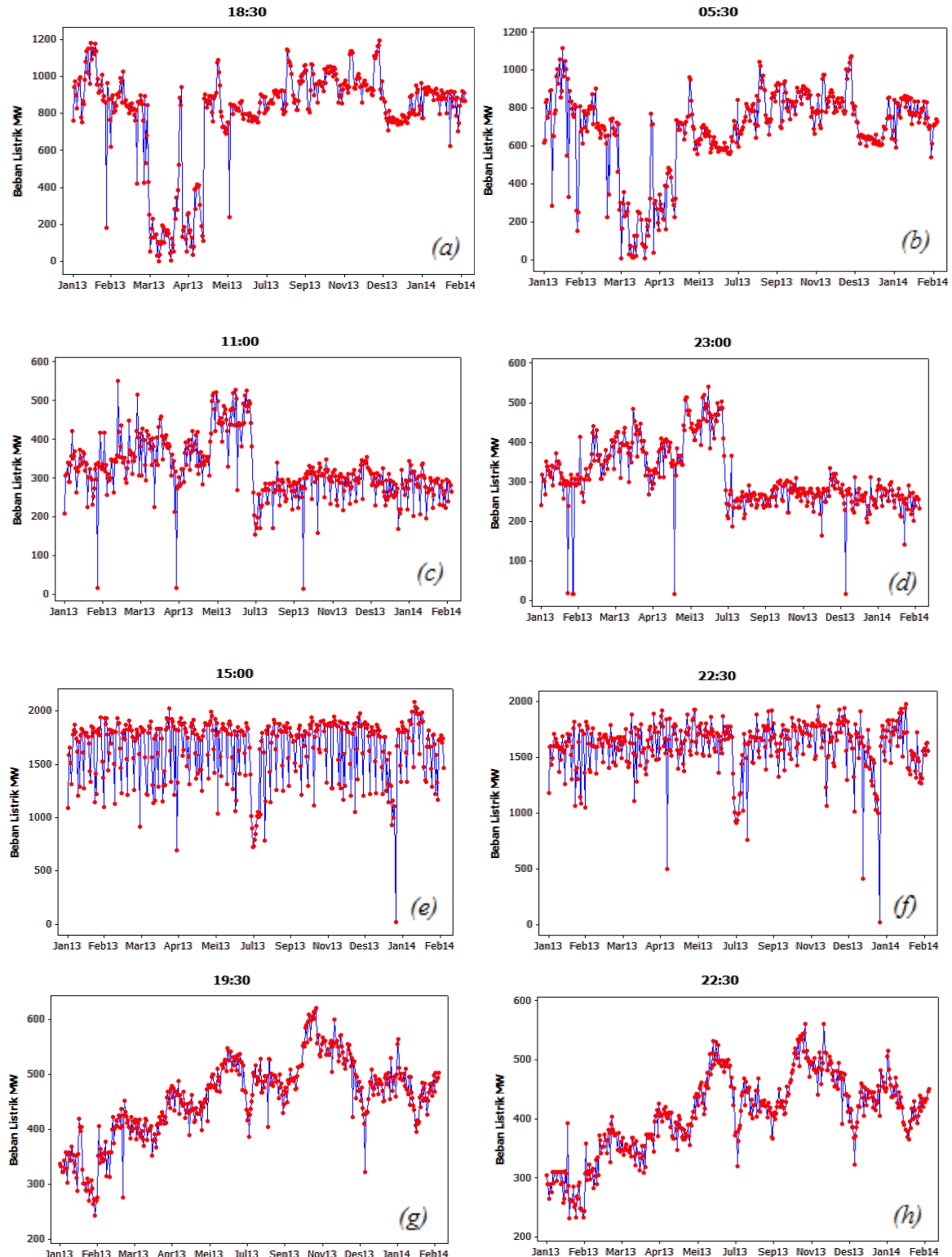
**Lampiran 10:** Lanjutan

03_30	369,475	4.475,702	363,273	376,054
04_00	374,053	4.725,294	367,688	380,819
04_30	382,576	4.789,594	376,161	389,382
05_00	391,956	4.579,925	385,696	398,622
05_30	390,487	4.003,306	384,645	396,728
06_00	372,685	3.871,771	366,938	378,821
06_30	357,316	2.760,352	352,485	362,514
07_00	349,100	2.746,705	344,273	354,279

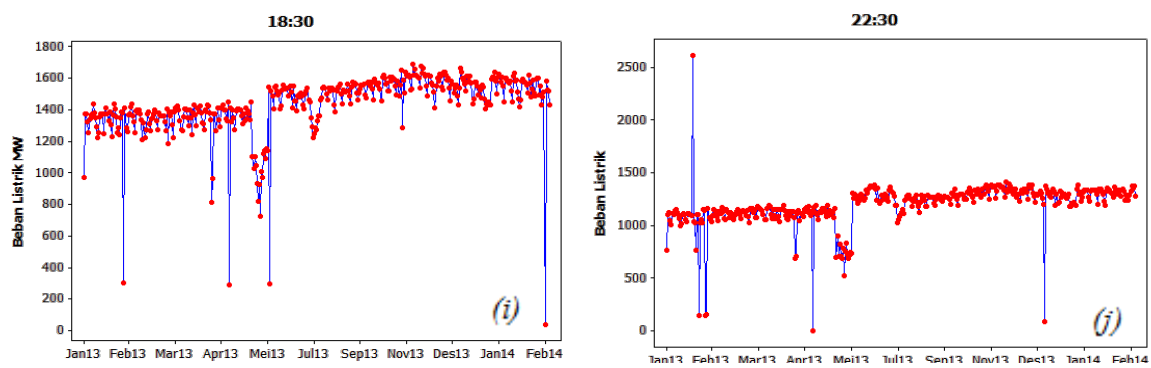
**Lampiran 11:** *Time series plot* konsumsi listrik di subsistem Kediri (a), Ngimbang (b), Krian (c), dan Krian-Gresik (d)



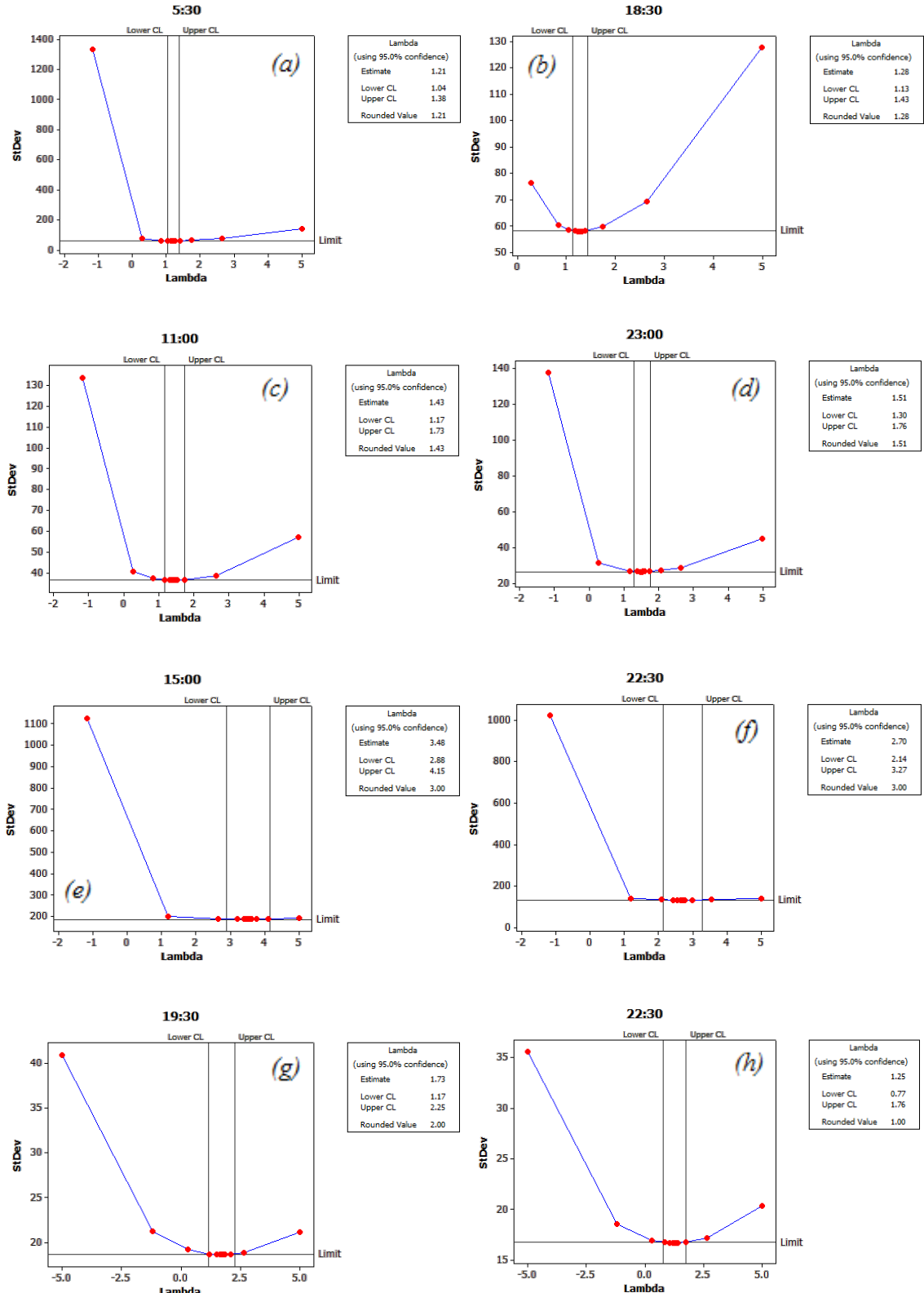
**Lampiran 12:** *Time series plot* konsumsi listrik di subsistem Kediri 18.30 (a), Kediri 05.30 (b), Krian 11.00 (c), Krian 23.00 (d), Krian-Gresik 15.00 (e), Krian-Gresik 22.30 (f), Ngimbang 19.30 (g), Ngimbang 22.30 (h), Paiton 18.30 (i), dan Paiton 22.30 (j).



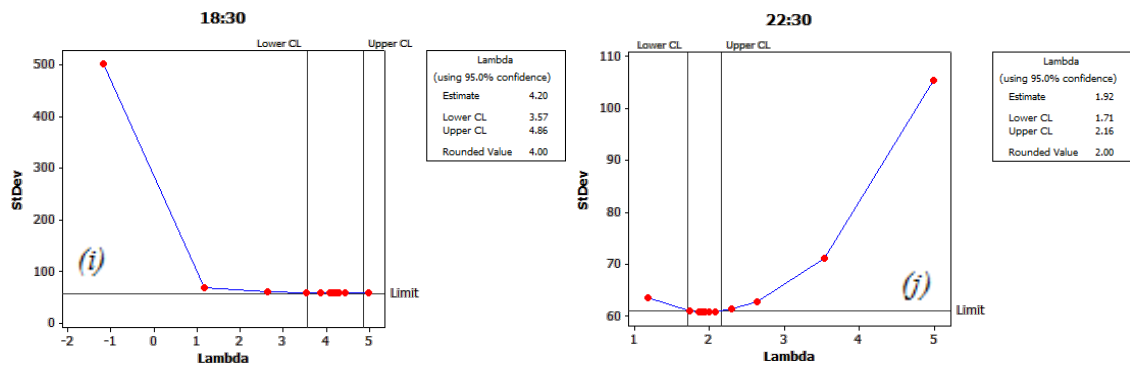
## Lampiran 12: Lanjutan



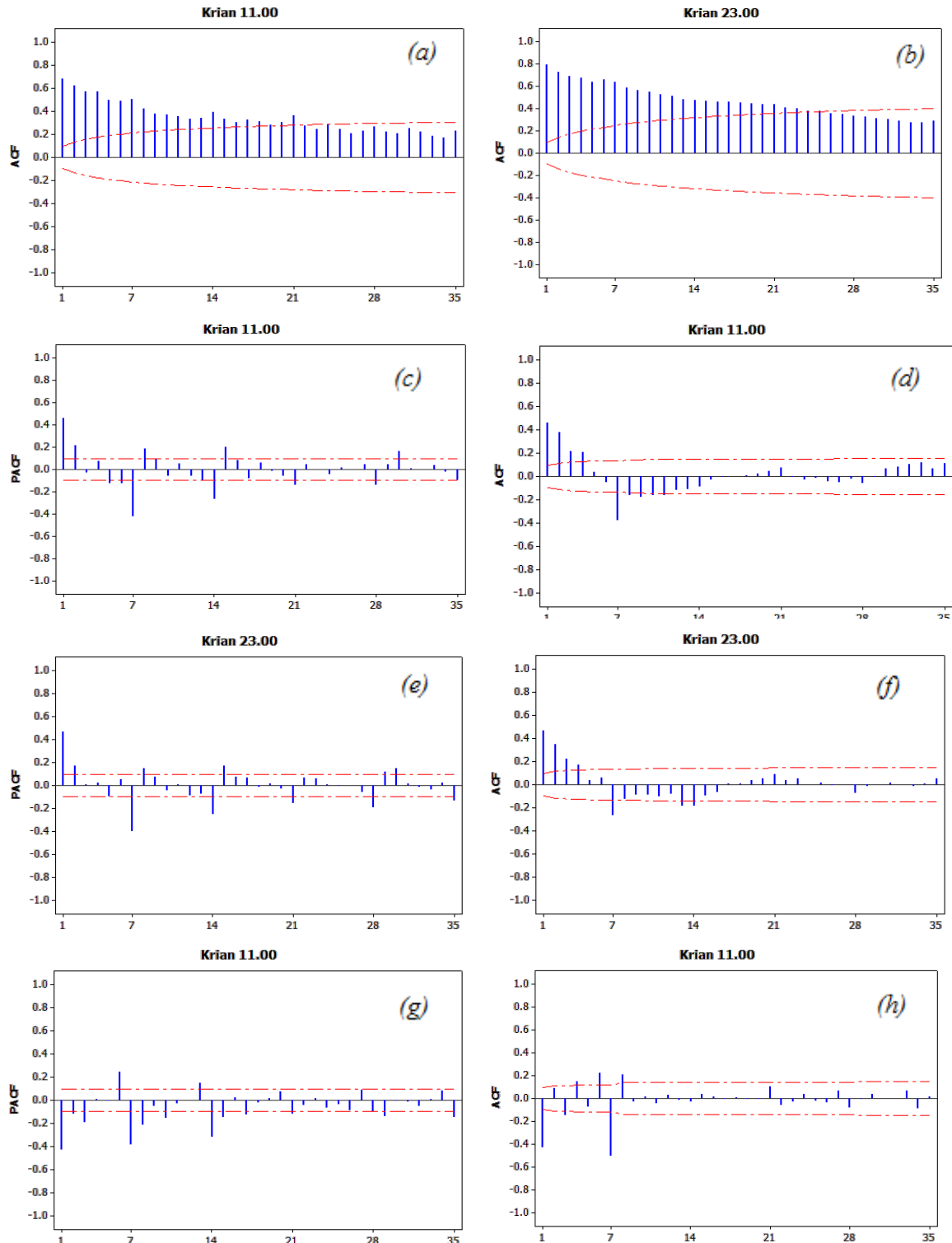
**Lampiran 13: Box-Cox Transformation** konsumsi listrik di di subsistem Kediri 05.30 (a), Kediri 18.30 (b), Krian 11.00 (c), Krian 23.00 (d), Krian-Gresik 15.00 (e), Krian-Gresik 22.30 (f), Ngimbang 19.30 (g), Ngimbang 22.30 (h), Paiton 18.30 (i), dan Paiton 22.30 (j).



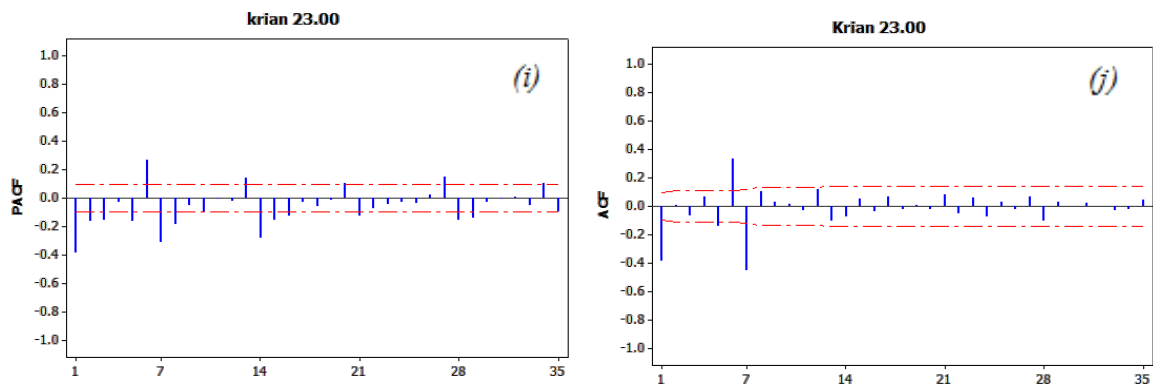
### Lampiran 13: Lanjutan



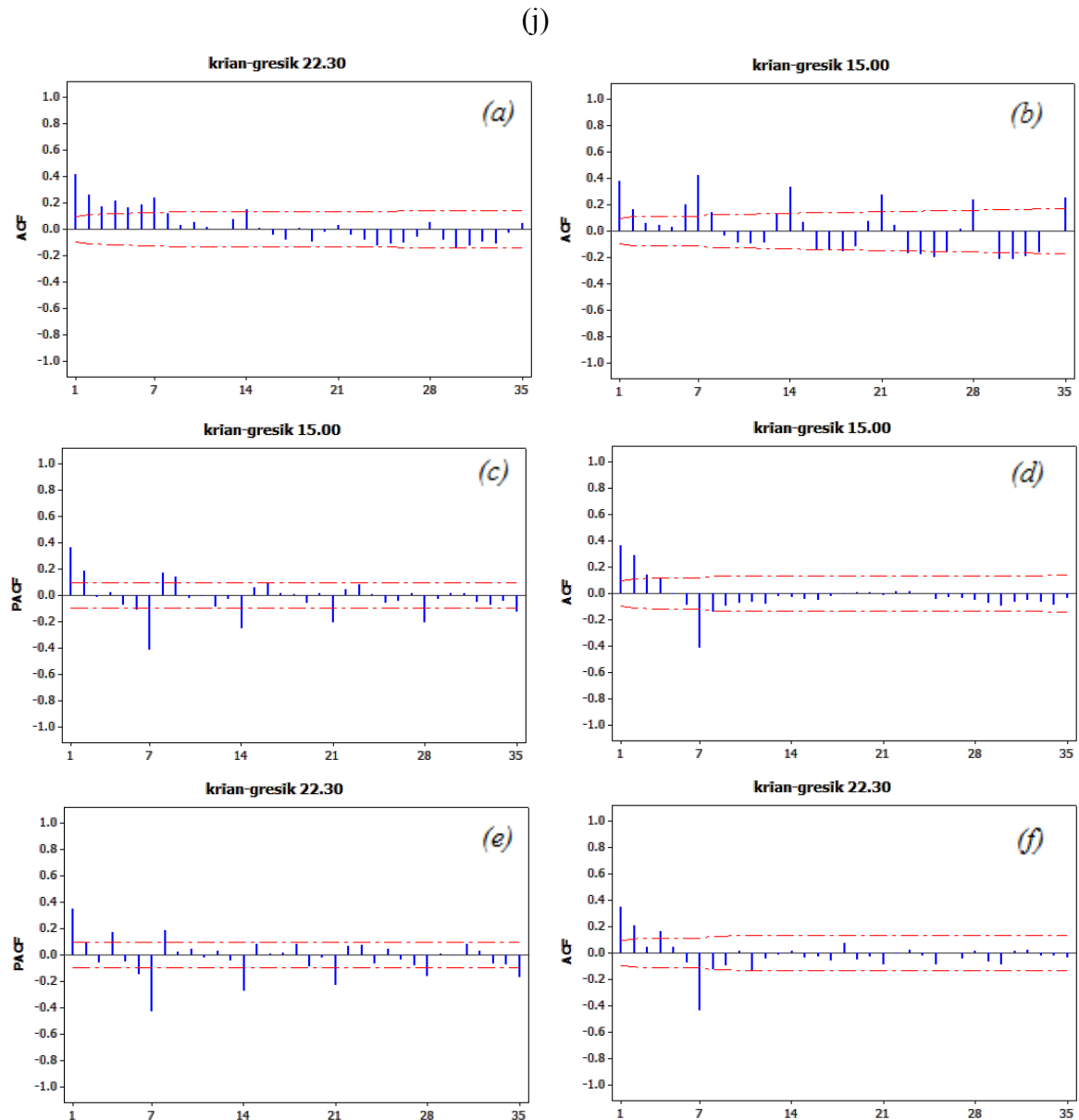
**Lampiran 14:** Plot ACF Krian 11.00 (a), ACF Krian 23.00 (b), PACF Krian 11.00 differencing 7 (c), ACF Krian 11.00 differencing 7 (d), PACF Krian 23.00 differencing 7 (e), ACF Krian 23.00 differencing 7 (f), PACF Krian 11.00 differencing 7 dan 1 (g), ACF Krian 11.00 differencing 7 dan 1 (h), PACF Krian 23.00 differencing 7 dan 1 (i), ACF Krian 23.00 differencing 7 dan 1 (j)



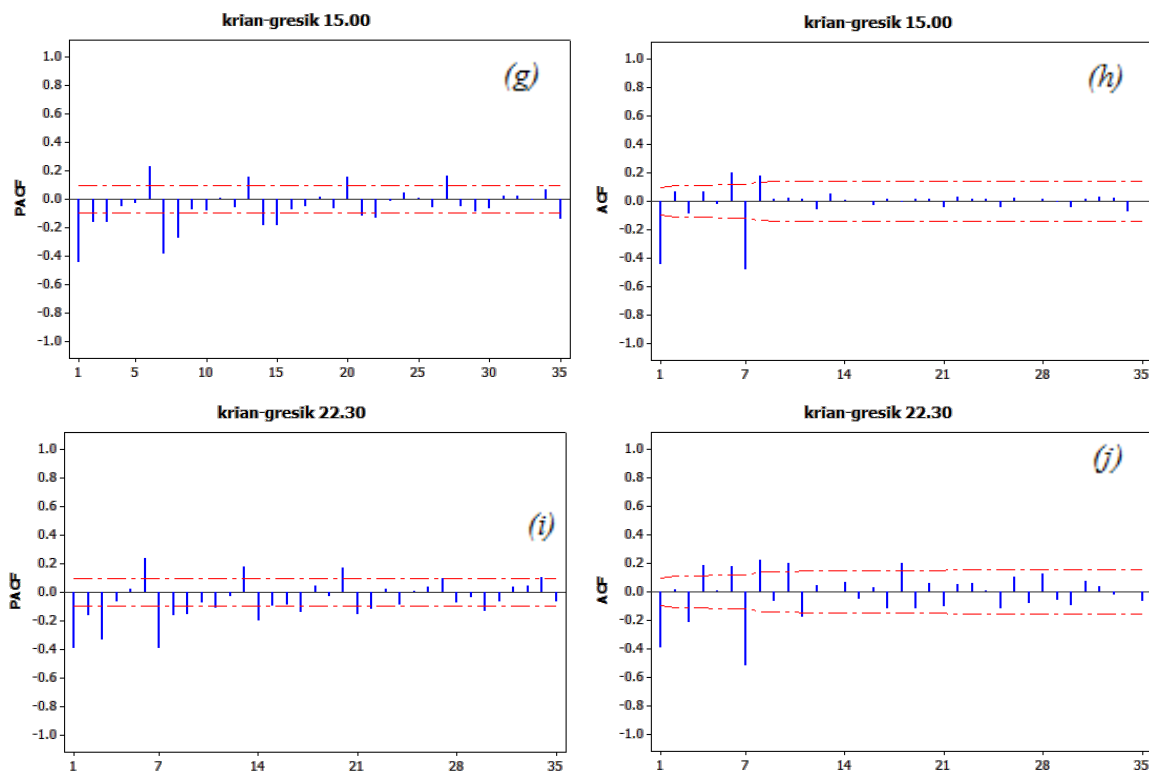
## Lampiran 14: Lanjutan



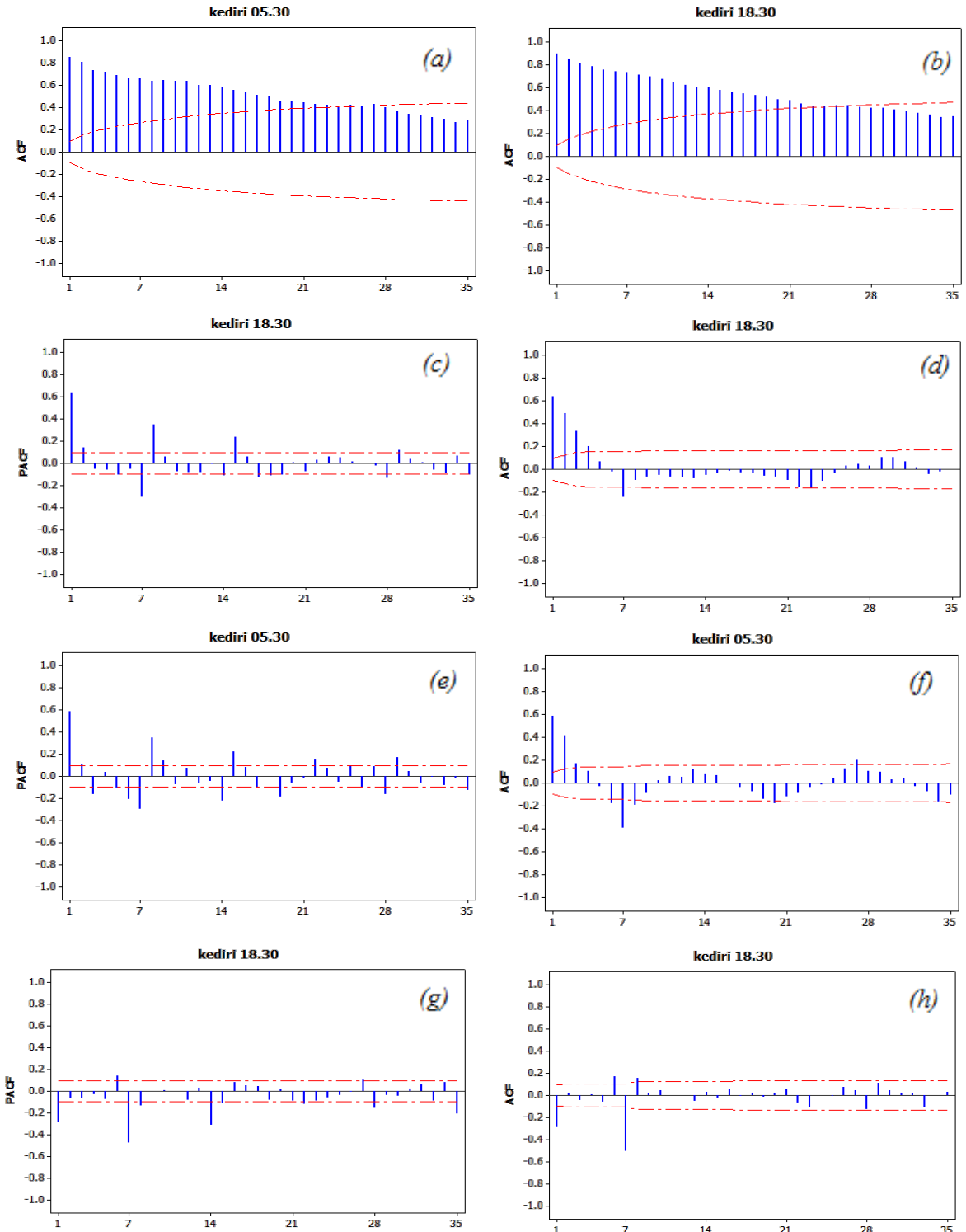
**Lampiran 15:** Plot ACF Krian-Gresik 22.30 (a), ACF Krian-Gresik 15.00 (b), PACF Krian-Gresik 15.00 *differencing 7* (c), ACF Krian-Gresik 15.00 *differencing 7* (d), PACF Krian-Gresik 22.30 *differencing 7* (e), ACF Krian - Gresik 22.30 *differencing 7* (f), PACF Krian-Gresik 15.00 *differencing 7* dan 1 (g), ACF Krian-Gresik 15.00 *differencing 7* dan 1 (h), PACF Krian - Gresik 22.30 *differencing 7* dan 1 (i), ACF Krian - Gresik 22.30 *differencing 7* dan 1 (j)



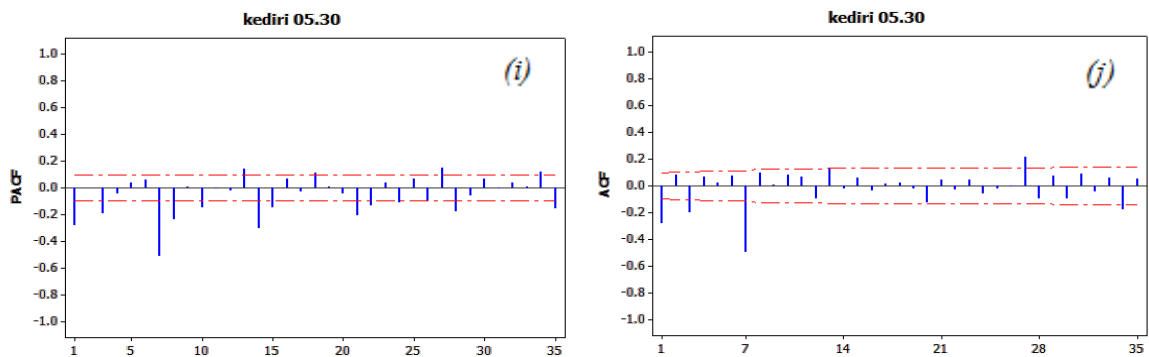
## Lampiran 15: Lanjutan



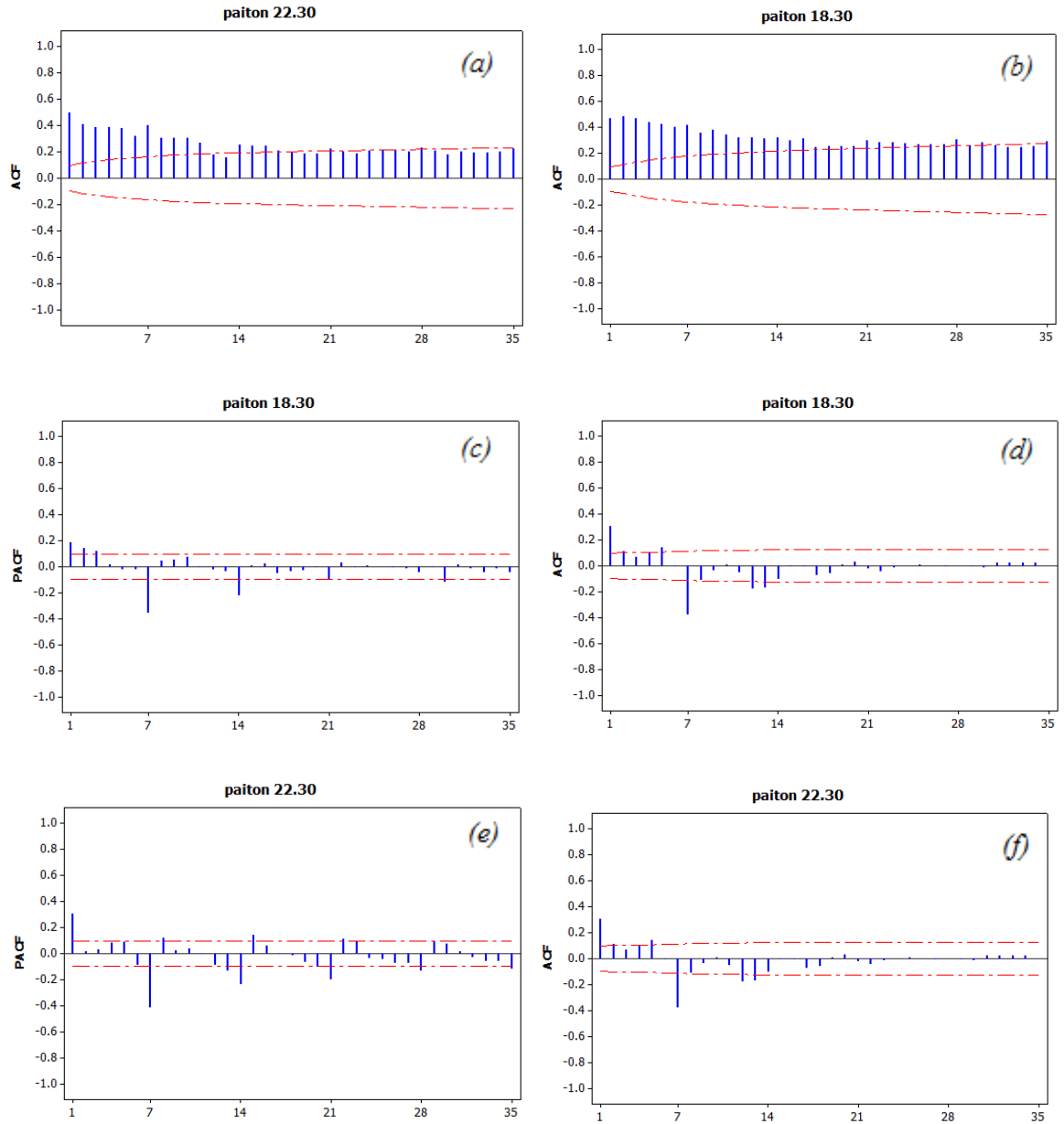
**Lampiran 16:** Plot ACF dan PACF Subsistem Kediri 05.30 (a), ACF Kediri 18.30 (b), PACF Kediri 18.30 *differencing 7* (c), ACF Kediri 18.30 *differencing 7* (d), PACF Kediri 05.30 *differencing 7* (e), Kediri 05.30 *differencing 7* (f), PACF Kediri 18.30 *differencing 7* dan 1 (g), ACF Kediri 18.30 *differencing 7* dan 1 (h), PACF Kediri 05.30 *differencing 7* dan 1 (i), ACF Kediri 05.30 *differencing 7* dan 1 (j)



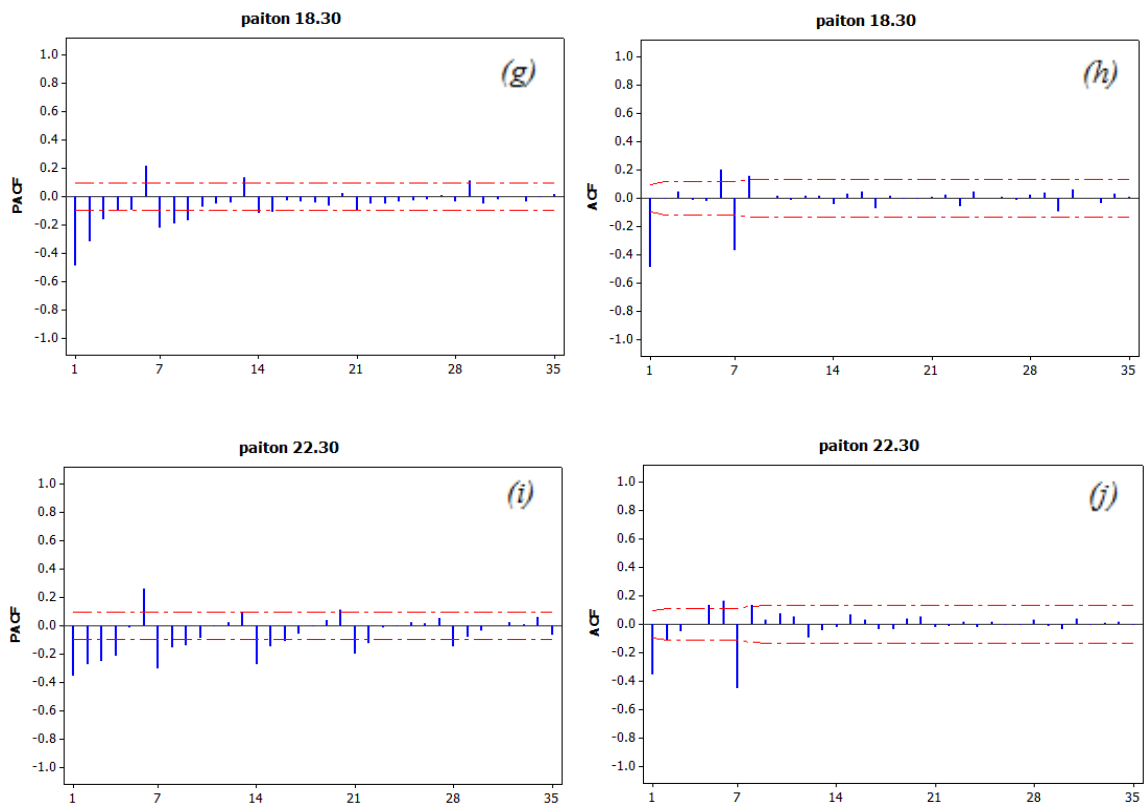
## Lampiran 16: Lanjutan



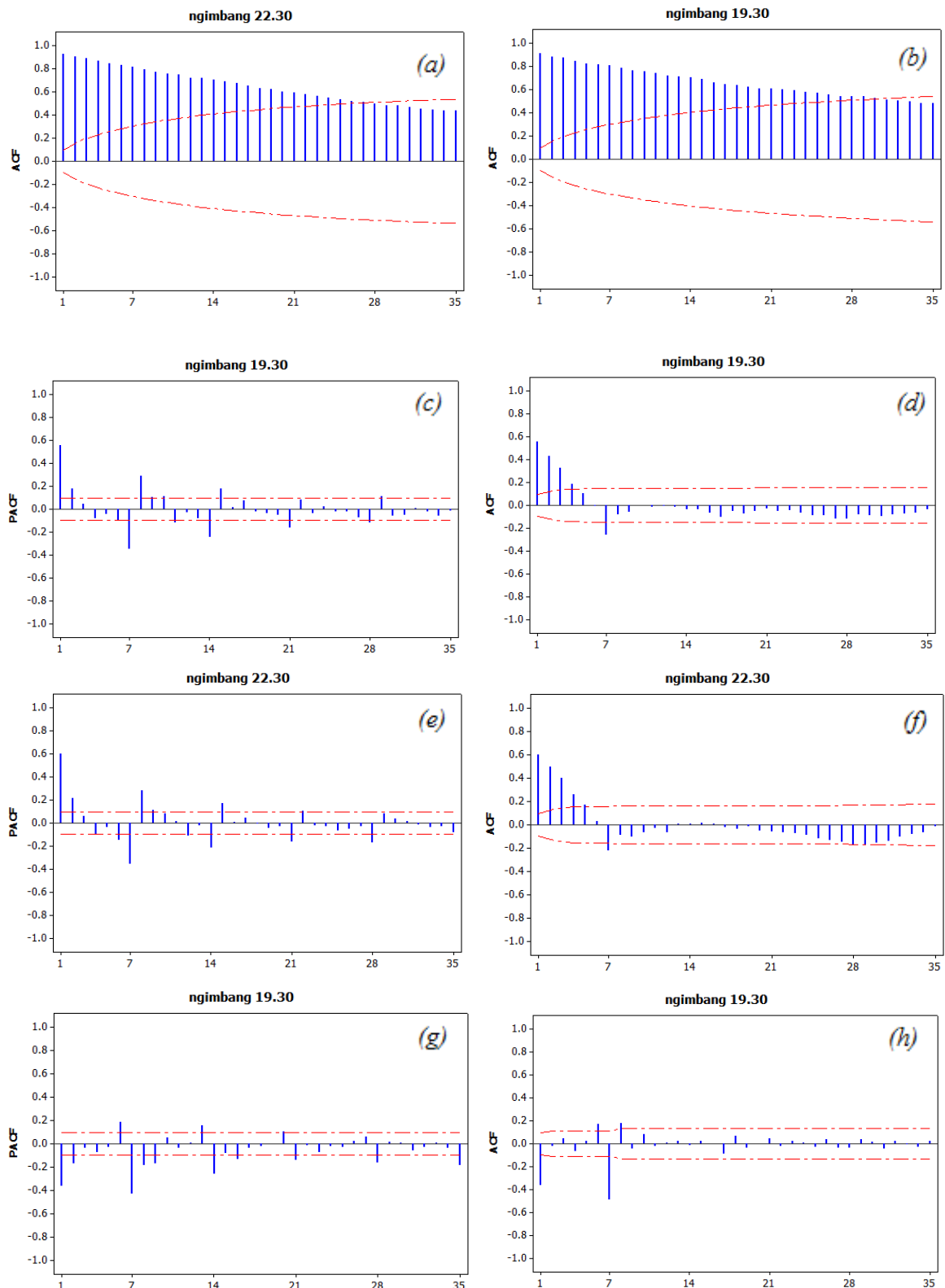
**Lampiran 17:** Plot ACF dan PACF Subsistem Paiton 22.30 (a), ACF Kediri 18.30 (b), PACF Paiton 18.30 *differencing 7* (c), ACF Paiton 18.30 *differencing 7* (d), PACF Paiton 22.30 *differencing 7* (e), ACF Paiton 22.30 *differencing 7* (f), PACF Paiton 18.30 *differencing 7* dan 1 (g), ACF Paiton 18.30 *differencing 7* dan 1 (h), PACF Paiton 22.30 *differencing 7* dan 1 (i), ACF Paiton 22.30 *differencing 7* dan 1 (j)



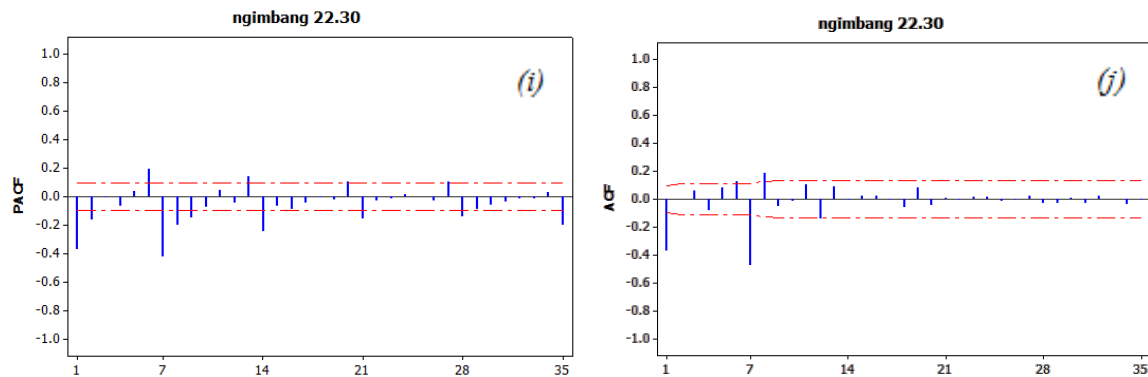
## Lampiran 17: Lanjutan



**Lampiran 18:** Plot ACF dan PACF Subsistem Ngimbang 22.30 (a), ACF Ngimbang 19.30 (b), PACF Ngimbang 19.30 *differencing* 7 (c), ACF Ngimbang 19.30 *differencing* 7 (d), PACF Ngimbang 22.30 *differencing* 7 (e), ACF Ngimbang 22.30 *differencing* 7 (f), PACF Ngimbang 19.30 *differencing* 7 dan 1 (g), ACF Ngimbang 19.30 *differencing* 7 dan 1 (h), PACF Ngimbang 22.30 *differencing* 7 dan 1 (i), ACF Ngimbang 22.30 *differencing* 7 dan 1 (j)



## Lampiran 18: Lanjutan



**Lampiran 19:** Hasil uji signifikansi parameter pendugaan model ARIMA

Subsitem	Model	Model ARIMA	Parameter	Estimasi	S.E	p-value
Ngimbang	19.30	$(0, 1, 1)(0, 1, 1)^7$	$\theta_1$	0,494	0,042	<,0001
			$\Theta_1$	0,906	0,022	<,0001
	22.30	$(0, 1, 1)(0, 1, 1)^7$	$\theta_1$	0,469	0,043	<,0001
			$\Theta_1$	0,874	0,023	<,0001
Paiton	18.30	$(0, 1, 1)(0, 1, 1)^7$	$\theta_1$	0,670	0,037	<,0001
			$\Theta_1$	0,796	0,034	<,0001
	22.30	$(0, 1, [1, 12, 16])(0, 1, 1)^7$	$\theta_1$	0,648	0,037	<,0001
			$\theta_{12}$	0,107	0,039	<,0001
			$\theta_{16}$	-0,096	0,037	<,0001
			$\Theta_1$	0,845	0,026	<,0001
Kediri	18.30	$(0, 1, 1)(0, 1, 1)^7$	$\theta_1$	0,384	0,045	<,0001
			$\Theta_1$	0,830	0,028	<,0001
	05.30	$(0, 1, 1)(0, 1, 1)^7$	$\theta_1$	0,328	0,046	<,0001
			$\Theta_1$	0,867	0,024	<,0001
Krian	23.00	$(0, 1, [1, 6])(0, 1, 1)^7$	$\theta_1$	0,490	0,042	<,0001
			$\theta_6$	-0,131	0,042	<,0001
			$\Theta_1$	0,913	0,020	<,0001
	11.00	$(0, 1, 1)(0, 1, 1)^7$	$\phi_1$	0,477	0,043	<,0001
Krian-Gresik	15.00	$(0, 1, 1)(0, 1, 1)^7$	$\Theta_1$	0,863	0,024	<,0001
			$\theta_2$	0,519	0,042	<,0001
	22.30	$(0, 1, 1)(0, 1, 1)^7$	$\Theta_1$	0,841	0,027	<,0001
			$\theta_1$	0,591	0,040	<,0001
			$\Theta_1$	0,866	0,024	<,0001

**Lampiran 20:** Hasil pengujian asumsi residual pendugaan model ARIMA di setiap subsistem

Subsistem Krian Pukul 11.00 (0, 1, 1) (0, 1, 1) <sup>7</sup>				
Uji White Noise				Uji Normalitas
Hingga lag ke-	Chi square	df	p-value	p-value
6	7,68	4	0,10	<0,0100
12	10,97	10	0,35	
18	14,17	16	0,58	
24	21,47	22	0,49	
30	24,5	28	0,65	
36	38,67	34	0,26	
Subsistem Krian Pukul 23.00 (0, 1, [1, 6]) (0, 1, 1) <sup>7</sup>				
Uji White Noise				Uji Normalitas
Hingga lag ke-	Chi square	df	p-value	p-value
6	5,17	3	0,15	<0,0100
12	8,87	9	0,44	
18	13,23	15	0,58	
24	17,92	21	0,65	
30	20,33	27	0,81	
36	23,43	33	0,89	
Subsistem Krian-Gresik Pukul 15.00 (0, 1, 1) (0, 1, 1) <sup>7</sup>				
Uji White Noise				Uji Normalitas
Hingga lag ke-	Chi square	df	p-value	p-value
6	3,57	4	0,46	<0,0100
12	6,43	10	0,77	
18	12,6	16	0,70	
24	20,72	22	0,53	
30	24,61	28	0,64	
36	30,21	34	0,65	
Subsistem Krian-Gresik Pukul 22.30 (0, 1, 1) (0, 1, 1) <sup>7</sup>				
Uji White Noise				Uji Normalitas
Hingga lag ke-	Chi square	df	p-value	p-value
6	8,57	4	0,07	<0,0100
12	14,60	10	0,14	
18	31,26	16	0,05	
24	34,40	22	0,05	
30	38,34	28	0,09	
36	42,90	34	0,14	
Subsistem Ngimbang Pukul 19.30 (0, 1, 1) (0, 1, 1) <sup>7</sup>				
Uji White Noise				Uji Normalitas
Hingga lag ke-	Chi square	df	p-value	p-value
6	4,01	4	0,40	<0,0100
12	6,25	10	0,79	
18	12,4	16	0,71	
24	18,86	22	0,65	
30	28,28	28	0,44	
36	32,37	34	0,54	
Subsistem Ngimbang Pukul 22.30 (0, 1, 1) (0, 1, 1) <sup>7</sup>				
Uji White Noise				Uji Normalitas
Hingga lag ke-	Chi square	df	p-value	p-value
6	2,26	4	0,68	<0,0100
12	11,77	10	0,30	
18	15,02	16	0,52	
24	15,95	22	0,81	
30	22,92	28	0,73	
36	25,35	34	0,85	

## Lampiran 20: Lanjutan

Subsistem Paiton Pukul 18.30 (0, 1, 1) (0, 1, 1) <sup>7</sup>				
<i>Uji White Noise</i>				Uji Normalitas
Hingga lag ke-	<i>Chi square</i>	<i>df</i>	<i>p-value</i>	<i>p-value</i>
6	2,87	4	0,580	<0,0100
12	4,15	10	0,940	
18	8,68	16	0,925	
24	11,33	22	0,969	
30	13,18	28	0,992	
36	14,85	34	0,998	
Subsistem Paiton Pukul 22.30 (0, 1, [1, 12, 16]) (0, 1, 1) <sup>7</sup>				
<i>Uji White Noise</i>				Uji Normalitas
Hingga lag ke-	<i>Chi square</i>	<i>df</i>	<i>p-value</i>	<i>p-value</i>
6	4,71	2	0,094	<0,0100
12	11,41	8	0,193	
18	17,09	14	0,251	
24	19,30	20	0,502	
30	19,57	26	0,811	
36	21,38	32	0,923	
Subsistem Kediri Pukul 18.30 (0, 1, 1) (0, 1, 1) <sup>7</sup>				
<i>Uji White Noise</i>				Uji Normalitas
Hingga lag ke-	<i>Chi square</i>	<i>df</i>	<i>p-value</i>	<i>p-value</i>
6	8,35	4	0,07	<0,0100
12	11,99	10	0,28	
18	15,26	16	0,50	
24	26,04	22	0,25	
30	39,16	28	0,07	
36	43,75	34	0,12	
Subsistem Kediri Pukul 05.30 (0, 1, [1, 2]) (0, 1, 1) <sup>7</sup>				
<i>Uji White Noise</i>				Uji Normalitas
Hingga lag ke-	<i>Chi square</i>	<i>df</i>	<i>p-value</i>	<i>p-value</i>
6	1,86	3	0,39	<0,0100
12	12,90	9	0,11	
18	17,21	15	0,24	
24	20,17	21	0,44	
30	34,93	27	0,11	
36	45,00	33	0,06	

**Lampiran 21:** Hasil uji signifikansi model ARIMA di setiap subsistem dengan penambahan *outlier*

ARIMA (0, 1, 1) (0, 1, 1) <sup>7</sup> untuk subsistem Ngimbang 19.30				
Data ke-	Parameter	Estimasi	P-value	Outlier
-	$\theta_1$	0,502	<0,0001	-
-	$\Theta_1$	0,956	<0,0001	-
378	$\tilde{\omega}_1$	66,411	<0,0001	LS
380	$\tilde{\omega}_2$	-56,318	0,0007	LS
371	$\tilde{\omega}_3$	51,029	0,0016	AO
20	$\tilde{\omega}_4$	-54,178	0,0012	AO
212	$\tilde{\omega}_5$	-47,853	0,0029	AO
ARIMA (0, 1, 1) (0, 1, 1) <sup>7</sup> untuk subsistem Ngimbang 22.30				
Data ke-	Parameter	Estimasi	P-value	Outlier
-	$\theta_1$	0,444	<0,0001	-
-	$\Theta_1$	0,999	0,9102	-
378	$\tilde{\omega}_1$	47,730	0,0013	LS
346	$\tilde{\omega}_2$	41,413	0,0054	LS
352	$\tilde{\omega}_3$	-4,833	0,0030	AO
217	$\tilde{\omega}_4$	40,865	0,0061	LS
120	$\tilde{\omega}_5$	42,537	0,0042	LS
ARIMA (0, 1, [1, 2, 3]) (0, 1, 1) <sup>7</sup> untuk subsistem Paiton 18.30				
Data ke-	Parameter	Estimasi	P-value	Outlier
-	$\theta_1$	0,476	<0,0001	-
-	$\theta_2$	0,192	0,0004	-
-	$\theta_3$	0,142	0,0047	-
-	$\Theta_1$	0,960	<0,0001	-
77	$\tilde{\omega}_1$	-203,245	<0,0001	AO
371	$\tilde{\omega}_2$	113,817	<0,0001	LS
99	$\tilde{\omega}_3$	-136,137	<0,0001	AO
ARIMA (0, 1, [1, 18]) (0, 1, 1) <sup>7</sup> untuk subsistem Paiton 22.30				
Data ke-	Parameter	Estimasi	P-value	Outlier
-	$\theta_1$	0,554	<0,0001	-
-	$\theta_{18}$	-0,087	0,0372	-
-	$\Theta_1$	0,993	<0,0001	-
27	$\tilde{\omega}_1$	-328,512	<0,0001	AO
1	$\tilde{\omega}_2$	-345,273	<0,0001	AO
209	$\tilde{\omega}_3$	-195,264	<0,0001	LS
161	$\tilde{\omega}_4$	-249,439	<0,0001	AO

### Lampiran 21: Lanjutan

ARIMA (0, 1, 1) (0, 1, 1) <sup>7</sup> untuk subsistem Kediri 18.30				
Data ke-	Parameter	Estimasi	P-value	Outlier
-	$\theta_1$	0,243	<0,0001	-
-	$\Theta_1$	0,918	<0,0001	-
110	$\tilde{\omega}_1$	230,189	<0,0001	LS
326	$\tilde{\omega}_2$	215,472	<0,0001	LS
9	$\tilde{\omega}_3$	-225,753	<0,0001	LS
80	$\tilde{\omega}_4$	-207,216	<0,0001	AO
254	$\tilde{\omega}_5$	-209,086	0,0002	LS
ARIMA (0, 1, [1, 2]) (0, 1, 1) <sup>7</sup> untuk subsistem Kediri 05.30				
Data ke-	Parameter	Estimasi	P-value	Outlier
-	$\theta_1$	0,196	<0,0001	-
-	$\theta_2$	0,239	<0,0001	-
-	$\Theta_1$	0,977	<0,0001	-
326	$\tilde{\omega}_1$	223,179	<0,0001	LS
92	$\tilde{\omega}_2$	-252,375	<0,0001	LS
209	$\tilde{\omega}_3$	225,298	<0,0001	AO
233	$\tilde{\omega}_4$	168,285	0,0033	LS
ARIMA ([1, 2, 14, 28], 1, 0) (1, 1, 0) <sup>7</sup> untuk subsistem Krian 11.00				
Data ke-	Parameter	Estimasi	P-value	Outlier
-	$\phi_1$	-0,341	<0,0001	-
-	$\phi_2$	-0,118	0,0095	-
-	$\phi_{14}$	-0,451	<0,0001	-
-	$\phi_{28}$	0,290	<0,0001	-
-	$\Phi_1$	-0,677	<0,0001	-
209	$\tilde{\omega}_1$	-96,333	0,004	LS
147	$\tilde{\omega}_2$	-92,392	<0,0001	AO
ARIMA (1, 1, [2]) (0, 1, 1) <sup>7</sup> untuk subsistem Krian 23.00				
Data ke-	Parameter	Estimasi	P-value	Outlier
-	$\theta_2$	0,200	0,0003	-
-	$\phi_1$	0,991	<0,0001	-
-	$\Theta_1$	-0,504	<0,0001	-
103	$\tilde{\omega}_1$	78,092	<0,0001	LS
121	$\tilde{\omega}_2$	-72,354	0,0002	AO
31	$\tilde{\omega}_3$	-74,442	0,0002	AO
64	$\tilde{\omega}_4$	-65,936	0,0008	LS

### Lampiran 21: Lanjutan

ARIMA ([1, 14], 1, [2]) (1, 1, 0) <sup>7</sup> untuk subsistem Krian-Gresik 15.00				
Data ke-	Parameter	Estimasi	P-value	Outlier
-	$\theta_2$	0,255	<0,0001	-
-	$\phi_1$	-0,352	<0,0001	-
-	$\phi_{14}$	-0,342	<0,0001	-
-	$\Phi_1$	-0,694	<0,0001	-
1	$\tilde{\omega}_1$	-569,897	<0,0001	AO
107	$\tilde{\omega}_2$	-363,172	0,0003	AO
216	$\tilde{\omega}_3$	-566,255	<0,0001	AO

ARIMA (0, 1, [1, 3]) (0, 1, 1) <sup>7</sup> untuk subsistem Krian-Gresik 22.30				
Data ke-	Parameter	Estimasi	P-value	Outlier
-	$\theta_1$	0,567	<0,0001	-
-	$\theta_3$	0,133	0,0028	-
-	$\Theta_1$	0,948	<0,0001	-
1	$\tilde{\omega}_1$	-480,479	<0,0001	AO
99	$\tilde{\omega}_2$	-433,344	<0,0001	AO
209	$\tilde{\omega}_3$	-341,912	<0,0001	LS
190	$\tilde{\omega}_4$	-374,595	<0,0001	AO

**Lampiran 22:** Hasil pengujian asumsi residual model ARIMA dengan *outlier* disetiap subsistem

Subsistem Krian Pukul 11.00 ([1, 2, 14, 28], 1, 0) (1, 1, 0) <sup>7</sup>				
Uji White Noise				Uji Normalitas
Hingga lag ke-	Chi square	df	p-value	p-value
6	3,40	1	0,065	>0,1500
12	9,66	7	0,208	
18	14,83	13	0,318	
24	16,73	19	0,608	
30	32,93	25	0,132	
36	48,75	31	0,052	
Subsistem Krian Pukul 23.00 (1, 1, [2]) (0, 1, 1) <sup>7</sup>				
Uji White Noise				Uji Normalitas
Hingga lag ke-	Chi square	df	p-value	p-value
6	6,24	3	0,100	<0,0100
12	9,91	9	0,357	
18	12,21	15	0,663	
24	19,95	21	0,524	
30	23,50	27	0,657	
36	28,18	33	0,705	
Subsistem Krian-Gresik Pukul 15.00 ([1, 14], 1, [2]) (1, 1, 0) <sup>7</sup>				
Uji White Noise				Uji Normalitas
Hingga lag ke-	Chi square	df	p-value	p-value
6	4,61	2	0,099	<0,0100
12	11,66	8	0,166	
18	20,38	14	0,118	
24	23,98	20	0,243	
30	47,84	26	0,056	
36	55,34	32	0,065	
Subsistem Krian-Gresik Pukul 22.30 (0, 1, [1, 3]) (0, 1, 1) <sup>7</sup>				
Uji White Noise				Uji Normalitas
Hingga lag ke-	Chi square	df	p-value	p-value
6	4,44	3	0,218	>0,1500
12	9,57	9	0,386	
18	15,58	15	0,410	
24	17,32	21	0,691	
30	23,86	27	0,638	
36	31,15	33	0,559	
Subsistem Ngimbang Pukul 19.30 (0, 1, 1) (0, 1, 1) <sup>7</sup>				
Uji White Noise				Uji Normalitas
Hingga lag ke-	Chi square	df	p-value	p-value
6	4,15	4	0,386	<0,1202
12	11,28	10	0,336	
18	16,90	16	0,391	
24	24,06	22	0,344	
30	29,75	28	0,375	
36	35,32	34	0,409	
Subsistem Ngimbang Pukul 22.30 (0, 1, 1) (0, 1, 1) <sup>7</sup>				
Uji White Noise				Uji Normalitas
Hingga lag ke-	Chi square	df	p-value	p-value
6	5,56	4	0,234	>0,1500
12	10,86	10	0,368	
18	18,81	16	0,278	
24	25,09	22	0,292	
30	35,33	28	0,160	
36	39,60	34	0,234	

## Lampiran 22: Lanjutan

Subsistem Paiton Pukul 18.30 (0, 1, [1, 2, 3]) (0, 1, 1) <sup>7</sup>				
Uji White Noise				Uji Normalitas
Hingga lag ke-	Chi square	df	p-value	p-value
6	5,94	2	0,064	<0,0100
12	10,53	8	0,230	
18	22,84	14	0,062	
24	25,51	20	0,182	
30	29,74	26	0,278	
36	32,84	32	0,425	
Subsistem Paiton Pukul 22.30 (0, 1, [1, 18]) (0, 1, 1) <sup>7</sup>				
Uji White Noise				Uji Normalitas
Hingga lag ke-	Chi square	df	p-value	p-value
6	7,15	3	0,067	<0,0100
12	16,29	9	0,061	
18	21,36	15	0,125	
24	32,12	21	0,057	
30	39,24	27	0,060	
36	46,11	33	0,064	
Subsistem Kediri Pukul 18.30 (0, 1, 1) (0, 1, 1) <sup>7</sup>				
Uji White Noise				Uji Normalitas
Hingga lag ke-	Chi square	df	p-value	p-value
6	2,94	4	0,563	<0,0100
12	4,20	10	0,938	
18	16,98	16	0,387	
24	23,36	22	0,381	
30	24,98	28	0,629	
36	32,11	34	0,560	
Subsistem Kediri Pukul 05.30 (0, 1, [1, 2]) (0, 1, 1) <sup>7</sup>				
Uji White Noise				Uji Normalitas
Hingga lag ke-	Chi square	df	p-value	p-value
6	6,51	3	0,089	<0,0100
12	16,43	9	0,058	
18	20,29	15	0,161	
24	24,80	21	0,255	
30	28,04	27	0,408	
36	33,92	33	0,423	

**Lampiran 23:** Hasil ramalan data *out sample* dengan model ARIMA untuk subsistem Ngimbang

Tanggal	13.30		19.30		22.30	
	Aktual	Ramalan	Aktual	Ramalan	Aktual	Ramalan
2015-03-01	410,82	407,56	457,14	486,92	435,60	434,04
2015-03-02	426,19	450,98	494,4	492,45	448,82	440,98
2015-03-03	457,03	460,10	495,22	502,90	462,15	450,38
2015-03-04	471,52	454,12	468,93	503,94	444,26	449,52
2015-03-05	419,90	449,08	479,06	500,78	447,93	449,45
2015-03-06	416,60	456,14	493,28	499,24	445,33	448,50
2015-03-07	425,13	441,61	483,44	497,99	451,04	446,34
2015-03-08	392,87	409,65	481,05	488,23	425,44	435,59
2015-03-09	446,65	453,07	499,74	493,77	424,65	442,53
2015-03-10	421,45	462,19	493,57	504,21	435,67	451,93
2015-03-11	470,56	456,21	514,64	505,26	456,73	451,07
2015-03-12	425,88	451,17	486,13	502,10	431,69	451,00
2015-03-13	446,28	458,23	494,06	500,56	432,75	450,05
2015-03-14	411,87	443,69	462,53	499,30	410,42	447,89
2015-03-15	405,80	411,74	432,77	489,55	385,60	437,14
2015-03-16	422,53	455,16	477,81	495,08	409,47	444,07
2015-03-17	443,87	464,28	478,21	505,53	419,71	453,48
2015-03-18	452,76	458,30	509,32	506,58	446,78	452,62
2015-03-19	416,31	453,26	484,09	503,42	436,99	452,55
2015-03-20	405,40	460,32	467,65	501,88	433,54	451,60
2015-03-21	404,15	445,78	468,74	500,62	420,60	449,44
2015-03-22	378,16	413,83	446,10	490,87	391,77	438,69
2015-03-23	400,18	457,25	479,25	496,40	431,09	445,62
2015-03-24	460,90	466,37	508,65	506,85	453,73	455,03
2015-03-25	451,41	460,39	513,86	507,90	450,26	454,17
2015-03-26	451,04	455,35	524,89	504,73	451,61	454,10
2015-03-27	427,05	462,4173	510,59	503,19	459,91	453,15
2015-03-28	441,55	447,8795	495,31	501,94	446,58	450,99
2015-03-29	384,72	415,9292	468,92	492,18	420,58	440,24
2015-03-30	387,33	459,3453	454,61	497,72	416,23	447,17
2015-03-31	411,29	468,4641	451,23	508,17	409,46	456,58

**Lampiran 24:** Hasil ramalan data *out sample* dengan model ARIMA untuk subsistem Paiton

Tanggal	13.30		18.30		22.30	
	Aktual	Ramalan	Aktual	Ramalan	Aktual	Ramalan
2015-03-01	1062,54	1122,20	1421,85	1329,33	577,54	663,31
2015-03-02	1267,43	1345,44	1557,3	1418,50	1316,26	1322,39
2015-03-03	1271,84	1367,52	1561,59	1133,54	1324,79	1376,80
2015-03-04	1255,07	1361,49	1521,18	1428,57	1279	1377,46
2015-03-05	1293,41	1326,41	1543,08	1398,69	1348,23	1350,01
2015-03-06	1208,94	1342,27	1516,02	1412,11	1310,98	1356,21
2015-03-07	1238,36	1251,11	1447,51	1343,50	1268,9	1301,67
2015-03-08	1082,71	1123,54	1425,84	1300,24	1246,89	1326,96
2015-03-09	1279,32	1346,78	1554,92	1389,41	1350,91	1393,39
2015-03-10	1303,61	1368,85	1566,42	1104,45	1376,34	1394,05
2015-03-11	1274,9	1362,83	1539,67	1399,48	1364,25	1404,16
2015-03-12	1292,12	1327,75	1537,31	1369,60	1328,7	1398,99
2015-03-13	1330,91	1343,61	1580,69	1383,02	1315,79	1394,12
2015-03-14	1242,02	1252,45	1462,64	1314,41	1238,47	1352,70
2015-03-15	1066,87	1124,87	1468,56	1271,15	1210,97	1330,97
2015-03-16	1335,19	1348,12	1609,09	1360,32	1324,31	1406,67
2015-03-17	1336,34	1370,19	1605,6	1075,36	1310,05	1409,65
2015-03-18	1370,36	1364,17	1609,65	1370,39	1344,7	1414,61
2015-03-19	1363,95	1329,09	1608,89	1340,51	1346,46	1408,88
2015-03-20	1326,42	1344,95	1577,56	1353,93	1331,73	1405,93
2015-03-21	1211,27	1253,79	1510,92	1285,32	1272,21	1362,63
2015-03-22	1219,39	1126,21	1546,87	1242,06	1287,15	1336,40
2015-03-23	1418,19	1349,46	1670,89	1331,23	1419,38	1411,08
2015-03-24	1435,09	1371,53	1613,41	1046,27	1431,89	1411,82
2015-03-25	1400,71	1365,51	771,49	1341,30	1396,4	1419,37
2015-03-26	626,72	1330,43	1607,51	1311,42	1400	1413,63
2015-03-27	1450,9	1346,29	1657,18	1324,84	1435,21	1410,68
2015-03-28	1367,71	1255,13	1569,23	1256,23	1317,17	1367,38
2015-03-29	1207,28	1127,55	1655,17	1212,97	1303,68	1341,16
2015-03-30	1458,48	1350,79	1705,21	1302,14	1447,1	1415,84
2015-03-31	1472,17	1372,87	1729,52	1017,18	1461,11	1416,57

**Lampiran 25:** Hasil ramalan data *out sample* dengan model ARIMA untuk subsistem Kediri

Tanggal	13.30		18.30		05.30	
	Aktual	Ramalan	Aktual	Ramalan	Aktual	Ramalan
2015-03-01	551,34	509,65	763,69	843,12	663,86	782,78
2015-03-02	823,93	601,42	944,60	908,95	740,07	823,96
2015-03-03	864,10	637,75	975,30	911,34	762,59	840,78
2015-03-04	807,13	611,05	899,30	913,37	779,96	835,34
2015-03-05	682,64	608,51	828,42	867,55	768,72	834,59
2015-03-06	817,42	606,17	957,41	910,15	782,5	835,15
2015-03-07	876,17	564,62	985,84	869,86	779,91	830,07
2015-03-08	887,07	526,99	998,24	845,40	706,51	783,42
2015-03-09	551,85	634,89	778,43	911,23	739,99	825,09
2015-03-10	632,15	629,38	752,01	913,62	759,57	841,91
2015-03-11	681,87	611,28	868,04	915,65	770,78	836,47
2015-03-12	604,50	633,78	848,74	869,83	770,43	835,72
2015-03-13	792,43	628,86	982,94	912,43	776,53	836,28
2015-03-14	907,54	588,92	1078,9	872,14	772,8	831,20
2015-03-15	991,75	523,70	1136,33	847,69	715,42	784,56
2015-03-16	905,55	621,33	1022,32	913,51	764,03	826,22
2015-03-17	1001,1	639,37	1151,05	915,90	764,42	843,04
2015-03-18	853,08	608,45	1015,91	917,93	788,53	837,60
2015-03-19	761,57	614,21	959,21	872,11	786,48	836,85
2015-03-20	983,96	622,78	1180,77	914,71	950,5	837,41
2015-03-21	984,41	583,59	1093,19	874,42	837,23	832,33
2015-03-22	1044,29	519,35	1152,1	849,97	806,58	785,69
2015-03-23	982,70	618,51	1118,28	915,79	841,21	827,35
2015-03-24	1004,81	635,67	1176,99	918,18	915,17	844,17
2015-03-25	1021,82	607,37	1139,5	920,21	920,52	838,73
2015-03-26	793,42	613,13	955,03	874,39	898,29	837,98
2015-03-27	906,44	621,69	986,35	916,99	904,96	838,543
2015-03-28	806,42	582,51	912,35	876,70	788,51	833,46
2015-03-29	853,84	518,27	920,08	852,25	821,93	786,82
2015-03-30	861,74	617,43	920,32	918,07	474,14	828,48
2015-03-31	733,64	634,59	957,1	920,46	900,4	845,31

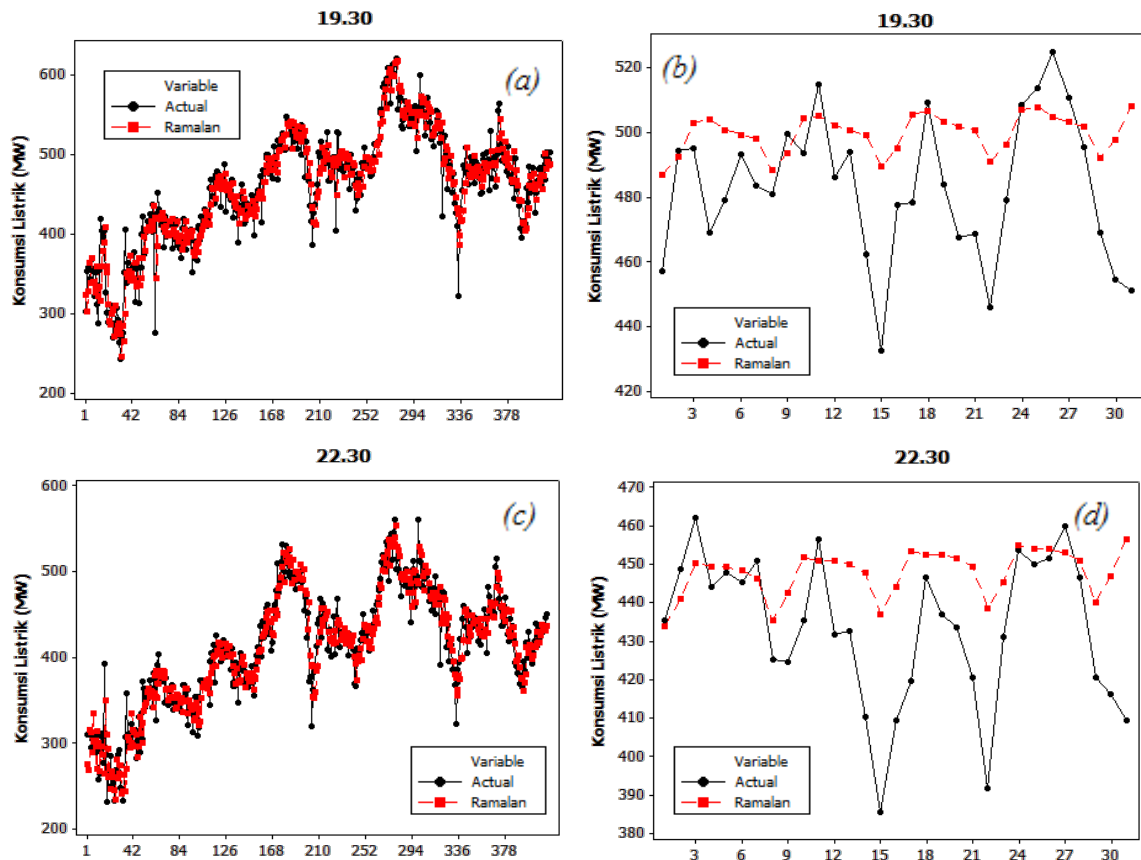
**Lampiran 26:** Hasil ramalan data *out sample* dengan model ARIMA untuk subsistem Krian

Tanggal	11.00		15.00		23.00	
	Aktual	Ramalan	Aktual	Ramalan	Aktual	Ramalan
2015-03-01	223,41	214,48	196,16	212,01	223,46	223,14
2015-03-02	289,25	278,16	305,8	272,24	278,93	255,27
2015-03-03	299,38	282,35	272,08	273,09	277,54	248,26
2015-03-04	278,21	271,06	278,21	270,05	262,67	249,16
2015-03-05	299,95	267,73	283,42	270,22	263,3	259,09
2015-03-06	273,88	277,22	283,44	278,00	262,48	256,81
2015-03-07	288,18	265,75	277,26	255,88	250,7	237,38
2015-03-08	192,47	212,59	192,52	212,92	236,28	224,37
2015-03-09	284,51	276,27	292,86	273,15	292,86	256,81
2015-03-10	306,55	280,46	306,55	274,01	301,09	249,64
2015-03-11	306,11	269,17	311,62	270,97	294,9	250,63
2015-03-12	300,3	265,84	311,22	271,13	283,98	260,52
2015-03-13	311,7	275,33	289,86	278,92	273,48	258,25
2015-03-14	278,94	263,86	273,48	256,80	240,71	238,82
2015-03-15	217,69	210,70	212,23	213,84	233,67	225,82
2015-03-16	283,76	274,38	289,27	274,07	262,45	258,25
2015-03-17	300,41	278,57	273,11	274,93	251,57	251,08
2015-03-18	295,15	267,28	306,07	271,88	267,85	252,07
2015-03-19	295,16	263,95	284,24	272,05	272,94	261,96
2015-03-20	294,89	273,44	311,27	279,84	262,4	259,69
2015-03-21	213,25	261,97	213,25	257,72	207,99	240,26
2015-03-22	186,15	208,81	185,93	214,76	241,41	227,26
2015-03-23	290,55	272,49	301,47	274,99	262,85	259,69
2015-03-24	312,32	276,68	301,4	275,85	284,91	252,52
2015-03-25	312,21	265,39	246,69	272,80	266,94	253,51
2015-03-26	288,4	262,06	296,24	272,97	279,86	263,40
2015-03-27	311,61	271,55	317,07	280,76	273,39	261,13
2015-03-28	289,77	260,08	262,47	258,63	230,45	241,70
2015-03-29	186,77	206,92	192,23	215,68	219,48	228,69
2015-03-30	290,35	270,60	273,97	275,91	273,81	261,13
2015-03-31	322,75	274,79	322,58	276,77	295,45	253,96

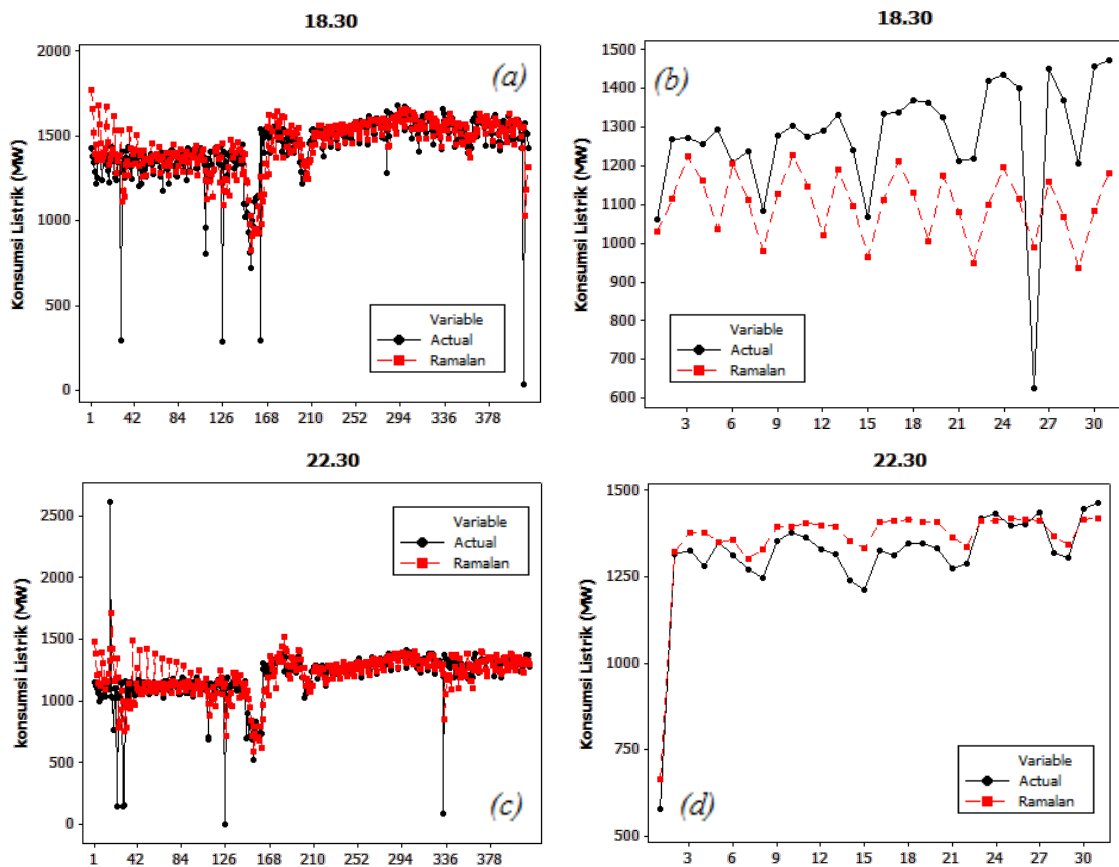
**Lampiran 27:** Hasil ramalan data *out sample* dengan model ARIMA untuk subsistem Krian-Gresik

Tanggal	14.00		15.00		22.30	
	Aktual	Ramalan	Aktual	Ramalan	Aktual	Ramalan
2015-03-01	1221,04	1260,53	1206,2	1289,85	1168	1395,50
2015-03-02	1734	1738,43	1669,65	1775,47	1497,28	1622,22
2015-03-03	1764,64	1735,60	1702,37	1779,71	968,03	1607,63
2015-03-04	1758,94	1749,83	1745,03	1786,54	1490,51	1599,77
2015-03-05	1772,68	1689,43	1719,2	1544,01	1516,4	1581,79
2015-03-06	1741,92	1723,92	1712,29	1549,03	1506,37	1563,31
2015-03-07	1489,08	1479,13	1441,32	1416,26	1492,44	1421,87
2015-03-08	1193,1	1235,56	1178,04	1238,36	1282,58	1349,76
2015-03-09	1750,34	1730,42	1690,76	1714,75	1564,63	1590,58
2015-03-10	1742,91	1769,22	1719,46	1761,97	1545,8	1592,15
2015-03-11	1792,14	1784,13	1787,65	1769,41	1619,21	1584,29
2015-03-12	1839,43	1721,79	1802,86	1589,97	1618,95	1566,31
2015-03-13	1783,46	1745,98	1762,61	1665,62	1602,3	1547,82
2015-03-14	1534,73	1487,05	1498,41	1436,10	1353,32	1406,39
2015-03-15	1234,94	1240,76	1188,5	1261,14	1278,13	1334,27
2015-03-16	1735,17	1736,68	1723,88	1751,53	1644,18	1575,10
2015-03-17	1757,31	1771,90	1730,6	1767,21	1601,85	1576,66
2015-03-18	1804,77	1779,82	1730,16	1754,51	1633,22	1568,80
2015-03-19	1728,69	1719,01	1704,84	1502,33	1650,3	1550,82
2015-03-20	1703,24	1743,20	1673,82	1629,56	1496,64	1532,34
2015-03-21	1199,61	1484,27	1176,55	1387,14	1253,3	1390,90
2015-03-22	1219,49	1237,98	1206,69	1242,12	1321,75	1318,79
2015-03-23	1769,66	1733,90	1690,45	1731,64	1594,16	1559,61
2015-03-24	1761,85	1769,12	1741,11	1754,84	1702,43	1561,18
2015-03-25	1725,45	1777,04	1692,88	1765,25	1574,46	1553,32
2015-03-26	1795,8	1716,23	1760,57	1580,21	1607,01	1535,34
2015-03-27	1779,68	1740,42	1749,56	1650,6	1584,74	1516,85
2015-03-28	1549,38	1481,49	1508,37	1422,93	1425,25	1375,42
2015-03-29	1238,73	1235,20	1246,32	1255,13	1365,09	1303,30
2015-03-30	1788,32	1731,12	1784,13	1743,35	1610,87	1544,13
2015-03-31	1835,44	1766,34	1788,39	1762,57	1663,68	1545,69

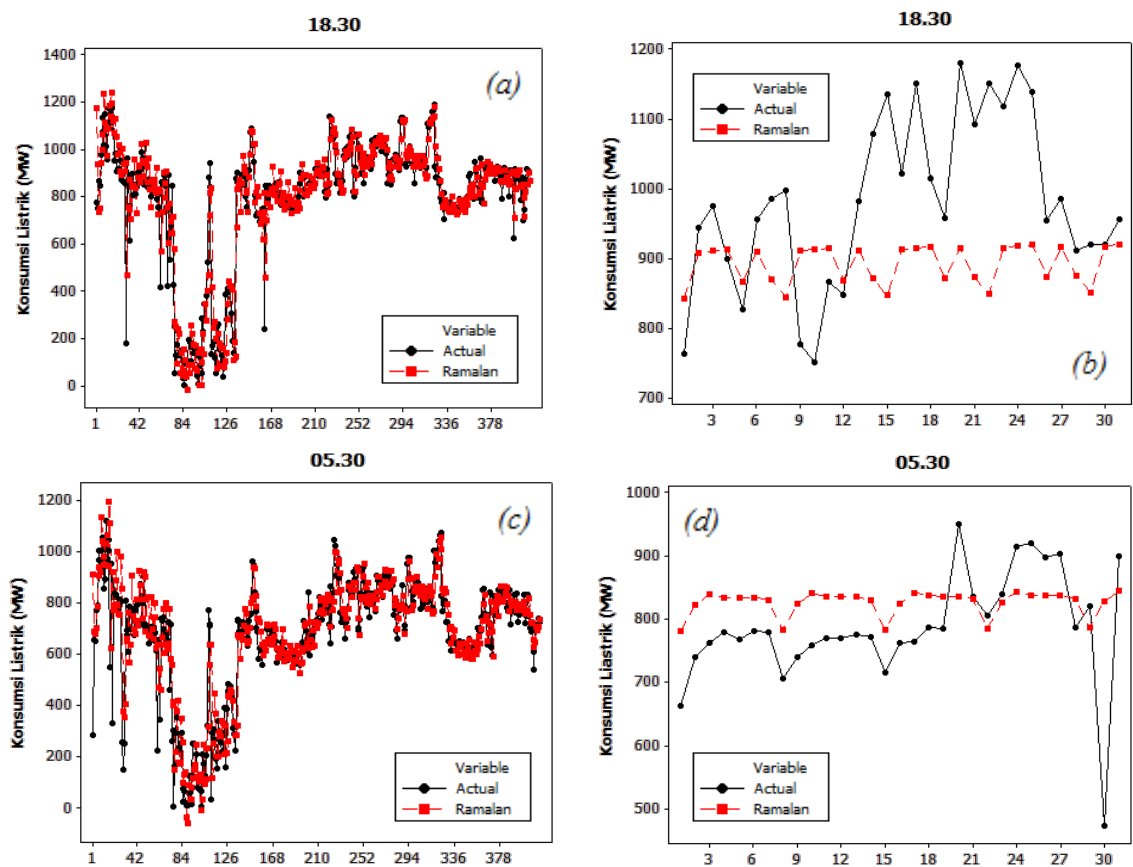
**Lampiran 28:** Hasil metode ARIMA berdasarkan perbandingan ramalan data aktual subsistem Ngimbang pukul 19.30 berdasarkan *in sample* (a), *out sample* (b), Ngimbang pukul 22.30 berdasarkan *in sample* (c), dan berdasarkan *out sample* (d)



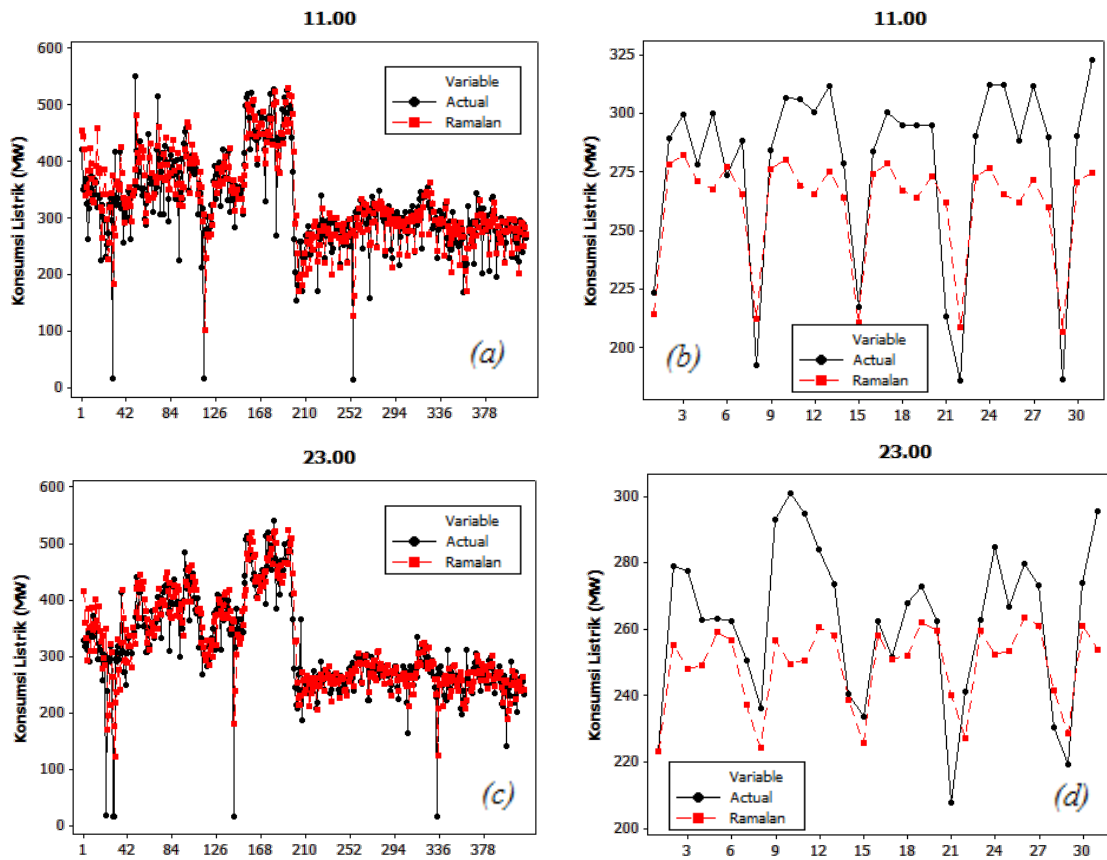
**Lampiran 29:** Hasil metode ARIMA berdasarkan perbandingan ramalan data aktual subsistem Paiton pukul 18.30 berdasarkan *in sample* (a), *out sample* (b), Paiton pukul 22.30 berdasarkan *in sample* (c), dan berdasarkan *out sample* (d)



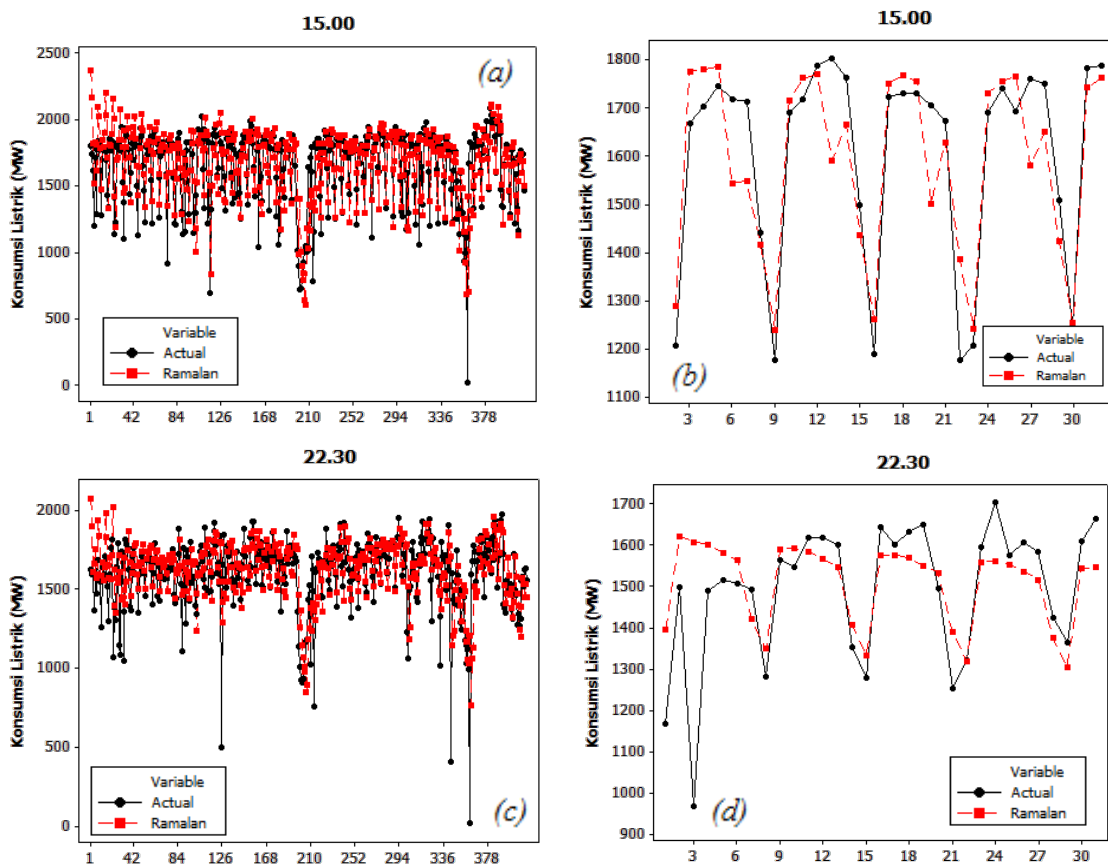
**Lampiran 30:** Hasil metode ARIMA berdasarkan perbandingan ramalan data aktual subsistem Kediri pukul 18.30 berdasarkan *in sample* (a), *out sample* (b), Kediri pukul 05.30 berdasarkan *in sample* (c), dan berdasarkan *out sample* (d)



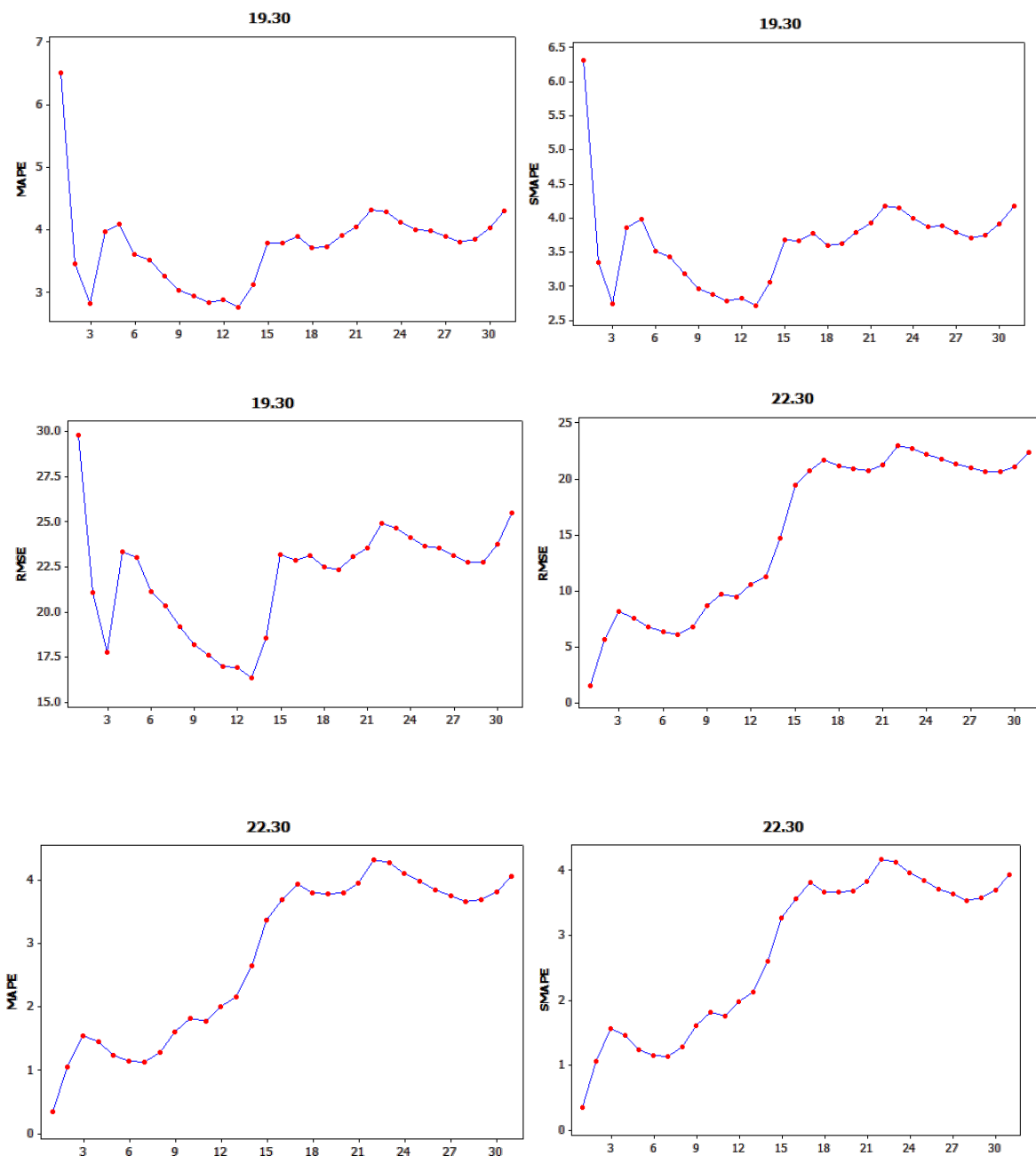
**Lampiran 31:** Hasil metode ARIMA berdasarkan perbandingan ramalan data aktual subsistem Krian pukul 11.00 berdasarkan *in sample* (a), *out sample* (b), Krian pukul 23.00 berdasarkan *in sample* (c), dan berdasarkan *out sample* (d)



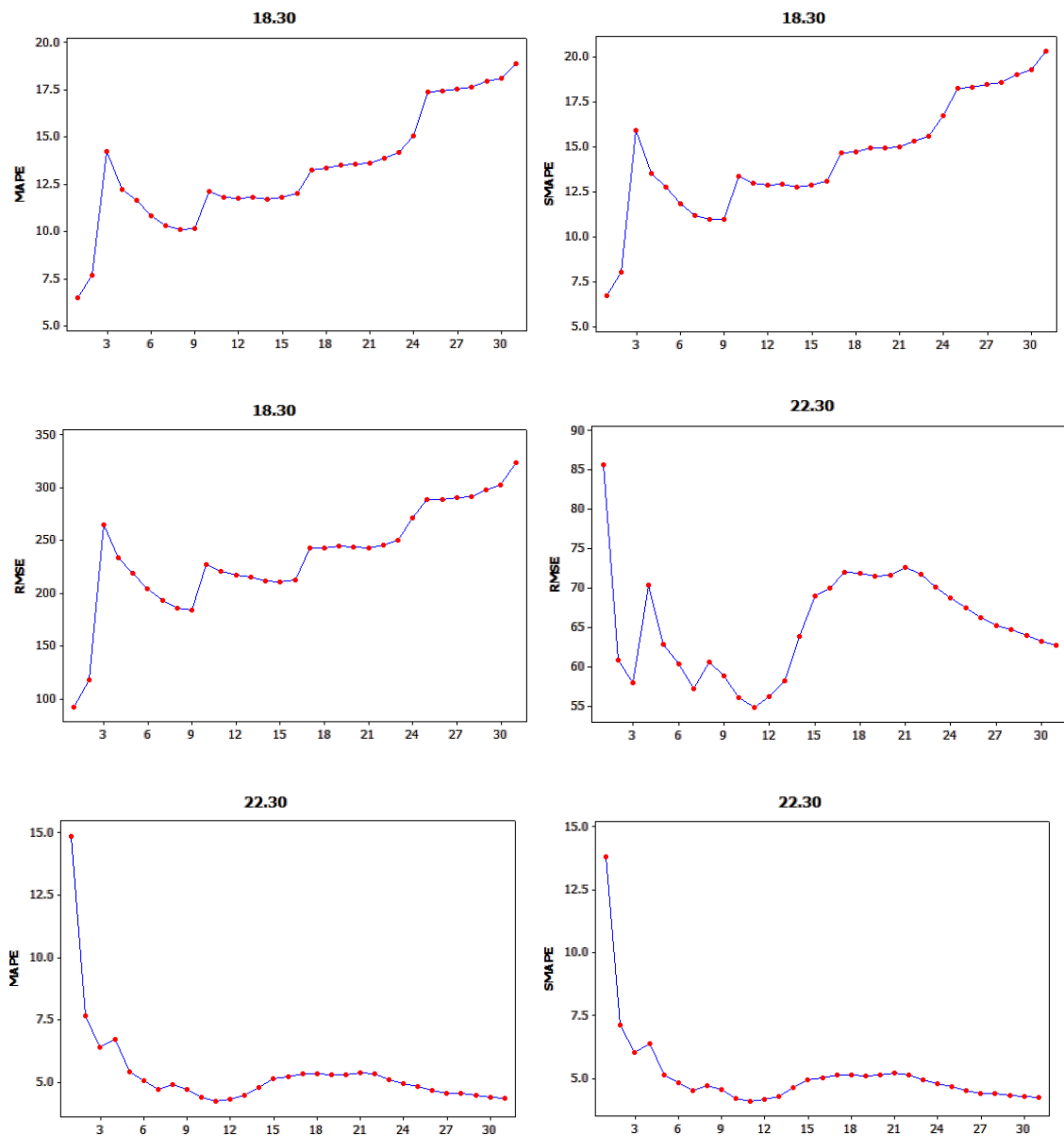
**Lampiran 32:** Hasil metode ARIMA berdasarkan perbandingan ramalan data aktual subsistem Krian-Gresik pukul 15.00 berdasarkan *in sample* (a), *out sample* (b), Krian-Gresik pukul 22.30 berdasarkan *in sample* (c), dan berdasarkan *out sample* (d)



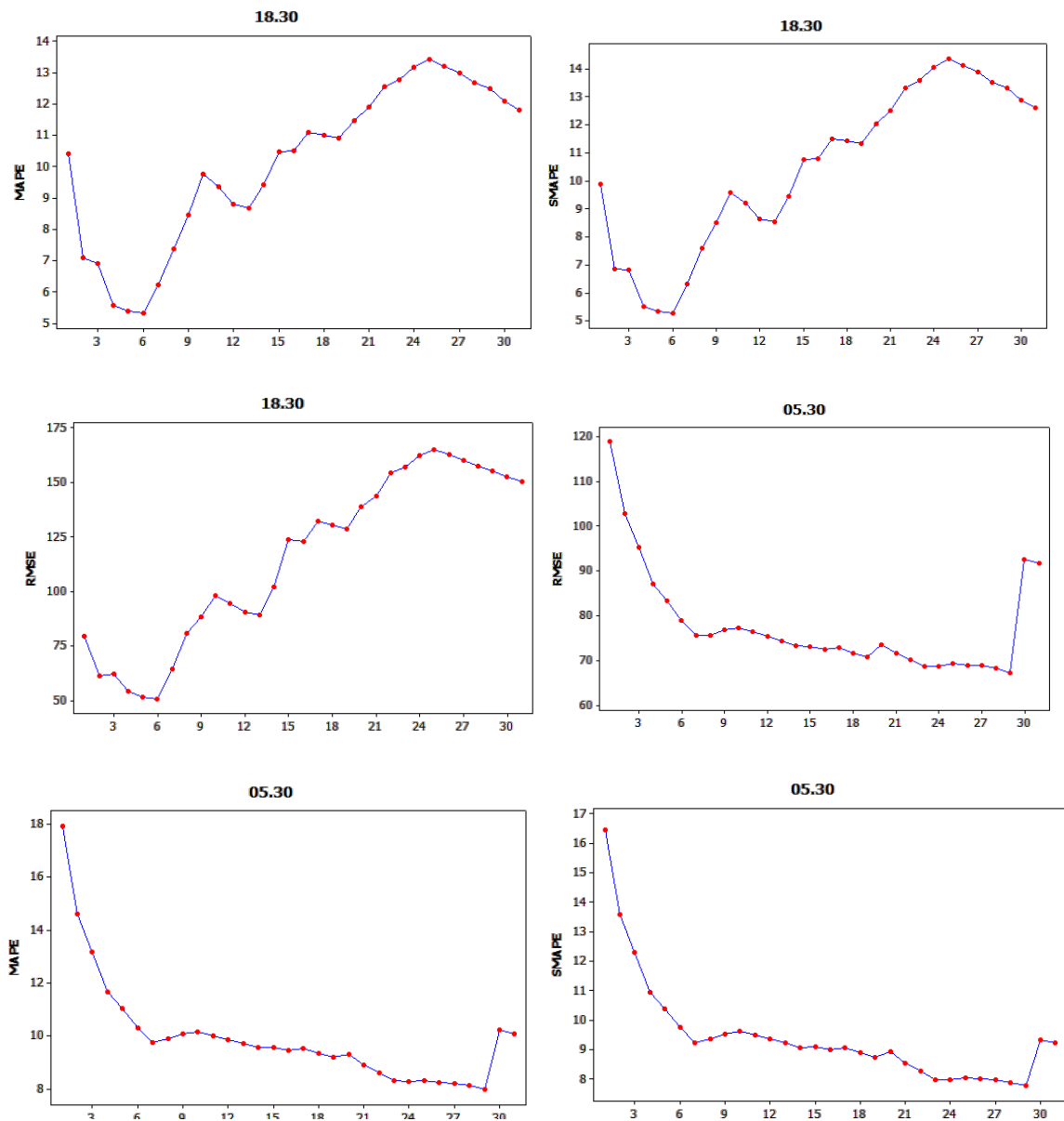
**Lampiran 33:** Grafik MAPE, SMAPE, dan RMSE model ARIMA di subsistem Ngimbang



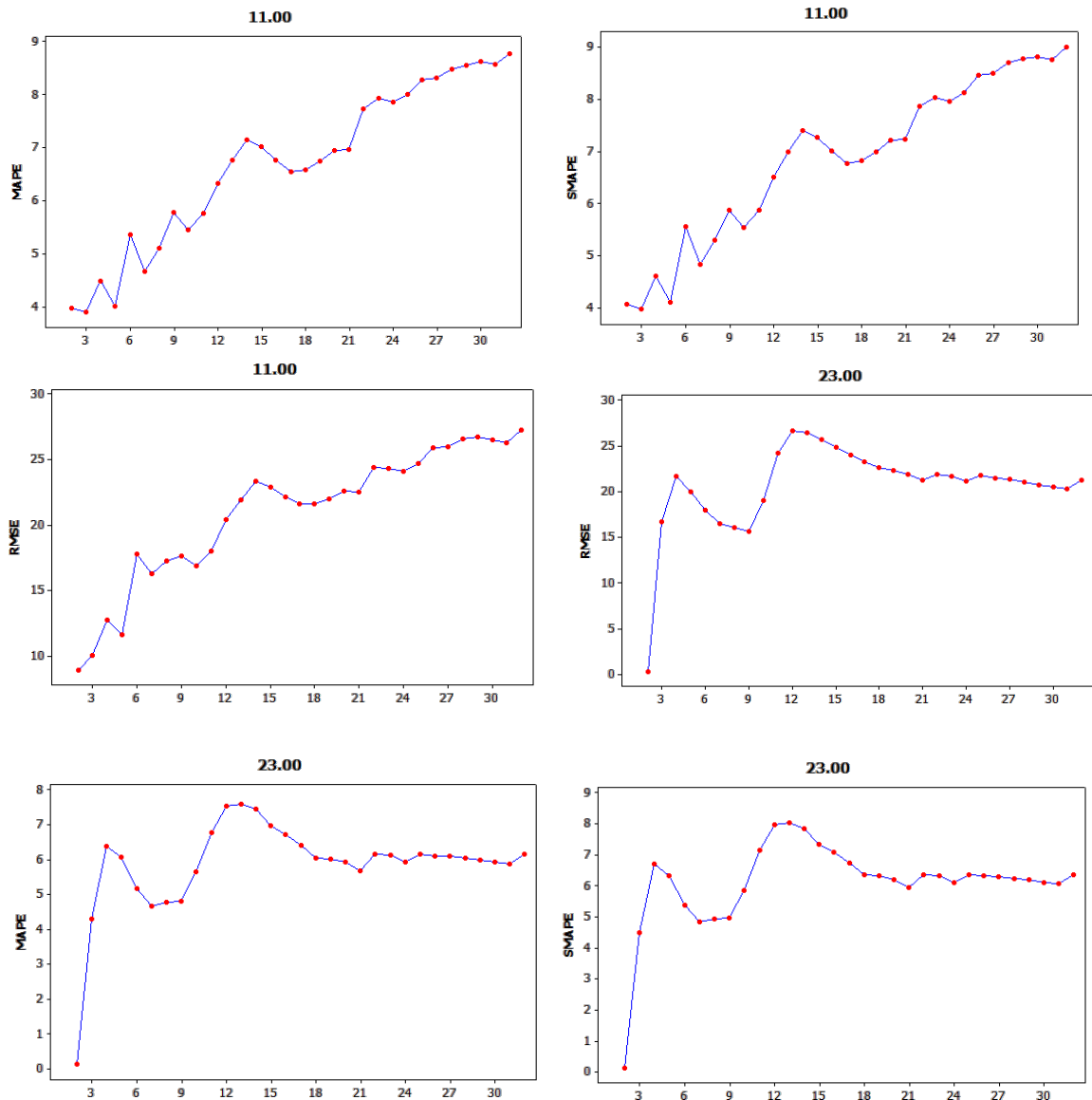
**Lampiran 34:** Grafik MAPE, SMAPE, dan RMSE model ARIMA di subsistem  
Paiton



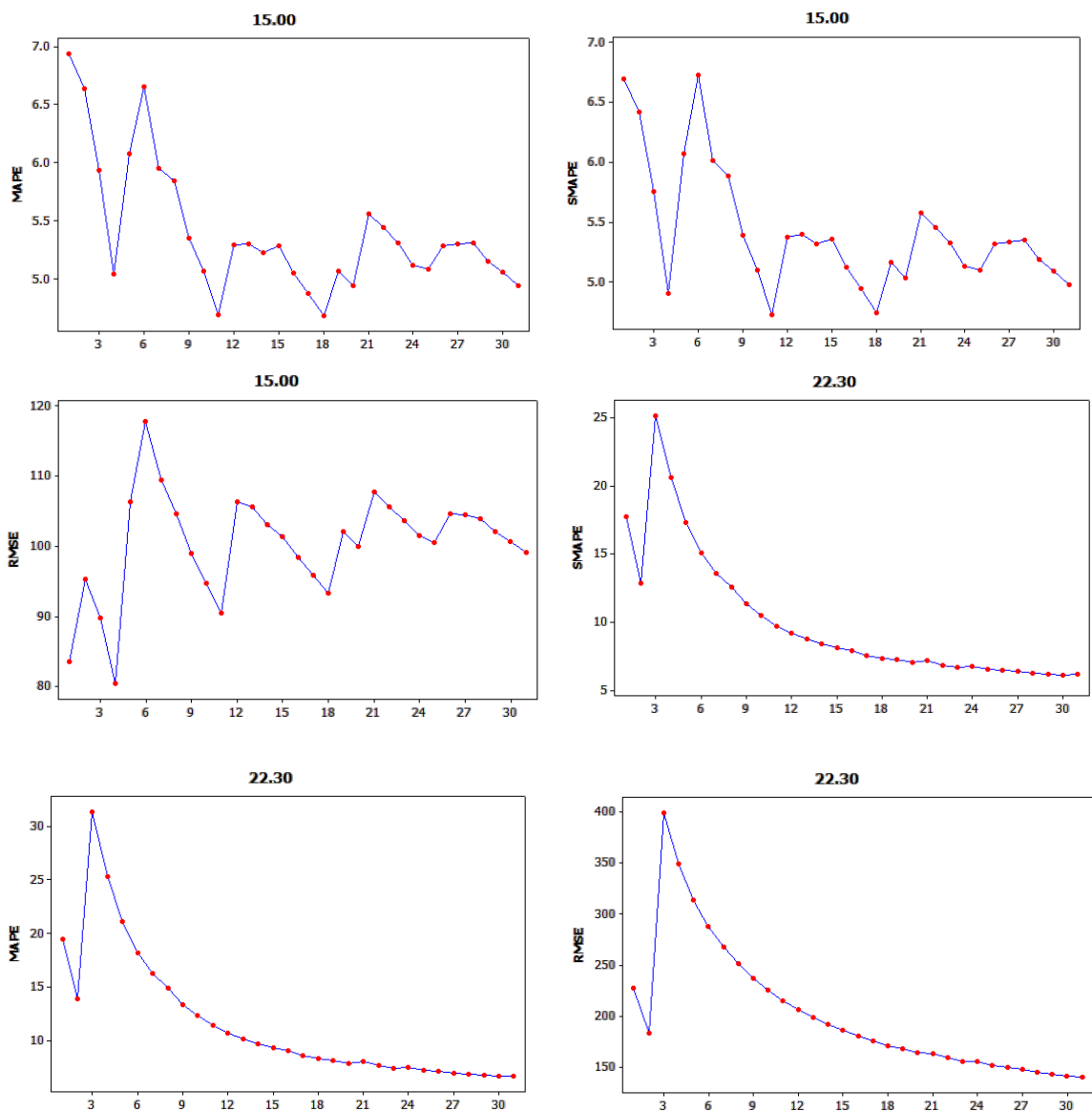
**Lampiran 35:** Grafik MAPE, SMAPE, dan RMSE model ARIMA di subsistem Kediri



**Lampiran 36:** Grafik MAPE, SMAPE, dan RMSE model ARIMA di subsistem Krian



**Lampiran 37 :** Grafik MAPE, SMAPE, dan RMSE model ARIMA di subsistem Krian-Gresik



**Lampiran 38 :** Hasil percobaan MLP untuk subsistem Krian pukul 11.00

	<i>Input Berdasarkan Lag AR</i>	Jumlah Neuron di <i>Hidden Layer</i>	MAPE	RMSE	SMAPE
<i>In sample</i>	1, 2, 3, 7, 8, 9, 10, 14, 21, 22, 28, 29, 35, 36, 42, 43	1	18,346	48,165	11,252
<i>Out sample</i>	1, 2, 3, 7, 8, 9, 10, 14, 21, 22, 28, 29, 35, 36, 42, 43	1	9,185	28,639	8,839
<i>In sample</i>	1, 2, 3, 7, 8, 9, 10, 14, 21, 22, 28, 29, 35, 36, 42, 43	2	18,263	47,517	11,039
<i>Out sample</i>	1, 2, 3, 7, 8, 9, 10, 14, 21, 22, 28, 29, 35, 36, 42, 43	2	8,954	28,141	8,630
<i>In sample</i>	1, 2, 3, 7, 8, 9, 10, 14, 21, 22, 28, 29, 35, 36, 42, 43	3	18,781	50,173	11,986
<i>Out sample</i>	1, 2, 3, 7, 8, 9, 10, 14, 21, 22, 28, 29, 35, 36, 42, 43	3	9,257	29,110	8,927
<i>In sample</i>	1, 2, 3, 7, 8, 9, 10, 14, 21, 22, 28, 29, 35, 36, 42, 43	4	19,267	52,962	12,852
<i>Out sample</i>	1, 2, 3, 7, 8, 9, 10, 14, 21, 22, 28, 29, 35, 36, 42, 43	4	8,886	28,344	8,606
<i>In sample</i>	1, 2, 3, 7, 8, 9, 10, 14, 21, 22, 28, 29, 35, 36, 42, 43	5	18,074	47,371	11,120
<i>Out sample</i>	1, 2, 3, 7, 8, 9, 10, 14, 21, 22, 28, 29, 35, 36, 42, 43	5	7,531	24,902	7,414
<i>In sample</i>	1, 2, 3, 7, 8, 9, 10, 14, 21, 22, 28, 29, 35, 36, 42, 43	6	19,224	51,994	12,423
<i>Out sample</i>	1, 2, 3, 7, 8, 9, 10, 14, 21, 22, 28, 29, 35, 36, 42, 43	6	8,558	27,636	8,380
<i>In sample</i>	1, 2, 3, 7, 8, 9, 10, 14, 21, 22, 28, 29, 35, 36, 42, 43	7	17,791	47,735	11,265
<i>Out sample</i>	1, 2, 3, 7, 8, 9, 10, 14, 21, 22, 28, 29, 35, 36, 42, 43	7	7,434	25,122	7,322
<i>In sample</i>	1, 2, 3, 7, 8, 9, 10, 14, 21, 22, 28, 29, 35, 36, 42, 43	8	18,597	50,331	11,963
<i>Out sample</i>	1, 2, 3, 7, 8, 9, 10, 14, 21, 22, 28, 29, 35, 36, 42, 43	8	8,239	26,372	8,107

**Lampiran 38 : Lanjutan**

	<i>Input</i> Berdasarkan Lag AR	Jumlah Neuron di <i>Hidden Layer</i>	MAPE	RMSE	SMAPE
<i>In sample</i>	1, 2, 3, 7, 8, 9, 10, 14, 21, 22, 28, 29, 35, 36, 42, 43	9	19,165	52,415	12,590
<i>Out sample</i>	1, 2, 3, 7, 8, 9, 10, 14, 21, 22, 28, 29, 35, 36, 42, 43	9	7,267	25,586	7,149
<i>In sample</i>	1, 2, 3, 7, 8, 9, 10, 14, 21, 22, 28, 29, 35, 36, 42, 43	10	19,091	53,189	13,196
<i>Out sample</i>	1, 2, 3, 7, 8, 9, 10, 14, 21, 22, 28, 29, 35, 36, 42, 43	10	8,962	28,417	8,782

**Lampiran 39 :** Hasil percobaan MLP untuk subsistem Krian pukul 23.00

	<i>Input Berdasarkan Lag AR</i>	Jumlah Neuron di <i>Hidden Layer</i>	MAPE	RMSE	SMAPE
<i>In sample</i>	1, 2, 8, 9	1	25,539	45,605	10,457
<i>Out sample</i>	1, 2, 8, 9	1	7,311	23,836	7,287
<i>In sample</i>	1, 2, 8, 9	2	25,572	47,061	10,951
<i>Out sample</i>	1, 2, 8, 9	2	7,515	24,552	7,528
<i>In sample</i>	1, 2, 8, 9	3	25,238	45,608	10,600
<i>Out sample</i>	1, 2, 8, 9	3	7,193	23,652	7,211
<i>In sample</i>	1, 2, 8, 9	4	25,222	45,523	10,605
<i>Out sample</i>	1, 2, 8, 9	4	7,147	23,380	7,171
<i>In sample</i>	1, 2, 8, 9	5	25,297	46,160	10,923
<i>Out sample</i>	1, 2, 8, 9	5	7,235	23,689	7,282
<i>In sample</i>	1, 2, 8, 9	6	25,225	47,195	11,223
<i>Out sample</i>	1, 2, 8, 9	6	7,255	23,639	7,278
<i>In sample</i>	1, 2, 8, 9	7	25,287	45,718	10,736
<i>Out sample</i>	1, 2, 8, 9	7	7,201	23,666	7,256
<i>In sample</i>	1, 2, 8, 9	8	25,378	46,856	11,103
<i>Out sample</i>	1, 2, 8, 9	8	7,410	24,382	7,461
<i>In sample</i>	1, 2, 8, 9	9	25,407	48,371	11,743
<i>Out sample</i>	1, 2, 8, 9	9	7,267	23,202	7,325
<i>In sample</i>	1, 2, 8, 9	10	25,576	45,683	10,615
<i>Out sample</i>	1, 2, 8, 9	10	7,123	23,454	7,208

**Lampiran 40 :** Hasil percobaan MLP untuk subsistem Krian-Gresik pukul 15.00

	<i>Input Berdasarkan Lag AR</i>	Jumlah Neuron di <i>Hidden Layer</i>	MAPE	RMSE	SMAPE
<i>In sample</i>	1, 2, 7, 8, 9, 14, 15, 16, 21, 22, 28, 29	1	30,044	231,1158	10,5966
<i>Out sample</i>	1, 2, 7, 8, 9, 14, 15, 16, 21, 22, 28, 29	1	5,925	118,2611	5,612315
<i>In sample</i>	1, 2, 7, 8, 9, 14, 15, 16, 21, 22, 28, 29	2	29,476	228,061	10,39122
<i>Out sample</i>	1, 2, 7, 8, 9, 14, 15, 16, 21, 22, 28, 29	2	5,877	116,088	5,585246
<i>In sample</i>	1, 2, 7, 8, 9, 14, 15, 16, 21, 22, 28, 29	3	29,534	226,8279	10,26941
<i>Out sample</i>	1, 2, 7, 8, 9, 14, 15, 16, 21, 22, 28, 29	3	5,713	114,6078	5,414233
<i>In sample</i>	1, 2, 7, 8, 9, 14, 15, 16, 21, 22, 28, 29	4	29,252	226,9626	10,32574
<i>Out sample</i>	1, 2, 7, 8, 9, 14, 15, 16, 21, 22, 28, 29	4	5,836	114,2229	5,555232
<i>In sample</i>	1, 2, 7, 8, 9, 14, 15, 16, 21, 22, 28, 29	5	29,616	227,3196	10,27784
<i>Out sample</i>	1, 2, 7, 8, 9, 14, 15, 16, 21, 22, 28, 29	5	5,862	117,2727	5,548562
<i>In sample</i>	1, 2, 7, 8, 9, 14, 15, 16, 21, 22, 28, 29	6	29,338	226,4973	10,32455
<i>Out sample</i>	1, 2, 7, 8, 9, 14, 15, 16, 21, 22, 28, 29	6	5,817	114,5573	5,533796
<i>In sample</i>	1, 2, 7, 8, 9, 14, 15, 16, 21, 22, 28, 29	7	29,28863	223,3997	10,18754
<i>Out sample</i>	1, 2, 7, 8, 9, 14, 15, 16, 21, 22, 28, 29	7	5,546288	110,7015	5,302911
<i>In sample</i>	1, 2, 7, 8, 9, 14, 15, 16, 21, 22, 28, 29	8	27,6161	216,14	10,17602
<i>Out sample</i>	1, 2, 7, 8, 9, 14, 15, 16, 21, 22, 28, 29	8	5,405271	103,491	5,384889
<i>In sample</i>	1, 2, 7, 8, 9, 14, 15, 16, 21, 22, 28, 29	9	27,71516	218,566	10,00941
<i>Out sample</i>	1, 2, 7, 8, 9, 14, 15, 16, 21, 22, 28, 29	9	4,95593	93,46442	4,879396
<i>In sample</i>	1, 2, 7, 8, 9, 14, 15, 16, 21, 22, 28, 29	10	27,3409	217,4939	10,07678
<i>Out sample</i>	1, 2, 7, 8, 9, 14, 15, 16, 21, 22, 28, 29	10	5,207238	97,02375	5,141399

**Lampiran 41 :** Hasil percobaan MLP untuk subsistem Krian-Gresik pukul 22.30

	<i>Input Berdasarkan Lag AR</i>	Jumlah Neuron di <i>Hidden Layer</i>	MAPE	RMSE	SMAPE
<i>In sample</i>	1, 7, 8	1	25,539	45,605	10,457
<i>Out sample</i>	1, 7, 8	1	7,311	23,836	7,287
<i>In sample</i>	1, 7, 8	2	25,572	47,061	10,951
<i>Out sample</i>	1, 7, 8	2	7,515	24,552	7,528
<i>In sample</i>	1, 7, 8	3	25,238	45,608	10,600
<i>Out sample</i>	1, 7, 8	3	7,193	23,652	7,211
<i>In sample</i>	1, 7, 8	4	25,222	45,523	10,605
<i>Out sample</i>	1, 7, 8	4	7,147	23,380	7,171
<i>In sample</i>	1, 7, 8	5	25,297	46,160	10,923
<i>Out sample</i>	1, 7, 8	5	7,235	23,689	7,282
<i>In sample</i>	1, 7, 8	6	25,225	47,195	11,223
<i>Out sample</i>	1, 7, 8	6	7,255	23,639	7,278
<i>In sample</i>	1, 7, 8	7	25,287	45,718	10,736
<i>Out sample</i>	1, 7, 8	7	7,201	23,666	7,256
<i>In sample</i>	1, 7, 8	8	25,378	46,856	11,103
<i>Out sample</i>	1, 7, 8	8	7,410	24,382	7,461
<i>In sample</i>	1, 7, 8	9	25,407	48,371	11,743
<i>Out sample</i>	1, 7, 8	9	7,267	23,202	7,325
<i>In sample</i>	1, 7, 8	10	25,576	45,683	10,615
<i>Out sample</i>	1, 7, 8	10	7,123	23,454	7,208

**Lampiran 42 :** Hasil percobaan MLP untuk subsistem Kediri pukul 18.30

	<i>Input</i> Berdasarkan Lag AR	Jumlah Neuron di <i>Hidden Layer</i>	MAPE	RMSE	SMAPE
<i>In sample</i>	1, 7, 8	1	42,975	119,254	14,922
<i>Out sample</i>	1, 7, 8	1	8,371	103,407	8,617
<i>In sample</i>	1, 7, 8	2	44,672	118,814	14,945
<i>Out sample</i>	1, 7, 8	2	8,114	99,797	8,305
<i>In sample</i>	1, 7, 8	3	45,036	118,629	15,050
<i>Out sample</i>	1, 7, 8	3	8,072	99,150	8,252
<i>In sample</i>	1, 7, 8	4	46,454	118,564	15,067
<i>Out sample</i>	1, 7, 8	4	8,228	100,523	8,432
<i>In sample</i>	1, 7, 8	5	50,984	120,951	15,815
<i>Out sample</i>	1, 7, 8	5	8,201	100,747	8,404
<i>In sample</i>	1, 7, 8	6	53,650	121,051	16,036
<i>Out sample</i>	1, 7, 8	6	8,201	100,911	8,420
<i>In sample</i>	1, 7, 8	7	59,288	124,358	16,773
<i>Out sample</i>	1, 7, 8	7	8,287	101,451	8,496
<i>In sample</i>	1, 7, 8	8	52,653	123,642	16,460
<i>Out sample</i>	1, 7, 8	8	8,833	109,589	9,159
<i>In sample</i>	1, 7, 8	9	61,454	125,019	16,957
<i>Out sample</i>	1, 7, 8	9	8,294	102,307	8,526
<i>In sample</i>	1, 7, 8	10	65,429	128,179	17,486
<i>Out sample</i>	1, 7, 8	10	8,360	103,633	8,623

**Lampiran 43 :** Hasil percobaan MLP untuk subsistem Kediri pukul 05.30

	<i>Input Berdasarkan Lag AR</i>	Jumlah Neuron di <i>Hidden Layer</i>	MAPE	RMSE	SMAPE
<i>In sample</i>	1, 7, 8	1	51,607	115,578	16,022
<i>Out sample</i>	1, 7, 8	1	7,555	95,674	7,325
<i>In sample</i>	1, 7, 8	2	53,003	115,294	15,880
<i>Out sample</i>	1, 7, 8	2	7,471	96,468	7,231
<i>In sample</i>	1, 7, 8	3	53,491	115,392	16,023
<i>Out sample</i>	1, 7, 8	3	7,407	95,670	7,162
<i>In sample</i>	1, 7, 8	4	54,434	115,860	16,125
<i>Out sample</i>	1, 7, 8	4	7,499	96,177	7,268
<i>In sample</i>	1, 7, 8	5	58,490	117,181	16,525
<i>Out sample</i>	1, 7, 8	5	7,527	96,447	7,300
<i>In sample</i>	1, 7, 8	6	59,986	118,245	16,891
<i>Out sample</i>	1, 7, 8	6	7,639	94,955	7,414
<i>In sample</i>	1, 7, 8	7	63,936	120,473	17,389
<i>Out sample</i>	1, 7, 8	7	7,530	95,695	7,321
<i>In sample</i>	1, 7, 8	8	59,476	120,798	17,431
<i>Out sample</i>	1, 7, 8	8	7,685	94,205	7,492
<i>In sample</i>	1, 7, 8	9	67,146	122,228	17,830
<i>Out sample</i>	1, 7, 8	9	7,622	94,363	7,407
<i>In sample</i>	1, 7, 8	10	72,147	125,831	18,426
<i>Out sample</i>	1, 7, 8	10	7,810	95,118	7,608

**Lampiran 44 :** Hasil percobaan MLP untuk subsistem Paiton pukul 18.30

	<i>Input</i> Berdasarkan Lag AR	Jumlah Neuron di <i>Hidden Layer</i>	MAPE	RMSE	SMAPE
<i>In sample</i>	1, 7, 8	1	18,857	168,793	7,588
<i>Out sample</i>	1, 7, 8	1	8,858	178,685	8,127
<i>In sample</i>	1, 7, 8	2	19,895	181,026	8,726
<i>Out sample</i>	1, 7, 8	2	9,677	180,837	9,098
<i>In sample</i>	1, 7, 8	3	17,971	159,998	6,753
<i>Out sample</i>	1, 7, 8	3	8,482	177,872	7,676
<i>In sample</i>	1, 7, 8	4	18,110	161,268	6,848
<i>Out sample</i>	1, 7, 8	4	8,445	176,392	7,621
<i>In sample</i>	1, 7, 8	5	18,409	164,345	7,149
<i>Out sample</i>	1, 7, 8	5	8,629	176,782	7,836
<i>In sample</i>	1, 7, 8	6	18,241	161,677	6,851
<i>Out sample</i>	1, 7, 8	6	7,9263	169,362	7,015
<i>In sample</i>	1, 7, 8	7	18,390	163,942	7,035
<i>Out sample</i>	1, 7, 8	7	8,223	173,684	7,371
<i>In sample</i>	1, 7, 8	8	20,057	182,491	8,531
<i>Out sample</i>	1, 7, 8	8	8,738	173,592	7,991
<i>In sample</i>	1, 7, 8	9	18,291	162,420	6,916
<i>Out sample</i>	1, 7, 8	9	8,114	172,077	7,238
<i>In sample</i>	1, 7, 8	10	18,172	160,677	6,800
<i>Out sample</i>	1, 7, 8	10	7,755	166,655	6,838

**Lampiran 45 :** Hasil percobaan MLP untuk subsistem Paiton pukul 22.30

	<i>Input Berdasarkan Lag AR</i>	Jumlah Neuron di <i>Hidden Layer</i>	MAPE	RMSE	SMAPE
<i>In sample</i>	1, 7, 8	1	86,395	208,869	11,171
<i>Out sample</i>	1, 7, 8	1	8,506	149,188	7,193
<i>In sample</i>	1, 7, 8	2	77,580	168,474	8,065
<i>Out sample</i>	1, 7, 8	2	7,950	148,862	6,629
<i>In sample</i>	1, 7, 8	3	79,040	172,972	8,578
<i>Out sample</i>	1, 7, 8	3	7,706	146,242	6,350
<i>In sample</i>	1, 7, 8	4	79,051	173,037	8,545
<i>Out sample</i>	1, 7, 8	4	7,831	147,344	6,470
<i>In sample</i>	1, 7, 8	5	80,238	176,698	8,913
<i>Out sample</i>	1, 7, 8	5	7,686	145,906	6,296
<i>In sample</i>	1, 7, 8	6	81,526	181,528	9,416
<i>Out sample</i>	1, 7, 8	6	7,603	145,576	6,190
<i>In sample</i>	1, 7, 8	7	81,537	182,250	9,308
<i>Out sample</i>	1, 7, 8	7	7,623	145,226	6,207
<i>In sample</i>	1, 7, 8	8	84,335	193,468	10,470
<i>Out sample</i>	1, 7, 8	8	7,662	145,541	6,213
<i>In sample</i>	1, 7, 8	9	82,035	184,271	9,542
<i>Out sample</i>	1, 7, 8	9	7,633	145,027	6,204
<i>In sample</i>	1, 7, 8	10	83,272	189,635	10,103
<i>Out sample</i>	1, 7, 8	10	7,606	146,205	6,158

**Lampiran 46 :** Hasil percobaan MLP untuk subsistem Ngimbang pukul 19.30

	<i>Input</i> Berdasarkan Lag AR	Jumlah Neuron di <i>Hidden Layer</i>	MAPE	RMSE	SMAPE
<i>In sample</i>	1, 7, 8	1	4,897	28,328	4,829
<i>Out sample</i>	1, 7, 8	1	3,467	19,666	3,436
<i>In sample</i>	1, 7, 8	2	4,932	28,207	4,844
<i>Out sample</i>	1, 7, 8	2	3,525	20,017	3,494
<i>In sample</i>	1, 7, 8	3	4,932	28,154	4,838
<i>Out sample</i>	1, 7, 8	3	3,497	19,878	3,467
<i>In sample</i>	1, 7, 8	4	4,962	28,253	4,868
<i>Out sample</i>	1, 7, 8	4	3,543	19,997	3,515
<i>In sample</i>	1, 7, 8	5	5,016	28,452	4,910
<i>Out sample</i>	1, 7, 8	5	3,549	20,071	3,522
<i>In sample</i>	1, 7, 8	6	5,093	28,746	4,976
<i>Out sample</i>	1, 7, 8	6	3,496	19,692	3,473
<i>In sample</i>	1, 7, 8	7	5,201	29,203	5,065
<i>Out sample</i>	1, 7, 8	7	3,498	19,875	3,474
<i>In sample</i>	1, 7, 8	8	5,174	29,243	5,067
<i>Out sample</i>	1, 7, 8	8	3,430	19,329	3,405
<i>In sample</i>	1, 7, 8	9	5,288	29,577	5,141
<i>Out sample</i>	1, 7, 8	9	3,482	19,740	3,460
<i>In sample</i>	1, 7, 8	10	5,330	29,811	5,184
<i>Out sample</i>	1, 7, 8	10	3,475	19,571	3,454

**Lampiran 47 :** Hasil percobaan MLP untuk subsistem Ngimbang pukul 22.30

	<i>Input</i> Berdasarkan Lag AR	Jumlah Neuron di <i>Hidden Layer</i>	MAPE	RMSE	SMAPE
<i>In sample</i>	1, 7, 8	1	4,730	24,431	4,680
<i>Out sample</i>	1, 7, 8	1	3,063	15,790	3,042
<i>In sample</i>	1, 7, 8	2	4,758	24,459	4,690
<i>Out sample</i>	1, 7, 8	2	3,091	15,877	3,071
<i>In sample</i>	1, 7, 8	3	4,769	24,444	4,695
<i>Out sample</i>	1, 7, 8	3	3,057	15,691	3,039
<i>In sample</i>	1, 7, 8	4	4,767	24,415	4,696
<i>Out sample</i>	1, 7, 8	4	3,068	15,813	3,049
<i>In sample</i>	1, 7, 8	5	4,819	24,559	4,735
<i>Out sample</i>	1, 7, 8	5	3,087	15,811	3,068
<i>In sample</i>	1, 7, 8	6	4,919	24,934	4,825
<i>Out sample</i>	1, 7, 8	6	3,039	15,721	3,022
<i>In sample</i>	1, 7, 8	7	5,019	25,227	4,907
<i>Out sample</i>	1, 7, 8	7	3,018	15,449	3,003
<i>In sample</i>	1, 7, 8	8	4,973	25,222	4,886
<i>Out sample</i>	1, 7, 8	8	2,996	15,612	2,978
<i>In sample</i>	1, 7, 8	9	5,111	25,534	4,992
<i>Out sample</i>	1, 7, 8	9	2,996	15,430	2,981
<i>In sample</i>	1, 7, 8	10	5,209	25,977	5,082
<i>Out sample</i>	1, 7, 8	10	3,049	15,786	3,033

**Lampiran 48 :** Nilai bobot dan bias metode MLP untuk model di setiap subsistem

Model	Nilai Bobot				
Krian 11.00	$\beta_{11}: 0,316$	$\beta_{12}: 0,585$	$\beta_{13}: 0,207$	$\beta_{14}: -0,145$	
	$\beta_{15}: -0,642$	$\beta_{16}: -0,103$	$\beta_{17}: 0,793$	$\beta_{18}: -0,260$	
	$\beta_{19}: 0,659$	$\beta_{110}: -0,488$	$\beta_{111}: -0,519$	$\beta_{112}: -0,195$	
	$\beta_{113}: 0,167$	$\beta_{114}: -0,043$	$\beta_{115}: 0,854$	$\beta_{116}: -0,985$	
	$\beta_{21}: 1,044$	$\beta_{22}: 1,132$	$\beta_{23}: -0,380$	$\beta_{24}: 0,481$	
	$\beta_{25}: -0,002$	$\beta_{26}: 1,624$	$\beta_{27}: -0,663$	$\beta_{28}: 0,342$	
	$\beta_{29}: -0,137$	$\beta_{210}: 0,997$	$\beta_{211}: -0,340$	$\beta_{212}: -0,233$	
	$\beta_{213}: -0,386$	$\beta_{214}: -0,567$	$\beta_{215}: -0,275$	$\beta_{216}: -0,455$	
	$\beta_{31}: -0,321$	$\beta_{32}: 0,981$	$\beta_{33}: -1,195$	$\beta_{34}: -0,469$	
	$\beta_{35}: -0,558$	$\beta_{36}: -0,379$	$\beta_{37}: 0,612$	$\beta_{38}: 0,378$	
	$\beta_{39}: -1,073$	$\beta_{310}: 0,103$	$\beta_{311}: 0,149$	$\beta_{312}: 0,350$	
	$\beta_{313}: -0,599$	$\beta_{314}: -0,362$	$\beta_{315}: -0,298$	$\beta_{316}: -0,869$	
	$\beta_{41}: 0,146$	$\beta_{42}: -0,462$	$\beta_{43}: -0,140$	$\beta_{44}: -0,321$	
	$\beta_{45}: 0,348$	$\beta_{46}: 0,921$	$\beta_{47}: 0,702$	$\beta_{48}: 0,603$	
	$\beta_{49}: 0,258$	$\beta_{410}: -0,028$	$\beta_{411}: -0,598$	$\beta_{412}: 0,967$	
	$\beta_{413}: 0,293$	$\beta_{414}: -1,182$	$\beta_{415}: 0,667$	$\beta_{416}: -0,275$	
	$\beta_{51}: 2,298$	$\beta_{52}: -1,227$	$\beta_{53}: 0,898$	$\beta_{54}: -0,189$	
	$\beta_{55}: -0,079$	$\beta_{56}: -0,223$	$\beta_{57}: 0,304$	$\beta_{58}: -0,696$	
	$\beta_{59}: 1,496$	$\beta_{510}: -0,587$	$\beta_{511}: -0,652$	$\beta_{512}: 0,646$	
	$\beta_{513}: -0,457$	$\beta_{514}: -0,136$	$\beta_{515}: 0,360$	$\beta_{516}: -0,733$	
	$\beta_{61}: 0,987$	$\beta_{62}: 0,957$	$\beta_{63}: -0,519$	$\beta_{64}: 0,390$	
	$\beta_{65}: -0,016$	$\beta_{66}: 0,022$	$\beta_{67}: -0,351$	$\beta_{68}: -0,107$	
	$\beta_{69}: -0,180$	$\beta_{610}: 0,407$	$\beta_{611}: -0,431$	$\beta_{612}: 0,055$	
	$\beta_{613}: -0,614$	$\beta_{614}: -0,350$	$\beta_{615}: -0,070$	$\beta_{616}: -1,024$	
	$\beta_{71}: -0,228$	$\beta_{72}: 1,225$	$\beta_{73}: -0,570$	$\beta_{74}: 1,617$	
	$\beta_{75}: -1,286$	$\beta_{76}: 0,353$	$\beta_{77}: -0,566$	$\beta_{78}: -0,663$	
	$\beta_{79}: -0,628$	$\beta_{710}: -0,703$	$\beta_{711}: -0,162$	$\beta_{712}: 0,247$	
	$\beta_{713}: 0,217$	$\beta_{714}: -0,623$	$\beta_{715}: 0,837$	$\beta_{716}: 0,820$	
	$\beta_{81}: 0,559$	$\beta_{82}: -0,099$	$\beta_{83}: -0,188$	$\beta_{84}: -0,151$	
	$\beta_{85}: -1,278$	$\beta_{86}: -0,475$	$\beta_{87}: 0,783$	$\beta_{88}: 0,189$	
	$\beta_{89}: 0,242$	$\beta_{810}: -1,230$	$\beta_{811}: 0,743$	$\beta_{812}: 0,703$	
	$\beta_{813}: 0,021$	$\beta_{814}: -0,082$	$\beta_{815}: 0,047$	$\beta_{816}: 0,209$	
	$\beta_{91}: 0,849$	$\beta_{92}: 0,399$	$\beta_{93}: -0,649$	$\beta_{94}: 0,650$	
	$\beta_{95}: -0,137$	$\beta_{96}: 1,026$	$\beta_{97}: -0,542$	$\beta_{98}: 0,490$	
	$\beta_{99}: 0,350$	$\beta_{910}: 0,798$	$\beta_{911}: 0,361$	$\beta_{912}: 0,209$	
	$\beta_{913}: -0,485$	$\beta_{914}: -0,414$	$\beta_{915}: 0,277$	$\beta_{916}: -0,350$	
Krian 23.00	$B_1: 0,264$	$B_2: -1,087$	$B_3: -0,826$	$B_4: 1,012$	
	$B_5: -0,941$	$B_6: 1,485$	$B_7: -0,822$	$B_8: 0,924$	
	$B_9: -0,583$				
	$\alpha_{11}: 0,814$	$\alpha_{12}: 0,618$	$\alpha_{13}: 1,943$	$\alpha_{14}: 0,675$	
Model	$\alpha_{15}: 0,403$	$\alpha_{16}: 1,108$	$\alpha_{17}: 1,364$	$\alpha_{18}: 0,735$	
	$\alpha_{19}: 1,274$	$\alpha_{21}: 1,086$			
Kediri 05.30	Model	Nilai Bobot			
	Krian 23.00	$\beta_{11}: -0,239$	$\beta_{12}: 0,212$	$\beta_{13}: 0,014$	$\beta_{14}: -0,245$
		$\beta_{21}: -0,163$	$\beta_{22}: -0,376$	$\beta_{23}: 0,153$	$\beta_{24}: 1,190$
		$\beta_{31}: -0,701$	$\beta_{32}: -1,198$	$\beta_{33}: 0,484$	$\beta_{34}: -0,594$
		$\beta_{41}: -1,751$	$\beta_{42}: -1,234$	$\beta_{43}: 0,253$	$\beta_{44}: 0,278$
	Kediri 05.30	$B_1: 0,369$	$B_2: 0,916$	$B_3: 1,040$	$B_4: -0,901$
		$\alpha_{11}: 0,644$	$\alpha_{12}: 0,694$	$\alpha_{13}: -0,167$	$\alpha_{14}: 1,844$
	Model				
	Kediri 05.30	$\beta_{11}: 0,562$	$\beta_{12}: 1,306$	$\beta_{13}: 0,905$	
		$\beta_{21}: -1,831$	$\beta_{22}: -0,328$	$\beta_{23}: 0,406$	
		$\beta_{31}: 0,815$	$\beta_{32}: 0,281$	$\beta_{33}: 0,527$	
		$B_1: -0,700$	$B_2: -0,863$	$B_3: 1,088$	
		$\alpha_{11}: 0,401$	$\alpha_{12}: 1,931$	$\alpha_{13}: 0,080$	
		$\alpha_{21}: 1,154$			

### Lampiran 48 : Lanjutan

Model	Nilai Bobot			
Krian-Gresik 15.00	$\beta_{11}: 0,441$	$\beta_{12}: 0,004$	$\beta_{13}: 0,598$	$\beta_{14}: -0,428$
	$\beta_{15}: -0,441$	$\beta_{16}: 0,033$	$\beta_{17}: 1,341$	$\beta_{18}: 0,048$
	$\beta_{19}: 0,409$	$\beta_{110}: -0,519$	$\beta_{111}: -0,159$	$\beta_{112}: -0,336$
	$\beta_{21}: -0,109$	$\beta_{22}: 0,915$	$\beta_{23}: -0,957$	$\beta_{24}: 0,709$
	$\beta_{25}: 0,948$	$\beta_{26}: 0,390$	$\beta_{27}: -0,391$	$\beta_{28}: 0,641$
	$\beta_{29}: 0,726$	$\beta_{210}: 0,976$	$\beta_{211}: -0,960$	$\beta_{212}: 0,369$
	$\beta_{31}: 0,980$	$\beta_{32}: 1,765$	$\beta_{33}: -0,240$	$\beta_{34}: 0,215$
	$\beta_{35}: 0,090$	$\beta_{36}: -0,659$	$\beta_{37}: 0,271$	$\beta_{38}: 0,137$
	$\beta_{39}: -0,265$	$\beta_{310}: 0,506$	$\beta_{311}: -1,525$	$\beta_{312}: 1,006$
	$\beta_{41}: 0,954$	$\beta_{42}: -1,117$	$\beta_{43}: 1,382$	$\beta_{44}: -0,508$
	$\beta_{45}: 0,374$	$\beta_{46}: 1,592$	$\beta_{47}: -0,257$	$\beta_{48}: 1,088$
	$\beta_{49}: -1,812$	$\beta_{410}: -0,139$	$\beta_{411}: -2,470$	$\beta_{412}: -0,050$
	$\beta_{51}: 0,236$	$\beta_{52}: -0,029$	$\beta_{53}: -0,615$	$\beta_{54}: 0,754$
	$\beta_{55}: 0,647$	$\beta_{56}: 0,467$	$\beta_{57}: 0,713$	$\beta_{58}: 0,356$
	$\beta_{59}: 0,246$	$\beta_{510}: -0,566$	$\beta_{511}: 0,788$	$\beta_{512}: 0,790$
	$\beta_{61}: 0,807$	$\beta_{62}: -0,499$	$\beta_{63}: 0,466$	$\beta_{64}: 0,717$
	$\beta_{65}: -0,372$	$\beta_{66}: 1,085$	$\beta_{67}: 0,100$	$\beta_{68}: 0,386$
	$\beta_{69}: 0,491$	$\beta_{610}: 0,671$	$\beta_{611}: -0,556$	$\beta_{612}: 0,567$
	$\beta_{71}: -1,109$	$\beta_{72}: -0,421$	$\beta_{73}: -1,265$	$\beta_{74}: -0,201$
	$\beta_{75}: -0,021$	$\beta_{76}: -1,798$	$\beta_{77}: 1,060$	$\beta_{78}: -0,265$
	$\beta_{79}: 0,408$	$\beta_{710}: 0,218$	$\beta_{711}: 0,156$	$\beta_{712}: 0,894$
	$\beta_{81}: -1,051$	$\beta_{82}: 0,098$	$\beta_{83}: 0,435$	$\beta_{84}: -1,235$
	$\beta_{85}: 0,334$	$\beta_{86}: -0,018$	$\beta_{87}: 0,551$	$\beta_{88}: -0,897$
	$\beta_{89}: -1,412$	$\beta_{810}: 0,267$	$\beta_{811}: -0,719$	$\beta_{812}: 0,303$
	$\beta_{91}: -0,987$	$\beta_{92}: 2,028$	$\beta_{93}: -0,012$	$\beta_{94}: 0,596$
	$\beta_{95}: -0,384$	$\beta_{96}: -0,031$	$\beta_{97}: -0,727$	$\beta_{98}: -0,259$
	$\beta_{99}: 0,426$	$\beta_{910}: 0,416$	$\beta_{911}: 0,471$	$\beta_{912}: -1,417$
	$B_1: 0,930$	$B_2: -0,214$	$B_3: 1,427$	$B_4: -0,997$
	$B_5: 0,090$	$B_6: 0,926$	$B_7: -1,060$	$B_8: 1,086$
	$B_9: -1,320$			
	$\alpha_{11}: 0,467$	$\alpha_{12}: 0,973$	$\alpha_{13}: 0,194$	$\alpha_{14}: 1,743$
	$\alpha_{15}: 0,993$	$\alpha_{16}: 1,216$	$\alpha_{17}: 2,246$	$\alpha_{18}: 1,019$
	$\alpha_{19}: 1,459$	$\alpha_{21}: 1,367$		
Model	Nilai Bobot			
Krian-Gresik 22.30	$\beta_{11}: -0,331$	$\beta_{12}: -0,030$	$\beta_{13}: 0,563$	
	$\beta_{21}: -1,662$	$\beta_{22}: 0,820$	$\beta_{23}: -0,275$	
	$\beta_{31}: 2,867$	$\beta_{32}: 0,093$	$\beta_{33}: -0,667$	
	$\beta_{41}: 0,408$	$\beta_{42}: -0,073$	$\beta_{43}: 1,030$	
	$B_1: 1,123$	$B_2: 1,417$	$B_3: 0,948$	
	$B_4: -0,124$			
	$\alpha_{11}: 0,761$	$\alpha_{12}: -0,306$	$\alpha_{13}: -1,426$	
	$\alpha_{14}: 1,122$	$\alpha_{21}: 1,227$		
Model	Nilai Bobot			
Ngimbang 19.30	$\beta_{11}: 0,415$	$\beta_{12}: 0,625$	$\beta_{13}: 0,625$	
	$\beta_{21}: -0,297$	$\beta_{22}: 0,532$	$\beta_{23}: 0,183$	
	$\beta_{31}: 1,806$	$\beta_{32}: -0,287$	$\beta_{33}: -0,285$	
	$\beta_{41}: -0,130$	$\beta_{42}: -0,146$	$\beta_{43}: 0,719$	
	$\beta_{51}: 0,505$	$\beta_{52}: 0,918$	$\beta_{53}: 0,575$	
	$\beta_{61}: 0,558$	$\beta_{62}: 0,675$	$\beta_{63}: 1,050$	
	$\beta_{71}: 0,377$	$\beta_{72}: 0,033$	$\beta_{73}: 0,904$	
	$\beta_{81}: 0,572$	$\beta_{82}: 0,310$	$\beta_{83}: -0,558$	
	$B_1: -0,104$	$B_2: 0,679$	$B_3: 1,258$	
	$B_4: 0,719$	$B_5: -0,595$	$B_6: -0,069$	
	$B_7: -0,060$	$B_8: 0,927$		
	$\alpha_{11}: 1,035$	$\alpha_{12}: -0,315$	$\alpha_{13}: -1,545$	
	$\alpha_{14}: 0,580$	$\alpha_{15}: 1,165$	$\alpha_{16}: 0,895$	
	$\alpha_{17}: 0,962$	$\alpha_{18}: 0,839$	$\alpha_{21}: 1,181$	

### Lampiran 48: Lanjutan

Model	Nilai Bobot		
Kediri 18.30	$\beta_{11}: 0,627$	$\beta_{12}: 0,308$	$\beta_{13}: 0,334$
	$\beta_{21}: -2,296$	$\beta_{22}: -0,251$	$\beta_{23}: 0,067$
	$\beta_{31}: 1,222$	$\beta_{32}: 0,405$	$\beta_{33}: -0,145$
	$B_1: 0,193$	$B_2: -1,485$	$B_3: 0,906$
	$\alpha_{11}: 1,030$	$\alpha_{12}: 2,844$	$\alpha_{13}: 0,299$
	$\alpha_{21}: 1,100$		
Model	Nilai Bobot		
Ngimbang 22.30	$\beta_{11}: 0,384$	$\beta_{12}: 0,502$	$\beta_{13}: 0,602$
	$\beta_{21}: -0,519$	$\beta_{22}: 0,633$	$\beta_{23}: 0,595$
	$\beta_{31}: 1,775$	$\beta_{32}: 0,027$	$\beta_{33}: -0,310$
	$\beta_{41}: -0,052$	$\beta_{42}: -0,242$	$\beta_{43}: 0,706$
	$\beta_{51}: 0,394$	$\beta_{52}: 0,500$	$\beta_{53}: 0,443$
	$\beta_{61}: 0,499$	$\beta_{62}: 0,533$	$\beta_{63}: 1,004$
	$\beta_{71}: 0,338$	$\beta_{72}: 0,022$	$\beta_{73}: 0,878$
	$\beta_{81}: 0,911$	$\beta_{82}: 0,071$	$\beta_{83}: -0,738$
	$B_1: -0,145$	$B_2: 0,825$	$B_3: 1,310$
	$B_4: 0,581$	$B_5: -0,643$	$B_6: -0,004$
Paiton 22.30	$B_7: -0,184$	$B_8: 0,902$	
	$\alpha_{11}: 1,054$	$\alpha_{12}: 0,496$	$\alpha_{13}: -1,802$
	$\alpha_{14}: 0,450$	$\alpha_{15}: 1,239$	$\alpha_{16}: 0,866$
	$\alpha_{17}: 0,938$	$\alpha_{18}: 0,738$	$\alpha_{21}: 0,991$
Model	Nilai Bobot		
Paiton 22.30	$\beta_{11}: 0,477$	$\beta_{12}: 0,336$	$\beta_{13}: 0,229$
	$\beta_{21}: -0,842$	$\beta_{22}: 0,060$	$\beta_{23}: 0,625$
	$\beta_{31}: 0,783$	$\beta_{32}: 0,559$	$\beta_{33}: -0,127$
	$\beta_{41}: 0,017$	$\beta_{42}: -0,224$	$\beta_{43}: 0,805$
	$\beta_{51}: 0,722$	$\beta_{52}: 0,722$	$\beta_{53}: 0,311$
	$\beta_{61}: 0,690$	$\beta_{62}: 0,628$	$\beta_{63}: 1,538$
	$B_1: 0,596$	$B_2: -0,031$	$B_3: 0,750$
	$B_4: 0,390$	$B_5: 0,104$	$B_6: -1,403$
	$\alpha_{11}: 0,362$	$\alpha_{12}: 0,692$	$\alpha_{13}: 0,373$
	$\alpha_{14}: 0,568$	$\alpha_{15}: 0,960$	$\alpha_{16}: 0,659$
Paiton 18.30	$\alpha_{21}: 0,566$		
Model	Nilai Bobot		
Paiton 18.30	$\beta_{11}: 0,468$	$\beta_{12}: 0,655$	$\beta_{13}: 0,553$
	$\beta_{21}: -0,755$	$\beta_{22}: 0,148$	$\beta_{23}: 0,890$
	$\beta_{31}: 2,683$	$\beta_{32}: -0,612$	$\beta_{33}: 0,680$
	$\beta_{41}: 0,215$	$\beta_{42}: -0,296$	$\beta_{43}: 0,853$
	$\beta_{51}: 0,803$	$\beta_{52}: 1,088$	$\beta_{53}: 0,470$
	$\beta_{61}: 0,696$	$\beta_{62}: 0,800$	$\beta_{63}: 1,073$
	$\beta_{71}: 0,379$	$\beta_{72}: -0,032$	$\beta_{73}: 0,832$
	$\beta_{81}: 0,414$	$\beta_{82}: -0,841$	$\beta_{83}: -0,803$
	$\beta_{91}: -0,282$	$\beta_{92}: 1,765$	$\beta_{93}: 0,123$
	$\beta_{101}: -1,417$	$\beta_{102}: -1,649$	$\beta_{103}: -0,165$
	$B_1: 0,374$	$B_2: 0,833$	$B_3: -1,810$
	$B_4: -0,492$	$B_5: 1,291$	$B_6: 1,077$
	$B_7: -0,174$	$B_8: 0,674$	$B_9: -1,206$
	$B_{10}: -1,752$		
	$\alpha_{11}: 1,111$	$\alpha_{12}: 1,207$	$\alpha_{13}: 0,002$
	$\alpha_{14}: 0,428$	$\alpha_{15}: 1,347$	$\alpha_{16}: 1,262$
	$\alpha_{17}: 1,262$	$\alpha_{18}: 1,152$	$\alpha_{19}: 0,113$
	$\alpha_{110}: 3,057$	$\alpha_{21}: 1,649$	

## Lampiran 49 : Persamaan model MLP untuk setiap subsistem

### 1. Subsistem Krian pukul 11.00

$$\widehat{Z}_t = 1,086 + 0,814f^{(h_{1,t})} + 0,618f^{(h_{2,t})} + 1,943f^{(h_{3,t})} + \\ 0,675f^{(h_{4,t})} + 0,403f^{(h_{5,t})} + 1,108f^{(h_{6,t})} + 1,364f^{(h_{7,t})} + \\ 0,735f^{(h_{8,t})} + 1,274f^{(h_{9,t})}$$

Dengan,

$$f^{(h_{1,t})} = \frac{2}{1+e^{-(h_{1,t})}} - 1; f^{(h_{2,t})} = \frac{2}{1+e^{-(h_{2,t})}} - 1; f^{(h_{3,t})} = \frac{2}{1+e^{-(h_{3,t})}} - 1; \\ f^{(h_{4,t})} = \frac{2}{1+e^{-(h_{4,t})}} - 1; f^{(h_{5,t})} = \frac{2}{1+e^{-(h_{5,t})}} - 1; f^{(h_{6,t})} = \frac{2}{1+e^{-(h_{6,t})}} - 1; \\ f^{(h_{7,t})} = \frac{2}{1+e^{-(h_{7,t})}} - 1; f^{(h_{8,t})} = \frac{2}{1+e^{-(h_{8,t})}} - 1; f^{(h_{9,t})} = \frac{2}{1+e^{-(h_{9,t})}} - 1;$$

$$h_{1,t} = 0,264 + 0,316Y_{t-1} + 0,585Y_{t-2} + 0,207Y_{t-3} - 0,145Y_{t-7} - 0,642Y_{t-8} - \\ 0,103Y_{t-9} + 0,793Y_{t-10} - 0,260Y_{t-14} + 0,659Y_{t-21} - 0,488Y_{t-22} - \\ 0,519Y_{t-28} - 0,195Y_{t-29} + 0,167Y_{t-35} - 0,043Y_{t-36} + 0,854Y_{t-42} - \\ 0,985Y_{t-43}$$

$$h_{2,t} = -1,087 + 1,044Y_{t-1} + 1,132Y_{t-2} - 0,380Y_{t-3} + 0,481Y_{t-7} - 0,002Y_{t-8} + \\ 1,624Y_{t-9} - 0,663Y_{t-10} + 0,342Y_{t-14} - 0,137Y_{t-21} + 0,997Y_{t-22} - \\ 0,340Y_{t-28} - 0,233Y_{t-29} - 0,386Y_{t-35} - 0,567Y_{t-36} - 0,275Y_{t-42} - \\ 0,455Y_{t-43}$$

$$h_{3,t} = -0,826 - 0,321Y_{t-1} + 0,981Y_{t-2} - 1,195Y_{t-3} - 0,469Y_{t-7} - 0,558Y_{t-8} - \\ 0,379Y_{t-9} + 0,612Y_{t-10} + 0,378Y_{t-14} - 1,073Y_{t-21} + 0,103Y_{t-22} + \\ 0,149Y_{t-28} + 0,350Y_{t-29} - 0,599Y_{t-35} - 0,362Y_{t-36} - 0,298Y_{t-42} - \\ 0,869Y_{t-43}$$

$$h_{4,t} = 1,012 + 0,146Y_{t-1} - 0,462Y_{t-2} - 0,140Y_{t-3} - 0,321Y_{t-7} + 0,348Y_{t-8} + \\ 0,921Y_{t-9} + 0,702Y_{t-10} + 0,603Y_{t-14} + 0,258Y_{t-21} - 0,028Y_{t-22} - \\ 0,598Y_{t-28} + 0,967Y_{t-29} + 0,293Y_{t-35} - 1,182Y_{t-36} + 0,667Y_{t-42} - \\ 0,275Y_{t-43}$$

$$h_{5,t} = -0,941 + 0,293Y_{t-1} - 1,227Y_{t-2} + 0,898Y_{t-3} - 0,189Y_{t-7} - 0,079Y_{t-8} - \\ 0,223Y_{t-9} + 0,304Y_{t-10} - 0,696Y_{t-14} + 1,496Y_{t-21} - 0,587Y_{t-22} - \\ 0,652Y_{t-28} + 0,646Y_{t-29} - 0,457Y_{t-35} - 0,136Y_{t-36} + 0,360Y_{t-42} - \\ 0,733Y_{t-43}$$

$$h_{6,t} = 1,485 + 0,987Y_{t-1} + 0,957Y_{t-2} - 0,519Y_{t-3} + 0,390Y_{t-7} - 0,016Y_{t-8} + \\ 0,022Y_{t-9} - 0,351Y_{t-10} - 0,107Y_{t-14} - 0,180Y_{t-21} + 0,407Y_{t-22} - \\ 0,431Y_{t-28} + 0,055Y_{t-29} - 0,614Y_{t-35} - 0,350Y_{t-36} - 0,070Y_{t-42} - \\ 1,024Y_{t-43}$$

$$h_{7,t} = -0,822 - 0,228Y_{t-1} + 1,225Y_{t-2} - 0,570Y_{t-3} + 1,617Y_{t-7} - 1,286Y_{t-8} + \\ 0,353Y_{t-9} - 0,566Y_{t-10} - 0,663Y_{t-14} - 0,628Y_{t-21} - 0,703Y_{t-22} - \\ 0,162Y_{t-28} + 0,247Y_{t-29} + 0,217Y_{t-35} - 0,623Y_{t-36} + 0,837Y_{t-42} + \\ 0,820Y_{t-43}$$

$$h_{8,t} = 0,924 + 0,559Y_{t-1} - 0,099Y_{t-2} - 0,188Y_{t-3} - 0,151Y_{t-7} - 1,278Y_{t-8} - \\ 0,475Y_{t-9} + 0,783Y_{t-10} + 0,189Y_{t-14} + 0,242Y_{t-21} - 1,230Y_{t-22} + \\ 0,743Y_{t-28} + 0,703Y_{t-29} + 0,021Y_{t-35} - 0,082Y_{t-36} + 0,047Y_{t-42} + \\ 0,209Y_{t-43}$$

$$h_{9,t} = -0,583 + 0,849Y_{t-1} + 0,399Y_{t-2} - 0,649Y_{t-3} + 0,650Y_{t-7} - 0,137Y_{t-8} + \\ 1,026Y_{t-9} - 0,542Y_{t-10} + 0,490Y_{t-14} + 0,350Y_{t-21} + 0,798Y_{t-22} + \\ 0,361Y_{t-28} + 0,209Y_{t-29} - 0,485Y_{t-35} - 0,414Y_{t-36} + 0,277Y_{t-42} - \\ 0,350Y_{t-43}$$

### 2. Subsistem Krian pukul 23.00

$$\widehat{Z}_t = 0,970 + 0,644f^{(h_{1,t})} + 0,694f^{(h_{2,t})} - 0,167f^{(h_{3,t})} + 1,844f^{(h_{4,t})}$$

Dengan,

$$f^{(h_{1,t})} = \frac{2}{1+e^{-(h_{1,t})}} - 1; f^{(h_{2,t})} = \frac{2}{1+e^{-(h_{2,t})}} - 1; f^{(h_{3,t})} = \frac{2}{1+e^{-(h_{3,t})}} - 1; \\ f^{(h_{4,t})} = \frac{2}{1+e^{-(h_{4,t})}} - 1;$$

$$h_{1,t} = 0,369 - 0,239Y_{t-1} + 0,212Y_{t-2} + 0,014Y_{t-8} - 0,245Y_{t-9}$$

## Lampiran 49: Lanjutan

$$\begin{aligned} h_{2,t} &= 0,916 - 0,163Y_{t-1} - 0,376Y_{t-2} + 0,153Y_{t-8} + 1,190Y_{t-9} \\ h_{3,t} &= 1,040 - 0,701Y_{t-1} - 1,198Y_{t-2} + 0,484Y_{t-8} - 0,594Y_{t-9} \\ h_{4,t} &= -0,901 - 1,751Y_{t-1} - 1,234Y_{t-2} + 0,253Y_{t-8} + 0,278Y_{t-9} \end{aligned}$$

### 3. Subsistem Ngimbang pukul 19.30

$$\begin{aligned} \hat{Z}_t = & 1,181 + 1,035f^{(h_{1,t})} - 0,315f^{(h_{2,t})} - 1,545f^{(h_{3,t})} + 0,580f^{(h_{4,t})} + \\ & 1,165f^{(h_{5,t})} + 0,895f^{(h_{6,t})} + 0,962f^{(h_{7,t})} + 0,839f^{(h_{8,t})} \end{aligned}$$

Dengan,

$$\begin{aligned} f^{(h_{1,t})} &= \frac{2}{1+e^{-(h_{1,t})}} - 1; f^{(h_{2,t})} = \frac{2}{1+e^{-(h_{2,t})}} - 1; f^{(h_{3,t})} = \frac{2}{1+e^{-(h_{3,t})}} - 1; \\ f^{(h_{4,t})} &= \frac{2}{1+e^{-(h_{4,t})}} - 1; f^{(h_{5,t})} = \frac{2}{1+e^{-(h_{5,t})}} - 1; f^{(h_{6,t})} = \frac{2}{1+e^{-(h_{6,t})}} - 1; \\ f^{(h_{7,t})} &= \frac{2}{1+e^{-(h_{7,t})}} - 1; f^{(h_{8,t})} = \frac{2}{1+e^{-(h_{8,t})}} - 1; \end{aligned}$$

$$\begin{aligned} h_{1,t} &= -0,104 + 0,415Y_{t-1} + 0,625Y_{t-7} + 0,625Y_{t-8} \\ h_{2,t} &= 0,679 - 0,297Y_{t-1} + 0,532Y_{t-7} + 0,183Y_{t-8} \\ h_{3,t} &= 1,258 + 1,806Y_{t-1} - 0,287Y_{t-7} - 0,285Y_{t-8} \\ h_{4,t} &= 0,719 - 0,130Y_{t-1} - 0,146Y_{t-7} + 0,719Y_{t-8} \\ h_{5,t} &= -0,595 + 0,505Y_{t-1} + 0,918Y_{t-7} + 0,575Y_{t-8} \\ h_{6,t} &= -0,069 + 0,558Y_{t-1} + 0,675Y_{t-7} + 1,050Y_{t-8} \\ h_{7,t} &= -0,060 + 0,377Y_{t-1} + 0,033Y_{t-7} + 0,904Y_{t-8} \\ h_{8,t} &= 0,927 + 0,572Y_{t-1} + 0,310Y_{t-7} - 0,558Y_{t-8} \end{aligned}$$

### 4. Subsistem Ngimbang pukul 22.30

$$\begin{aligned} \hat{Z}_t = & 0,991 + 1,054f^{(h_{1,t})} + 0,496f^{(h_{2,t})} - 1,802f^{(h_{3,t})} + 0,450f^{(h_{4,t})} + \\ & + 1,239f^{(h_{5,t})} + 0,866f^{(h_{6,t})} + 0,938f^{(h_{7,t})} + 0,738f^{(h_{8,t})} \end{aligned}$$

Dengan,

$$\begin{aligned} f^{(h_{1,t})} &= \frac{2}{1+e^{-(h_{1,t})}} - 1; f^{(h_{2,t})} = \frac{2}{1+e^{-(h_{2,t})}} - 1; f^{(h_{3,t})} = \frac{2}{1+e^{-(h_{3,t})}} - 1; \\ f^{(h_4)} &= \frac{2}{1+e^{-(h_{4,t})}} - 1; f^{(h_{5,t})} = \frac{2}{1+e^{-(h_{5,t})}} - 1; f^{(h_{6,t})} = \frac{2}{1+e^{-(h_{6,t})}} - 1; \\ f^{(h_{7,t})} &= \frac{2}{1+e^{-(h_{7,t})}} - 1; f^{(h_{8,t})} = \frac{2}{1+e^{-(h_{8,t})}} - 1; \end{aligned}$$

$$\begin{aligned} h_{1,t} &= -0,145 + 0,384Y_{t-1} + 0,502Y_{t-7} + 0,602Y_{t-8} \\ h_{2,t} &= 0,825 - 0,519Y_{t-1} + 0,633Y_{t-7} + 0,595Y_{t-8} \\ h_{3,t} &= 1,310 + 1,775Y_{t-1} + 0,027Y_{t-7} - 0,310Y_{t-8} \\ h_{4,t} &= 0,581 - 0,052Y_{t-1} - 0,242Y_{t-7} + 0,706Y_{t-8} \\ h_{5,t} &= -0,643 + 0,394Y_{t-1} + 0,500Y_{t-7} + 0,443Y_{t-8} \\ h_{6,t} &= -0,004 + 0,499Y_{t-1} + 0,533Y_{t-7} + 1,004Y_{t-8} \\ h_{7,t} &= -0,184 + 0,338Y_{t-1} + 0,022Y_{t-7} + 0,878Y_{t-8} \\ h_{8,t} &= 0,902 + 0,911Y_{t-1} + 0,071Y_{t-7} - 0,738Y_{t-8} \end{aligned}$$

### 5. Subsistem Paiton pukul 18.30

$$\begin{aligned} \hat{Z}_t = & 1,649 + 1,111f^{(h_{1,t})} + 1,207f^{(h_{2,t})} + 0,002f^{(h_{3,t})} + 0,428f^{(h_{4,t})} + \\ & + 1,347f^{(h_{5,t})} + 1,262f^{(h_{6,t})} + 1,262f^{(h_{7,t})} + 1,152f^{(h_{8,t})} + \\ & + 0,113f^{(h_{9,t})} + 3,057f^{(h_{10,t})} \end{aligned}$$

Dengan,

$$f^{(h_{1,t})} = \frac{2}{1+e^{-(h_{1,t})}} - 1; f^{(h_{2,t})} = \frac{2}{1+e^{-(h_{2,t})}} - 1; f^{(h_{3,t})} = \frac{2}{1+e^{-(h_{3,t})}} - 1;$$

## Lampiran 49: Lanjutan

$$\begin{aligned} f^{(h_{4,t})} &= \frac{2}{1+e^{-(h_{4,t})}} - 1; f^{(h_{5,t})} = \frac{2}{1+e^{-(h_{5,t})}} - 1; f^{(h_{6,t})} = \frac{2}{1+e^{-(h_{6,t})}} - 1; \\ f^{(h_{7,t})} &= \frac{2}{1+e^{-(h_{7,t})}} - 1; f^{(h_{8,t})} = \frac{2}{1+e^{-(h_{8,t})}} - 1; f^{(h_{9,t})} = \frac{2}{1+e^{-(h_{9,t})}} - 1; \\ f^{(h_{10,t})} &= \frac{2}{1+e^{-(h_{10,t})}} - 1; \end{aligned}$$

$$\begin{aligned} h_{1,t} &= 0,374 + 0,468Y_{t-1} + 0,655Y_{t-7} + 0,553Y_{t-8} \\ h_{2,t} &= 0,833 + -0,755Y_{t-1} + 0,148Y_{t-7} + 0,890Y_{t-8} \\ h_{3,t} &= -1,810 + 2,683Y_{t-1} - 0,612Y_{t-7} + 0,680Y_{t-8} \\ h_{4,t} &= -0,492 + 0,215Y_{t-1} - 0,296Y_{t-7} + 0,853Y_{t-8} \\ h_{5,t} &= 1,291 + 0,803Y_{t-1} + 1,088Y_{t-7} + 0,470Y_{t-8} \\ h_{6,t} &= 1,077 + 0,690Y_{t-1} + 0,800Y_{t-7} + 1,073Y_{t-8} \\ h_{7,t} &= -0,174 + 0,379Y_{t-1} - 0,032Y_{t-7} + 0,832Y_{t-8} \\ h_{8,t} &= 0,674 + 0,414Y_{t-1} - 0,841Y_{t-7} - 0,803Y_{t-8} \\ h_{9,t} &= -1,206 - 0,282Y_{t-1} + 1,765Y_{t-7} + 0,123Y_{t-8} \\ h_{10,t} &= -1,752 - 1,417Y_{t-1} - 1,649Y_{t-7} - 0,165Y_{t-8} \end{aligned}$$

### 6. Subsistem Paiton pukul 22.30

$$\begin{aligned} \hat{Z}_t &= 0,566 + 0,362f^{(h_{1,t})} + 0,692f^{(h_{2,t})} + 0,373f^{(h_{3,t})} + 0,568f^{(h_{4,t})} \\ &\quad + 0,960f^{(h_{5,t})} + 0,659f^{(h_{6,t})} \end{aligned}$$

Dengan,

$$\begin{aligned} f^{(h_{1,t})} &= \frac{2}{1+e^{-(h_{1,t})}} - 1; f^{(h_{2,t})} = \frac{2}{1+e^{-(h_{2,t})}} - 1; f^{(h_{3,t})} = \frac{2}{1+e^{-(h_{3,t})}} - 1; \\ f^{(h_{4,t})} &= \frac{2}{1+e^{-(h_{4,t})}} - 1; f^{(h_{5,t})} = \frac{2}{1+e^{-(h_{5,t})}} - 1; f^{(h_{6,t})} = \frac{2}{1+e^{-(h_{6,t})}} - 1; \end{aligned}$$

$$\begin{aligned} h_{1,t} &= 0,596 + 0,477Y_{t-1} + 0,336Y_{t-7} + 0,229Y_{t-8} \\ h_{2,t} &= -0,031 + -0,842Y_{t-1} + 0,060Y_{t-7} + 0,625Y_{t-8} \\ h_{3,t} &= 0,750 + 0,783Y_{t-1} + 0,559Y_{t-7} + -0,127Y_{t-8} \\ h_{4,t} &= 0,39 + 0,017Y_{t-1} + -0,224Y_{t-7} + 0,805Y_{t-8} \\ h_{5,t} &= 0,960 + 0,722Y_{t-1} + 0,722Y_{t-7} + 0,311Y_{t-8} \\ h_{6,t} &= 0,659 + 0,690Y_{t-1} + 0,628Y_{t-7} + 1,538Y_{t-8} \end{aligned}$$

### 7. Subsistem Kediri pukul 18.30

$$\hat{Z}_t = 1,100 + 1,030f^{(h_{1,t})} + 2,844f^{(h_{2,t})} + 0,299f^{(h_{3,t})}$$

Dengan,

$$f^{(h_{1,t})} = \frac{2}{1+e^{-(h_{1,t})}} - 1; f^{(h_{2,t})} = \frac{2}{1+e^{-(h_{2,t})}} - 1; f^{(h_{3,t})} = \frac{2}{1+e^{-(h_{3,t})}} - 1;$$

$$\begin{aligned} h_{1,t} &= 0,193 + 0,627Y_{t-1} + 0,308Y_{t-7} + 0,334Y_{t-8} \\ h_{2,t} &= -1,485 + -2,296Y_{t-1} + -0,251Y_{t-7} + 0,067Y_{t-8} \\ h_{3,t} &= 0,906 + 1,222Y_{t-1} + 0,405Y_{t-7} + -0,145Y_{t-8} \end{aligned}$$

### 8. Subsistem Kediri pukul 05.30

$$\hat{Z}_t = 1,154 + 0,401f^{(h_{1,t})} + 1,931f^{(h_{2,t})} + 0,080f^{(h_{3,t})}$$

Dengan,

$$f^{(h_{1,t})} = \frac{2}{1+e^{-(h_{1,t})}} - 1; f^{(h_{2,t})} = \frac{2}{1+e^{-(h_{2,t})}} - 1; f^{(h_{3,t})} = \frac{2}{1+e^{-(h_{3,t})}} - 1;$$

$$\begin{aligned} h_{1,t} &= -0,700 + Y_{t-1} + 1,306Y_{t-7} + 0,905Y_{t-8} \\ h_{2,t} &= -0,863 \pm 1,831Y_{t-1} \pm 0,328Y_{t-7} + 0,406Y_{t-8} \end{aligned}$$

## Lampiran 49: Lanjutan

$$h_{3,t} = 1,088 + 0,815Y_{t-1} + 0,281Y_{t-7} + 0,527Y_{t-8}$$

### 9. Subsistem Krian-Gresik pukul 15.00

$$\begin{aligned}\widehat{Z}_t = & 1,367 + 0,467f^{(h_{1,t})} + 0,973f^{(h_{2,t})} + 0,194f^{(h_{3,t})} + 1,743f^{(h_{4,t})} \\ & + 0,993f^{(h_{5,t})} + 1,216f^{(h_{6,t})} + 2,246f^{(h_{7,t})} + 1,019f^{(h_{8,t})} + 1,459f^{(h_{9,t})}\end{aligned}$$

Dengan,

$$\begin{aligned}f^{(h_{1,t})} &= \frac{2}{1+e^{-(h_{1,t})}} - 1; f^{(h_{2,t})} = \frac{2}{1+e^{-(h_{2,t})}} - 1; f^{(h_{3,t})} = \frac{2}{1+e^{-(h_{3,t})}} - 1; \\ f^{(h_{4,t})} &= \frac{2}{1+e^{-(h_{4,t})}} - 1; f^{(h_{5,t})} = \frac{2}{1+e^{-(h_{5,t})}} - 1; f^{(h_{6,t})} = \frac{2}{1+e^{-(h_{6,t})}} - 1; \\ f^{(h_{7,t})} &= \frac{2}{1+e^{-(h_{7,t})}} - 1; f^{(h_{8,t})} = \frac{2}{1+e^{-(h_{8,t})}} - 1; f^{(h_{9,t})} = \frac{2}{1+e^{-(h_{9,t})}} - 1;\end{aligned}$$

$$\begin{aligned}h_{1,t} &= 0,930 + 0,441Y_{t-1} + 0,004Y_{t-2} + 0,598Y_{t-7} - 0,428Y_{t-8} - 0,441Y_{t-9} + \\ & 0,033Y_{t-14} + 1,341Y_{t-15} + 0,048Y_{t-16} + 0,409Y_{t-21} - 0,519Y_{t-22} - \\ & 0,159Y_{t-28} - 0,336Y_{t-29} \\ h_{2,t} &= -0,214 - 0,109Y_{t-1} + 0,915Y_{t-2} - 0,957Y_{t-7} + 0,709Y_{t-8} + 0,948Y_{t-9} + \\ & 0,390Y_{t-14} - 0,391Y_{t-15} + 0,641Y_{t-16} + 0,726Y_{t-21} + 0,976Y_{t-22} - \\ & 0,960Y_{t-28} + 0,369Y_{t-29} \\ h_{3,t} &= 1,427 + 0,980Y_{t-1} + 1,765Y_{t-2} - 0,240Y_{t-7} + 0,215Y_{t-8} + 0,090Y_{t-9} - \\ & 0,659Y_{t-14} + 0,271Y_{t-15} + 0,137Y_{t-16} - 0,265Y_{t-21} + 0,506Y_{t-22} + \\ & -1,525Y_{t-28} + 1,006Y_{t-29} \\ h_{4,t} &= -0,997 + 0,954Y_{t-1} + -1,117Y_{t-2} + 1,382Y_{t-7} - 0,508Y_{t-8} + 0,374Y_{t-9} + \\ & 1,592Y_{t-14} + -0,257Y_{t-15} + 1,088Y_{t-16} + -1,812Y_{t-21} + \\ & -0,139Y_{t-22} - 2,470Y_{t-28} - 0,050Y_{t-29} \\ h_{5,t} &= 0,090 + 0,236Y_{t-1} + -0,029Y_{t-2} + -0,615Y_{t-7} + 0,754Y_{t-8} + 0,647Y_{t-9} + \\ & 0,467Y_{t-14} + 0,713Y_{t-15} + 0,356Y_{t-16} + 0,246Y_{t-21} - 0,566Y_{t-22} + \\ & 0,788Y_{t-28} + 0,790Y_{t-29} \\ h_{6,t} &= 0,926 + 0,807Y_{t-1} - 0,499Y_{t-2} + 0,466Y_{t-7} + 0,717Y_{t-8} - 0,372Y_{t-9} + \\ & 1,085Y_{t-14} + 0,100Y_{t-15} + 0,386Y_{t-16} + 0,491Y_{t-21} + 0,671Y_{t-22} - \\ & 0,556Y_{t-28} + 0,567Y_{t-29} \\ h_{7,t} &= -1,060 - 1,109Y_{t-1} - 0,421Y_{t-2} - 1,265Y_{t-7} - 0,201Y_{t-8} - 0,021Y_{t-9} - \\ & 1,798Y_{t-14} + 1,060Y_{t-15} - 0,265Y_{t-16} + 0,408Y_{t-21} + 0,218Y_{t-22} + \\ & 0,156Y_{t-28} + 0,894Y_{t-29} \\ h_{8,t} &= 1,086 - 1,051Y_{t-1} + 0,098Y_{t-2} + 0,435Y_{t-7} - 1,235Y_{t-8} + 0,334Y_{t-9} - \\ & 0,018Y_{t-14} + 0,551Y_{t-15} - 0,897Y_{t-16} - 1,412Y_{t-21} + 0,267Y_{t-22} - \\ & 0,719Y_{t-28} + 0,303Y_{t-29} \\ h_{9,t} &= -1,320 - 0,987Y_{t-1} + 2,028Y_{t-2} - 0,012Y_{t-7} + 0,596Y_{t-8} - 0,384Y_{t-9} - \\ & -0,031Y_{t-14} - 0,727Y_{t-15} - 0,259Y_{t-16} + 0,426Y_{t-21} + 0,416Y_{t-22} + \\ & +0,471Y_{t-28} - 1,417Y_{t-29}\end{aligned}$$

### 10. Subsistem Krian-Gresik pukul 22.30

$$\widehat{Z}_t = 1,227 + 0,761f^{(h_{1,t})} \pm 0,306f^{(h_{2,t})} - 1,426f^{(h_{3,t})} + 1,122f^{(h_{4,t})}$$

Dengan,

$$f^{(h_{1,t})} = \frac{2}{1+e^{-(h_{1,t})}} - 1; f^{(h_{2,t})} = \frac{2}{1+e^{-(h_{2,t})}} - 1; f^{(h_{3,t})} = \frac{2}{1+e^{-(h_{3,t})}} - 1;$$

$$\begin{aligned}h_{1,t} &= 1,123 - 0,331Y_{t-1} - 0,030Y_{t-7} + 0,563Y_{t-8} \\ h_{2,t} &= 1,417 - 1,662Y_{t-1} + 0,820Y_{t-7} - 0,275Y_{t-8} \\ h_{3,t} &= 0,948 + 2,867Y_{t-1} + 0,093Y_{t-7} - 0,667Y_{t-8} \\ h_{4,t} &= 0,948 + 0,408Y_{t-1} - 0,073Y_{t-7} + 1,030Y_{t-8}\end{aligned}$$

## Lampiran 50 : Persamaan model ARIMA untuk setiap subsistem

### 1. Subsistem Ngimbang 19.30

$$\begin{aligned} y_t = & y_{t-1} + y_{t-7} - y_{t-8} + a_t - 0,95a_{t-7} - 0,5a_{t-1} + 0,475a_{t-8} - 149I_t^{(71)} \\ & - 109,21I_t^{(342)} - 102,04I_t^{(328)} - 102,33I_t^{(233)} + 77,9S_t^{(43)} - 84,87S_t^{(26)} + 64,86S_t^{(22)} \\ & - 56,41S_t^{(209)} + 60,37I_t^{(44)} - 57,45S_t^{(288)} - 52,77I_t^{(53)} - 54,04I_t^{(56)} - 52,51I_t^{(305)} \\ & + 50,08S_t^{(403)} + 49,1S_t^{(347)} + 66,41S_t^{(378)} - 56,31S_t^{(380)} + 51,02I_t^{(371)} - 54,17I_t^{(20)} \\ & - 47,85I_t^{(212)} \end{aligned}$$

### 2. Subsistem Ngimbang 22.30

$$\begin{aligned} y_t = & y_{t-1} + y_{t-7} - y_{t-8} + a_t - 0,99a_{t-7} - 0,44a_{t-1} + 0,435a_{t-8} + 114,38I_t^{(24)} \\ & - 92,95S_t^{(209)} - 87,29I_t^{(328)} + 60,18S_t^{(43)} + 63,78I_t^{(308)} - 62,24I_t^{(342)} - 58,78I_t^{(71)} \\ & - 59,16I_t^{(212)} - 60I_t^{(370)} + 55,95S_t^{(59)} - 46,42I_t^{(301)} - 47,3S_t^{(288)} - 45,25I_t^{(207)} \\ & - 45,15I_t^{(281)} + 51,22I_t^{(44)} + 47,73S_t^{(378)} - 41,41S_t^{(346)} - 41,83I_t^{(352)} + 40,86S_t^{(217)} \\ & + 42,53S_t^{(120)} \end{aligned}$$

### 3. Subsistem Paiton 18.30

$$\begin{aligned} y_t = & y_{t-1} + y_{t-7} - y_{t-8} + a_t - 0,47a_{t-1} - 0,19a_{t-2} - 0,14a_{t-3} - 0,96a_{t-7} + 0,4512a_{t-8} \\ & + 0,182a_{t-9} + 0,134a_{t-10} - 1518,2I_t^{(420)} - 1127,4I_t^{(133)} - 1088,7I_t^{(37)} - 1236,4I_t^{(170)} \\ & - 379,75S_t^{(154)} + 376,22S_t^{(169)} - 470,76S_t^{(117)} - 421,18I_t^{(118)} - 401,19I_t^{(1)} \\ & - 348,65I_t^{(290)} - 252,83I_t^{(161)} - 182,8S_t^{(209)} + 193,12S_t^{(214)} + 151,92S_t^{(164)} \\ & - 203,24I_t^{(77)} + 113,81S_t^{(371)} - 136,13I_t^{(99)} \end{aligned}$$

### 4. Subsistem Paiton 22.30

$$\begin{aligned} y_t = & y_{t-1} + y_{t-7} - y_{t-8} + a_t - 0,55a_{t-1} - 0,99a_{t-7} - 0,544a_{t-8} + 0,08a_{t-18} \\ & - 0,079a_{t-25} + 1516,7I_t^{(24)} - 1232,2I_t^{(342)} - 1151,1I_t^{(133)} - 944,33I_t^{(30)} - 978,53I_t^{(37)} \\ & - 992,28I_t^{(36)} + 537,15S_t^{(169)} - 394,06S_t^{(154)} - 407,89I_t^{(118)} - 352,93I_t^{(117)} \\ & - 345,27I_t^{(27)} - 328,51I_t^{(1)} - 195,26S_t^{(209)} - 249,43I_t^{(161)} \end{aligned}$$

### 5. Subsistem Kediri 18.30

$$\begin{aligned} y_t = & y_{t-1} + y_{t-7} - y_{t-8} + a_t - 0,24a_{t-1} - 0,91a_{t-7} + 0,2184a_{t-8} - 708,42I_t^{(37)} \\ & + 747,88S_t^{(142)} - 760,58S_t^{(119)} - 556,18I_t^{(170)} + 423,74S_t^{(116)} - 396,32I_t^{(70)} \\ & - 395,6S_t^{(82)} - 389,86I_t^{(77)} - 282I_t^{(408)} - 255,5I_t^{(41)} + 288,4S_t^{(232)} + 275,64S_t^{(132)} \\ & - 336,91I_t^{(79)} - 240,22S_t^{(333)} - 255,5S_t^{(83)} + 230,18S_t^{(110)} + 215,47S_t^{(326)} \\ & - 225,75S_t^{(9)} - 207,21I_t^{(80)} - 209,08S_t^{(254)} \end{aligned}$$

### 6. Subsistem Kediri 05.30

$$\begin{aligned} y_t = & y_{t-1} + y_{t-7} - y_{t-8} + a_t - 0,19a_{t-1} - 0,23a_{t-2} - 0,97a_{t-7} + 0,184a_{t-8} \\ & + 0,223a_{t-9} - 697,5S_t^{(119)} - 599,68I_t^{(27)} - 429,05I_t^{(25)} - 546,81S_t^{(36)} - 499,8I_t^{(9)} \\ & + 530,72S_t^{(39)} + 489,42S_t^{(116)} - 426,5I_t^{(69)} + 397,68S_t^{(143)} - 349,2I_t^{(71)} - 424,36S_t^{(82)} \\ & - 241,01I_t^{(84)} - 264,6I_t^{(80)} - 245,64I_t^{(132)} - 245,08S_t^{(333)} + 245,51S_t^{(120)} + 223,17S_t^{(326)} \\ & - 252,37S_t^{(92)} + 225,29I_t^{(209)} + 168,28S_t^{(235)} \end{aligned}$$

## Lampiran 50: Lanjutan

### 7. Subsistem Krian 11.00

$$\begin{aligned}
y_t = & 0,44y_{t-1} + 0,23y_{t-2} + 0,11y_{t-3} + 0,33y_{t-7} - 0,21y_{t-8} + 0,06y_{t-9} - 0,04y_{t-10} \\
& - 0,22y_{t-14} + 0,15y_{t-21} - 0,15y_{t-22} + 0,01y_{t-28} - 0,01y_{t-29} + 0,1y_{t-35} - 0,1y_{t-36} \\
& + 0,19y_{t-42} + 0,19y_{t-43} + a_t - 319,48I_t^{(37)} - 298,29I_t^{(123)} - 283,75I_t^{(262)} \\
& - 181,32I_t^{(190)} - 144,99S_t^{(207)} - 153,11I_t^{(99)} + 138,68I_t^{(40)} + 115,58I_t^{(80)} \\
& - 120,71I_t^{(121)} + 110,39I_t^{(71)} + 111,64S_t^{(162)} - 111,97I_t^{(90)} - 95,46I_t^{(278)} - 90,88I_t^{(85)} \\
& + 64,91I_t^{(44)} - 88,66I_t^{(14)} - 96,33S_t^{(209)} - 92,39I_t^{(147)}
\end{aligned}$$

### 8. Subsistem Krian 23.00

$$\begin{aligned}
y_t = & 0,5y_{t-1} + 0,5y_{t-2} - 0,5y_{t-8} - 0,5y_{t-9} + a_t - 0,2a_{t-2} - 0,99a_{t-7} + 0,21a_{t-9} \\
& - 339,91I_t^{(150)} - 294,69I_t^{(30)} - 256,15I_t^{(342)} - 298,61I_t^{(37)} - 288,74I_t^{(36)} \\
& + 137,39I_t^{(214)} - 109,23S_t^{(205)} - 121,79I_t^{(408)} + 106,79I_t^{(44)} - 99,3I_t^{(315)} - 104,9S_t^{(207)} \\
& - 97,39I_t^{(90)} - 92,38I_t^{(190)} + 85,47I_t^{(160)} - 77,73I_t^{(99)} - 79,80I_t^{(108)} + 78,09S_t^{(103)} \\
& - 72,35I_t^{(121)} - 74,44I_t^{(31)} - 65,93S_t^{(64)}
\end{aligned}$$

### 9. Subsistem Krian-Gresik 15.00

$$\begin{aligned}
y_t = & -0,47y_{t-2} + 0,01y_{t-3} + 1,38y_{t-8} - 0,91y_{t-9} + 0,01y_{t-19} + a_t - 0,25a_{t-2} \\
& - 1604,4I_t^{(370)} - 827,05I_t^{(123)} - 811,31I_t^{(324)} - 853,14I_t^{(170)} - 891,04I_t^{(41)} \\
& - 713,35S_t^{(209)} - 720,6I_t^{(311)} - 539,66I_t^{(31)} - 802,6I_t^{(189)} - 704,64I_t^{(190)} \\
& - 495,11I_t^{(121)} - 606,12I_t^{(99)} - 640,29I_t^{(97)} - 622,74I_t^{(90)} - 591,46I_t^{(308)} \\
& - 693,66I_t^{(218)} + 570,95S_t^{(214)} - 569,89I_t^{(1)} - 363,17I_t^{(107)} - 566,25I_t^{(216)}
\end{aligned}$$

### 10. Subsistem krian-Gresik 22.30

$$\begin{aligned}
y_t = & y_{t-1} + y_{t-7} - y_{t-8} + a_t - 1,5a_{t-1} + 0,52a_{t-2} - 0,13a_{t-13} + 0,12a_{t-4} - \\
& 1232,5I_t^{(370)} - 1203,8I_t^{(133)} - 1202I_t^{(352)} - 691,8I_t^{(342)} - 670,57I_t^{(41)} - \\
& 416,27S_t^{(206)} - 607,94I_t^{(222)} - 654,16I_t^{(311)} - 580,87I_t^{(218)} - 562,86I_t^{(30)} - 669I_t^{(37)} - \\
& 621,98I_t^{(36)} - 481,43I_t^{(310)} + 475,32S_t^{(214)} + 470,98I_t^{(250)} + 420,31S_t^{(371)} - \\
& 480,49I_t^{(1)} - 433,34I_t^{(99)} - 341,91S_t^{(209)} - 374,59I_t^{(190)}
\end{aligned}$$

**Lampiran 51:** Hasil Percobaan hibrida ARIMA dan MLP untuk subsistem Krian pukul 11.00

	<i>Input</i> Berdasarkan Lag AR	Jumlah Neuron di <i>Hidden Layer</i>	MAPE	RMSE	SMAPE
<i>In sample</i>	1, 2, 3, 7, 8, 9, 10, 14, 21, 22, 28, 29, 35, 36, 42, 43	1	7,862	30,331	7,9003
<i>Out sample</i>	1, 2, 3, 7, 8, 9, 10, 14, 21, 22, 28, 29, 35, 36, 42, 43	1	11,596	38,321	12,441
<i>In sample</i>	1, 2, 3, 7, 8, 9, 10, 14, 21, 22, 28, 29, 35, 36, 42, 43	2	7,829	30,212	7,868
<i>Out sample</i>	1, 2, 3, 7, 8, 9, 10, 14, 21, 22, 28, 29, 35, 36, 42, 43	2	11,620	38,408	12,470
<i>In sample</i>	1, 2, 3, 7, 8, 9, 10, 14, 21, 22, 28, 29, 35, 36, 42, 43	3	7,741	30,182	7,802
<i>Out sample</i>	1, 2, 3, 7, 8, 9, 10, 14, 21, 22, 28, 29, 35, 36, 42, 43	3	11,602	38,303	12,444
<i>In sample</i>	1, 2, 3, 7, 8, 9, 10, 14, 21, 22, 28, 29, 35, 36, 42, 43	4	7,453	29,694	7,591
<i>Out sample</i>	1, 2, 3, 7, 8, 9, 10, 14, 21, 22, 28, 29, 35, 36, 42, 43	4	11,582	37,992	12,410
<i>In sample</i>	1, 2, 3, 7, 8, 9, 10, 14, 21, 22, 28, 29, 35, 36, 42, 43	5	7,441	29,514	7,567
<i>Out sample</i>	1, 2, 3, 7, 8, 9, 10, 14, 21, 22, 28, 29, 35, 36, 42, 43	5	11,813	38,767	12,685
<i>In sample</i>	1, 2, 3, 7, 8, 9, 10, 14, 21, 22, 28, 29, 35, 36, 42, 43	6	7,849	30,067	7,885
<i>Out sample</i>	1, 2, 3, 7, 8, 9, 10, 14, 21, 22, 28, 29, 35, 36, 42, 43	6	12,157	39,872	13,089
<i>In sample</i>	1, 2, 3, 7, 8, 9, 10, 14, 21, 22, 28, 29, 35, 36, 42, 43	7	7,705	30,068	7,7605
<i>Out sample</i>	1, 2, 3, 7, 8, 9, 10, 14, 21, 22, 28, 29, 35, 36, 42, 43	7	12,043	39,357	12,943

**Lampiran 51:** Lanjutan

	<i>Input Berdasarkan Lag AR</i>	Jumlah Neuron di <i>Hidden Layer</i>	MAPE	RMSE	SMAPE
<i>In sample</i>	1, 2, 3, 7, 8, 9, 10, 14, 21, 22, 28, 29, 35, 36, 42, 43	8	7,889	30,125	7,922
<i>Out sample</i>	1, 2, 3, 7, 8, 9, 10, 14, 21, 22, 28, 29, 35, 36, 42, 43	8	12,066	39,384	12,969
<i>In sample</i>	1, 2, 3, 7, 8, 9, 10, 14, 21, 22, 28, 29, 35, 36, 42, 43	9	7,490	29,656	7,613
<i>Out sample</i>	1, 2, 3, 7, 8, 9, 10, 14, 21, 22, 28, 29, 35, 36, 42, 43	9	11,799	38,640	12,665
<i>In sample</i>	1, 2, 3, 7, 8, 9, 10, 14, 21, 22, 28, 29, 35, 36, 42, 43	10	7,344	29,282	7,510
<i>Out sample</i>	1, 2, 3, 7, 8, 9, 10, 14, 21, 22, 28, 29, 35, 36, 42, 43	10	12,034	39,521	12,957

**Lampiran 52:** Hasil percobaan Hibrida ARIMA dan MLP untuk subsistem Krian pukul 23.00

	<i>Input Berdasarkan Lag AR</i>	Jumlah Neuron di <i>Hidden Layer</i>	MAPE	RMSE	SMAPE
<i>In sample</i>	1, 2, 8, 9	1	5,802	22,701	5,815
<i>Out sample</i>	1, 2, 8, 9	1	6,474	22,045	6,728
<i>In sample</i>	1, 2, 8, 9	2	5,763	22,727	5,778
<i>Out sample</i>	1, 2, 8, 9	2	6,515	22,098	6,772
<i>In sample</i>	1, 2, 8, 9	3	5,813	22,702	5,829
<i>Out sample</i>	1, 2, 8, 9	3	6,489	22,071	6,743
<i>In sample</i>	1, 2, 8, 9	4	5,841	22,645	5,859
<i>Out sample</i>	1, 2, 8, 9	4	6,533	22,150	6,791
<i>In sample</i>	1, 2, 8, 9	5	5,850	22,627	5,880
<i>Out sample</i>	1, 2, 8, 9	5	6,671	22,487	6,942
<i>In sample</i>	1, 2, 8, 9	6	5,831	22,633	5,856
<i>Out sample</i>	1, 2, 8, 9	6	6,456	22,003	6,708
<i>In sample</i>	1, 2, 8, 9	7	5,876	22,553	5,918
<i>Out sample</i>	1, 2, 8, 9	7	6,588	22,301	6,852
<i>In sample</i>	1, 2, 8, 9	8	5,856	22,506	5,891
<i>Out sample</i>	1, 2, 8, 9	8	6,542	22,144	6,800
<i>In sample</i>	1, 2, 8, 9	9	5,870	22,580	5,917
<i>Out sample</i>	1, 2, 8, 9	9	6,360	21,793	6,604
<i>In sample</i>	1, 2, 8, 9	10	5,840	22,590	5,875
<i>Out sample</i>	1, 2, 8, 9	10	6,635	22,436	6,904

**Lampiran 53:** Hasil percobaan Hibrida ARIMA dan MLP untuk subsistem Krian-Gresik pukul 15.00

	<i>Input</i> Berdasarkan Lag AR	Jumlah Neuron di <i>Hidden Layer</i>	MAPE	RMSE	SMAPE
<i>In sample</i>	1, 2, 7, 8, 9, 14, 15, 16, 21, 22, 28, 29	1	30,044	231,115	10,596
<i>Out sample</i>	1, 2, 7, 8, 9, 14, 15, 16, 21, 22, 28, 29	1	5,925	118,261	5,612
<i>In sample</i>	1, 2, 7, 8, 9, 14, 15, 16, 21, 22, 28, 29	2	29,476	228,061	10,391
<i>Out sample</i>	1, 2, 7, 8, 9, 14, 15, 16, 21, 22, 28, 29	2	5,877	116,088	5,585
<i>In sample</i>	1, 2, 7, 8, 9, 14, 15, 16, 21, 22, 28, 29	3	29,534	226,827	10,269
<i>Out sample</i>	1, 2, 7, 8, 9, 14, 15, 16, 21, 22, 28, 29	3	5,713	114,607	5,414
<i>In sample</i>	1, 2, 7, 8, 9, 14, 15, 16, 21, 22, 28, 29	4	29,252	226,962	10,325
<i>Out sample</i>	1, 2, 7, 8, 9, 14, 15, 16, 21, 22, 28, 29	4	5,836	114,222	5,555
<i>In sample</i>	1, 2, 7, 8, 9, 14, 15, 16, 21, 22, 28, 29	5	29,616	227,319	10,277
<i>Out sample</i>	1, 2, 7, 8, 9, 14, 15, 16, 21, 22, 28, 29	5	5,862	117,272	5,548
<i>In sample</i>	1, 2, 7, 8, 9, 14, 15, 16, 21, 22, 28, 29	6	29,338	226,497	10,324
<i>Out sample</i>	1, 2, 7, 8, 9, 14, 15, 16, 21, 22, 28, 29	6	5,817	114,557	5,533
<i>In sample</i>	1, 2, 7, 8, 9, 14, 15, 16, 21, 22, 28, 29	7	29,288	223,399	10,187
<i>Out sample</i>	1, 2, 7, 8, 9, 14, 15, 16, 21, 22, 28, 29	7	5,546	110,701	5,302
<i>In sample</i>	1, 2, 7, 8, 9, 14, 15, 16, 21, 22, 28, 29	8	27,616	216,14	10,176
<i>Out sample</i>	1, 2, 7, 8, 9, 14, 15, 16, 21, 22, 28, 29	8	5,405	103,491	5,384
<i>In sample</i>	1, 2, 7, 8, 9, 14, 15, 16, 21, 22, 28, 29	9	27,715	218,566	10,009
<i>Out sample</i>	1, 2, 7, 8, 9, 14, 15, 16, 21, 22, 28, 29	9	4,955	93,464	4,879
<i>In sample</i>	1, 2, 7, 8, 9, 14, 15, 16, 21, 22, 28, 29	10	27,340	217,493	10,076
<i>Out sample</i>	1, 2, 7, 8, 9, 14, 15, 16, 21, 22, 28, 29	10	5,207	97,023	5,141

**Lampiran 54:** Hasil percobaan Hibrida ARIMA dan MLP untuk subsistem Krian-Gresik pukul 22.30

	<i>Input</i> Berdasarkan Lag AR	Jumlah Neuron di <i>Hidden Layer</i>	MAPE	RMSE	SMAPE
<i>In sample</i>	1, 7,8	1	5,331	100,966	5,205
<i>Out sample</i>	1, 7,8	1	6,784	139,819	6,236
<i>In sample</i>	1, 7,8	2	5,307	101,085	5,199
<i>Out sample</i>	1, 7,8	2	6,810	139,885	6,270
<i>In sample</i>	1, 7,8	3	5,285	101,015	5,194
<i>Out sample</i>	1, 7,8	3	6,787	139,332	6,258
<i>In sample</i>	1, 7,8	4	5,312	101,067	5,208
<i>Out sample</i>	1, 7,8	4	6,767	139,250	6,234
<i>In sample</i>	1, 7,8	5	5,291	101,108	5,197
<i>Out sample</i>	1, 7,8	5	6,783	139,159	6,258
<i>In sample</i>	1, 7,8	6	5,321	100,854	5,206
<i>Out sample</i>	1, 7,8	6	6,774	139,419	6,236
<i>In sample</i>	1, 7,8	7	5,335	100,927	5,211
<i>Out sample</i>	1, 7,8	7	6,761	139,431	6,219
<i>In sample</i>	1, 7,8	8	5,348	100,904	5,215
<i>Out sample</i>	1, 7,8	8	6,758	139,348	6,216
<i>In sample</i>	1, 7,8	9	5,372	100,960	5,225
<i>Out sample</i>	1, 7,8	9	6,748	139,512	6,198
<i>In sample</i>	1, 7,8	10	5,344	100,874	5,205
<i>Out sample</i>	1, 7,8	10	6,762	139,241	6,222

**Lampiran 55:** Hasil percobaan Hibrida ARIMA dan MLP untuk subsistem Kediri pukul 18.30

	<i>Input</i> Berdasarkan Lag AR	Jumlah Neuron di <i>Hidden Layer</i>	MAPE	RMSE	SMAPE
<i>In sample</i>	1, 7, 8	1	22,438	57,904	10,436
<i>Out sample</i>	1, 7, 8	1	18,439	222,900	20,868
<i>In sample</i>	1, 7, 8	2	22,444	57,915	10,382
<i>Out sample</i>	1, 7, 8	2	18,420	222,781	20,847
<i>In sample</i>	1, 7, 8	3	22,523	57,864	10,543
<i>Out sample</i>	1, 7, 8	3	18,404	222,376	20,820
<i>In sample</i>	1, 7, 8	4	22,142	57,315	10,735
<i>Out sample</i>	1, 7, 8	4	18,243	220,438	20,610
<i>In sample</i>	1, 7, 8	5	22,481	57,959	10,348
<i>Out sample</i>	1, 7, 8	5	18,405	222,633	20,828
<i>In sample</i>	1, 7, 8	6	22,158	57,232	10,786
<i>Out sample</i>	1, 7, 8	6	18,205	219,973	20,561
<i>In sample</i>	1, 7, 8	7	22,636	57,980	10,446
<i>Out sample</i>	1, 7, 8	7	18,323	221,672	20,721
<i>In sample</i>	1, 7, 8	8	22,501	57,651	10,697
<i>Out sample</i>	1, 7, 8	8	18,191	220,091	20,549
<i>In sample</i>	1, 7, 8	9	22,399	57,675	10,587
<i>Out sample</i>	1, 7, 8	9	18,234	220,461	20,602
<i>In sample</i>	1, 7, 8	10	21,232	56,959	10,486
<i>Out sample</i>	1, 7, 8	10	18,152	219,744	20,502

**Lampiran 56:** Hasil percobaan Hibrida ARIMA dan MLP untuk subsistem Kediri pukul 05.30

	<i>Input</i> Berdasarkan Lag AR	Jumlah Neuron di <i>Hidden Layer</i>	MAPE	RMSE	SMAPE
<i>In sample</i>	1, 7, 8	1	17,105	59,911	10,929
<i>Out sample</i>	1, 7, 8	1	9,950	90,849	9,125
<i>In sample</i>	1, 7, 8	2	17,127	59,947	10,921
<i>Out sample</i>	1, 7, 8	2	9,962	90,907	9,136
<i>In sample</i>	1, 7, 8	3	17,201	59,948	10,945
<i>Out sample</i>	1, 7, 8	3	9,967	90,967	9,140
<i>In sample</i>	1, 7, 8	4	17,259	59,836	10,961
<i>Out sample</i>	1, 7, 8	4	9,993	91,188	9,155
<i>In sample</i>	1, 7, 8	5	17,134	59,971	10,948
<i>Out sample</i>	1, 7, 8	5	9,960	90,936	9,133
<i>In sample</i>	1, 7, 8	6	17,254	59,884	10,955
<i>Out sample</i>	1, 7, 8	6	9,976	91,071	9,144
<i>In sample</i>	1, 7, 8	7	17,184	59,943	10,884
<i>Out sample</i>	1, 7, 8	7	9,974	90,917	9,145
<i>In sample</i>	1, 7, 8	8	17,246	59,884	10,963
<i>Out sample</i>	1, 7, 8	8	9,961	90,962	9,133
<i>In sample</i>	1, 7, 8	9	17,328	59,840	10,975
<i>Out sample</i>	1, 7, 8	9	9,959	90,951	9,130
<i>In sample</i>	1, 7, 8	10	17,107	59,984	10,979
<i>Out sample</i>	1, 7, 8	10	9,909	90,604	9,095

**Lampiran 57:** Hasil percobaan Hibrida ARIMA dan MLP untuk subsistem Paiton pukul 18.30

	<i>Input</i> Berdasarkan Lag AR	Jumlah Neuron di <i>Hidden Layer</i>	MAPE	RMSE	SMAPE
<i>In sample</i>	1, 7, 8	1	2,104	37,140	2,136
<i>Out sample</i>	1, 7, 8	1	23,056	354,113	25,241
<i>In sample</i>	1, 7, 8	2	2,129	37,245	2,174
<i>Out sample</i>	1, 7, 8	2	23,151	355,597	25,365
<i>In sample</i>	1, 7, 8	3	2,149	37,402	2,199
<i>Out sample</i>	1, 7, 8	3	23,221	356,695	25,457
<i>In sample</i>	1, 7, 8	4	2,151	37,393	2,201
<i>Out sample</i>	1, 7, 8	4	23,213	356,576	25,447
<i>In sample</i>	1, 7, 8	5	2,175	37,535	2,233
<i>Out sample</i>	1, 7, 8	5	23,279	357,675	25,535
<i>In sample</i>	1, 7, 8	6	2,178	37,522	2,235
<i>Out sample</i>	1, 7, 8	6	23,311	358,162	25,578
<i>In sample</i>	1, 7, 8	7	2,172	37,533	2,227
<i>Out sample</i>	1, 7, 8	7	23,294	357,863	25,555
<i>In sample</i>	1, 7, 8	8	2,176	37,567	2,231
<i>Out sample</i>	1, 7, 8	8	23,311	358,139	25,577
<i>In sample</i>	1, 7, 8	9	2,170	37,517	2,220
<i>Out sample</i>	1, 7, 8	9	23,345	358,639	25,620
<i>In sample</i>	1, 7, 8	10	2,194	37,663	2,253
<i>Out sample</i>	1, 7, 8	10	23,360	359,013	25,644

**Lampiran 58:** Hasil percobaan Hibrida ARIMA dan MLP untuk subsistem  
Paiton pukul 22.30

	<i>Input</i> Berdasarkan Lag AR	Jumlah Neuron di <i>Hidden Layer</i>	MAPE	RMSE	SMAPE
<i>In sample</i>	1, 7, 8	1	2,640	36,246	2,842
<i>Out sample</i>	1, 7, 8	1	8,675	149,411	6,930
<i>In sample</i>	1, 7, 8	2	2,651	36,038	2,901
<i>Out sample</i>	1, 7, 8	2	8,627	148,909	6,890
<i>In sample</i>	1, 7, 8	3	2,602	35,948	2,747
<i>Out sample</i>	1, 7, 8	3	8,615	148,794	6,879
<i>In sample</i>	1, 7, 8	4	2,591	36,036	2,706
<i>Out sample</i>	1, 7, 8	4	8,637	148,993	6,898
<i>In sample</i>	1, 7, 8	5	2,625	35,974	2,815
<i>Out sample</i>	1, 7, 8	5	8,607	148,724	6,872
<i>In sample</i>	1, 7, 8	6	2,591	35,955	2,719
<i>Out sample</i>	1, 7, 8	6	8,630	148,957	6,891
<i>In sample</i>	1, 7, 8	7	2,558	36,036	2,629
<i>Out sample</i>	1, 7, 8	7	8,671	149,332	6,927
<i>In sample</i>	1, 7, 8	8	2,538	36,049	2,591
<i>Out sample</i>	1, 7, 8	8	8,672	149,355	6,927
<i>In sample</i>	1, 7, 8	9	2,534	36,073	2,578
<i>Out sample</i>	1, 7, 8	9	8,675	149,407	6,929
<i>In sample</i>	1, 7, 8	10	2,585	35,856	2,695
<i>Out sample</i>	1, 7, 8	10	8,629	148,970	6,890

**Lampiran 59:** Hasil percobaan Hibrida ARIMA dan MLP untuk subsistem Ngimbang pukul 19.30

	<i>Input</i> Berdasarkan Lag AR	Jumlah Neuron di <i>Hidden Layer</i>	MAPE	RMSE	SMAPE
<i>In sample</i>	1, 7, 8	1	3,382	18,814	3,375
<i>Out sample</i>	1, 7, 8	1	8,816	47,458	9,298
<i>In sample</i>	1, 7, 8	2	3,385	18,838	3,379
<i>Out sample</i>	1, 7, 8	2	8,880	47,727	9,367
<i>In sample</i>	1, 7, 8	3	3,380	18,813	3,372
<i>Out sample</i>	1, 7, 8	3	8,838	47,534	9,322
<i>In sample</i>	1, 7, 8	4	3,370	18,762	3,363
<i>Out sample</i>	1, 7, 8	4	8,742	47,090	9,216
<i>In sample</i>	1, 7, 8	5	3,377	18,797	3,367
<i>Out sample</i>	1, 7, 8	5	8,726	47,057	9,200
<i>In sample</i>	1, 7, 8	6	3,355	18,675	3,340
<i>Out sample</i>	1, 7, 8	6	8,602	46,453	9,063
<i>In sample</i>	1, 7, 8	7	3,374	18,780	3,358
<i>Out sample</i>	1, 7, 8	7	8,556	46,303	9,013
<i>In sample</i>	1, 7, 8	8	3,368	18,749	3,351
<i>Out sample</i>	1, 7, 8	8	8,540	46,202	8,996
<i>In sample</i>	1, 7, 8	9	3,346	18,648	3,326
<i>Out sample</i>	1, 7, 8	9	8,577	46,344	9,036
<i>In sample</i>	1, 7, 8	10	3,364	18,718	3,341
<i>Out sample</i>	1, 7, 8	10	8,536	46,179	8,991

**Lampiran 60:** Hasil percobaan Hibrida ARIMA dan MLP untuk subsistem Ngimbang pukul 22.30

	<i>Input</i> Berdasarkan Lag AR	Jumlah Neuron di <i>Hidden Layer</i>	MAPE	RMSE	SMAPE
<i>In sample</i>	1, 7, 8	1	4,515	22,678	4,512
<i>Out sample</i>	1, 7, 8	1	27,579	121,472	32,075
<i>In sample</i>	1, 7, 8	2	4,519	22,7132	4,518
<i>Out sample</i>	1, 7, 8	2	27,661	121,830	32,186
<i>In sample</i>	1, 7, 8	3	4,500	22,653	4,498
<i>Out sample</i>	1, 7, 8	3	27,543	121,343	32,028
<i>In sample</i>	1, 7, 8	4	4,502	22,670	4,499
<i>Out sample</i>	1, 7, 8	4	27,544	121,348	32,030
<i>In sample</i>	1, 7, 8	5	4,539	22,770	4,528
<i>Out sample</i>	1, 7, 8	5	27,540	121,332	32,024
<i>In sample</i>	1, 7, 8	6	4,519	22,679	4,497
<i>Out sample</i>	1, 7, 8	6	27,425	120,847	31,870
<i>In sample</i>	1, 7, 8	7	4,563	22,858	4,536
<i>Out sample</i>	1, 7, 8	7	27,244	120,091	31,628
<i>In sample</i>	1, 7, 8	8	4,556	22,840	4,527
<i>Out sample</i>	1, 7, 8	8	27,286	120,268	31,685
<i>In sample</i>	1, 7, 8	9	4,587	22,883	4,550
<i>Out sample</i>	1, 7, 8	9	27,356	120,566	31,779
<i>In sample</i>	1, 7, 8	10	4,616	23,026	4,567
<i>Out sample</i>	1, 7, 8	10	27,201	119,900	31,570

**Lampiran 61:** Hasil ramalan konsumsi beban listrik di setiap subsistem.

Subsistem	Pukul	Metode	Tanggal	Ramalan
Krian	11.00	MLP	1/4/2015	278,34
			2/4/2015	292,77
			3/4/2015	308,29
			4/4/2015	272,53
			5/4/2015	201,91
			6/4/2015	275,65
			7/4/2015	294,77
			8/4/2015	280,6
			9/4/2015	292,26
			10/4/2015	293,13
			11/4/2015	263,6
			12/4/2015	209,2
			13/4/2015	268,14
			14/4/2015	290,13
Krian	15.00	ARIMA	1/4/2015	297,05
			2/4/2015	298,41
			3/4/2015	305,16
			4/4/2015	279,21
			5/4/2015	230,35
			6/4/2015	301,81
			7/4/2015	302,50
			8/4/2015	298,44
			9/4/2015	299,80
			10/4/2015	306,55
			11/4/2015	280,59
			12/4/2015	231,74
			13/4/2015	303,19
			14/4/2015	303,88
Krian	23.00	ARIMA	1/4/2015	276,78
			2/4/2015	282,64
			3/4/2015	280,52
			4/4/2015	260,21
			5/4/2015	250,59
			6/4/2015	284,70
			7/4/2015	280,84
			8/4/2015	278,57
			9/4/2015	283,38
			10/4/2015	281,81
			11/4/2015	261,21
			12/4/2015	251,73
			13/4/2015	285,77
			14/4/2015	281,95
Krian-Gresik	14.00	ARIMA	1/4/2015	1819,38
			2/4/2015	1785,85
			3/4/2015	1785,19
			4/4/2015	1543,45
			5/4/2015	1273,99
			6/4/2015	1772,36
			7/4/2015	1803,27
			8/4/2015	1815,42
			9/4/2015	1778,82
			10/4/2015	1784,02
			11/4/2015	1539,51
			12/4/2015	1277,24
			13/4/2015	1783,95
			14/4/2015	1808,89

### Lampiran 61: Lanjutan

Subsistem	Pukul	Metode	Tanggal	Ramalan
Krian-Gresik	15.00	Hibrida ARIMA & MLP	1/4/2015	1794,56
			2/4/2015	1749,91
			3/4/2015	1782,23
			4/4/2015	1392,95
			5/4/2015	1210,64
			6/4/2015	1809,15
			7/4/2015	1803,95
			8/4/2015	1822,49
			9/4/2015	1818,93
			10/4/2015	1888,33
			11/4/2015	1455,16
			12/4/2015	1302,06
			13/4/2015	1784,2
			14/4/2015	1828,74
Krian-Gresik	22.30	Hibrida ARIMA & MLP	1/4/2015	1633,06
			2/4/2015	1616,03
			3/4/2015	1581,87
			4/4/2015	1437,34
			5/4/2015	1353,03
			6/4/2015	1606,44
			7/4/2015	1594,7
			8/4/2015	1611,18
			9/4/2015	1595,96
			10/4/2015	1572,91
			11/4/2015	1428,37
			12/4/2015	1344,06
			13/4/2015	1597,47
			14/4/2015	1585,73
Ngimbang	13.30	MLP	1/4/2015	425,02
			2/4/2015	433,19
			3/4/2015	427,58
			4/4/2015	434,63
			5/4/2015	414
			6/4/2015	410,56
			7/4/2015	418,52
			8/4/2015	425,22
			9/4/2015	430,08
			10/4/2015	428,91
			11/4/2015	432,21
			12/4/2015	424,27
			13/4/2015	421,73
			14/4/2015	424,25
Ngimbang	19.30	MLP	1/4/2015	464,72
			2/4/2015	475,19
			3/4/2015	479,94
			4/4/2015	481,83
			5/4/2015	480,62
			6/4/2015	479,03
			7/4/2015	477,8
			8/4/2015	478,26
			9/4/2015	479,48
			10/4/2015	480,71
			11/4/2015	481,74
			12/4/2015	482,34
			13/4/2015	482,66
			14/4/2015	482,81

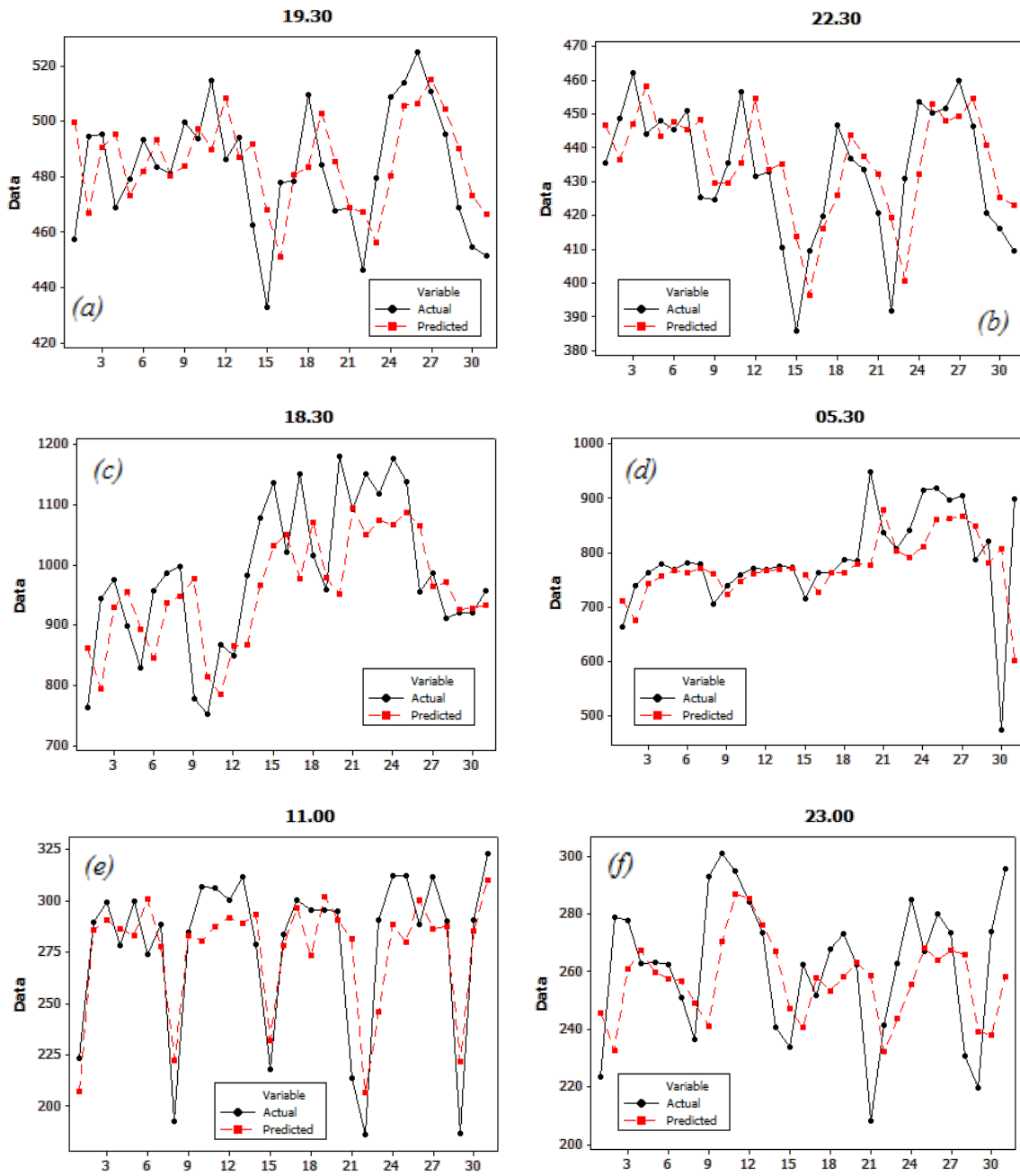
### Lampiran 61: Lanjutan

Subsistem	Pukul	Metode	Tanggal	Ramalan
Ngimbang	22.30	MLP	1/4/2015	415,45
			2/4/2015	420,79
			3/4/2015	425,85
			4/4/2015	427,94
			5/4/2015	427,93
			6/4/2015	428,85
			7/4/2015	428,91
			8/4/2015	429,9
			9/4/2015	431,17
			10/4/2015	432,6
			11/4/2015	433,79
			12/4/2015	434,65
			13/4/2015	435,46
			14/4/2015	436,08
Paiton	13.30	Hibrida ARIMA & MLP	1/4/2015	1418,13
			2/4/2015	1312,98
			3/4/2015	1404,92
			4/4/2015	1320,51
			5/4/2015	1189,67
			6/4/2015	1414,91
			7/4/2015	1434,8
			8/4/2015	1421,66
			9/4/2015	1316,51
			10/4/2015	1408,45
			11/4/2015	1324,05
			12/4/2015	1193,2
			13/4/2015	1418,44
			14/4/2015	1438,33
Paiton	18.30	MLP	1/4/2015	1393,36
			2/4/2015	1541,5
			3/4/2015	1567,02
			4/4/2015	1545,92
			5/4/2015	1569,65
			6/4/2015	1587,68
			7/4/2015	1596,93
			8/4/2015	1488,28
			9/4/2015	1515,37
			10/4/2015	1528,79
			11/4/2015	1525,36
			12/4/2015	1534,02
			13/4/2015	1543,01
			14/4/2015	1549,02
Paiton	22.30	MLP	1/4/2015	1363,83
			2/4/2015	1337,6
			3/4/2015	1335,72
			4/4/2015	1320
			5/4/2015	1309,07
			6/4/2015	1325,5
			7/4/2015	1338,41
			8/4/2015	1328,68
			9/4/2015	1318,06
			10/4/2015	1313,87
			11/4/2015	1310,41
			12/4/2015	1307,31
			13/4/2015	1308,41
			14/4/2015	1311,16

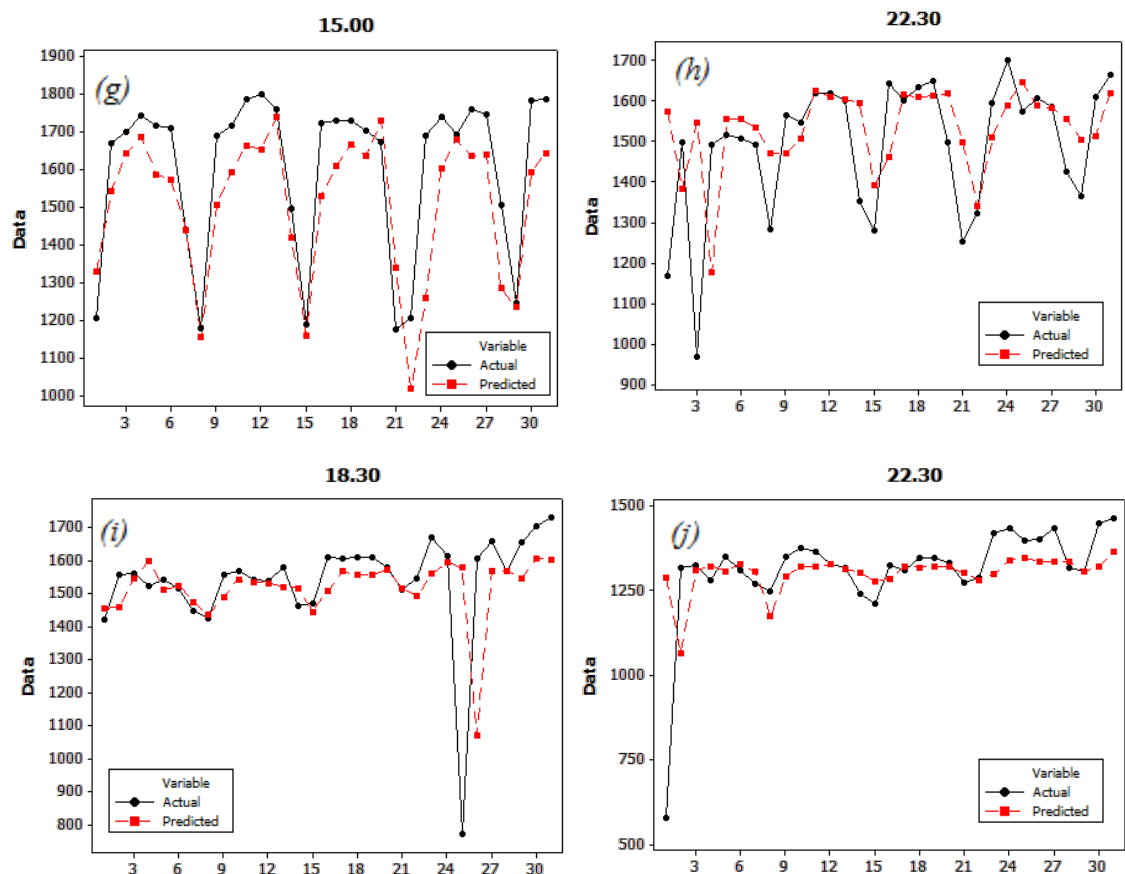
**Lampiran 61: Lanjutan**

Subsistem	Pukul	Metode	Tanggal	Ramalan
Kediri	13.30	MLP	1/4/2015	767,13
			2/4/2015	733,68
			3/4/2015	764,44
			4/4/2015	747,61
			5/4/2015	759,35
			6/4/2015	763,16
			7/4/2015	735,13
			8/4/2015	739,09
			9/4/2015	730,3
			10/4/2015	735,41
			11/4/2015	731,5
			12/4/2015	733,52
			13/4/2015	734,45
			14/4/2015	728,16
Kediri	18.30	MLP	1/4/2015	956,01
			2/4/2015	938,1
			3/4/2015	932,94
			4/4/2015	920,69
			5/4/2015	914,35
			6/4/2015	909,39
			7/4/2015	909,5
			8/4/2015	908,42
			9/4/2015	905,77
			10/4/2015	903,76
			11/4/2015	901,1
			12/4/2015	898,78
			13/4/2015	896,7
			14/4/2015	895,28
Kediri	05.30	MLP	1/4/2015	857,65
			2/4/2015	829,66
			3/4/2015	814,87
			4/4/2015	791,89
			5/4/2015	786,66
			6/4/2015	741,25
			7/4/2015	773,44
			8/4/2015	774,82
			9/4/2015	773,99
			10/4/2015	772,73
			11/4/2015	769,67
			12/4/2015	767,87
			13/4/2015	761,31
			14/4/2015	762,46

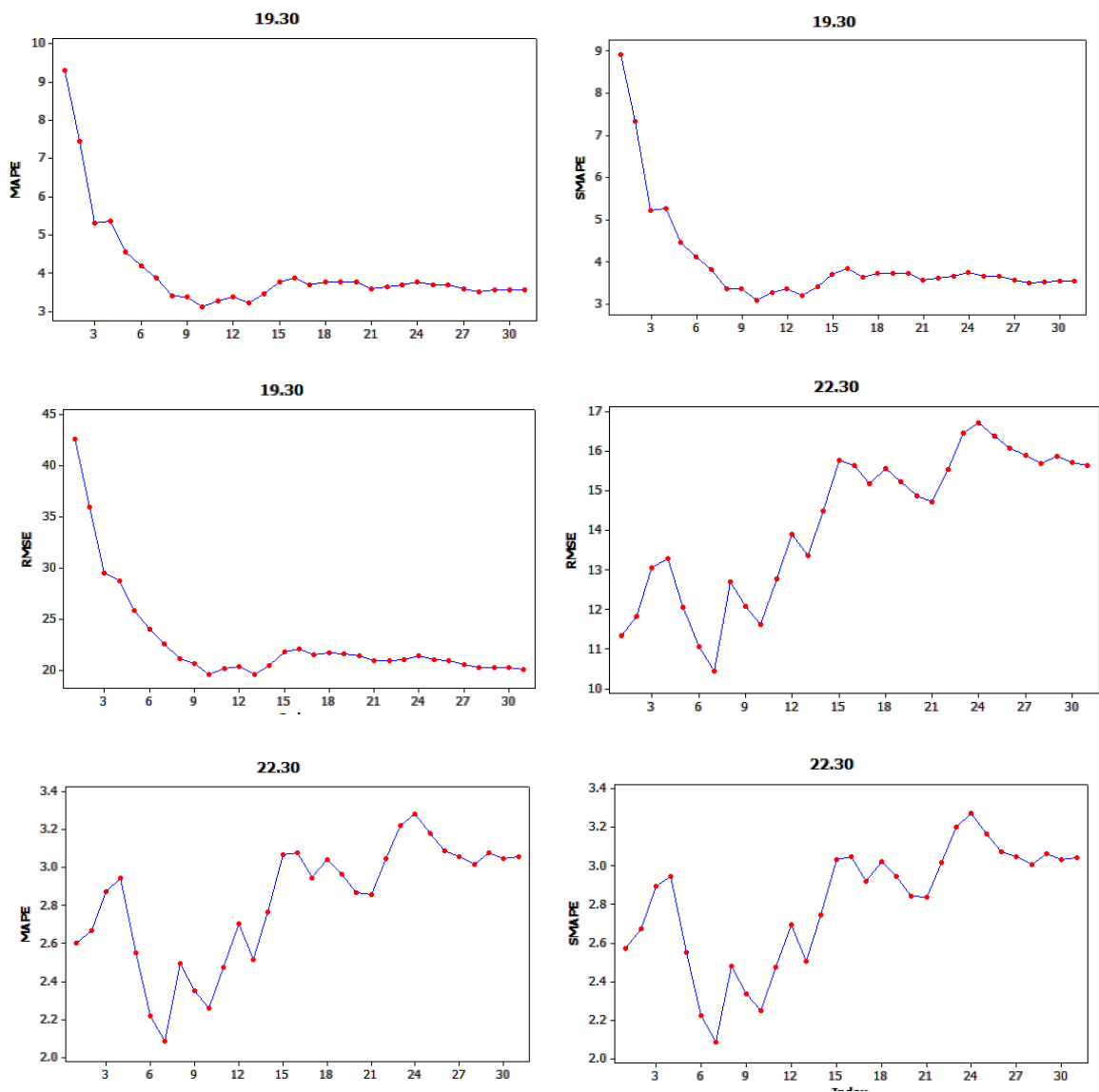
**Lampiran 62:** *Time series plot* hasil ramalan disetiap subsistem dengan metode MLP berdasarkan data *out sample* Ngimbang 19.30 (a), Ngimbang 22.30 (b), Kediri 18.30 (c), Kediri 05.30 (d), Krian 11.00 (e), Krian 23.00 (f), Krian-Gresik 15.00 (g), Krian-Gresik 22.30 (h), Paiton 18.30 (i), Paiton 22.30 (j)



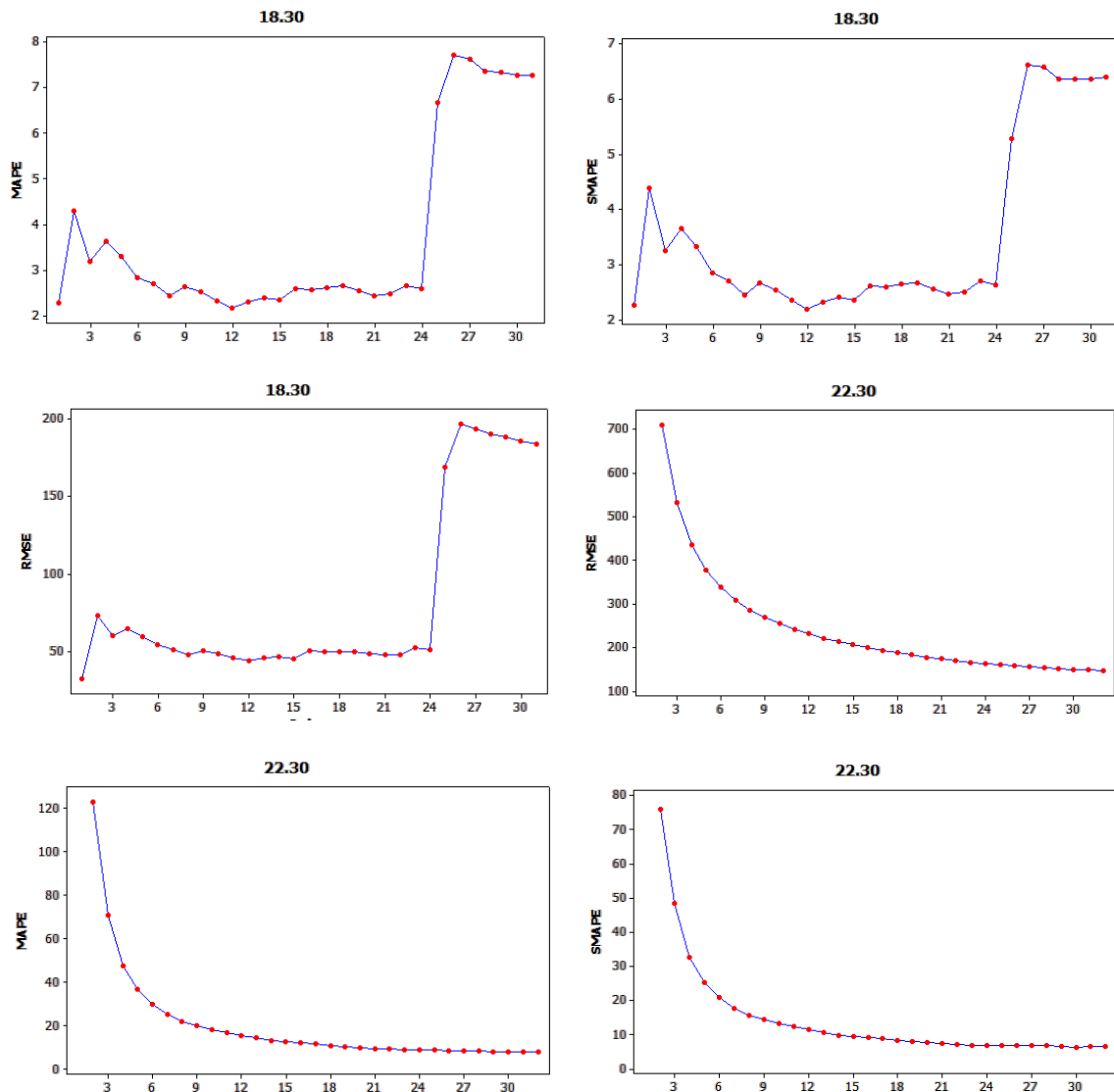
## Lampiran 62: Lanjutan



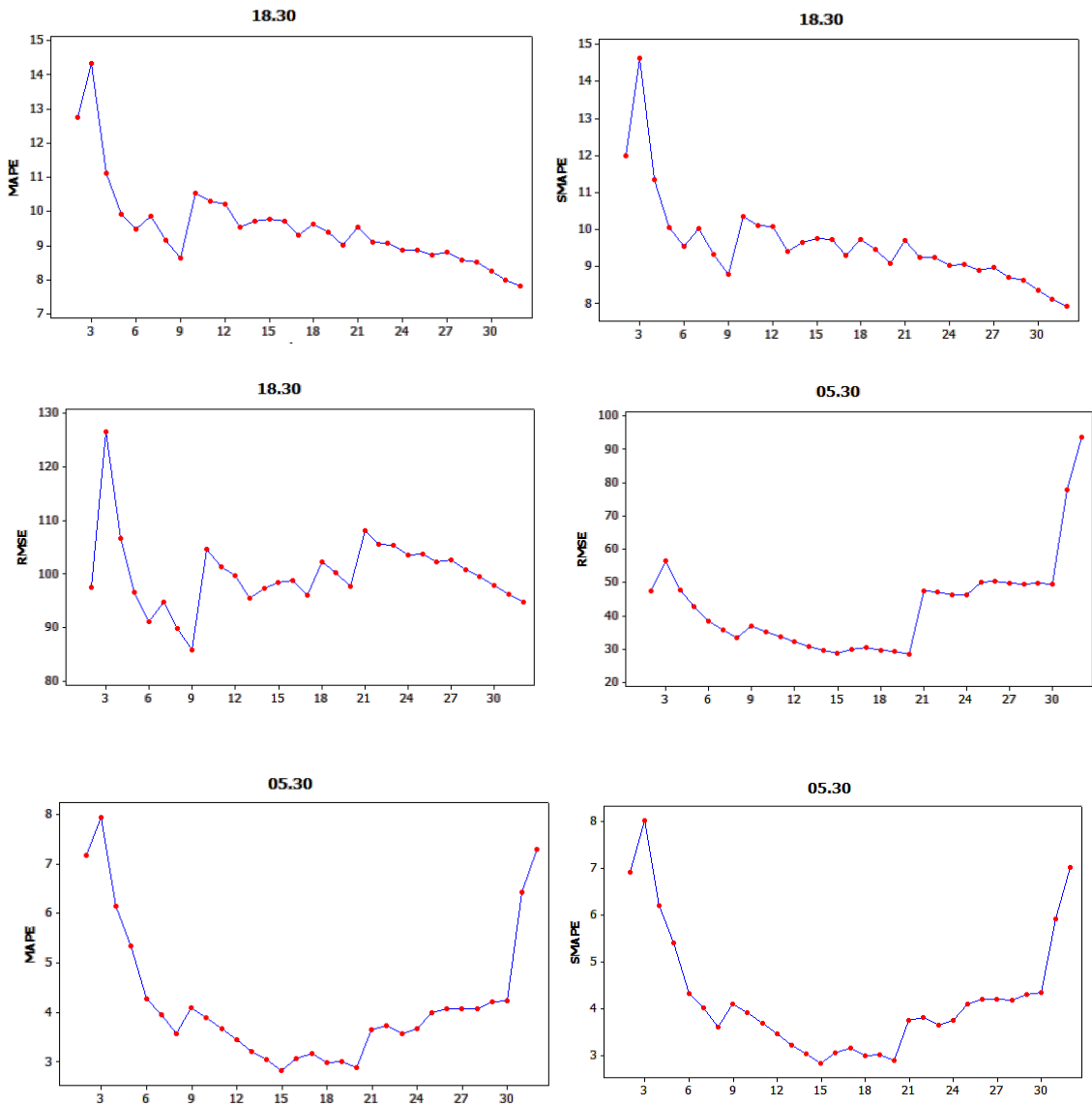
**Lampiran 63:** Grafik hasil MAPE, SMAPE, dan RMSE metode MLP untuk setiap subsistem Ngimbang



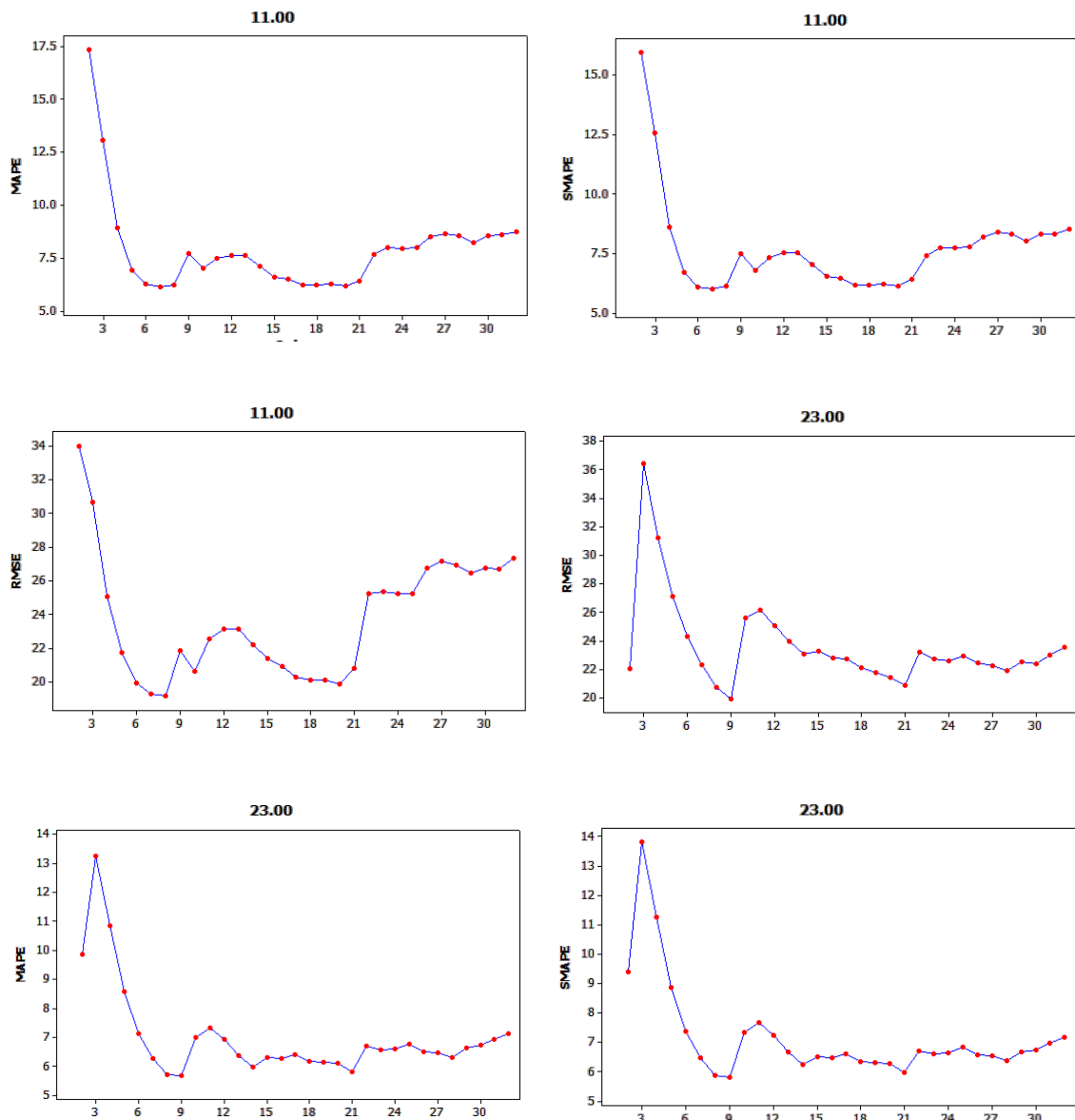
**Lampiran 64:** Grafik hasil MAPE, SMAPE, dan RMSE metode MLP untuk setiap subsistem Paiton



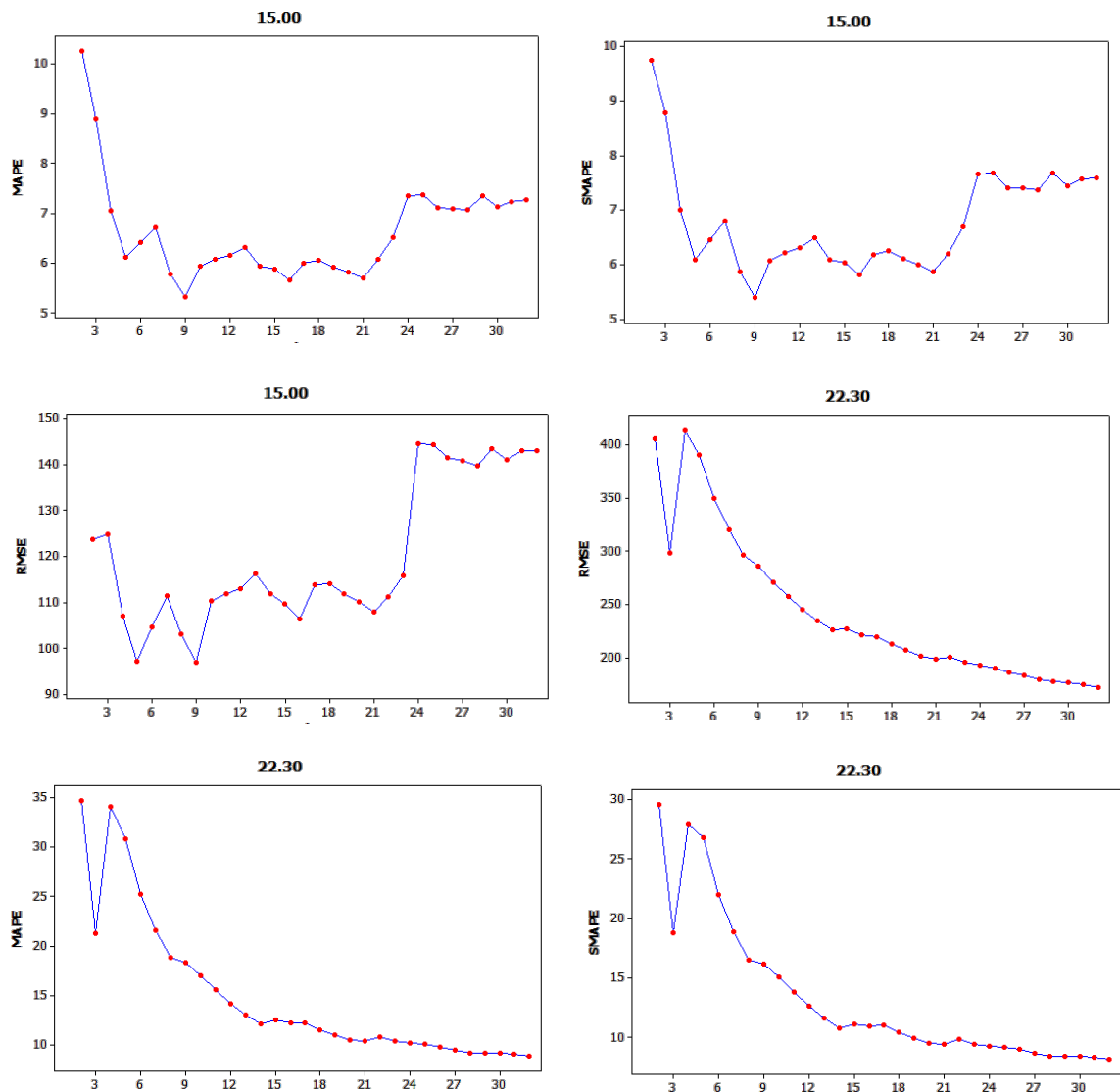
**Lampiran 65:** Grafik hasil MAPE, SMAPE, dan RMSE metode MLP untuk setiap subsistem Kediri



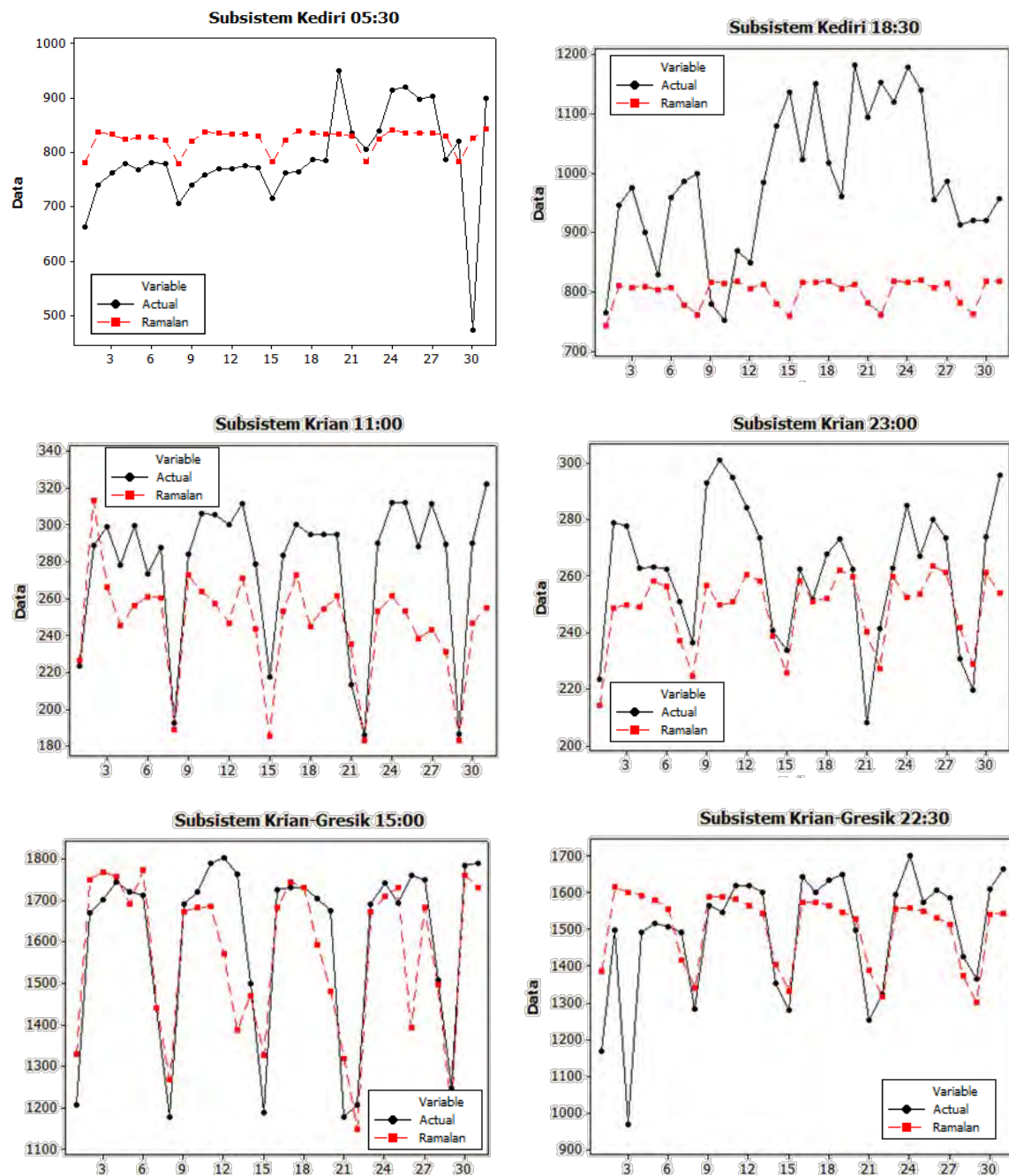
**Lampiran 66:** Grafik hasil MAPE, SMAPE, dan RMSE metode MLP untuk setiap subsistem Krian



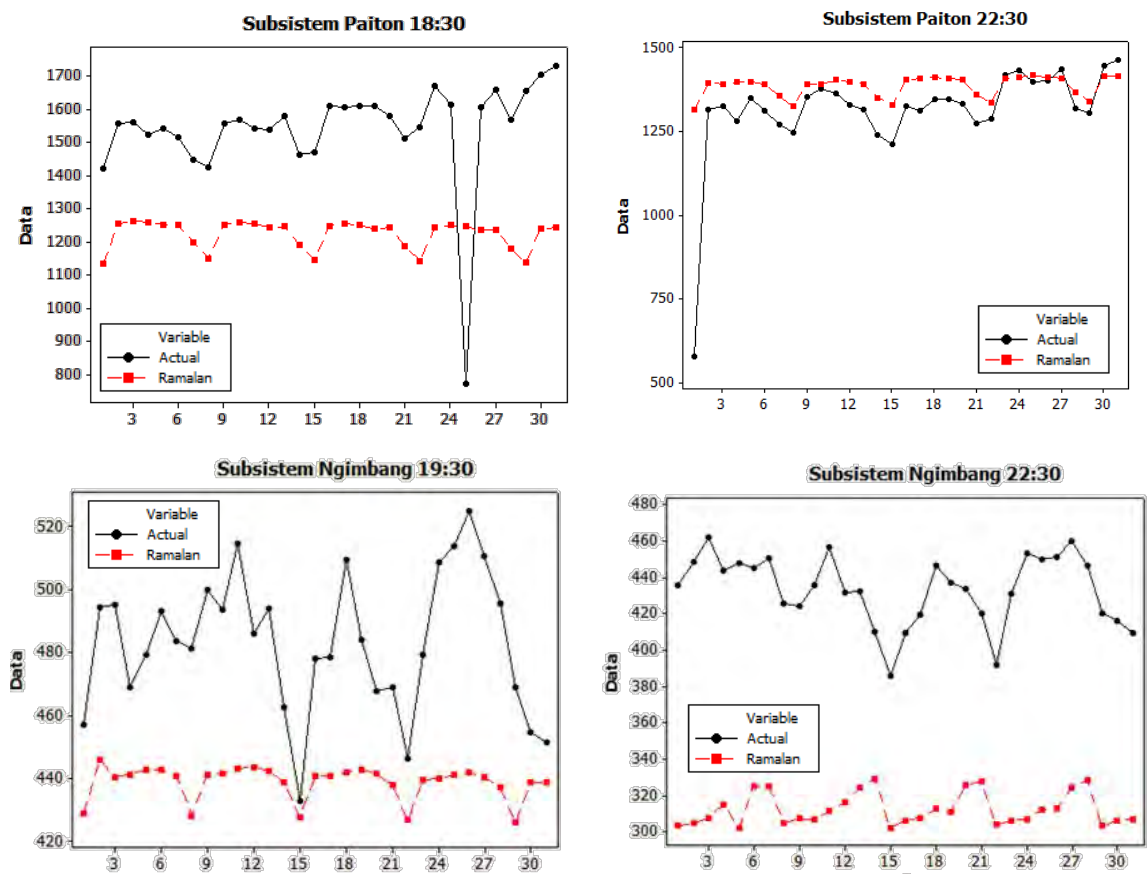
**Lampiran 67:** Grafik hasil MAPE, SMAPE, dan RMSE metode MLP untuk setiap subsistem Krian-gresik



**Lampiran 68:** Times series plot hasil ramalan berdasarkan *out sample* pada metode hibrida ARIMA & MLP disetiap susistem



## Lampiran 68: Lanjutan



**Lampiran 69:** Nilai Bobot dan Bias dengan metode hibrida ARIMA & MLP di setiap subistem

Model	Nilai Bobot			
Krian 11.00	$\beta_{11}: 1,076$	$\beta_{12}: 0,373$	$\beta_{13}: 0,555$	$\beta_{14}: 0,116$
	$\beta_{15}: -0,970$	$\beta_{16}: -0,228$	$\beta_{17}: 0,621$	$\beta_{18}: 0,058$
	$\beta_{19}: 0,998$	$\beta_{10}: -0,269$	$\beta_{11}: -0,856$	$\beta_{12}: -0,726$
	$\beta_{113}: 0,393$	$\beta_{114}: 0,255$	$\beta_{115}: 1,015$	$\beta_{116}: -0,695$
	$\beta_{21}: 0,739$	$\beta_{22}: 0,886$	$\beta_{23}: 1,024$	$\beta_{24}: 0,637$
	$\beta_{25}: 0,321$	$\beta_{26}: 1,285$	$\beta_{27}: -0,451$	$\beta_{28}: 0,132$
	$\beta_{29}: -0,222$	$\beta_{20}: 0,867$	$\beta_{21}: 0,287$	$\beta_{22}: -0,905$
	$\beta_{213}: -0,101$	$\beta_{214}: -0,425$	$\beta_{215}: -0,001$	$\beta_{216}: -1,095$
	$\beta_{31}: -0,149$	$\beta_{32}: -0,235$	$\beta_{33}: -0,237$	$\beta_{34}: 0,138$
	$\beta_{35}: 0,325$	$\beta_{36}: 0,503$	$\beta_{37}: -0,679$	$\beta_{38}: -0,551$
	$\beta_{39}: -0,613$	$\beta_{30}: -0,422$	$\beta_{31}: -1,626$	$\beta_{32}: -0,107$
	$\beta_{313}: -0,002$	$\beta_{314}: -1,586$	$\beta_{315}: -0,474$	$\beta_{316}: -1,441$
	$\beta_{41}: 0,270$	$\beta_{42}: -0,053$	$\beta_{43}: 0,201$	$\beta_{44}: 0,582$
	$\beta_{45}: -0,066$	$\beta_{46}: -0,046$	$\beta_{47}: 0,533$	$\beta_{48}: -0,004$
	$\beta_{49}: 0,422$	$\beta_{40}: -0,837$	$\beta_{41}: -1,353$	$\beta_{42}: -0,075$
	$\beta_{413}: 0,501$	$\beta_{414}: -0,630$	$\beta_{415}: 0,975$	$\beta_{416}: -0,952$
	$B_1: 0,911$	$B_2: -0,681$	$B_3: 1,340$	$B_4: -0,378$
	$\alpha_{11}: 1,087$	$\alpha_{12}: 0,515$	$\alpha_{13}: 0,913$	$\alpha_{14}: 0,764$
	$\alpha_{21}: 1,575$			
Model	Nilai Bobot			
Krian 23.00	$\beta_{11}: 0,839$	$\beta_{12}: -0,237$	$\beta_{13}: 1,422$	$\beta_{14}: -0,431$
	$\beta_{21}: 0,100$	$\beta_{22}: 1,091$	$\beta_{23}: -0,355$	$\beta_{24}: 0,837$
	$\beta_{31}: -0,654$	$\beta_{32}: -0,404$	$\beta_{33}: 0,565$	$\beta_{34}: 0,099$
	$\beta_{41}: -0,678$	$\beta_{42}: 1,513$	$\beta_{43}: 0,667$	$\beta_{44}: -0,408$
	$\beta_{51}: 0,586$	$\beta_{52}: 0,871$	$\beta_{53}: 0,937$	$\beta_{54}: -0,714$
	$\beta_{61}: -0,126$	$\beta_{62}: 1,013$	$\beta_{63}: 0,236$	$\beta_{64}: -0,043$
	$\beta_{71}: -1,381$	$\beta_{72}: -0,285$	$\beta_{73}: -0,474$	$\beta_{74}: 1,078$
	$\beta_{81}: 0,056$	$\beta_{82}: -1,785$	$\beta_{83}: -0,213$	$\beta_{84}: -0,107$
	$\beta_{91}: 0,634$	$\beta_{92}: 0,761$	$\beta_{93}: -1,316$	$\beta_{94}: -0,797$
	$B_1: 0,974$	$B_2: -0,696$	$B_3: 0,285$	$B_4: -0,769$
	$B_5: -0,065$	$B_6: -0,408$	$B_7: 0,333$	$B_8: -0,392$
	$B_9: 0,474$			
	$\alpha_{11}: 0,331$	$\alpha_{12}: 0,391$	$\alpha_{13}: 0,680$	$\alpha_{14}: 0,792$
	$\alpha_{15}: 1,174$	$\alpha_{16}: 0,542$	$\alpha_{17}: 0,512$	$\alpha_{18}: 0,919$
	$\alpha_{19}: 1,030$	$\alpha_{21}: 1,012$		
Model	Nilai Bobot			
Kediri 13.30	$\beta_{11}: 0,388$	$\beta_{12}: 0,172$	$\beta_{13}: 1,110$	
	$\beta_{21}: -1,035$	$\beta_{22}: -0,642$	$\beta_{23}: 0,288$	
	$\beta_{31}: 0,487$	$\beta_{32}: -0,743$	$\beta_{33}: -0,727$	
	$\beta_{41}: -0,629$	$\beta_{42}: -0,664$	$\beta_{43}: 0,860$	
	$B_1: 0,532$	$B_2: 0,438$	$B_3: 0,077$	
	$B_4: -0,431$			
	$\alpha_{11}: 0,363$	$\alpha_{12}: 0,149$	$\alpha_{13}: 0,395$	
	$\alpha_{14}: 0,616$	$\alpha_{21}: 0,412$		
Model	Nilai Bobot			
Paiton 22.30	$\beta_{11}: 0,523$	$\beta_{12}: 0,295$	$\beta_{13}: 0,227$	
	$\beta_{21}: -0,017$	$\beta_{22}: -0,672$	$\beta_{23}: 1,186$	
	$\beta_{31}: 0,700$	$\beta_{32}: -0,317$	$\beta_{33}: 0,177$	
	$\beta_{41}: 1,679$	$\beta_{42}: -0,043$	$\beta_{43}: 1,704$	
	$\beta_{51}: 0,698$	$\beta_{52}: 0,840$	$\beta_{53}: 0,230$	
	$B_1: 0,567$	$B_2: 0,657$	$B_3: 0,408$	
	$B_4: -1,598$	$B_5: 0,311$		
	$\alpha_{11}: 0,454$	$\alpha_{12}: 0,863$	$\alpha_{13}: -0,084$	
	$\alpha_{14}: -0,069$	$\alpha_{15}: 0,741$	$\alpha_{21}: 0,700$	

## Lampiran 69: Lanjutan

Model	Nilai Bobot				
Krian-Gresik 15.00	$\beta_{11}: 0,328$ $\beta_{15}: -0,700$ $\beta_{19}: 0,852$ $\beta_{21}: -0,260$ $\beta_{25}: 1,151$ $\beta_{29}: 0,745$ $\beta_{31}: 0,613$ $\beta_{35}: 0,095$ $\beta_{39}: -1,251$ $\beta_{41}: 1,139$ $\beta_{45}: -1,120$ $\beta_{49}: -0,271$ $\beta_{51}: 0,243$ $\beta_{55}: 0,644$ $\beta_{59}: 0,248$ $\beta_{61}: 0,806$ $\beta_{65}: -0,535$ $\beta_{69}: 0,423$ $\beta_{71}: 0,380$ $\beta_{75}: -0,931$ $\beta_{79}: -0,173$ $\beta_{81}: -0,891$ $\beta_{85}: -0,164$ $\beta_{89}: -0,772$ $\beta_{91}: -0,611$ $\beta_{95}: -0,274$ $\beta_{99}: -0,429$  $B_1: 0,254$ $B_5: -0,107$ $B_9: 0,527$  $\alpha_{11}: 0,965$ $\alpha_{15}: 0,991$ $\alpha_{19}: 1,046$	$\beta_{12}: 0,613$ $\beta_{16}: 0,100$ $\beta_{10}: -0,458$ $\beta_{22}: 1,149$ $\beta_{26}: -0,128$ $\beta_{20}: 0,553$ $\beta_{32}: -1,361$ $\beta_{36}: 0,858$ $\beta_{30}: 0,870$ $\beta_{42}: 1,308$ $\beta_{46}: 1,320$ $\beta_{40}: -1,274$ $\beta_{52}: -0,029$ $\beta_{56}: 0,466$ $\beta_{50}: -0,567$ $\beta_{62}: -0,540$ $\beta_{66}: 1,105$ $\beta_{60}: 0,658$ $\beta_{72}: 1,615$ $\beta_{76}: -1,290$ $\beta_{70}: -0,094$ $\beta_{82}: -0,154$ $\beta_{86}: 0,747$ $\beta_{80}: 0,330$ $\beta_{92}: 2,717$ $\beta_{96}: -0,523$ $\beta_{90}: -0,398$  $B_3: 2,053$ $B_6: 0,770$ $B_7: -1,092$  $\alpha_{12}: 0,646$ $\alpha_{16}: 1,133$ $\alpha_{21}: 1,153$  $B_4: -1,509$ $B_8: -0,402$  $\alpha_{13}: 1,207$ $\alpha_{17}: 1,161$ $\alpha_{21}: 0,940$ $\alpha_{18}: 1,316$ $\alpha_{19}: 0,940$	$\beta_{13}: 0,692$ $\beta_{17}: 0,849$ $\beta_{11}: -0,381$ $\beta_{23}: -0,054$ $\beta_{27}: -0,488$ $\beta_{21}: -1,384$ $\beta_{33}: -0,533$ $\beta_{37}: 1,048$ $\beta_{31}: -2,110$ $\beta_{43}: -0,573$ $\beta_{47}: 1,404$ $\beta_{41}: -0,904$ $\beta_{53}: -0,609$ $\beta_{57}: 0,709$ $\beta_{51}: 0,789$ $\beta_{63}: 0,255$ $\beta_{67}: -0,082$ $\beta_{61}: -0,838$ $\beta_{73}: -0,817$ $\beta_{77}: -0,055$ $\beta_{71}: 1,004$ $\beta_{83}: 0,535$ $\beta_{87}: -0,298$ $\beta_{81}: 0,256$ $\beta_{93}: -0,587$ $\beta_{97}: -0,752$ $\beta_{91}: -0,084$  $B_2: -0,133$ $B_5: 0,027$ $B_8: -0,074$  $B_3: 0,074$ $B_6: 0,614$ $B_9: 0,607$  $\alpha_{14}: 0,940$ $\alpha_{18}: 1,316$ $\alpha_{19}: 0,940$	$\beta_{14}: -0,095$ $\beta_{18}: -0,144$ $\beta_{12}: 0,068$ $\beta_{24}: 0,282$ $\beta_{28}: 0,154$ $\beta_{22}: -0,308$ $\beta_{34}: 0,044$ $\beta_{38}: 2,094$ $\beta_{32}: 1,025$ $\beta_{44}: -0,131$ $\beta_{48}: 0,473$ $\beta_{42}: 0,427$ $\beta_{54}: 0,750$ $\beta_{58}: 0,356$ $\beta_{52}: 0,788$ $\beta_{64}: 0,470$ $\beta_{68}: 0,337$ $\beta_{62}: 0,582$ $\beta_{74}: 0,292$ $\beta_{78}: 0,756$ $\beta_{72}: -0,123$ $\beta_{84}: 0,211$ $\beta_{88}: -0,939$ $\beta_{82}: -0,153$ $\beta_{94}: 0,157$ $\beta_{98}: -0,979$ $\beta_{92}: -0,629$  $B_5: -0,107$  $\alpha_{15}: 1,133$ $\alpha_{19}: 1,046$	
Krian-Gresik 22.30	$\beta_{11}: -0,228$ $\beta_{21}: -0,535$ $\beta_{31}: 0,613$ $\beta_{41}: 1,015$ $\beta_{51}: 0,655$ $\beta_{61}: 0,961$ $\beta_{71}: -0,108$ $\beta_{81}: 0,164$ $\beta_{91}: -1,360$  $B_1: -1,239$ $B_4: 0,954$ $B_7: -0,954$  $\alpha_{11}: 0,728$ $\alpha_{14}: 0,487$ $\alpha_{17}: 0,790$ $\alpha_{21}: 0,782$	$\beta_{12}: 0,896$ $\beta_{22}: 0,104$ $\beta_{32}: -0,773$ $\beta_{42}: 0,040$ $\beta_{52}: 0,933$ $\beta_{62}: 0,630$ $\beta_{72}: 0,313$ $\beta_{82}: -0,729$ $\beta_{92}: 0,834$  $B_2: -0,133$ $B_5: 0,027$ $B_8: -0,074$  $B_3: 0,074$ $B_6: 0,614$ $B_9: 0,607$  $\alpha_{12}: 0,425$ $\alpha_{15}: 0,896$ $\alpha_{18}: 0,851$ $\alpha_{19}: 1,101$	$\beta_{13}: 0,869$ $\beta_{23}: 0,735$ $\beta_{33}: -0,524$ $\beta_{43}: 0,954$ $\beta_{53}: 0,310$ $\beta_{63}: 0,905$ $\beta_{73}: 1,092$ $\beta_{83}: -0,841$ $\beta_{93}: 0,461$  $B_4: 0,027$  $\alpha_{13}: 0,608$ $\alpha_{16}: 0,599$ $\alpha_{19}: 1,101$		

## Lampiran 69: Lanjutan

Model	Nilai Bobot		
Ngimbang 19.30	$\beta_{11}: 0,258$	$\beta_{12}: 0,439$	$\beta_{13}: 0,246$
	$\beta_{21}: -1,332$	$\beta_{22}: -0,726$	$\beta_{23}: 1,487$
	$\beta_{31}: 1,598$	$\beta_{32}: -1,510$	$\beta_{33}: -0,435$
	$\beta_{41}: 0,396$	$\beta_{42}: 0,446$	$\beta_{43}: 0,634$
	$\beta_{51}: 0,266$	$\beta_{52}: 1,012$	$\beta_{53}: -1,349$
	$\beta_{61}: 0,530$	$\beta_{62}: 0,599$	$\beta_{63}: 0,957$
	$\beta_{71}: 0,507$	$\beta_{72}: 0,444$	$\beta_{73}: 0,586$
	$\beta_{81}: 0,789$	$\beta_{82}: -1,474$	$\beta_{83}: -0,770$
	$\beta_{91}: -0,779$	$\beta_{92}: 0,780$	$\beta_{93}: 0,408$
	$\beta_{101}: -1,197$	$\beta_{102}: -1,096$	$\beta_{103}: -1,047$
Ngimbang 22.30	$B_1: -0,250$	$B_2: 0,471$	$B_3: -0,533$
	$B_4: -0,516$	$B_5: 0,872$	$B_6: 0,259$
	$B_7: -0,521$	$B_8: 0,422$	$B_9: -0,198$
	$B_{10}: -0,540$		
	$\alpha_{11}: 0,133$	$\alpha_{12}: 0,040$	$\alpha_{13}: 1,193$
	$\alpha_{14}: 0,147$	$\alpha_{15}: 0,954$	$\alpha_{16}: 1,290$
	$\alpha_{17}: 0,135$	$\alpha_{18}: 0,700$	$\alpha_{19}: -0,242$
	$\alpha_{110}: 1,782$	$\alpha_{21}: 1,127$	
Paiton 18.30	Nilai Bobot		
	$\beta_{11}: 0,166$	$\beta_{12}: 0,263$	$\beta_{13}: 0,113$
	$\beta_{21}: -0,415$	$\beta_{22}: -0,738$	$\beta_{23}: 0,960$
	$\beta_{31}: 0,816$	$\beta_{32}: -0,379$	$\beta_{33}: -0,779$
	$\beta_{41}: 0,161$	$\beta_{42}: -0,095$	$\beta_{43}: 0,645$
	$\beta_{51}: 0,555$	$\beta_{52}: 1,015$	$\beta_{53}: 0,445$
	$\beta_{61}: 0,577$	$\beta_{62}: 0,668$	$\beta_{63}: 1,019$
	$\beta_{71}: 0,209$	$\beta_{72}: -0,114$	$\beta_{73}: 0,461$
	$\beta_{81}: -0,143$	$\beta_{82}: -1,172$	$\beta_{83}: -0,794$
	$\beta_{91}: -1,342$	$\beta_{92}: 1,288$	$\beta_{93}: 1,054$
	$\beta_{101}: -1,312$	$\beta_{102}: -0,049$	$\beta_{103}: -0,979$
	$B_1: -0,168$	$B_2: 0,297$	$B_3: -0,180$
	$B_4: -0,218$	$B_5: 0,580$	$B_6: 0,444$
	$B_7: -0,153$	$B_8: 0,241$	$B_9: -1,058$
	$B_{10}: -0,534$		
	$\alpha_{11}: 0,198$	$\alpha_{12}: 0,580$	$\alpha_{13}: 0,029$
	$\alpha_{14}: 0,241$	$\alpha_{15}: 1,193$	$\alpha_{16}: 1,031$
	$\alpha_{17}: 0,134$	$\alpha_{18}: 0,748$	$\alpha_{19}: 1,283$
	$\alpha_{110}: 1,925$	$\alpha_{21}: 0,997$	

### Lampiran 69: Lanjutan

Model	Nilai Bobot		
Kediri 18.30	$\beta_{11}$ : 0,185	$\beta_{12}$ : 0,359	$\beta_{13}$ : 0,317
	$\beta_{21}$ : -0,999	$\beta_{22}$ : -0,631	$\beta_{23}$ : 1,737
	$\beta_{31}$ : 0,488	$\beta_{32}$ : -0,340	$\beta_{33}$ : 0,126
	$\beta_{41}$ : 0,462	$\beta_{42}$ : -0,159	$\beta_{43}$ : 1,062
	$\beta_{51}$ : 0,802	$\beta_{52}$ : 1,574	$\beta_{53}$ : -0,053
	$\beta_{61}$ : 0,503	$\beta_{62}$ : 0,744	$\beta_{63}$ : 0,806
	$\beta_{71}$ : 0,415	$\beta_{72}$ : -0,129	$\beta_{73}$ : 0,919
	$\beta_{81}$ : 0,182	$\beta_{82}$ : -1,072	$\beta_{83}$ : -0,397
	$\beta_{91}$ : -0,894	$\beta_{92}$ : 0,591	$\beta_{93}$ : -0,080
	$\beta_{101}$ : -0,775	$\beta_{102}$ : 0,074	$\beta_{103}$ : -0,635
Kediri 05.30	$B_1$ : -0,214	$B_2$ : 0,738	$B_3$ : -0,366
	$B_4$ : -0,739	$B_5$ : 0,907	$B_6$ : 0,200
	$B_7$ : -0,601	$B_8$ : 0,120	$B_9$ : -0,479
	$B_{10}$ : -0,087		
	$\alpha_{11}$ : 0,473	$\alpha_{12}$ : 1,094	$\alpha_{13}$ : 0,777
	$\alpha_{14}$ : 0,570	$\alpha_{15}$ : 0,398	$\alpha_{16}$ : 0,893
	$\alpha_{17}$ : 0,516	$\alpha_{18}$ : 0,809	$\alpha_{19}$ : 0,844
	$\alpha_{10}$ : 0,743	$\alpha_{21}$ : 0,692	
Model	Nilai Bobot		
Kediri 05.30	$\beta_{11}$ : 0,413	$\beta_{12}$ : 0,577	$\beta_{13}$ : 0,483
	$\beta_{21}$ : -0,584	$\beta_{22}$ : -0,415	$\beta_{23}$ : 0,937
	$\beta_{31}$ : 1,173	$\beta_{32}$ : -0,403	$\beta_{33}$ : -0,118
	$\beta_{41}$ : 0,355	$\beta_{42}$ : 0,100	$\beta_{43}$ : 0,784
	$\beta_{51}$ : 0,512	$\beta_{52}$ : 1,038	$\beta_{53}$ : -0,349
	$\beta_{61}$ : 0,631	$\beta_{62}$ : 0,745	$\beta_{63}$ : 0,943
	$\beta_{71}$ : 0,433	$\beta_{72}$ : 0,078	$\beta_{73}$ : 0,741
	$\beta_{81}$ : 0,218	$\beta_{82}$ : -0,828	$\beta_{83}$ : -0,887
	$\beta_{91}$ : -0,514	$\beta_{92}$ : 0,718	$\beta_{93}$ : 0,520
	$\beta_{101}$ : -0,932	$\beta_{102}$ : -0,200	$\beta_{103}$ : -0,143
	$B_1$ : -0,038	$B_2$ : 0,446	$B_3$ : -0,629
	$B_4$ : -0,519	$B_5$ : 1,007	$B_6$ : 0,516
	$B_7$ : -0,436	$B_8$ : 0,260	$B_9$ : -0,643
	$B_{10}$ : -0,110		
	$\alpha_{11}$ : 0,918	$\alpha_{12}$ : 0,876	$\alpha_{13}$ : 0,763
	$\alpha_{14}$ : 0,747	$\alpha_{15}$ : 0,595	$\alpha_{16}$ : 1,087
	$\alpha_{17}$ : 0,762	$\alpha_{18}$ : 0,983	$\alpha_{19}$ : 0,925
	$\alpha_{10}$ : 0,952	$\alpha_{21}$ : 1,033	

**Lampiran 70:** Persamaan pada metode hibrida ARIMA & MLP untuk setiap subsistem

### 1. Subsistem Krian 11:00

$$\widehat{Z}_t = 1,575 + 1,087f^{(h_{1,t})} + 0,515f^{(h_{2,t})} + 0,913f^{(h_{3,t})} + 0,764f^{(h_{4,t})}$$

Dengan,

$$f^{(h_{1,t})} = \frac{2}{1 + e^{-(h_{1,t})}} - 1; f^{(h_{2,t})} = \frac{2}{1 + e^{-(h_{2,t})}} - 1; \dots; f^{(h_{4,t})} = \frac{2}{1 + e^{-(h_{4,t})}} - 1$$

$$h_{1,t} = 0,911 + 1,076Y_{t-1} + 0,373Y_{t-2} + 0,555Y_{t-3} + 0,116Y_{t-7} - 0,970Y_{t-8} \\ - 0,228Y_{t-9} + 0,621Y_{t-10} + 0,058Y_{t-14} + 0,998Y_{t-21} - 0,269Y_{t-22} \\ - 0,856Y_{t-28} - 0,726Y_{t-29} + 0,393Y_{t-35} + 0,255Y_{t-36} + 1,015Y_{t-42} \\ - 0,695Y_{t-43}$$

$$h_{2,t} = -0,681 + 0,739Y_{t-1} + 0,886Y_{t-2} + 1,024Y_{t-3} + 0,637Y_{t-7} + 0,321Y_{t-8} \\ + 1,285Y_{t-9} - 0,451Y_{t-10} + 0,132Y_{t-14} - 0,222Y_{t-21} + 0,867Y_{t-22} \\ + 0,287Y_{t-28} - 0,905Y_{t-29} - 0,101Y_{t-35} - 0,425Y_{t-36} - 0,001Y_{t-42} \\ - 1,095Y_{t-43}$$

$$h_{3,t} = 1,340 - 0,149Y_{t-1} - 0,235Y_{t-2} - 0,237Y_{t-3} + 0,138Y_{t-7} + 0,325Y_{t-8} \\ + 0,503Y_{t-9} - 0,679Y_{t-10} - 0,551Y_{t-14} - 0,613Y_{t-21} - 0,422Y_{t-22} \\ - 1,626Y_{t-28} - 0,107Y_{t-29} - 0,002Y_{t-35} - 1,586Y_{t-36} - 0,474Y_{t-42} \\ - 1,441Y_{t-43}$$

$$h_{4,t} = -0,378 + 0,270Y_{t-1} - 0,053Y_{t-2} + 0,201Y_{t-3} + 0,582Y_{t-7} - 0,066Y_{t-8} \\ - 0,046Y_{t-9} + 0,533Y_{t-10} - 0,004Y_{t-14} + 0,422Y_{t-21} - 0,837Y_{t-22} \\ - 1,353Y_{t-28} - 0,075Y_{t-29} + 0,501Y_{t-35} - 0,630Y_{t-36} + 0,975Y_{t-42} \\ - 0,952Y_{t-43}$$

### 2. Subsistem Krian 23.00

$$\widehat{Z}_t = 1,012 + 0,331f^{(h_{1,t})} + 0,391f^{(h_{2,t})} + 0,680f^{(h_{3,t})} + 0,792f^{(h_{4,t})} \\ + 1,174f^{(h_{5,t})} + 0,542f^{(h_{6,t})} + 0,512f^{(h_{7,t})} + 0,919f^{(h_{8,t})} + 1,030f^{(h_{9,t})}$$

Dengan,

$$f^{(h_{1,t})} = \frac{2}{1 + e^{-(h_{1,t})}} - 1; f^{(h_{2,t})} = \frac{2}{1 + e^{-(h_{2,t})}} - 1; \dots; f^{(h_{9,t})} = \frac{2}{1 + e^{-(h_{9,t})}} - 1$$

$$h_{1,t} = 0,974 + 0,839Y_{t-1} - 0,237Y_{t-2} + 1,422Y_{t-8} - 0,431Y_{t-9}$$

$$h_{2,t} = -0,696 + 0,100Y_{t-1} + 1,091Y_{t-2} - 0,355Y_{t-8} + 0,837Y_{t-9}$$

$$h_{3,t} = 0,285 - 0,654Y_{t-1} - 0,404Y_{t-2} + 0,565Y_{t-8} + 0,099Y_{t-9}$$

$$h_{4,t} = -0,769 - 0,678Y_{t-1} + 1,513Y_{t-2} + 0,667Y_{t-8} - 0,408Y_{t-9}$$

$$h_{5,t} = -0,065 + 0,586Y_{t-1} + 0,871Y_{t-2} + 0,937Y_{t-8} - 0,714Y_{t-9}$$

$$h_{6,t} = -0,408 - 0,126Y_{t-1} + 1,013Y_{t-2} + 0,236Y_{t-8} - 0,043Y_{t-9}$$

$$h_{7,t} = 0,333 - 1,381Y_{t-1} - 0,285Y_{t-2} - 0,474Y_{t-8} + 1,078Y_{t-9}$$

$$h_{8,t} = -0,392 + 0,056Y_{t-1} - 1,785Y_{t-2} - 0,213Y_{t-8} - 0,107Y_{t-9}$$

$$h_{9,t} = 0,474 + 0,634Y_{t-1} + 0,761Y_{t-2} - 1,316Y_{t-8} - 0,797Y_{t-9}$$

### 3. Subsistem Krian-Gresik 15.00

$$\widehat{Z}_t = 1,153 + 0,965f^{(h_{1,t})} + 0,646f^{(h_{2,t})} + 1,207f^{(h_{3,t})} + 0,940f^{(h_{4,t})} \\ + 0,991f^{(h_{5,t})} + 1,133f^{(h_{6,t})} + 1,161f^{(h_{7,t})} + 1,316f^{(h_{8,t})} + 1,046f^{(h_{9,t})}$$

Dengan,

$$f^{(h_{1,t})} = \frac{2}{1 + e^{-(h_{1,t})}} - 1; f^{(h_{2,t})} = \frac{2}{1 + e^{-(h_{2,t})}} - 1; \dots; f^{(h_{9,t})} = \frac{2}{1 + e^{-(h_{9,t})}} - 1$$

## Lampiran 70: Lanjutan

$$\begin{aligned}
h_{1,t} &= 0,254 + 0,328Y_{t-1} + 0,613Y_{t-2} + 0,692Y_{t-7} - 0,095Y_{t-8} - 0,700Y_{t-9} \\
&\quad + 0,100Y_{t-14} + 0,849Y_{t-15} - 0,144Y_{t-16} + 0,852Y_{t-21} - 0,458Y_{t-22} \\
&\quad - 0,381Y_{t-28} + 0,068Y_{t-29} \\
h_{2,t} &= -0,696 - 0,260Y_{t-1} + 1,149Y_{t-2} - 0,054Y_{t-7} + 0,282Y_{t-8} + 1,151Y_{t-9} \\
&\quad - 0,128Y_{t-14} - 0,488Y_{t-15} + 0,154Y_{t-16} + 0,745Y_{t-21} + 0,553Y_{t-22} \\
&\quad - 1,384Y_{t-28} - 0,308Y_{t-29} \\
h_{3,t} &= 2,053 + 0,613Y_{t-1} - 1,361Y_{t-2} - 0,533Y_{t-7} + 0,044Y_{t-8} + 0,095Y_{t-9} \\
&\quad + 0,858Y_{t-14} + 1,048Y_{t-15} + 2,094Y_{t-16} - 1,251Y_{t-21} + 0,870Y_{t-22} \\
&\quad - 2,110Y_{t-28} + 1,025Y_{t-29} \\
h_{4,t} &= -1,509 + 1,139Y_{t-1} + 1,308Y_{t-2} - 0,573Y_{t-7} - 0,131Y_{t-8} - 1,120Y_{t-9} \\
&\quad + 1,320Y_{t-14} + 1,404Y_{t-15} + 0,473Y_{t-16} - 0,271Y_{t-21} - 1,274Y_{t-22} \\
&\quad - 0,904Y_{t-28} + 0,427Y_{t-29} \\
h_{5,t} &= -0,107 + 0,243Y_{t-1} \pm 0,029Y_{t-2} - 0,609Y_{t-7} + 0,750Y_{t-8} \\
&\quad + 0,644Y_{t-9} + 0,466Y_{t-14} + 0,709Y_{t-15} + 0,356Y_{t-16} + 0,248Y_{t-21} \\
&\quad - 0,567Y_{t-22} + 0,789Y_{t-28} + 0,788Y_{t-29} \\
h_{6,t} &= 0,770 + 0,806Y_{t-1} - 0,540Y_{t-2} + 0,255Y_{t-7} + 0,470Y_{t-8} - 0,535Y_{t-9} \\
&\quad + 1,105Y_{t-14} - 0,082Y_{t-15} + 0,337Y_{t-16} + 0,423Y_{t-21} + 0,658Y_{t-22} \\
&\quad - 0,838Y_{t-28} + 0,582Y_{t-29} \\
h_{7,t} &= -1,092 + 0,380Y_{t-1} + 1,615Y_{t-2} - 0,817Y_{t-7} + 0,292Y_{t-8} - 0,931Y_{t-9} \\
&\quad - 1,290Y_{t-14} - 0,055Y_{t-15} + 0,756Y_{t-16} - 0,173Y_{t-21} - 0,094Y_{t-22} \\
&\quad + 1,004Y_{t-28} - 0,123Y_{t-29} \\
h_{8,t} &= -0,402 - 0,891Y_{t-1} - 0,154Y_{t-2} + 0,535Y_{t-7} + 0,211Y_{t-8} - 0,164Y_{t-9} \\
&\quad + 0,747Y_{t-14} - 0,298Y_{t-15} - 0,939Y_{t-16} - 0,772Y_{t-21} + 0,330Y_{t-22} \\
&\quad + 0,256Y_{t-28} - 0,153Y_{t-29} \\
h_{9,t} &= 0,527 - 0,611Y_{t-1} + 2,717Y_{t-2} - 0,587Y_{t-7} + 0,157Y_{t-8} - 0,274Y_{t-9} \\
&\quad - 0,523Y_{t-14} - 0,752Y_{t-15} - 0,979Y_{t-16} - 0,429Y_{t-21} - 0,398Y_{t-22} \\
&\quad - 0,084Y_{t-28} - 0,629Y_{t-29}
\end{aligned}$$

### 4. Subsistem Krian-Gresik 22.30

$$\widehat{Z}_t = 0,782 + 0,728f^{(h_{1,t})} + 0,425f^{(h_{2,t})} + 0,608f^{(h_{3,t})} + 0,487f^{(h_{4,t})} \\
+ 0,896f^{(h_{5,t})} + 0,599f^{(h_{6,t})} + 0,790f^{(h_{7,t})} + 0,851f^{(h_{8,t})} + 1,101f^{(h_{9,t})}$$

Dengan,

$$\begin{aligned}
f^{(h_{1,t})} &= \frac{2}{1 + e^{-(h_{1,t})}} - 1; f^{(h_{2,t})} = \frac{2}{1 + e^{-(h_{2,t})}} - 1; \dots; f^{(h_{9,t})} = \frac{2}{1 + e^{-(h_{9,t})}} - 1 \\
h_{1,t} &= -1,239 - 0,228Y_{t-1} + 0,896Y_{t-7} + 0,869Y_{t-8} \\
h_{2,t} &= -0,133 - 0,535Y_{t-1} + 0,104Y_{t-7} + 0,735Y_{t-8} \\
h_{3,t} &= 0,074 + 0,613Y_{t-1} - 0,773Y_{t-7} - 0,524Y_{t-8} \\
h_{4,t} &= 0,954 + 1,015Y_{t-1} + 0,040Y_{t-7} + 0,954Y_{t-8} \\
h_{5,t} &= 0,027 + 0,655Y_{t-1} + 0,933Y_{t-7} + 0,310Y_{t-8} \\
h_{6,t} &= 0,614 + 0,961Y_{t-1} + 0,630Y_{t-7} + 0,905Y_{t-8} \\
h_{7,t} &= -0,954 - 0,108Y_{t-1} + 0,313Y_{t-7} + 1,092Y_{t-8} \\
h_{8,t} &= -0,074 + 0,164Y_{t-1} - 0,729Y_{t-7} - 0,841Y_{t-8} \\
h_{9,t} &= 0,607 - 1,360Y_{t-1} + 0,834Y_{t-7} + 0,461Y_{t-8}
\end{aligned}$$

## Lampiran 70: Lanjutan

### 5. Subsistem Ngimbang 19.30

$$\widehat{Z}_t = 1,127 + 0,133f^{(h_{1,t})} + 0,040f^{(h_{2,t})} + 1,193f^{(h_{3,t})} + 0,147f^{(h_{4,t})} + \\ 0,954f^{(h_{5,t})} + 1,290f^{(h_{6,t})} + 0,135f^{(h_{7,t})} + 0,700f^{(h_{8,t})} - \\ 0,242f^{(h_{9,t})} + 1,782f^{(h_{10,t})}$$

Dengan,

$$f^{(h_{1,t})} = \frac{2}{1 + e^{-(h_{1,t})}} - 1; f^{(h_{2,t})} = \frac{2}{1 + e^{-(h_{2,t})}} - 1; \dots; f^{(h_{10,t})} = \frac{2}{1 + e^{-(h_{10,t})}} - 1$$

$$h_{1,t} = -0,250 + 0,258Y_{t-1} + 0,439Y_{t-7} + 0,246Y_{t-8}$$

$$h_{2,t} = 0,471 - 1,332Y_{t-1} - 0,726Y_{t-7} + 1,487Y_{t-8}$$

$$h_{3,t} = -0,533 + 1,598Y_{t-1} - 1,510Y_{t-7} + -0,435Y_{t-8}$$

$$h_{4,t} = -0,516 + 0,396Y_{t-1} + 0,446Y_{t-7} + 0,634Y_{t-8}$$

$$h_{5,t} = 0,872 + 0,266Y_{t-1} + 1,012Y_{t-7} - 1,349Y_{t-8}$$

$$h_{6,t} = 0,259 + 0,530Y_{t-1} + 0,599Y_{t-7} + 0,957Y_{t-8}$$

$$h_{7,t} = -0,521 + 0,507Y_{t-1} + 0,444Y_{t-7} + 0,586Y_{t-8}$$

$$h_{8,t} = 0,422 + 0,789Y_{t-1} - 1,474Y_{t-7} - 0,770Y_{t-8}$$

$$h_{9,t} = -0,198 - 0,779Y_{t-1} + 0,780Y_{t-7} + 0,408Y_{t-8}$$

$$h_{10,t} = -0,540 - 1,197Y_{t-1} - 1,096Y_{t-7} - 1,047Y_{t-8}$$

### 6. Subsistem Ngimbang 22.30

$$\widehat{Z}_t = 0,997 + 0,198f^{(h_{1,t})} + 0,580f^{(h_{2,t})} + 0,029f^{(h_{3,t})} + 0,241f^{(h_{4,t})} + \\ 1,193f^{(h_{5,t})} + 1,031f^{(h_{6,t})} + 0,134f^{(h_{7,t})} + 0,748f^{(h_{8,t})} + \\ 1,283f^{(h_{9,t})} + 1,925f^{(h_{10,t})}$$

Dengan,

$$f^{(h_{1,t})} = \frac{2}{1 + e^{-(h_{1,t})}} - 1; f^{(h_{2,t})} = \frac{2}{1 + e^{-(h_{2,t})}} - 1; \dots; f^{(h_{10,t})} = \frac{2}{1 + e^{-(h_{10,t})}} - 1$$

$$h_{1,t} = -0,168 + 0,166Y_{t-1} + 0,263Y_{t-7} + 0,113Y_{t-8}$$

$$h_{2,t} = 0,297 - 0,415Y_{t-1} - 0,738Y_{t-7} + 0,960Y_{t-8}$$

$$h_{3,t} = -0,180 + 0,816Y_{t-1} - 0,379Y_{t-7} - 0,779Y_{t-8}$$

$$h_{4,t} = -0,218 + 0,161Y_{t-1} - 0,095Y_{t-7} + 0,645Y_{t-8}$$

$$h_{5,t} = 0,580 + 0,555Y_{t-1} + 1,015Y_{t-7} + 0,445Y_{t-8}$$

$$h_{6,t} = 0,444 + 0,577Y_{t-1} + 0,668Y_{t-7} + 1,019Y_{t-8}$$

$$h_{7,t} = -0,153 + 0,209Y_{t-1} - 0,114Y_{t-7} + 0,461Y_{t-8}$$

$$h_{8,t} = 0,241 - 0,143Y_{t-1} - 1,172Y_{t-7} - 0,794Y_{t-8}$$

$$h_{9,t} = -1,058 - 1,342Y_{t-1} + 1,288Y_{t-7} + 1,054Y_{t-8}$$

$$h_{10,t} = -0,534 - 1,312Y_{t-1} - 0,049Y_{t-7} - 0,979Y_{t-8}$$

### 7. Subsistem Paiton 18.30

$$\widehat{Z}_t = 1,316 + 0,694f^{(h_{1,t})}$$

Dengan,

$$f^{(h_{1,t})} = \frac{2}{1 + e^{-(h_{1,t})}} - 1;$$

$$h_{1,t} = -0,699 + 0,066Y_{t-1} + 2,069Y_{t-7} + 0,233Y_{t-8}$$

### 8. Subsistem Paiton 22.30

$$\widehat{Z}_t = 0,700 + 0,454f^{(h_{1,t})} + 0,863f^{(h_{2,t})} - 0,084f^{(h_{3,t})} - 0,069f^{(h_{4,t})} + 0,741f^{(h_{5,t})}$$

## Lampiran 70: Lanjutan

Dengan,

$$f^{(h_1,t)} = \frac{2}{1 + e^{-(h_{1,t})}} - 1; f^{(h_2,t)} = \frac{2}{1 + e^{-(h_{2,t})}} - 1; \dots; f^{(h_5,t)} = \frac{2}{1 + e^{-(h_{5,t})}} - 1$$

$$h_{1,t} = 0,567 + 0,523Y_{t-1} + 0,295Y_{t-7} + 0,227Y_{t-8}$$

$$h_{2,t} = 0,657 - 0,017Y_{t-1} - 0,672Y_{t-7} + 1,186Y_{t-8}$$

$$h_{3,t} = 0,408 + 0,700Y_{t-1} - 0,317Y_{t-7} + 0,177Y_{t-8}$$

$$h_{4,t} = -1,598 + 1,679Y_{t-1} - 0,043Y_{t-7} + 1,704Y_{t-8}$$

$$h_{5,t} = 0,311 + 0,698Y_{t-1} + 0,840Y_{t-7} + 0,230Y_{t-8}$$

### 9. Subsistem Kediri 18.30

$$\widehat{Z}_t = 0,692 + 0,473f^{(h_1,t)} + 1,094f^{(h_2,t)} + 0,777f^{(h_3,t)} + 0,570f^{(h_4,t)} +$$

$$0,398f^{(h_5,t)} + 0,893f^{(h_6,t)} + 0,516f^{(h_7,t)} + 0,809f^{(h_8,t)} +$$

$$0,844f^{(h_9,t)} + 0,743f^{(h_{10,t})}$$

Dengan,

$$f^{(h_1,t)} = \frac{2}{1 + e^{-(h_{1,t})}} - 1; f^{(h_2,t)} = \frac{2}{1 + e^{-(h_{2,t})}} - 1; \dots; f^{(h_{10,t})} = \frac{2}{1 + e^{-(h_{10,t})}} - 1$$

$$h_{1,t} = -0,214 + 0,185Y_{t-1} + 0,359Y_{t-7} + 0,317Y_{t-8}$$

$$h_{2,t} = 0,738 - 0,999Y_{t-1} - 0,631Y_{t-7} + 1,737Y_{t-8}$$

$$h_{3,t} = -0,366 + 0,488Y_{t-1} - 0,340Y_{t-7} + 0,126Y_{t-8}$$

$$h_{4,t} = -0,739 + 0,462Y_{t-1} - 0,159Y_{t-7} + 1,062Y_{t-8}$$

$$h_{5,t} = 0,907 + 0,802Y_{t-1} + 1,574Y_{t-7} - 0,053Y_{t-8}$$

$$h_{6,t} = 0,200 + 0,503Y_{t-1} + 0,744Y_{t-7} + 0,806Y_{t-8}$$

$$h_{7,t} = -0,601 + 0,415Y_{t-1} - 0,129Y_{t-7} + 0,919Y_{t-8}$$

$$h_{8,t} = 0,120 + 0,182Y_{t-1} - 1,072Y_{t-7} - 0,397Y_{t-8}$$

$$h_{9,t} = -0,479 - 0,894Y_{t-1} + 0,591Y_{t-7} - 0,080Y_{t-8}$$

$$h_{10,t} = -0,087 - 0,775Y_{t-1} + 0,074Y_{t-7} - 0,635Y_{t-8}$$

### 10. Subsistem Kediri 05.30

$$\widehat{Z}_t = 1,033 + 0,918f^{(h_1,t)} + 0,876f^{(h_2,t)} + 0,763f^{(h_3,t)} + 0,747f^{(h_4,t)} +$$

$$0,595f^{(h_5,t)} + 1,087f^{(h_6,t)} + 0,762f^{(h_7,t)} + 0,983f^{(h_8,t)} +$$

$$0,925f^{(h_9,t)} + 0,952f^{(h_{10,t})}$$

Dengan,

$$f^{(h_1,t)} = \frac{2}{1 + e^{-(h_{1,t})}} - 1; f^{(h_2,t)} = \frac{2}{1 + e^{-(h_{2,t})}} - 1; \dots; f^{(h_{10,t})} = \frac{2}{1 + e^{-(h_{10,t})}} - 1$$

$$h_{1,t} = -0,038 + 0,413Y_{t-1} + 0,577Y_{t-7} + 0,483Y_{t-8}$$

$$h_{2,t} = 0,446 - 0,584Y_{t-1} + -0,415Y_{t-7} + 0,937Y_{t-8}$$

$$h_{3,t} = -0,629 + 1,173Y_{t-1} - 0,403Y_{t-7} - 0,118Y_{t-8}$$

$$h_{4,t} = -0,519 + 0,355Y_{t-1} + 0,100Y_{t-7} + 0,784Y_{t-8}$$

$$h_{5,t} = 1,007 + 0,512Y_{t-1} + 1,038Y_{t-7} - 0,349Y_{t-8}$$

$$h_{6,t} = 0,516 + 0,631Y_{t-1} + 0,745Y_{t-7} + 0,943Y_{t-8}$$

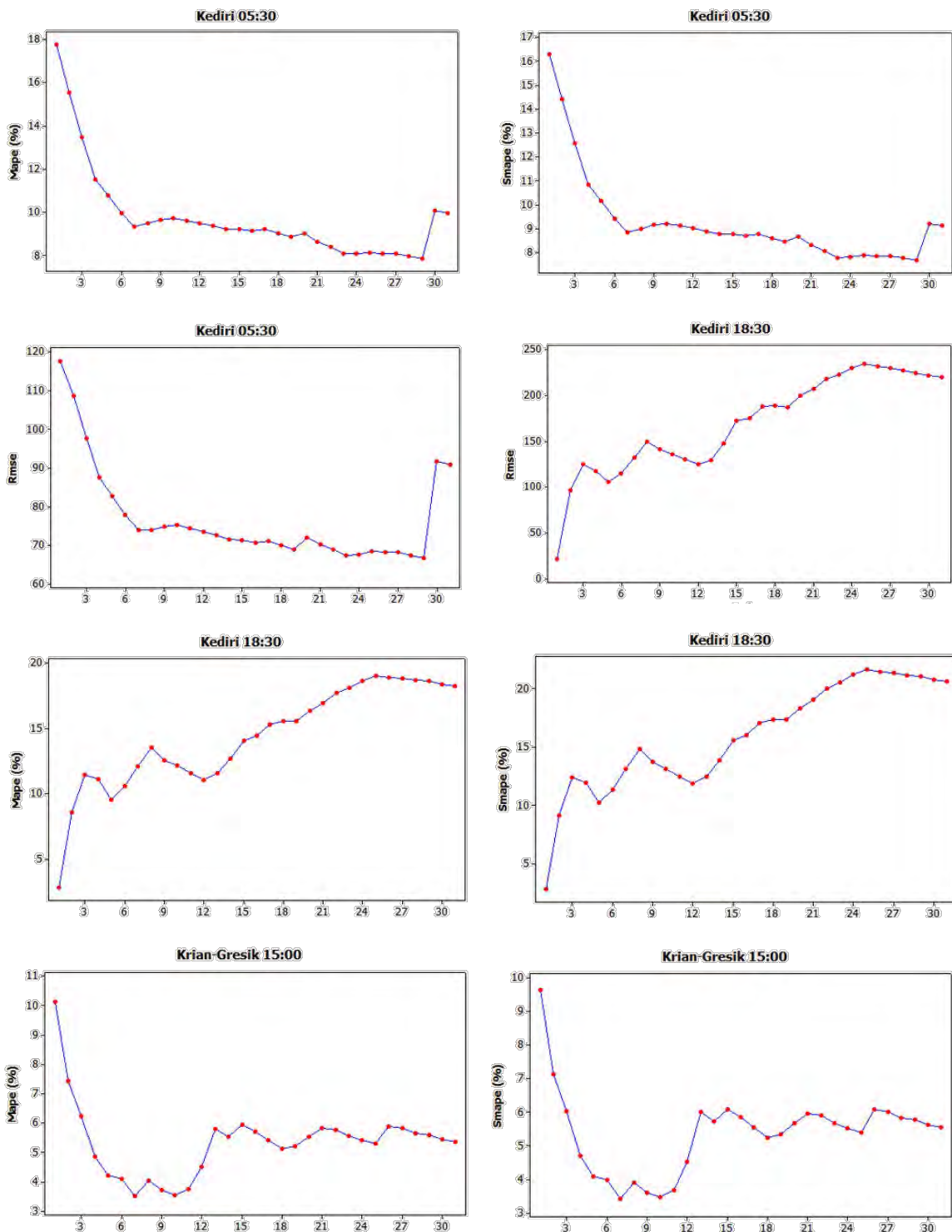
$$h_{7,t} = -0,436 + 0,433Y_{t-1} + 0,078Y_{t-7} + 0,741Y_{t-8}$$

$$h_{8,t} = 0,260 + 0,218Y_{t-1} - 0,828Y_{t-7} - 0,887Y_{t-8}$$

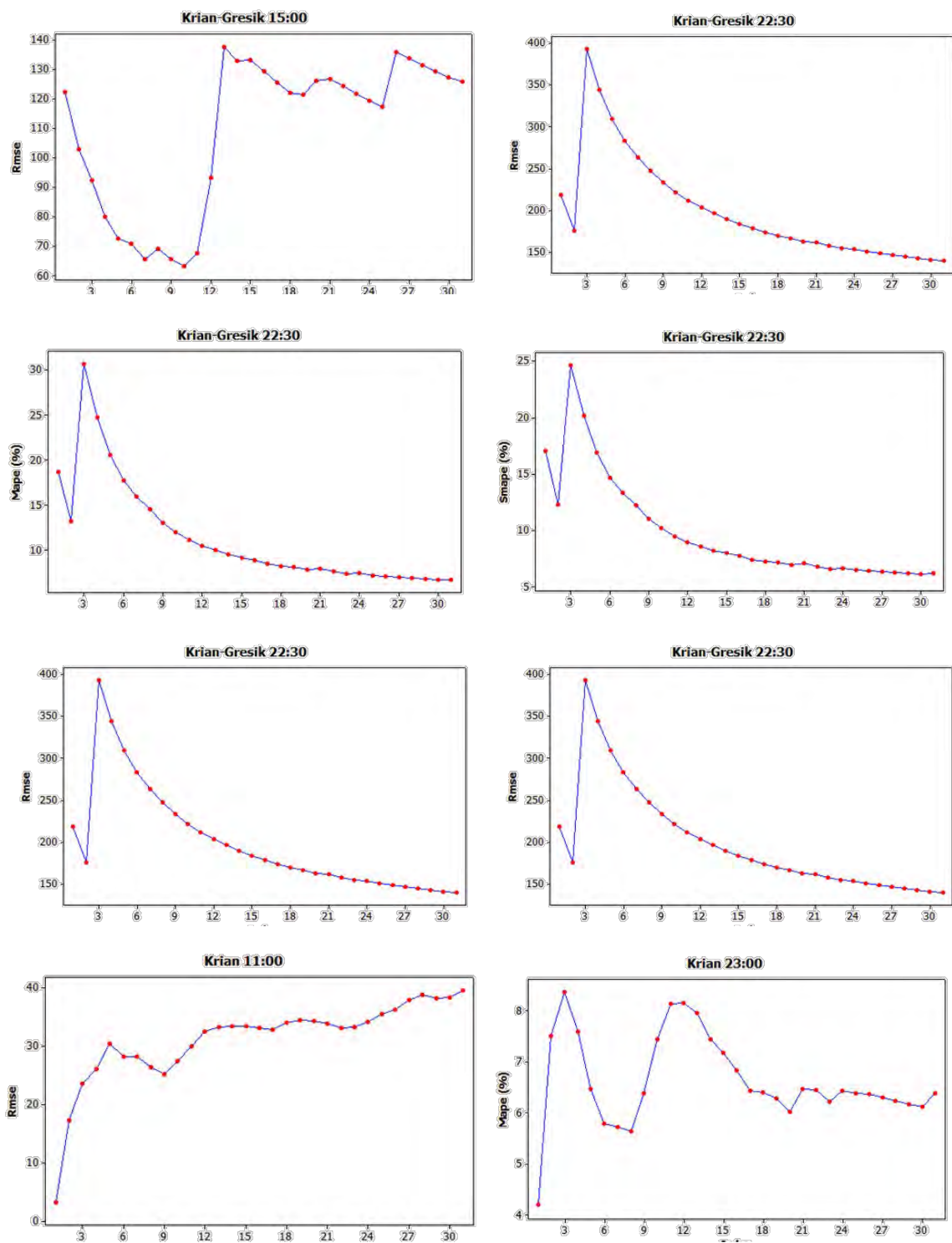
$$h_{9,t} = -0,643 - 0,514Y_{t-1} + 0,718Y_{t-7} + 0,520Y_{t-8}$$

$$h_{10,t} = -0,110 - 0,932Y_{t-1} - 0,200Y_{t-7} - 0,143Y_{t-8}$$

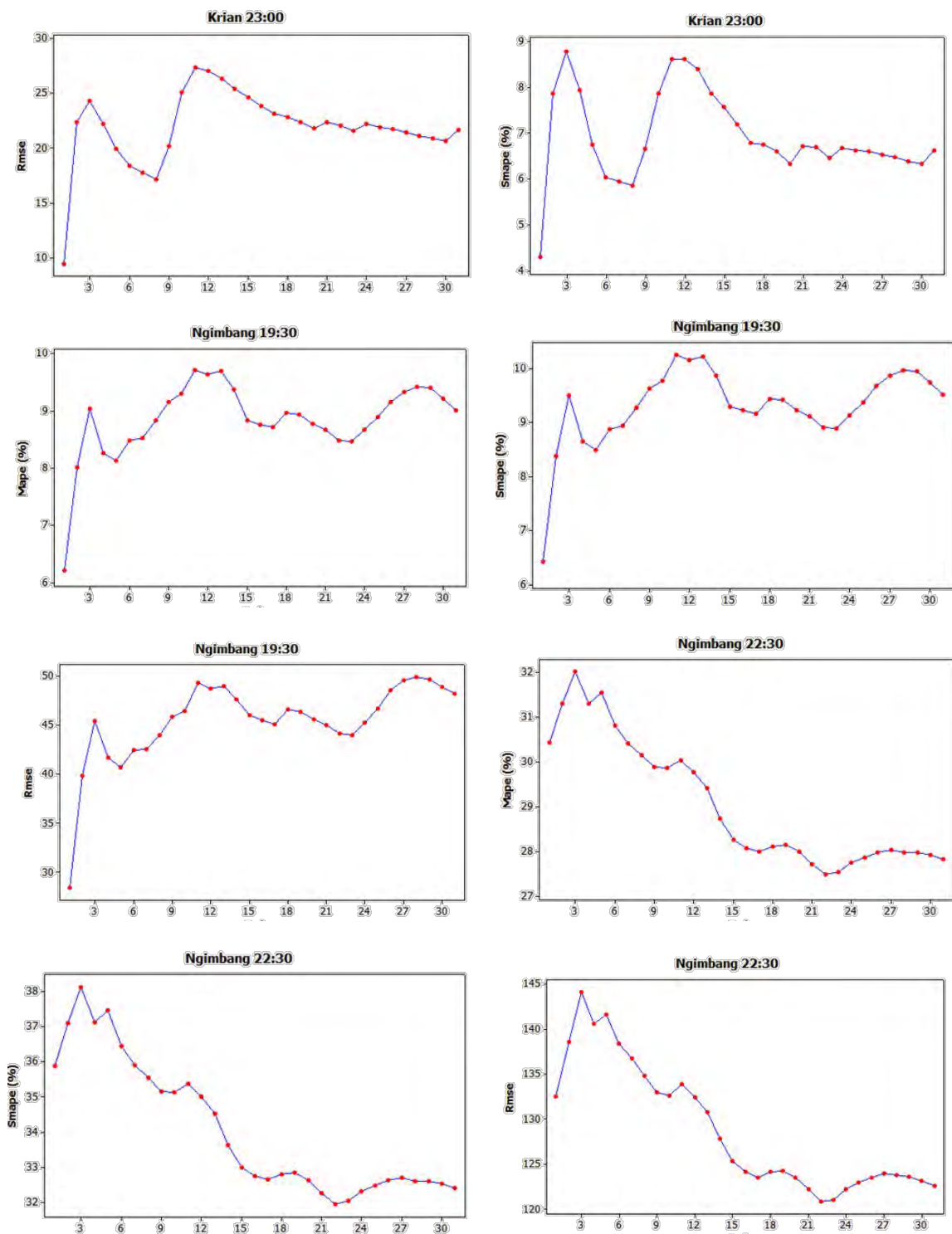
**Lampiran 71:** Grafik nilai MAPE, SMAPE, dan RMSE disetiap subsistem dengan metode Hibrida ARIMA & MLP



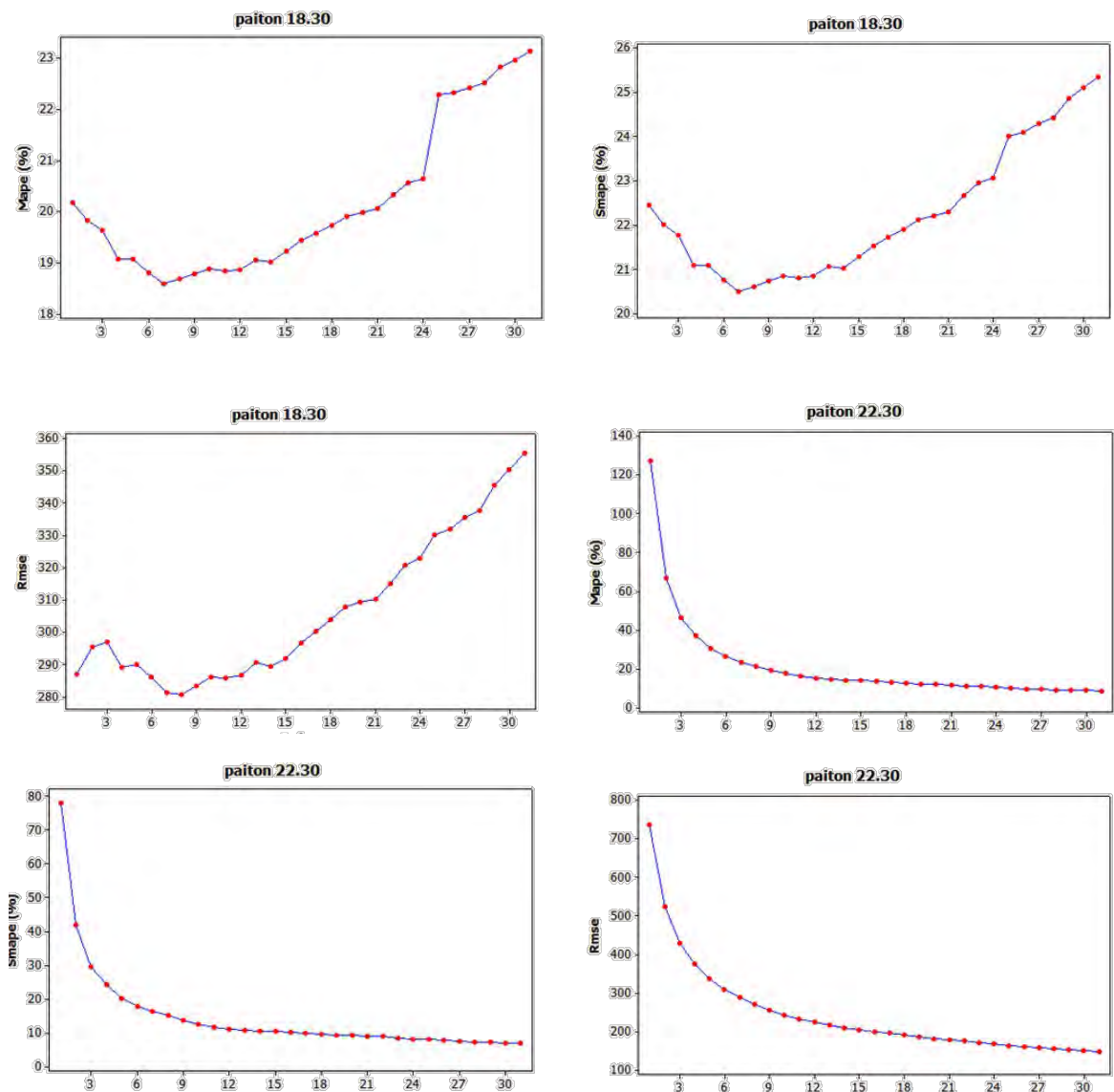
## Lampiran 71: Lanjutan



## Lampiran 71: Lanjutan



## Lampiran 71: Lanjutan



*(Halaman ini sengaja dikosongkan)*

## **BAB V**

### **KESIMPULAN DAN SARAN**

#### **5.1 Kesimpulan**

Berdasarkan analisis dan pembahasan yang telah dilakukan, maka kesimpulan yang diambil dari penelitian ini adalah sebagai berikut.

1. Berikut adalah uraian prosedur dalam melakukan peramalan konsumsi listrik pada masing-masing metode yang digunakan:
  - a. Prosedur yang dilalui dalam melakukan pemodelan ARIMA yaitu dilakukan pengecekan data apakah sudah stasioner dalam *mean* dan varians, identifikasi ACF dan PACF, pendugaan model awal, dilakukan uji parameter signifikan, uji residual *white noise*, uji residual berdistribusi normal, hingga akhirnya proses penentuan model terbaik berdasarkan nilai *error* MAPE, SMAPE, dan RMSE terkecil.
  - b. Prosedur yang dilalui dalam melakukan pemodelan MLP yaitu penentuan *input* berdasarkan lag AR yang signifikan pada proses ARIMA, kemudian dilakukan percobaan dengan menggunakan jumlah neuron di lapisan tersembunyi antara 1 hingga 10 neuron, model terbaik yang dihasilkan dari metode MLP adalah model dengan nilai *error* MAPE, SMAPE, dan RMSE terkecil.
  - c. Sedangkan prosedur dalam pemodelan hibrida ARIMA & MLP yaitu mula-mula dilakukan pemodelan ARIMA, kemudian residual yang didapatkan dari pemodelan ARIMA tersebut dilakukan peramalan dengan menggunakan metode MLP, penentuan *input* dalam proses ini berdasarkan lag AR yang signifikan dengan menggunakan 1 hingga 10 neuron dilapisan tersembunyi, kemudian hasil dari peramalan residual tersebut dijumlahkan dengan hasil ramalan dari pemodelan ARIMA. Penentuan model terbaik berdasarkan nilai *error* MAPE, SMAPE, dan RMSE terkecil
2. Berikut adalah uraian hasil ramalan konsumsi listrik pada masing-masing metode yang digunakan:
  - a. Hasil model terbaik dari metode ARIMA untuk setiap subsistem yaitu Krian pukul 11.00 diperoleh model terbaik  $([1,2,14,28],1,0)(1,1,0)^7$ , Krian pukul 15.00 model terbaik adalah  $(0,1,1)(0,1,1)^7$ , Krian pukul 23.00 model terbaik adalah  $(1,1,[2])(0,1,1)^7$ , sedangkan untuk subsistem Krian-Gresik pukul 14.00 model terbaik adalah  $(0,1,[1,6,12])(0,1,1)^7$ , Krian-Gresik

pukul 15.00 model terbaik adalah  $([1,14],1,[2])(1,1,0)^7$ , Krian-Gresik pukul 22.30 model terbaik adalah  $(0,1,[1,3])(0,1,1)^7$ , dan untuk subsistem Ngimbang pukul 13.30 model terbaik adalah  $(0,1,[1,2])(0,1,1)^7$ , Ngimbang pukul 19.30 model terbaik adalah  $(0,1,1)(0,1,1)^7$ , Ngimbang pukul 22.30 model terbaik adalah  $(0,1,1)(0,1,1)^7$ , Paiton pukul 13.30 model terbaik adalah  $(0,1,1)(0,1,1)^7$ , Paiton pukul 18.30 model terbaik adalah  $(0,1,[1,2,3])(0,1,1)^7$ , Paiton pukul 22.30 model terbaik adalah  $(0,1,[1,18])(0,1,1)^7$ , Kediri pukul 13.30 model terbaik adalah  $(0,1,[1,18])(0,1,1)^7$ , Kediri pukul 18.30 model terbaik adalah  $(0,1,1)(0,1,1)^7$ , dan Kediri pukul 05.30 model terbaik adalah  $(0,1,[1,2])(0,1,1)^7$ .

- b. Hasil arsitektur model terbaik untuk metode MLP disetiap subsistem yaitu Krian pukul 11.00 mempunyai arsitektur NN(16,9,1), Krian pukul 15.00 berbentuk NN(3,6,1), Krian pukul 23.00 berbentuk NN(4,4,1), sedangkan untuk subsistem Krian-Gresik pukul 14.00 berbentuk NN(3,10,1), Krian-Gresik pukul 15.00 berbentuk NN(12,9,1), Krian-Gresik pukul 22.30 berbentuk NN(3,4,1), selanjutnya untuk subsistem Ngimbang pukul 13.30 mempunyai arsitektur NN(3,3,1), Ngimbang pukul 19.30 berarsitektur NN(3,8,1), Ngimbang pukul 22.30 berarsitektur NN(3,8,1), subsistem Paiton pukul 13.30 berarsitektur NN(3,10,1), Paiton pukul 18.30 berarsitektur NN(3,10,1), Paiton pukul 22.30 berarsitektur NN(3,6,1), selanjutnya untuk subsistem Kediri pukul 13.30 mempunyai arsitektur NN(3,2,1), Kediri pukul 18.30 berarsitektur NN(3,2,1), dan Kediri pukul 05.30 adalah NN(3,3,1).
- c. Hasil model terbaik dari metode hibrida ARIMA & MLP untuk setiap subsistem yaitu Krian pukul 11.00 dihasilkan model terbaik NN(16,4,1), Krian pukul 15.00 berarsitektur NN(3,6,1), Krian Pukul 23.00 berarsitektur NN(4,9,1), subsistem Krian-Gresik pukul 14.00 berarsitektur NN(3,1,1), Krian-Gresik pukul 15.00 berarsitektur NN(12,9,1), Krian-Gresik pukul 22.30 berarsitektur NN(3,9,1), dan subsistem Ngimbang pukul 13.30 mempunyai arsitektur NN(3,8,1), Ngimbang pukul 19.30 berarsitektur NN(3,10,1), Ngimbang pukul 22.30 berarsitektur NN(3,10,1) sedangkan subsistem Paiton pukul 13.30 berarsitektur NN(3,9,1), Paiton pukul 18.30 berarsitektur NN(3,1,1), Paiton pukul 22.30 berarsitektur NN(3,5,1), kemudian subsistem Kediri pukul 13.30 berarsitektur

NN(3,4,1), Kediri pukul 18.30 berarsitektur NN(3,10,1), dan Kediri pukul 05.30 berarsitektur NN(3,10,1).

3. Secara umum hasil kebaikan model dengan metode MLP menghasilkan nilai yang lebih akurat dibandingkan dengan metode ARIMA dan hibrida ARIMA & MLP. Hal ini ditunjukkan oleh nilai MAPE, RMSE, dan SMAPE pada 9 dari 15 model di subsistem (Krian pukul 11.00, Ngimbang pukul 13.30, Ngimbang pukul 19.30, Ngimbang 22.30, Paiton pukul 18.30, Paiton pukul 22.30, Kediri pukul 13.30, Kediri pukul 18.30, dan Kediri pukul 05.30) mempunyai nilai *error* terkecil.
4. Subsistem Ngimbang, Paiton, dan Kediri memiliki beban tertinggi antara jam 18.30 – 19.30, pembangkit yang mensuplai subsistem tersebut sebanyak 14 pembangkit, dan 7 dari 14 pembangkit berjenis PLTA, sehingga proses produksi untuk memenuhi beban puncak pada jam-jam tersebut dapat dilakukan 6 jam sebelum jam 18.30, 8 jam sebelum beban puncak untuk jenis pembangkit PLTU, dan 3 jam sebelum beban puncak untuk jenis pembangkit PLTGU. Sedangkan di subistem Krian dan Krian-Gresik memiliki beban tertinggi antara jam 11.00 hingga 14.00, pembangkit yang mensuplai subsistem tersebut sebanyak 6 dengan 2 PLTA, dan 4 PLTGU. Produksi harus dilakukan 3 jam sebelum beban puncak jam 11.00 untuk subistem Krian dengan pembangkit berjenis PLTGU, dan 6 jam sebelum beban puncak untuk pembangkit berjenis PLTA.
5. Berdasarkan hasil peramalan di penelitian ini dihasilkan bahwa subsistem Krian-Gresik akan mengalami kenaikan jumlah beban listrik sejumlah 1888,33 MW dan subsistem Kediri juga mengalami kenaikan sebesar 956,01 MW, sehingga dibutuhkan penambahan pembangkit pada subsistem tersebut karena kapasitas masing-masing subsistem adalah 1172,52 MW untuk subsistem Krian-Gresik, dan 859,5 MW untuk subsistem Kediri. Sedangkan untuk ketiga subsistem lainnya yaitu Ngimbang, Krian, dan Paiton tidak mengalami kenaikan beban yang signifikan yaitu masih dibawah jumlah kapasitas pembangkit, sehingga diketiga subsistem ini belum perlu dilakukan penambahan pembangkit.

## 5.2 Saran

- 1 Pada penelitian ini, peramalan hanya dilakukan pada kondisi *peak load*. Diharapkan untuk penelitian selanjutnya dilakukan peramalan disemua kondisi sehingga diharapkan akan menghasilkan peramalan yang lebih baik.
- 2 Berdasarkan hasil penelitian yang menunjukkan bahwa rata-rata model yang didapatkan mampu melakukan peramalan sampai 31 hari kedepannya, sehingga diharapkan setelah hari ke 31, dilakukan pembaruan model agar peramalan yang dihasilkan mempunyai hasil yang baik.
- 3 Dari penilitian ini diketahui bahwa kenaikan jumlah konsumsi listrik dari tahun ke tahun mengalami kenaikan, sehingga bisa dipertimbangkan untuk membangun pembangkit baru untuk memenuhi kenaikan tersebut.
- 4 Penelitian selanjutnya disarankan menggunakan algoritma *deep neural network* yang merupakan pengembangan dari *multilayer perceptron*

## DAFTAR PUSTAKA

- Andrzejak, R. G., Lehnertz, K., Rieke, C., Mormann, F., David, P., & Elger, C. E. (2001). Indications of nonlinear deterministic and finite dimensional structures in time. *Physical Review E*, 64, 061907 .
- Balagurusamy. (2008). Programming in C# A Primer 2nd Edition.
- Balagurusamy, E. (2008). *Programming in C# A Primer 2nd Edition*. New Delhi: Tata McGraw-Hill Education.
- Bengio, Y. &. (2004). No Unbiased Estimator of the Variance of K-Fold Cross-Validation. *Journal of Machine Learning Research* , 1089-1105.
- Bowerman, B. L., & O'Connell, R. T. (1993). *Forecasting and Time Series: An Applied Approach Third Edition*. Duxbury Press.
- BPPT. (2006). *Pengembangan Sistem Kelistrikan dalam Pembangunan Nasional Jangka Panjang*. Jakarta: Badan Pengkajian dan Penerapan Teknologi.
- Bruzzi, A. G. (2008). Permutation Entropy to Detect Vigilance Changes and Preictal States from Scalp EEG in Epileptic Patients . 3-9.
- Bunn, D., & Farmer, E. (1985). Economic and Operational Context of Electric Load Prediction. *Comparative Models for Electrical Load Forecasting* , 3-11.
- Cryer, J. D., & Chan, K. S. (2008). *Time Series Analysis with Application in R*. New York: Springer-Verlag.
- El-Sharkawi, M. (1999). Short Term Peak Load Forecast Using Detrended Partitioned Data Training of a Neuro Fuzzy Regression Machine. *Eng Int Syst* , 197-201.
- Enders. (2015). Applied Econometric Time Series Fourth Edition. United States Amerika: Wiley.
- Eindharta, A. J., & Suhartono. (2009). Peramalan Konsumsi Listrik Jangka Pendek dengan ARIMA Musiman Ganda dan ELMAN-Recurrent Neural Network. *Jurnal Ilmiah Teknologi Informasi* , 185-192.
- Faraway, J., & Chatfield, C. (1998). Time Series Forecasting with Neural Network: A comparative Study Using The Airline Data . *Applied Statistic* , 231-250.
- Farrell, J. (2009). *Microsoft Visual C# 2008 Comprehensive: An Introduction to Object-Oriented Programming*. Boston: Cengage Learning.

- Hong Yao, Q. D. (2012, 12). An Improved K-Means Clustering Algorithm for Fish Image Segmentation. *Elsevier*.
- Jumingan. (2009). Analisis Laporan Keuangan. Jakarta: Bumi Aksara.
- Kocyigit, Y. A. (2008). Classification of EEG Recordings by Using Fast Independet Component Analysis and Artificial Neural Network. 17-20.
- Konar, A. (2005). *Computational Intelligence: Principles, Techniques and Applications*. Calcutta: Springer London, Limited.
- Kostenko, A. H. (2008). Forecasting Without Significance Test? *International Journal of Forecasting*, 679-688.
- Marsudi. (2005). *Pembangkit Energi Listrik*. Jakarta: Erlangga.
- Muchlis, M. (2006). *Proyeksi Kebutuhan Listrik PLN Tahun 2003 hingga 2020*. Jakarta: BPPT.
- Nicolaou, N., & Gergiou, J. (2012). Detection of epileptic electroencephalogram based on Permutation Entropy and Support Vector Machines.
- Nicolaou, N., & Gergiou, J. (2012). Detection of epileptic electroencephalogram based on Permutation Entropy and SUpport Vector Machines.
- Orhan, U., Hekim, M., & Ozer, M. (2011). EEG signals classification using the K-means clustering and a multilayer perceptron neural network model. *I* (4), 13475-13481.
- Ristiana, Y., Winahyu, W. S., & Suhartono. (2008). Model Autoregressive Neural Network untuk Peramalan Konsumsi Listrik Jangka Pendek di PT. PLN Gresik.
- Saodah, S. (2008). Evaluasi Keandalan Sistem Distribusi Tenaga Listrik Berdasarkan SAIDI dan SAIFI. *Jurnal Teknik Elektro*.
- Shorvon, S. (2000). *Handbook of Epilepsy Treatment*. Blackwell Science.
- Soares, L. J., & Medeiros, M. C. (2008). Modelling and Forecasting Short-Term Electricity Load: A Comparison of Method with an Application to Brazilian Data. *Science Direct*, 630-644.
- Suhartono, & Subanar. (2005). A Comparative Study of Forecasting Models for Trend and Seasonal Time Series: Does Complex Model Always Yield Better Forecast Than Simple models? *Jurnal Teknik Industri*, 22-30.
- Tsay, R. (2010). Analysis of Financial Time Series: Financial Econometrics Third Edition. New York: John Wiley & Sons Inc.

- Ulinnuha, N., Arieshanti, I., & Purwanto, Y. (2012). *Implementasi Model untuk Memprediksi Kebangkrutan Menggunakan Metode Jaringan Saraf Tiruan dan Regresi Berganda*. Surabaya.
- Wei, W. (2006). Time Analysis Univariate and Multivariate Methods. *Addison Wesley Publishing Company*, 85-94.
- Witten, I., Frank, E., & Hall, M. (2011). *Data Mining: Practical Machine Learning Tools and Techniques* (Vol. 3). Burlington: Elsevier Science.
- Zhang, G. (2003). Time Series Forecasting Using a Hybrid ARIMA and Neural Network Model. *Neurocomputing*, 159-175.

## BIOGRAFI PENULIS



**Yunita Ardilla** dilahirkan pada tanggal 4 Juni 1992 di Sidoarjo, sebagai anak pertama dari empat bersaudara. Penulis diterima di Institut Teknologi Sepuluh Nopember Surabaya, Jurusan Teknik Informatika pada tahun 2010. Kemudian ditahun 2014 melanjutkan program pascasarjana di Magister Manajemen Teknologi (MMT) – ITS, dengan bidang keahlian Manajemen Teknologi Informasi, dengan bantuan beasiswa LPDP. Untuk menyelesaikan pendidikan di jenjang ini, penulis mengambil Tesis dengan tema *time series* yang berjudul “ **Metode Hibrida ARIMA dan Multilayer Perceptron untuk Peramalan Jangka Pendek Konsumsi Listrik di Jawa Timur** ”. Jika pembaca ingin memberikan kritik dan saran serta ingin berdiskusi lebih lanjut tentang Tesis ini, dapat menghubungi melalui alamat *email*: ardilla@yunita.net.